

AEROPORTO FONTANAROSSA CATANIA



REGOLAMENTO (UE) 139/14

DATA COLLECTION DC_18_PORTANZA RWY STRIP

RELAZIONE PORTANZA RWY STRIP

Numerazione Tavola	DATA PROGETTO	SETTEMBRE 2016	
18	AGGIORNAMENTI		
SCALA:			
P.H. AREA DI MOVIMENTO ing. Gianluca Storaci	P.H. PROGETTAZIONE INFRASTRUTTURE E SISTE ing. Luigi Bonfiglio		
COMPLIANCE MANAGER ing. Massimo Donato	1 1	ABLE MANAGER nio Palumbo	







Aeroporto Fontanarossa - 95121 Catania (CT)



Cantiere:	Aeroporto	Aeroporto di Catania-Fontanarossa						
Opera:	-							
Struttura di indagine:	PISTA DI VOLO – TAXIWAY A – RACCORDI FOXTROT E GOLF							
Titolo Elaborato:	INDAGINE SPERIMENTALE SULLA VALUTAZIONE DELLE CARATTERISTICHE STRUTTURALI E DI REGOLARITÀ DELLA PISTA DI VOLO, RACCORDI GOLF E FOXTROT E TAXIWAY DELL'AEROPORTO INTERNAZIONALE DI CATANIA							
Documento:	Doc.n°R0561/16	Doc.n°R0561/16 Revisione 00 12/09/2016				1532/16		
Documento redatto da:	Ing. Andrea Cernieri			Ing. Alessandra Niccoli				
Direttore del Laboratorio: Ing. Stefano Tattolo								

DIRECTORE DEL LABORATORIO
DOTTORE DI RICERCA

RINA



Sommario

1	INTRODUZIONE	4
2	APPARECCHIATURE SPERIMENTALI IMPIEGATE PER LE INDAGINI	
	2.1 APPARECCHIATURA DEFLETTOMETRICA	(
	2.2 APPARECCHIATURA PROFILOMETRICA	
	2.3 TECNOLOGIA GEORADAR E APPARECCHIATURA RIS HI-PAVE PER IL RILIEVO DELLA STRATIGRAFIA	14
	2.4 APPARECCHIATURA PER CAROTAGGI DI TARATURA	17
	2.5 APPARECCHIATURA PER L'ESECUZIONE DELLE PROVE DI MODULO E DI FATICA	18
	2.5.1 Prove di modulo per la determinazione delle leggi di ragguaglio	20
3	RILIEVI	22
	3.1 INDAGINI DEFLETTOMETRICHE	23
	3.2 INDAGINI GEORADAR	24
	3.3 RILIEVI DELLE CARATTERISTICHE DI REGOLARITÀ	25
4 PAVII	DETERMINAZIONE DEI MODULI ELASTICI DEI SINGOLI STRATI COMPONENTI LA MENTAZIONE E DEL SOTTOFONDO ALLA TEMPERATURA DI PROVA	
	4.1 MODELLO DI DEFORMAZIONE DELLA PAVIMENTAZIONE NEL SUO COMPLESSO ALLA TEMPERATURA DI PROVA	28
5	CLASSIFICAZIONE DELLE PAVIMENTAZIONI MEDIANTE METODO ACN/PCN	29
	5.1 INTRODUZIONE	29
	5.2 ANALISI DELLO SPETTRO DI TRAFFICO E DETERMINAZIONE DELL'AEREO CRITICO	30
	5.3 DETERMINAZIONE DELL'INDICE ACN	
	5.4 DETERMINAZIONE DELL'INDICE PCN	
6	RISULTATI DELLE INDAGINI	39
	6.1 INDAGINI GEORADAR	. 39
	6.2 INDAGINI DI REGOLARITÀ SUPERFICIALE E MACROTESSITURA	. 40 . 43 . 45 . 52 . 53
	6.2.6 RACCORDI – MACROTESSITURA (MPD)	. 53



Società Aeroporto Catania S.p.A.

RELAZIONE TECNICA

	6.3		AGINI DI PORTANZA E CARATTERIZZAZIONE DEI CONGLOMERATI	
	BH	UMINO	SI	54
		6.3.1	Prove prestazionali di laboratorio per la determinazione delle leggi di	
		raggua	aglio e di fatica dei conglomerati bituminosi	54
		6.3.2		
	6.4	INDA	GINI DEFLETTOMETRICHE TAXIWAY E RACCORDI	86
		6.4.1	TAXIWAY ALPHA	86
		6.4.2	RACCORDO FOXTROT	
		6.4.3	RACCORDO GOLF	101
7	PAI	RAMETI	RI ACN E PCN E VITA UTILE RESIDUA	106
	7.1	PIST	A DI VOLO	107
	7.2	TAXI	WAY ALPHA	112
	7.3	RAC	CORDI	115
8	COI	NCLUSI	ONI	117
9	ALL	.EGATI		118



1 INTRODUZIONE

La relazione descrive le modalità di acquisizione ed analisi delle caratteristiche di regolarità e portanza delle infrastrutture di volo dell'Aeroporto Internazionale "V.Bellini" di Catania-Fontanarossa.

L'acquisizione di tali dati è avvenuta utilizzando le seguenti attrezzature:

- indagini deflettometriche eseguite con apparecchiatura Heavy
 Weight Deflectometer (HWD);
- determinazione delle caratteristiche stratigrafiche mediante apparecchiatura georadar Groung Penetrating Radar (GPR) supportata da carotaggi di taratura;
- caratteristiche di regolarità rilevate utilizzando profilometro inerziale
 RSP (Road Surface Profiler) Dynatest 5051 Mark IV.

Al fine di individuare le aree oggetto di indagine, si riportano alcune caratteristiche tecniche relative all'area di sedime e alle infrastrutture aeroportuali.

Codice IATA	СТА
Codice ICAO	LICC
Orientamento pista	08/26
Dimensioni pista	2.702,00m x 45,00m
Rivestimento	Flessibile - Conglomerato bituminoso
Aeromobile critico	Airbus A320-200

Tabella 1. Caratteristiche tecniche Aeroporto di Catania-Fontanarossa

L'indagine, eseguita nelle notti del 9-10 Marzo 2016 a previsto altresì il rilievo delle temperature di prova necessarie per la determinazione delle caratteristiche portanti alla temperatura di riferimento.

La successiva elaborazione dei dati raccolti, avvenuta utilizzando la composizione delle pavimentazioni riportata nel Capitolo 4 ed i relativi spessori dei singoli strati determinati mediante indagini georadar supportate da carotaggi di taratura, hanno consentito la determinazione dei valori dei seguenti parametri:

 moduli dinamici del semispazio equivalente e dei singoli strati costituenti la pavimentazione;

- PCN (Pavement Classification Number) della pavimentazione, e confronto con i valori ACN (Aircraft Classification Number) dell'aeromobile critico;
- IRI (International Roughness Index);
- MPD (Mean Profile Depth);

La campagna di indagine ha previsto altresì l'esecuzione di Prove di laboratorio per la determinazione delle leggi di ragguaglio e di decadimento dei conglomerati bituminosi della Pista di Volo.

I risultati della sperimentazione hanno consentito la determinazione della vita utile residua della pavimentazione e la definizione dello strato critico che per primo raggiunge il "collasso" strutturale.



2 APPARECCHIATURE SPERIMENTALI IMPIEGATE PER LE INDAGINI

2.1 APPARECCHIATURA DEFLETTOMETRICA

Le prove deflettometriche sono state eseguite con deflettometro a massa battente tipo Dynatest 8082 - Heavy Weight Deflectometer – HWD, riportato nello schema di Figura 1 e Figura 2.

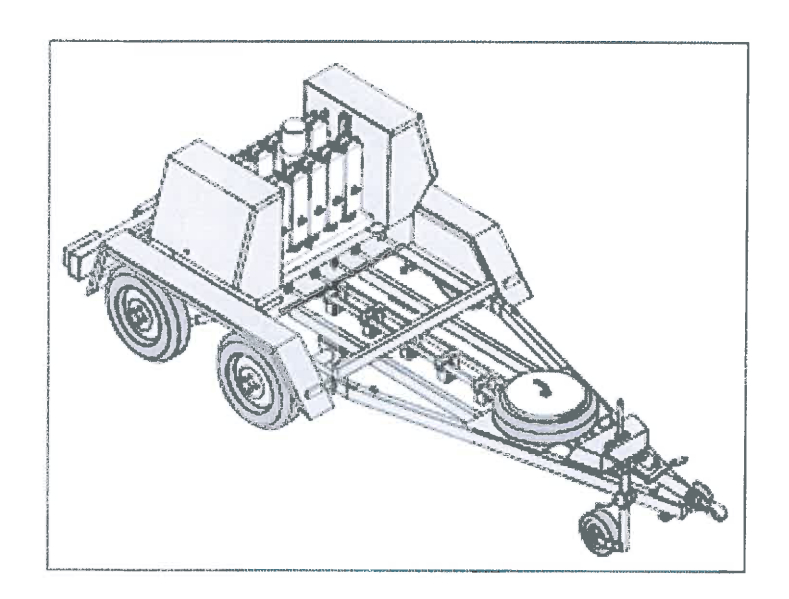


Figura 1. Dynatest Model 8082 Heavy Weight Deflectometer

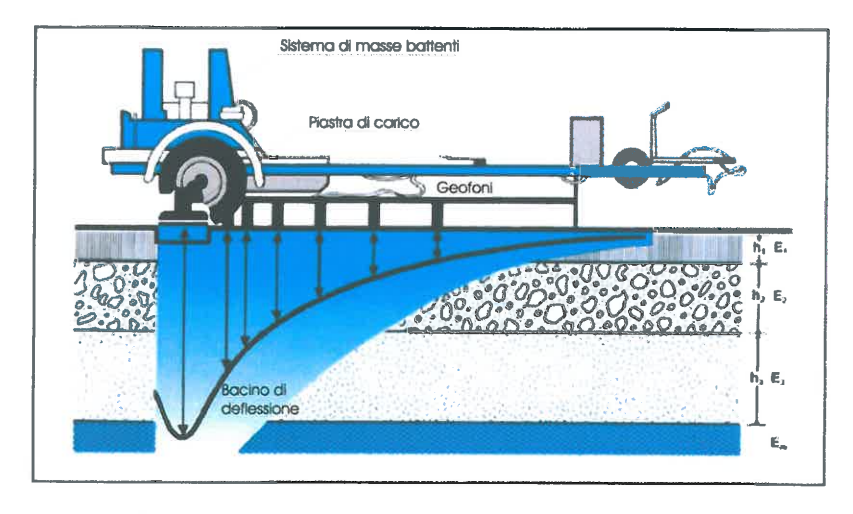


Figura 2. Apparecchiatura deflettometrici FWD



Com'è noto questa apparecchiatura consente di valutare le caratteristiche di rigidezza dei materiali costituenti la pavimentazione, compreso il relativo sottofondo.

La strumentazione permette di misurare il bacino di deflessione generato dall'applicazione di un predeterminato carico con una accuratezza e precisione nettamente superiore agli altri metodi oggi esistenti.

L' HWD applica alla pavimentazione un carico di tipo impulsivo che simula al meglio quello impresso da una ruota in condizioni dinamiche: il carico è ottenuto lasciando cadere, da una predeterminata altezza, una massa sospesa su una piastra appoggiata alla pavimentazione.

L'impatto, della durata di circa 25-30 msec, genera una forza di picco che può arrivare fino a 300 kN ad una frequenza di circa 30Hz, tale da riprodurre sia carichi di tipo stradale (120-130 kN) che di tipo aeroportuale.

L'abbassamento della superficie della pavimentazione viene misurato da una serie di geofoni, di cui uno posizionato al centro piastra ed altri 8 allineati radialmente a diverse distanze dall'asse di carico.

Il posizionamento di quest'ultimi varia in funzione del tipo di rilievo che viene effettuato; per questa campagna di indagini la configurazione adottata è riportata in Tabella 2 e Figura 3.

Geofono	D1	D2	D3	D4	D5	D6	D7	D8	D9
Distanza da centropiastra (mm)	0	200	300	450	600	900	1200	1500	1800

Tabella 2. Configurazione dei geofoni per il rilievo delle deflessioni

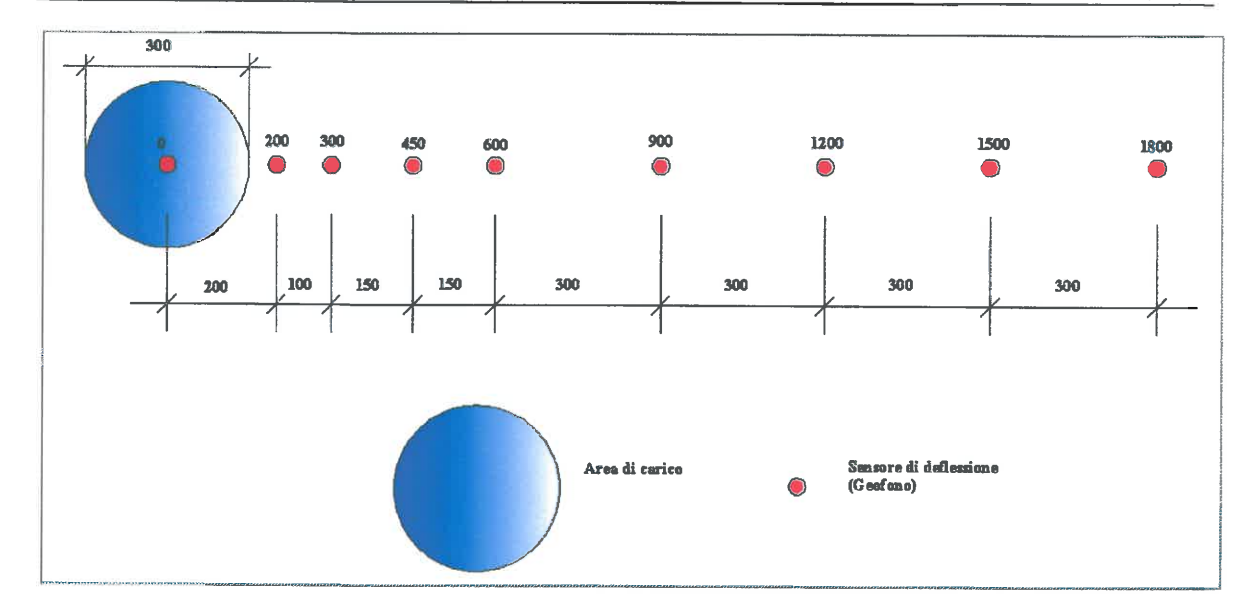


Figura 3. Rappresentazione grafica dell'ubicazione dei geofoni

Le deflessioni ed i valori della forza di impatto vengono memorizzati nel computer di bordo per poter successivamente essere elaborati tramite programmi specifici di "back-calculation", grazie ai quali vengono individuati, noti gli spessori, i valori dei Moduli resilienti (Er) di ogni singolo strato della pavimentazione e del sottofondo.

In particolare, per ogni stazione di prova, sono state effettuate 4 cadute della massa da altezza tale da contenere, ove possibile, le deflessioni al di sotto della piastra (d1) in un range compreso tra 500 e 1500 μ m, mentre quelle sul geofono più lontano dal centro della piastra (d9) superiori ai 20 μ m, al fine di garantire un risultato che possa minimizzare gli errori strumentali.

La piastra di carico utilizzata è stata quella convenzionale di raggio di 150 mm, che ben si adatta alla superficie della pavimentazione sollecitata, così da garantire una distribuzione uniforme delle tensioni di contatto.

Le deflessioni vengono rilevate dall'apparecchiatura con una accuratezza assoluta superiore al 2% \pm 2 μ m; e con risoluzione pari a 0.1 μ m. I livelli del carico applicato vengono rilevati con una accuratezza superiore a 2% \pm 0.3 KN; per



questa grandezza la risoluzione è variabile da 0.03 a 0.2 KN in rapporto all'entità del carico applicato.

La riproducibilità in termini di rapporto sforzo/deflessioni, per una specifica configurazione di altezza di caduta e di peso, su un medesimo materiale elastico, è tipicamente dell'ordine dell'1%.

Di seguito si riportano alcune immagini dell'apparecchiatura impiegata durante i rilievi (Figura 4) ed un quadro riassuntivo delle sue caratteristiche (Tabella 3).



Figura 4. Apparecchiatura HWD utilizzata per il rilievo presso l'Aeroporto V.Bellini di Catania

Modello Dynatest HWD 8082 Heavy Weight deflectometer					
Range di carico	30-300 kN				
Durata sequenza di acquisizione standard	50 sec				
Temperatura di esercizio consentita	da -20 a +50 ℃				
Software di acquisizione dati	FwdWin				
Software di elaborazione dati	Dynatest Elmod 6.0				
Forma dell'impulso	semi-sinusoidale				
Durata dell'impulso	25-30 msec				
N. di geofoni	9				
Diametro della piastra di carico	300 mm				
Accuratezza delle deflessioni misurate	2% ± 2 μm				
Accuratezza del carico applicato	2% ± 0.3 kN				
Accuratezza temperatura dell'aria	± 0.4 °C				
Accuratezza temperatura conglomerati	± 0.2 ℃				
Alimentazione a batterie ricaricabili da 12V D	C e gruppo elettrogeno				

Tabella 3. Caratteristiche dell'apparecchiatura di prova



2.2 APPARECCHIATURA PROFILOMETRICA

L'apparecchiatura usata per questa campagna d'indagine è il Road Surface Profiler (RSP) DYNATEST 5051 Mark IV (Figura 5), un profilometro inerziale di classe 1, che consente di eseguire il rilievo del profilo longitudinale di qualsiasi tipo di pavimentazione; con questo tipo di strumento si riescono a registrare in continuo profili longitudinali di tessitura e regolarità della superficie.

L'apparecchiatura consente di eseguire i rilievi sino a velocità di 110 km/h; il software di gestione del sistema è costituito da un'unità di acquisizione dei dati e di calcolo degli indici in tempo reale, nonché da un modulo per la selezione e l'elaborazione dei dati e la generazione degli output grafici.



Figura 5. Profilometro RSP Mark IV utilizzato per i rilievi delle caratteristiche superficiali

La misurazione del profilo longitudinale è basato sul metodo "South Dakota". Un accelerometro viene utilizzato per ottenere il movimento verticale del corpo del veicolo, e un sensore laser per misurare lo spostamento tra il corpo del veicolo e la pavimentazione (Figura 6).

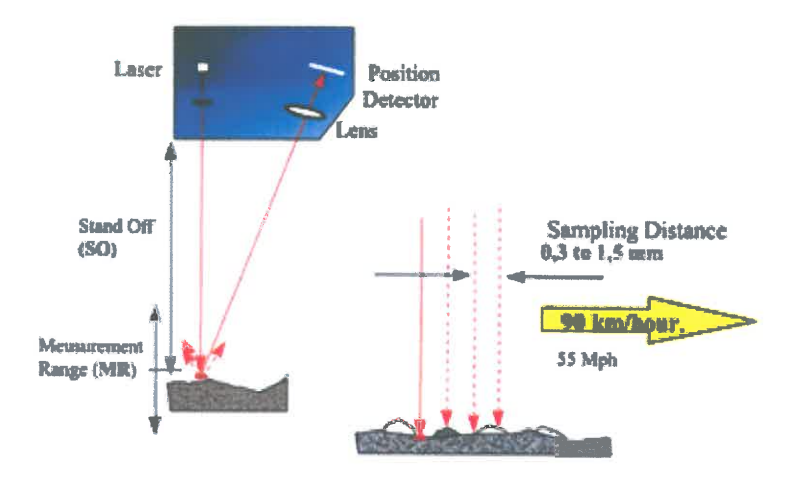


Figura 6. Principio di funzionamento del sensore laser inglobato nel profilometro.

Nel corso della presente campagna d'indagini, il rilevo finalizzato alla determinazione delle condizione di regolarità della pavimentazione è stato effettuato alla velocità di circa 50 km/h in funzione della successiva elaborazione e con intervallo di campionamento del profilo fissato a 25 mm.

2.2.1 International Roughness Index (IRI)

Il principale parametro utilizzato per la definizione sintetica del livello di regolarità di una pavimentazione l'indice IRI (International Roughness Index).

Introdotto nel 1982 in Brasile a seguito delle campagne sperimentali condotte dalla World Bank (World Bank Technical Paper, N°45), la sua determinazione è basata su un'accurata misura del profilo stradale, su una simulazione numerica attuata mediante un modello matematico di interpretazione meccanica della risposta di un veicolo ideale al profilo longitudinale rilevato, e sul calcolo dell'accumulo dei movimenti effettuati dal sistema di sospensione riportato all'unità di spazio percorso.

La valutazione di tale indicatore viene fatta a partire da misure profilometriche, le quali vengono analizzate attraverso una procedura



standardizzata riportata da diverse Normative Tecniche [prEN 13036-5, ASTM E1926].

Il parametro IRI misura il numero di metri di oscillazione cumulata in un chilometro lineare (m/Km); convenzionalmente si tende a calcolare il parametro IRI su tratte di lunghezza ettometrica, valutando il numero di millimetri di scostamento dal profilo ideale per ogni metro percorso (mm/m), criterio adottato anche per le elaborazioni qui condotte.

Attualmente non esiste in Italia una specifica Normativa che definisca i criteri per la valutazione dei risultati di questo tipo di indagini e prescriva valori di soglia; sono però presenti nella letteratura tecnica capitolati e raccomandazioni, sia nazionali che internazionali, che sono stati presi a riferimento per l'interpretazione dei risultati delle elaborazioni effettuate. La scala di valutazione del parametro IRI ha un incremento inversamente proporzionale alla percezione che gli utenti hanno della qualità della strada (un valore IRI pari a 0 corrisponde ad una regolarità perfetta).

Nella figura seguente si riporta la scala di valutazione contenuta nella Norma ASTM E1926/2003, la quale evidenzia come la regolarità della superficie della pavimentazione venga percepita dall'utente, a parità del parametro IRI, sia influenzato dalla velocità con la quale si transita nel tratto in esame.



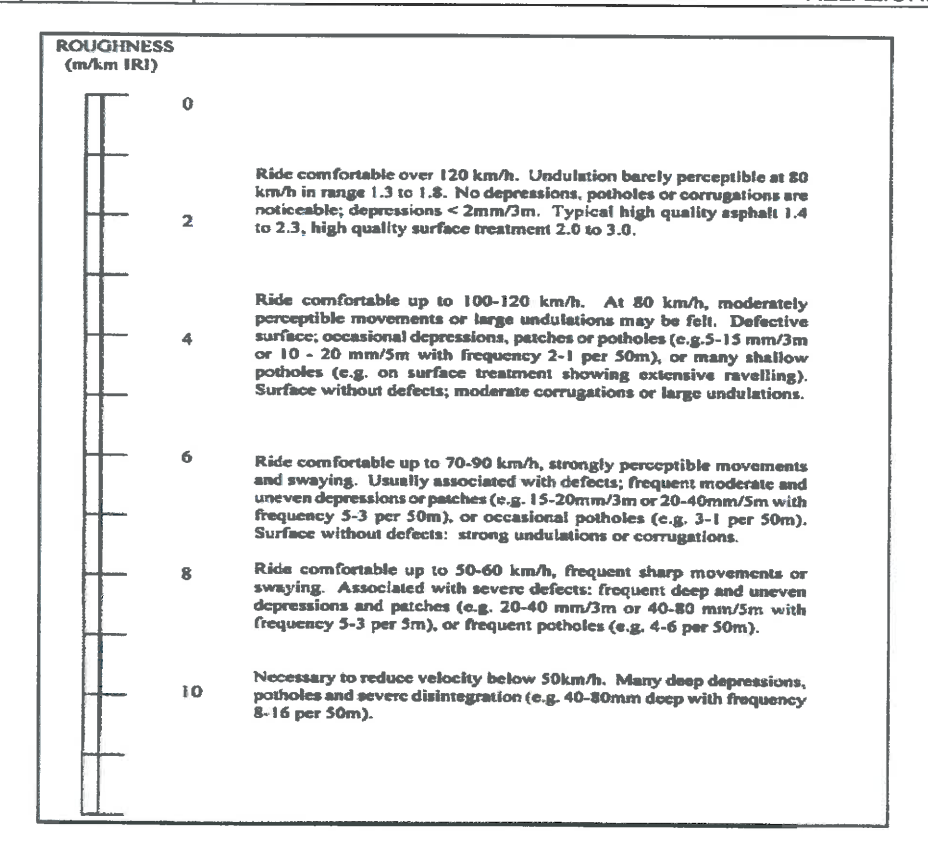


Figura 7. Scala di classificazione IRI [Norma ASTM E1926/03]

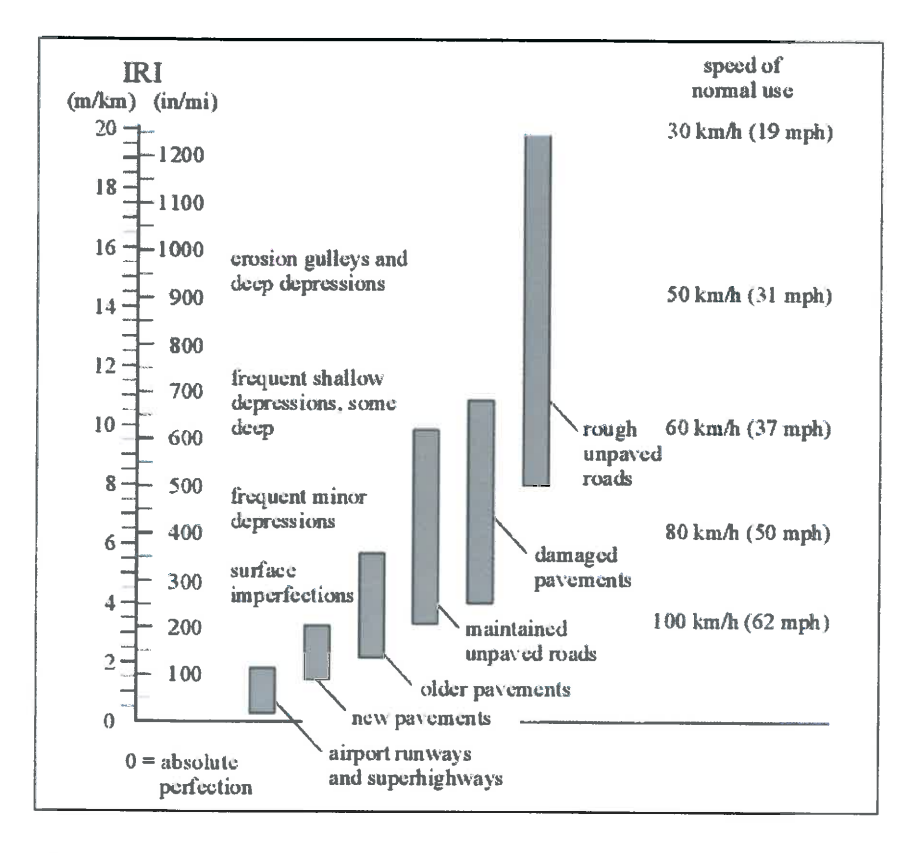


Figura 8. Scala di classificazione IRI [The little Book of Profiling, Sayers, 1988]



2.3 TECNOLOGIA GEORADAR E APPARECCHIATURA RIS HI-PAVE PER IL RILIEVO DELLA STRATIGRAFIA

Il Georadar si basa sul principio della propagazione di onde elettromagnetiche, onde radar in questo caso, e sulla loro riflessione in corrispondenza di variazioni dielettriche, chiamate anche superfici di discontinuità o interfacce, presenti all'interno del materiale che si sta investigando.

Il sistema, che lavora sulla resistività dei materiali, é dunque ideale per rilevare la presenza, all'interno dell'ambiente in cui si trovano, di materiali aventi caratteristiche dielettriche da esso diverse: cavità (e dunque aria), acqua o umidità, variazioni di densità, diverse stratificazioni delle pavimentazioni e del terreno.

La visualizzazione dei dati, è rappresentata dagli echi (tempi di ritorno) degli impulsi inviati nel materiale da parte dello strumento in corrispondenza di superfici di discontinuità.

Dopo opportuna fase di taratura mediante carotaggi ed elaborazione, tali dati vengono convertiti in sezioni stratigrafiche, sulle cui ascisse sono rappresentate le distanze percorse, e sulle cui ordinate sono rappresentate, le profondità.

La taratura mediante carotaggi è necessaria ad allineare gli strati registrati sui radargrammi agli strati reali della pavimentazione, al fine di individuare l'esatta costante dielettrica relativa (ϵ_r), ovvero il parametro adimensionale che esprime la velocità con cui il materiale viene attraversato dalle onde elettromagnetiche in funzione delle caratteristiche fisiche e ambientali, la quale verrà usata in fase di elaborazione e filtraggio dei risultati.



La conoscenza di questa costante è essenziale ai fini interpretativi, in quanto permette di calcolare la profondità h di una superficie riflettente (interfaccia tra strati diversi), secondo la nota relazione spazio/velocità /tempo.

Infatti:

$$h = \frac{t_r * v(\varepsilon_r)}{2}$$

dove $t_{\rm r}$ rappresenta il tempo trascorso tra l'emissione e la ricezione dell'impulso.



Figura 9. Apparecchiatura RIS HI-PAVE in fase di rilievo

Il sistema Ris Hi-Pave (Figura 9) è composto dalle seguenti parti:

- 1. Unità di controllo Radar:
- 2. Data Logger con software di acquisizione dati;
- 3. Sistema antenne:
- 4. Meccanica per la installazione dell'antenna sul mezzo;
- 5. Encoder di posizione:
- 6. Cavi ed accessori di base per il funzionamento del sistema
- 7. Software di elaborazione:



Il sistema è dotato della control unit multicanale Fastwave, in grado di acquisire segnali radar da più antenne con velocità di acquisizione elevate.

La strumentazione utilizzata permette di valutare vari parametri come lo spessore degli strati costituenti la pavimentazione, l'individuazione di eventuali cavità, vuoti e delaminazioni, l'individuazione di zone umide.

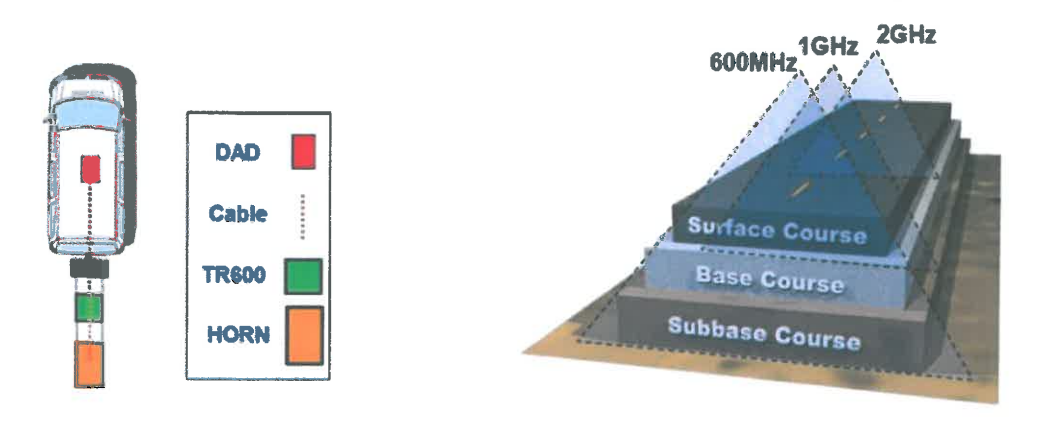


Figura 10. Le antenne RIS Horn sono montate sul retro del veicolo.

La configurazione a 2 antenne (Figura 10) fornisce una valutazione più corretta degli spessori grazie alle 2 diverse frequenze di prova utilizzate. L'antenna avente una frequenza di 600 MHz permette infatti una miglior valutazione degli strati più profondi (sottofondo e fondazione), mentre la frequenza di 2000 MHz mostra in maniera più definita gli spessori superficiali consentendo quindi una buona valutazione degli spessori dei conglomerati bituminosi.

I dati acquisiti sono stati elaborati mediante IDS GRED 3D, per l'analisi bidimensionale dei dati radar acquisiti. Tale metodologia ha consentito l'estrazione automatica degli strati rilevati a seguito di taratura del segnale mediante l'utilizzo delle informazioni ottenute dai carotaggi eseguiti (Figura 11).

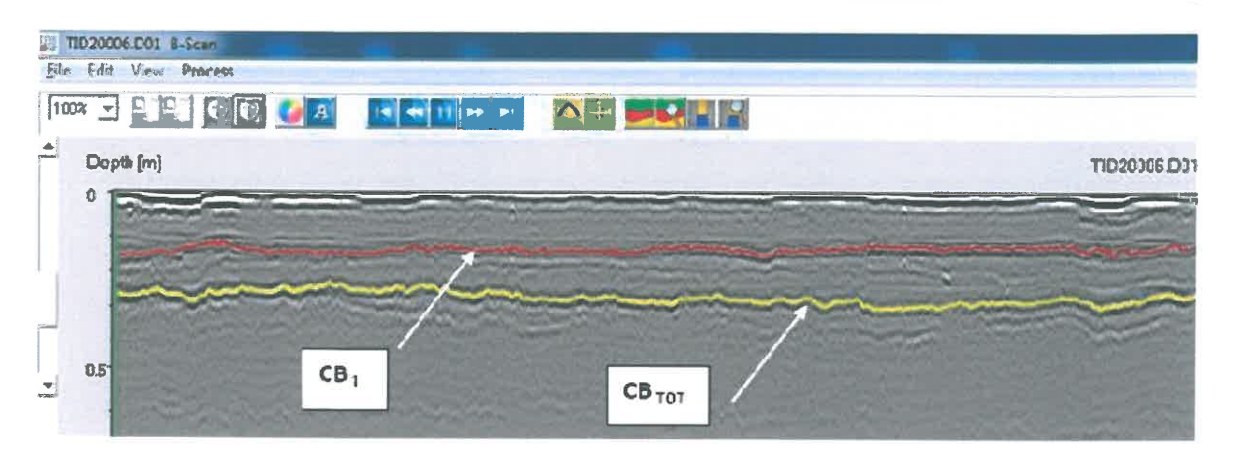


Figura 11. File di output

2.4 APPARECCHIATURA PER CAROTAGGI DI TARATURA

La taratura del sistema Georadar è stata eseguita mediante carotatrice a diamante tipo DD 500. La carotatrice DD 500 costituisce un sistema per eseguire carotaggi ad acqua mediante corone diamantate.

Gli attrezzi sono costruiti in conformità con IP55, pertanto sono dotati di protezione da spruzzi. L'attrezzo deve essere utilizzato soltanto con un adeguato approvvigionamento di acqua di raffreddamento (almeno 0,5 l/min a max. 30 °C di temperatura dell'acqua).

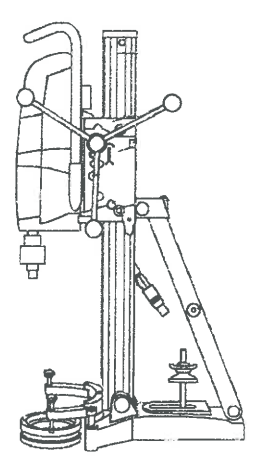


Figura 12. Carotatrice a diamante per esecuzione di carotaggi di taratura del Georadar.



L'utilizzo di apposite corone diamantate permette di raggiungere profondità superiori al metro consentendo quindi di verificare gli spessori degli strati sottostanti la pavimentazione in conglomerato bituminoso.



Figura 13. Carotatrice DD500 utilizzata per la taratura del georadar.

2.5 APPARECCHIATURA PER L'ESECUZIONE DELLE PROVE DI MODULO E DI FATICA

Nottingham Asphalt Tester

Per la determinazione delle principali caratteristiche meccaniche dei conglomerati bituminosi e la definizione delle leggi di ragguaglio e decadimento, si è fatto ricorso ad una apparecchiatura denominata Nottingham Asphalt Tester (NAT), le cui componenti sono:

- telaio di carico;
- unità pneumatica;
- sistema di controllo ed acquisizione dati;
- cella climatica per il controllo della temperatura.



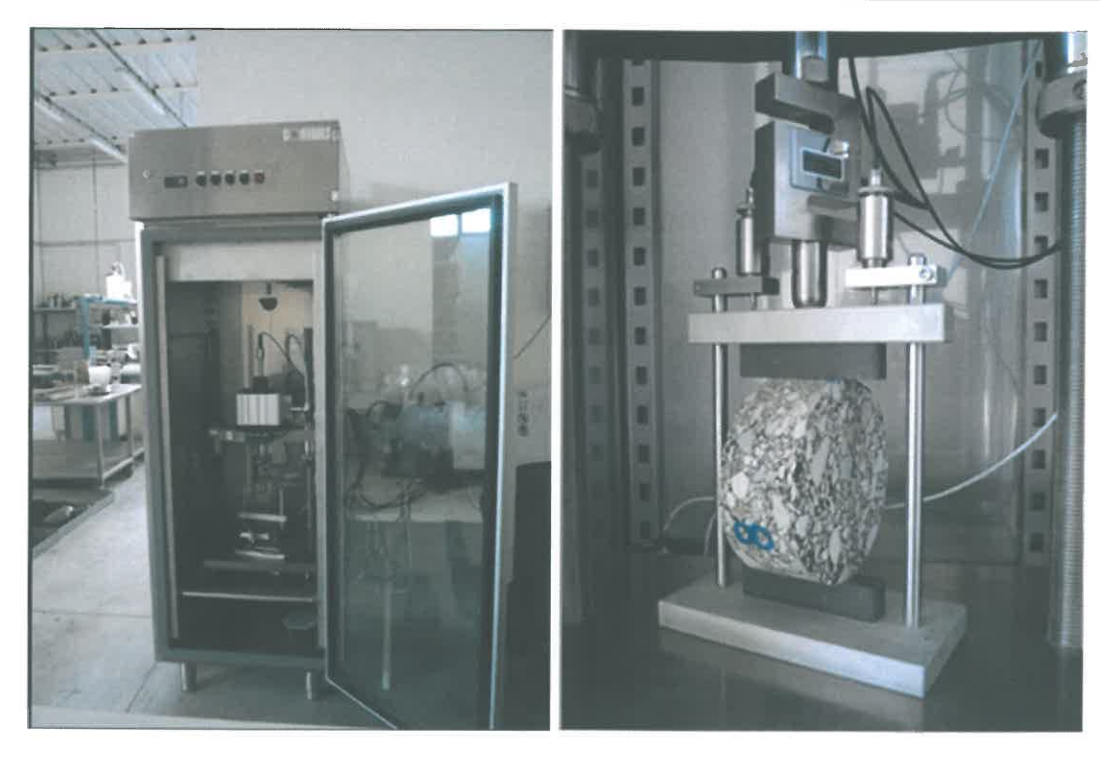


Figura 14. Apparecchiatura NAT utilizzata per le prove di modulo e fatica.

L'unità pneumatica è collegata ad un compressore che fornisce aria secca e pulita ad almeno 7 bar di pressione. Il condizionamento dei provini è effettuato lasciando gli stessi all'interno della camera climatica per circa 24 ore, in modo da raggiungere una temperatura uniforme nel volume della miscela. Il telaio di carico è costituito da una base, due montanti, una trave di contrasto regolabile e da un attuatore pneumatico collegato ad un pistone per consentire l'applicazione dei carichi verticali. Una cella di carico, a sua volta collegata al pistone, trasmette le misure all'unità di controllo ed acquisizione dati. La forma dell'impulso di carico, descritta da un parametro denominato "rise-time" (tempo di picco), dipende dal controllo operato in continuo dalla cella di carico e dalla compressibilità dell'area presente all'interno dell'attuatore pneumatico. Quest'ultimo, tramite il pistone, consente l'applicazione di forze verticali fino a 20 kN in condizioni statiche e 16 kN in condizioni dinamiche. L'unità di acquisizione dati è composta da sei moduli assemblati, i quali forniscono energia elettrica agli organi di controllo e misura del NAT, permettendo di gestire la prova direttamente dal personal computer.



Attraverso il software dell'apparecchiatura è possibile controllare in maniera automatica il tempo di picco, il carico fissato, la deformazione di target fissata o il carico imposto, il coefficiente di Poisson, la temperatura di prova.

Il controllo di tali grandezze avviene tramite un sistema di gestione che opera in maniera da effettuare una taratura durante gli impulsi di condizionamento prima della prova vera e propria. Gli impulsi di condizionamento servono anche per assestare il carico sulla superficie del campione. Le specifiche condizioni di prova rendono lecita l'applicazione della teoria dell'elasticità lineare, assumendo valide anche le ipotesi di materiale omogeneo ed isotropo. Nella prova di trazione indiretta ripetuta, il modulo del campione è funzione della sua stessa geometria, della deformazione orizzontale, del rise-time, della temperatura di prova e del coefficiente di Poisson.

2.5.1 Prove di modulo per la determinazione delle leggi di ragguaglio

La determinazione del modulo di rigidezza con in NAT avviene mediante una prova di trazione indiretta ripetuta. La sperimentazione ha previsto l'esecuzione di prove di modulo in conformità alla normativa EN 12697-26 con modalità a deformazione controllata su almeno due diametri del provino (con un angolo tra i due diametri di 90°±2°). Su ogni diametro sono state effettuate due misure (che non possono differire tra loro più del 20%), che hanno consentito di ricavare il valore del modulo ottenuto come media dei quattro valori registrati. Le variabili che maggiormente influenzano la determinazione del modulo sono:

- <u>TEMPERATURA</u>: Influisce in maniera significativa sulla vita utile del conglomerato; il modulo di rigidezza decresce all'aumentare della temperatura.

<u>In questo studio le prove di modulo sono state eseguite a tre differenti temperature ovvero a 10, 20, 30°C.</u>

- RISE-TIME (TEMPO DI PICCO): a causa della natura viscoelastica del legante, la risposta meccanica dei conglomerati bituminosi dipende fortemente dal



tempo di applicazione di carico. In particolare il rise-time, in prove di carico di tipo impulsivo, indica il tempo necessario al carico pulsante per raggiungere il valore massimo (*Figura 15*). Una variazione del tempo di picco su una prova di tipo impulsivo crea, sulla rigidezza del conglomerato, gli stessi effetti di una variazione della frequenza di carico su una prova di tipo ciclico (sinusoidale). La relazione che lega la <u>frequenza di carico</u> con il tempo di picco è:

$$f = \frac{1000}{4 \cdot r_r}$$

dove:

 r_t = rise-time espresso in ms;

f = frequenza espressa in Hz.

In questa campagna sperimentale sono stati impostati tre livelli di rise-time ovvero: 200, 125 e 50 ms corrispondenti rispettivamente alle frequenze di 1.25 Hz, 2.5 Hz e 5 Hz.

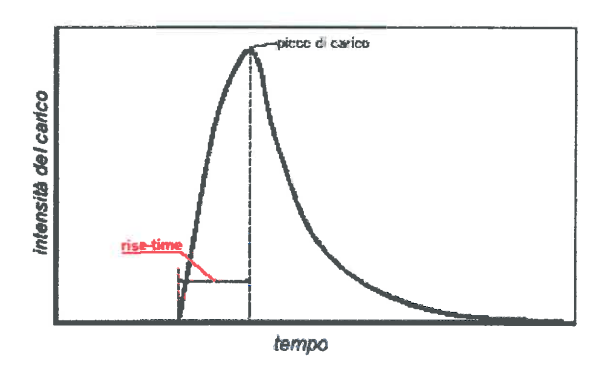


Figura 15. Rise-time nella prova di modulo per trazione indiretta.

2.5.2 Prove di fatica per la determinazione delle leggi di decadimento

Le prove di fatica per la determinazione delle leggi di decadimento sono state eseguite imponendo un carico ciclico di intensità tale da produrre nel provino deformazioni prossime a quelle del conglomerato in esercizio.

In particolare i provini sono stati portati a rottura per fatica con deformazioni comprese in un range di 100÷500 μstrain.



3 RILIEVI

Si riporta di seguito uno schema riassuntivo dei rilievi eseguiti presso le infrastrutture di volo dell'Aeroporto "V.Bellini" di Catania-Fontanarossa. Le origini delle indagini sono identificate nelle figure seguenti.







Figura 16.Origine delle indagini.

3.1 INDAGINI DEFLETTOMETRICHE

	Aerop	orto di Catania-Fo	ntan	arossa - Indagine deflet	tometrica
INFRASTRUTTURA	TIPO DI	DIREZIONE DI		ALLINEAMENTO	INTERACCE TRAJE DOCTATION LINES
INFRASTRUTTURA	PAVIMENTAZIONE	INDAGINE	<u> </u>	(rispetto alla C.L.)	INTERASSE TRA LE POSTAZIONI HWD
			1	Center Line	100m
			2	3 m dx	50m
		ŀ	3	3 m sx	50m
		08/26	4	10 m dx	100m
PISTA DI VOLO	FLESSIBILE/RIGIDA		5	10 m sx	100m
PISTA DI VOLO	T EESSIBILE/KIGIDA		6	20 m dx	200m
		8	7	20 m sx	200m
		TESTATA 08 / TESTATA 26	N	° 48 BATTUTE EQUAMEN	ITE DISTRIBUITE SU TUTTA LA SUPERFICIE
	FLESSIBILE	APRON/ GOLF	1	3 m dx	50m
TAXIWAY			2	3m sx	50m
(ALPHA)			3	5 m dx	50m
(ALITIA)			4	5 m sx	50m
			5	Center Line	50m
			1	3 m dx	50m
RACCORDO			2	3m sx	50m
FOXTROT	FLESSIBILE	PISTA/TAXIWAY	3	5 m dx	50m
· OATHO!			4	5 m sx	50m
			5	Center Line	50m
			1	3 m dx	50m
			2	3m sx	50m
RACCORDO GOLF	FLESSIBILE	PISTA/TAXIWAY	3	5 m dx	50m
			4	5 m sx	50m
			5	Center Line	50m

Tabella 4. Quadro riassuntivo delle indagini deflettometriche.



3.2 INDAGINI GEORADAR

Le indagini sono state condotte secondo i seguenti allineamenti:

PISTA DI VOLO:

• longitudinali: center line, 3 m dx/sx, 10 m dx/sx, 20 m dx/sx

RACCORDI, VIA DI RULLAGGIO:

longitudinali: center line, 3 m dx/sx, 5 m dx/sx

Si riportano di seguito le origini delle indagini.

L'elaborazione è avvenuta avvalendosi di carotaggi di taratura eseguiti nelle postazioni di seguito riportate.

N° carota	Posizione (dal punto zero / rispetto alla center	1°strato: conglomerato bituminoso CB	2°strato: schiumato SCHIUM: 1	3°strato: schiumato SCHIUM: 2	4°strato: misto cementato/stab. a cemento	Sottofondo
		[cm]	[cm]	[cm]	[cm]	[cm]
1	TAXIWAY: 20 m / 5 m sx	20	-	-	20	Misto granulare
2	TAXIWAY : 310 m / 3 m dx	23.5	23.5	21	-	Sabbia
3	TAXIWAY: 810 m / 5 m sx	19	31	42	-	Sabbia
4	RACC.FOX : 205 m / 3 m dx	21	27	27	-	Sabbia

Tabella 5. Carotaggi di taratura



Figura 17. Allineamenti georadar taxiway A e raccordi F e G.



Per la Pista di Volo la taratura è stata eseguita basandosi su carotaggi eseguiti al termine dei lavori di riqualifica del 2012.

3.3 RILIEVI DELLE CARATTERISTICHE DI REGOLARITÀ

Aeroporto Inte	rnazionale di Catan	ia-Fontanarossa -	RILIE	VI DI REGOLARITÀ	
INFRASTRUTTURA	TIPO DI PAVIMENTAZIONE	DIREZIONE DI INDAGINE	ALLINEAMENTO (rispetto alla C.L.)		
			1	Center Line	
			2	3 m dx	
PISTA DI VOLO	FLESSIBILE/RIGIDA	08/26	3	3 m sx	
PISTA DI VOLO	FLESSIBILE/RIGIDA	00/20	4	10 m dx	
			5	10 m sx	
			6	20 m dx	
			7	20 m sx	
		8	1	3 m dx	
TAXIWAY	FLESSIBILE	APRON/	2	3m sx	
(ALPHA)		GOLF	3	5 m dx	
(ALFIIA)			4	5 m sx	
			5	Center Line	
			1	3 m dx	
RACCORDO			2	3m sx	
FOXTROT	FLESSIBILE	PISTA/ TAXIWAY	3	5 m dx	
POXINOI			4	5 m sx	
			5	Center Line	
			1	3 m dx	
			2	3m sx	
RACCORDO GOLF	FLESSIBILE	PISTA/ TAXIWAY	3	5 m dx	
			4	5 m sx	
			5	Center Line	

Tabella 6. Indagini di regolarità.

L'origine delle indagini di regolarità e macrotessitura corrisponde per la Pista di Volo con la Testata 08 (compresa la pavimentazione rigida), mentre per i raccordi è stata assunta la medesima origine dei rilievi georadar e deflettometrici.



4 DETERMINAZIONE DEI MODULI ELASTICI DEI SINGOLI STRATI COMPONENTI LA PAVIMENTAZIONE E DEL SOTTOFONDO ALLA TEMPERATURA DI PROVA

Sulla base dei valori rilevati delle deflessioni e determinati gli spessori dei singoli strati, tramite procedure di backanalysis basate sulla modellazione della pavimentazione in un multistrato elastico, è stato possibile calcolare i seguenti moduli:

- Modulo elastico "E_e" della pavimentazione nel suo complesso compreso il relativo sottofondo;
- Modulo elastico "E₁" degli strati in conglomerato bituminoso:
- Modulo elastico "E₂" dello strato costituente la fondazione;
- Modulo elastico "E₃" dello strato costituente l'eventuale sottofondazione;
- Modulo elastico "E_s" del sottofondo.

Lo schema di multistrato utilizzato per modellare la pavimentazione esaminata ai fini della determinazione dei valori dei moduli è riportato in Figura 18.

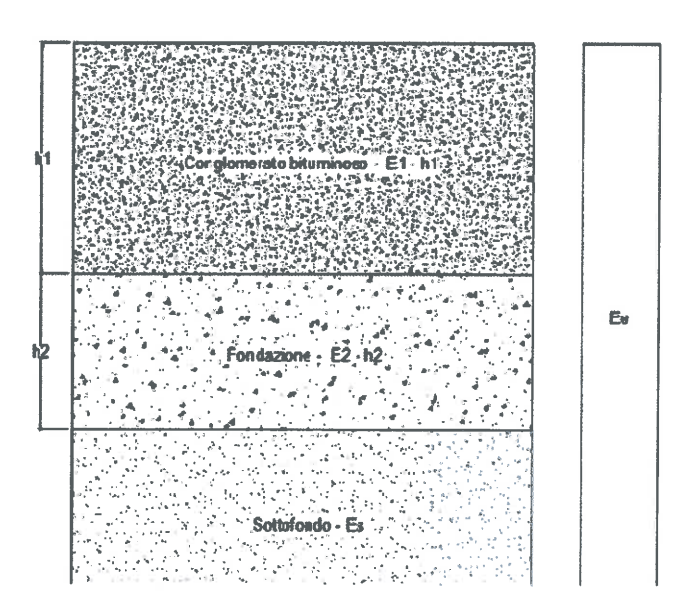


Figura 18. Stratigrafia utilizzata per la back calculation nell'indagine eseguita.



La stratigrafia utilizzata per la backcalculation è stata determinata mediante indagini georadar supportate dall'esecuzione di N.4 carotaggi eseguiti per la taratura del sistema GPR (Ground Penetrating Radar).

Al fine di minimizzare gli errori in fase di elaborazione dei dati HWD sono stati assunti gli spessori dei conglomerati bituminosi "meccanicamente efficaci".

Per il calcolo secondo la procedura di backanalysis è stato utilizzato il software "ELMOD" - Versione 6.1.73 del Maggio 2014, prodotto della Dynatest International A/S implementato su elaboratore elettronico.

Il software prevede diversi algoritmi per il calcolo dei moduli di elasticità.

Nel caso in esame i metodi utilizzati sono stati il M.E.T. (Method of Equivalent Thickness) basato sulla teoria di Odemark che prevede che lo stato tensionale agente in un punto specifico della pavimentazione dipende dalla rigidezza degli strati sovrastanti ed il F.E.M. (Finite Element Method) con il quale la sovrastruttura viene discretizzata in elementi finiti mediante la creazione di opportune mesh.

La prima procedura (M.E.T.), prevede il calcolo dei moduli elastici con il metodo degli spessori equivalenti e permette di valutare la non linearità del sottofondo.

La seconda (F.E.M.) permette di effettuare la back-calculation dei moduli considerando la possibilità che tutti gli strati costituenti la pavimentazione abbiano comportamento di tipo non-lineare.

L'equazione che viene utilizzata per la loro determinazione è la seguente:

$$E = C \times \left(\frac{\sigma_1}{p}\right)^n$$

dove

 σ_1 = tensione principale maggiore;

p = pressione atmosferica;

n = costante che indica la non linearità del materiale.



C = costante che assume il valore del modulo nel caso di comportamento dello strato di tipo lineare (n = 0).

4.1 MODELLO DI DEFORMAZIONE DELLA PAVIMENTAZIONE NEL SUO COMPLESSO ALLA TEMPERATURA DI PROVA

Per una valutazione di massima della capacità portante dell'insieme costituito dagli strati componenti la pavimentazione compreso il sottofondo è utile determinare il valore del modulo "Ee" che esprime la rigidezza dell'insieme di cui sopra.

Tale parametro è valutabile tramite la seguente relazione di Boussinesq:

$$E_e = \frac{f \cdot (1 - v^2) \cdot \sigma_1 \cdot a}{d_1} \tag{1}$$

dove:

f: è un fattore che dipende dal tipo di distribuzione del carico che può essere assunto pari a 2;

v: è il coefficiente di Poisson che nel presente caso è assunto pari a 0.35;

a: è il raggio della piastra di carico, che nel caso in questione è pari a 150 mm;

d₁: è la deflessione della piastra di carico;

 σ_1 : è la pressione trasmessa dalla piastra di carico sulla pavimentazione.

Anche i valori del modulo "Ee" calcolati con la precedente espressione (1) sono riportati, in corrispondenza di ogni postazione di prova.



5 CLASSIFICAZIONE DELLE PAVIMENTAZIONI MEDIANTE METODO ACN/PCN

5.1 INTRODUZIONE

La classificazione delle pavimentazioni è stata effettuata ricorrendo alla procedura internazionale unificata, sviluppata dall'ICAO, che si basa sulla definizione degli indici ACN e PCN (Annesso 14 – Volume I – ed in "Aerodrom Design Manual" – Doc 9157 – AN/901).

Utilizzando questo metodo è possibile esprimere l'effetto che un determinato aereo ha su differenti tipologie di pavimentazioni attraverso un singolo indice numerico, che varia al variare della tipologia e della resistenza della sovrastruttura e del sottofondo. Questo numero prende il nome di ACN (Aircraft Classification Number).

D'altra parte, anche la capacità portante di una pavimentazione può essere espressa da un singolo indice numerico che prende il nome di PCN (Pavement Classification Number).

L'ACN rappresenta quindi il carico equivalente che un aeromobile applica sulla pavimentazione, mentre il PCN rappresenta il carico equivalente che una data pavimentazione è in grado di sopportare.

Dal confronto tra questi due indici numerici è possibile ricavare se la pavimentazione di una pista aeroportuale è in grado o meno di resistere al carico trasmesso dal passaggio di un determinato tipo di aeromobile.

Infatti la procedura di classificazione ACN/PCN è strutturata in modo tale che una pavimentazione con un determinato valore di PCN possa accogliere, senza restrizioni di peso, un aeromobile caratterizzato da un ACN uguale o minore al valore del PCN della pavimentazione.

Il calcolo del PCN è stato quindi eseguito secondo la procedura riportata nel manuale ICAO "Aerodrome Design Manual – Part 3 – Second Edition, 1983" e



nell'advisory Circular della FAA AC 150/5335-5C "Standardized Method of Reporting Airport Pavement Strength – PCN" del 14/08/2014, utilizzando il software Elmod 6.1.73 del Maggio 2014.

Il numero di ripetizioni di carico utilizzate per il calcolo del PCN è stato determinato mediante la procedura indicata dalla Advisory Circulary FAA 150/5335-5C "Standardized Method of Reporting Airport Pavement Strength – PCN, contenente le indicazioni per l'individuazione dell'aereo critico e per la conversione dell'intero spettro di traffico trasmesso dalla Committenza.

5.2 ANALISI DELLO SPETTRO DI TRAFFICO E DETERMINAZIONE DELL'AEREO CRITICO

La determinazione dei parametri ACN e PCN richiede la valutazione preliminare dello spettro di traffico al fine di identificare le tipologie di aeromobili in transito presso l'Aeroporto "V.Bellini" di Catania, il numero di movimenti annui (decolli ed atterraggi) di ciascun aeromobile e, in maniera più approfondita, il traffico che interessa ciascuna infrastruttura appartenente al sedime aeroportuale.

<u>La Committenza ha fornito i dati relativi al traffico aereo in transito presso</u>

<u>l'Aeroporto "V.Bellini" di Catania nell'anno 2015 (vedi Tabella 7).</u>

L'inserimento del mix di aeromobili nel software di calcolo è avvenuto raggruppando alcuni modelli aventi simili caratteristiche costruttive (MTOW, tipologia del carrello...).



Società Aeroporto Catania S.p.A.

*Modello AM	MODELLO AM	Mov
AT7	AEROSPATIALE/ALENIA ATR72	1,30
19C	AIRBUS A319	24
319	AIRBUS INDUSTRIE A319	8,29
320	AIRBUS INDUSTRIE A320	16,31:
A32	AIRBUS INDUSTRIE A320	34
A3G	AIRBUS INDUSTRIE A320	14
321	AIRBUS INDUSTRIE A321	2,49
332	AIRBUS INDUSTRIE A330-200	
14Z	BAE	
14Y	BAE 146 FREIGHTER	11
717	BOEING 717	4,49
73Y	BOEING 737-300 FREIGHTER	4-
733	BOEING 737-300 PASSENGER	1,75
734	BOEING 737-400 PASSENGER	1,72
735	BOEING 737-500 PASSENGER	10
73G	BOEING 737-700 PASSENGER	238
73W	BOEING 737-700 (WINGLETS) PAX	800
738	BOEING 737-800 PASSENGER	1,47
73H	BOEING 737-800 (WINGLETS) PAX	10,729
739	BOEING 737-900 PASSENGER	4
73J	BOEING 737-900 WINGLETS PAX	
73F	BOEING 737 ALL FREIGHTER	382
73P	BOEING 737 ALL FREIGHTER	48
737	BOEING 737 PASSENGER	50
752	BOEING 757/200 PASSENGER	36
75W	BOEING 757 200 (WINGLETS) PAX	50
753	BOEING 757/300 PASSENGER	
757	BOEING 757 PASSENGER	14
763	BOEING 767-300 PASSENGER	2
76W	BOEING 767-300 PAX (WINGLETS)	
14F	BR. AER. 146-200 FREIGHTER	10
142	BR. AER. 146-200 PASSENGER	1
143	BR. AER. 146-300 PASSENGER	2
146	BR. AER. 146 PASSENGER	10
CRJ	CANADAIR REGIONAL JET	2
CR2	CANADAIR REGIONAL JET 200	10
CR9	CANADAIR REGIONAL JET 900	50
DH8	DE HAVILLAND DHC-8 DASH 8	6
DH4	DE HAVILLAND DHC-8 DASH 8-400	128
E75	EMBRAER 175	258
E90	EMBRAER 190 LINEAGE 1000	371
E95	EMBRAER 195	214
EM4	EMBRAER RJ145	18
ER4	EMBRAER RJ145	36
E70	EMBRAER RJ 170	600
EM7	EMBRAER RJ170	2
EM9	EMBRAER RJ190	10
100	FOKKER 100	24
F10	FOKKER 100	10
F50	FOKKER 50	16
GR4	GULFSTREAMIV	2
LOH	LOCKHEED L-100 HERCULES	2
M80	MCDONNELL DOUGLAS MD-80	42
MB2	MCDONNELL DOUGLAS MD-80	988
		53,182

Tabella 7. Traffico in transito presso l'Aeroporto "V.Bellini" di Catania nell'anno 2015



La Tabella 8 riporta in grassetto gli aeromobili inseriti nel software di calcolo.

		ELA	BORAZION	E DATI DI TRAFFI	со				
MODELLO AEROMOBILE	FABBRICANTE	CODICE	CODICE IATA	MOVIMENTI COMPLESSIVI ANNO 2015	MAX TAKEOFF WEIGHT (t)	MODELLO DI RIFERIMENTO	MOVIMENTI EQUIVALENTI AERO MOBILE DI RIFERIMENTO	MOVIMENTI TOTALI AEROMOBILE D RIFERIMENTO	
F50	Fokker	F50	F50	16	20.80		12		
ERJ 135 / ERJ 140 / ERJ 145	EMBRAER	E145	ERJ	54	20.99		41		
ATR 42 / ATR 72	ATR	AT72	ATR	1306	22.00	1	1051		
CL-600 Regional Jet CRJ-200	Ca na dair	CRJ2	CR2	10	24.00	1	9		
DHC-8-400 Dash 8Q	De Havilland Canada	DH8D	DH4	128	27.33	CRJ2	128	2435	
DHC-8 Dash 8	De Havilland Canada	DHC8	DH8	6	27.33		6		
CRJ	Canadair	CRJ	CRJ	2	35.00	1	3	11	
EMB 170 / EMB 175	EMBRAER	E170	E70	860	35.45		1116		
CL-600 Regional Jet CRJ-900	Canadair	CRJ9	CR9	50	38.00		70		
GR4	Gulfstream IV	GR4	GR4	2	41.20		2		
146 Freighter (-200QT & QC)	BAe	B462	14Y	21	44.00	1	21	726	
146-300	BAe	B463	14Z	20	40.60		18		
FOKKER F100	Fokker	F100	F10	34	44.68	Fokker 100	34		
EMBRAER 195	EMBRAER	E195	E90	214	46.99		225		
EMBRAER 190	EMBRAER	E190	E90	381	50.00		426		
B717	Boeing	B717	717	4492	53.52	B717 -	4492	4492	
737-500	Boeing	B735	735	10	60.56		10	4768	
737-300	Boeing	B733	733	1797	63.28		1797		
MD-80	McDonnell Douglas	MD80	M80	42	64.00	BOEING	42		
MD-82	McDonnell Douglas	MD82	M82	988	68.00	737-300	1062		
737-400	Boeing	B734	734	1727	68.04		1857		
737-700	Boeing	B737	73G	238	70.08		217		
737-700 (winglets)	Boeing	B737	73W	800	70.08		728		
-182/282/382 (L-100) Ercole	Lockheed	-	LOH	2	70.30		2		
A319	Airbus	A319	319	8318	75.50		8156		
A320	Airbus	A320	320	16361	77.00	Airbus A320	16361	38475	
B737	Boeing	B737	737	50	79.02		51		
737 Freighter	Boeing	B737	73F	430	79.02		441		
737-800 (winglets)	Boeing	B738	73H	10729	79.02		11010		
737-800	Boeing	B738	738	1471	79.02		1510		
A321	Airbus	A321	321	2497	83.40		2497		
737-900	Boeing	B739	739	4	85.37	Airbus A321	4	2507	
737-900 (winglets)	Boeing	B739	739	6	85.37		6		
757 200 winglets	8oeing	B757	75W	50	116.12		50		
757-200	Boeing	B752	752	36	116.12	BOEING	36	100	
757	Boeing	B757	757	14	116.12	757-200	14		
757-300	Boeing	B753	753	6	124.06	BOEING 757-300	6	6	
767-300	Boeing	B763	763	2	163.75	BOEING	2		
				-				4	
767-300 winglets	Boeing	B767	76W	2	163.75	767-300	2		

Tabella 8. Traffico del 2015 elaborato per l'inserimento nel software di calcolo.

Relativamente alla Pista di Volo si è assunto il 100% del traffico (decolli + atterraggi) come raccomandato dal FAA nella circolare AC150/5335-5C, mentre per la via di rullaggio ed i raccordi Golf e Foxtrot è stato considerato solamente il 50% dei movimenti complessivi che corrispondono al totale degli atterraggi.



Il traffico elaborato come descritto è stato successivamente inserito nel software di calcolo ELMOD 6.1.73 che, relativamente alla infrastruttura analizzata, determina il Cumulative Damage Factor (CDF) che ciascun aeromobile appartenente all'intero mix arreca alla pavimentazione.

Dal confronto dei valori CDF per ogni singolo tipo di aereo che compone il traffico di progetto, si determina l'aereo critico che apporta il maggior danno alla pavimentazione (non necessariamente sarà quello avente il massimo peso lordo).

Per questa tipologia ed entità di traffico e caratteristiche degli strati costituenti la sovrastruttura, l'aereo critico risulta essere <u>l'Airbus A320.</u>

La Tabella 9 mostra un riepilogo delle caratteristiche principali dell'aereo critico.

AIRBUS A320 - Landing Gear Characteristics		
Number of Main Gear: 2	Wheels On Main Gear:2 Type: Dual	
Maximum Taking Off Weight: 77000 kg	Wheel Distance: 930 mm Tread: 9600 mm	
% Gross Weight on Main Gears: 95.00	Tire Pressure (kPa): 1.45	

Tabella 9. Principali caratteristiche del carrello d'atterraggio dell'Airbus A320.

Numerose analisi sperimentali hanno dimostrato l'esistenza di una dispersione delle traiettorie dei velivoli attorno alla center line, secondo una distribuzione di tipo normale (fenomeno denominato wander).

Questa dispersione varia in funzione del tipo di aereo ed è minore dove il traffico è maggiormente "canalizzato" (piste di rullaggio, bretelle di raccordo) rispetto alle piste di volo; in considerazione ti tale fenomeno è stato introdotto un coefficiente correttivo: il cosiddetto pass to coverage ratio (rapporto di ricoprimento) che rappresenta il numero di passaggi dell'aereo necessari per coprire il medesimo punto di passaggio. Per l'aereo critico considerato, Airbus A320, il coefficiente P/C ratio è pari a 3,48.



5.3 DETERMINAZIONE DELL'INDICE ACN

Come già evidenziato in precedenza, l'ACN è un indice numerico che esprime la "domanda" strutturale di un determinato aereo in termini di carico su ruota singola standard.

Per le pavimentazioni flessibili la procedura ICAO prevede di determinare l'azione del carrello principale di atterraggio del velivolo attraverso il metodo CBR per un numero arbitrario di passaggi pari a 10⁴.

Per le pavimentazioni rigide si prevede di determinare l'azione del carrello principale di atterraggio del velivolo attraverso l'utilizzo delle soluzioni elaborate da Westergaard per una piastra elastica su fondazione alla Winkler, assumendo che il calcestruzzo lavori ad una tensione di 2,75 MPa.

Vengono prese in considerazione quattro classi di resistenza del sottofondo:

Codice	Informazione
	Sottofondo a resistenza alta
Α	CBR = 15 per pavimentazioni flessibili (campo CBR > 13);
	K = 150 MN/m3 per pavimentazioni rigide (campo K > 120 MN/m3)
Sottofondo a resistenza media	
B CBR = 10 per pav. flessibili (campo 8 < CBR < 13);	
	K = 80 MN/m3 per pav. rigide (campo 60 < K < 120 MN/m3)
	Sottofondo a resistenza bassa
С	CBR = 6 per pav. flessibili (campo 4 < CBR < 8);
	K = 40 MN/m3 per pav. rigide (campo 25 < K < 60 MN/m3)
	Sottofondo a resistenza molto bassa
D	CBR = 3 per pavimentazioni flessibili (campo CBR < 4);
	K = 20 MN/m3 per pavimentazioni rigide (campo K < 25 MN/m3)

Tabella 10. Classi di resistenza del Sottofondo

Utilizzando queste informazioni viene calcolato il carico su ruota singola avente pressione di gonfiaggio pari a 1,25 MPa che, per ogni livello di resistenza del sottofondo, determina gli stessi spessori della pavimentazione di quelli necessari al velivolo in esame. Il carico su ruota singola che scaturisce da questa



analisi, espresso in chilogrammi e diviso per 500, rappresenta per convenzione l'indice ACN del velivolo.

La categoria relativa al sottofondo per ciascuna postazione di indagine viene determinata dal software Elmod 6.1.73 partendo dal modulo di rigidezza determinato mediante backcalculation ed utilizzando le seguenti relazioni note in letteratura:

• Pavimentazioni flessibili:

$$E(MPa) = 17.6 * CBR\%^{0.64}$$
 (Powell et al., 1984)

Pavimentazioni rigide:

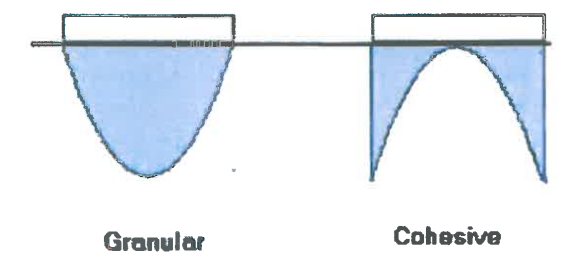
$$k = \frac{E}{f*(1-v^2)*a}$$
 (Westergaard, 1925)

Dove:

f = dipende dalla distribuzione delle tensioni;

v = coeff. di poisson;

a = raggio della piastra di carico.



Stress distribution	· f
Uniform	2
Rigid plate	π/2
Parabolic, granular	8/3
Parabolic, cohesive	4/3

Figura 19. Tipica distribuzione delle tensioni in sottofondi granulari o coesivi sotto la piastra di carico.

5.4 DETERMINAZIONE DELL'INDICE PCN

Il PCN è un indice numerico che esprime "l'offerta" strutturale della pavimentazione, definita come capacità di sopportare i carichi trasmessi da una ruota singola standard con una pressione di gonfiaggio pari a 1,25 MPa.



La valutazione della resistenza di una pavimentazione in termine d'indice PCN è un processo che porta all'individuazione del carico massimo ammissibile su ruota singola di un determinato aereo definito "critico", il cui valore di ACN corrisponde proprio al valore minimo di PCN da assegnare alla pavimentazione in esame.

L'indice PCN si compone di 5 codici, uno numerico seguito da quattro alfanumerici, ognuno dei quali fornisce le seguenti informazioni:

- 1. valore numerico del PCN: indica la capacità portante relativa della pavimentazione espressa in termini di carico trasmesso da una ruota singola standard alla pressione di gonfiaggio pari a 1,25 MPa;
- 2 tipo di pavimentazione: prevede di classificare le pavimentazioni in flessibili e rigide;
- 3. portanza del sottofondo: viene codificata con lettere che vanno da A a D per entrambi i tipi di pavimentazione anche se deve essere sottolineato che le modalità di determinazione dei parametri rappresentativi della portanza del sottofondo sono diverse e condotte con apparecchiature differenti per i due tipi di pavimentazioni (Tabella 10).
- 4. pressione massima dei pneumatici: vengono individuate quattro classi di riferimento.

Codice	Informazione
w	Nessun limite di pressione
X	Pressione limitata a 1,50 MPa (campo 1,01 – 1,50 MPa)
Y	Pressione limitata a 1,00 MPa (campo 0,51 – 1,00 MPa)
Z	Pressione limitata a 0,50 MPa (campo 0 – 0,50 MPa)

Tabella 11. Classi relative alla pressione dei pneumatici

Nel caso di pavimentazioni rigide, la pressione di gonfiaggio dei pneumatici, assume un valore minoritario, e viene assegnato sempre il codice W;



5. metodo di valutazione: secondo le indicazioni ICAO è possibile ricavare l'indice PCN o attraverso una semplice analisi visiva programmata (Codice U), per cui il codice numerico del PCN viene assunto pari all'ACN maggiore tra quelli degli aerei che transitano sulle pavimentazioni aeroportuali, o attraverso analisi ingegneristiche correlate al traffico operativo e ad un'attenta analisi delle caratteristiche strutturali della pavimentazione e del sottofondo (Codice T).

Le pavimentazioni subiscono un progressivo deterioramento sotto gli effetti combinati dei carichi e delle condizioni climatiche. Sia il numero di ripetizioni che l'entità dei carichi contribuiscono al deterioramento. Il PCN di una data pavimentazione dipenderà pertanto, non solo dalla struttura stessa, ma anche dal numero stimato di ripetizioni di carico che essa dovrà subire nell'arco della sua vita utile. Se questo numero sarà elevato, il PCN risulterà più basso di quello che corrisponde ad un numero di ripetizioni più limitato.

Per quanto riguarda il sottofondo e la fondazione è stata adottata la seguente relazione (Kirk) che limita la massima tensione verticale sulla sommità dello strato (σ_{vmax}) in base al numero di ripetizioni di carico N:

$$\sigma_{v_{max}} = 0.120 \cdot \left(\frac{E}{160}\right)^{123} \cdot \left(\frac{N}{10^6}\right)^{-0.173}$$

dove E indica il modulo dello strato.

Relativamente alla pavimentazione in conglomerato bituminoso si è utilizzata la <u>legge di fatica dell'Asphalt Institute</u> di seguito riportata implementata nel software di calcolo.

$$N = 18.4 * C * 4.325 * 10^{-3} * \varepsilon_t^{-3.291} * E^{-0.854}$$

Dove:

N = numero di cicli di traffico che portano a rottura la pavimentazione per fatica:

C = coeff. funzione dell'indice dei vuoti nel conglomerato bituminoso;



 $arepsilon_t$ = deformazione orizzontale alla base degli strati in conglomerato bituminoso:

E = modulo di rigidezza degli strati in conglomerato bituminoso.

Il calcolo del PCN è stato quindi eseguito secondo la procedura riportata nel manuale ICAO "Aerodrome Design Manual – Part 3 – Pavements – Second Edition, 1983", e aggiornata con l'ultima Circolare della Federal Aviation Administration AC 150/5335-5C utilizzando il software Elmod 6.1.73 del Maggio 2014.

Nel calcolo dell'indice PCN si è fatto riferimento allo spettro di traffico evidenziato in Tabella 8 determinando mediante procedura del Cumulative Damage Factor (CDF) l'aeromobile critico e il relativo traffico equivalente secondo la formula:

Equivalent Departures = Critical Aircraft departures * (damage Individual

Aircraft / damage Critical Aircraft)



6 RISULTATI DELLE INDAGINI

6.1 INDAGINI GEORADAR

Si riportano in allegato alcuni radargrammi esemplificativi con l'individuazione degli spessori di ciascuno strato.

Gli spessori rilevati propedeutici alle indagini deflettometriche sono sintetizzati nelle tabelle riepilogative delle indagini di portanza.

6.2 INDAGINI DI REGOLARITÀ SUPERFICIALE E MACROTESSITURA

Si riportano di seguito le risultanze delle indagini di regolarità e macrotessitura eseguite mediante profilometro inerziale di classe 1 tipo Road Surface Profiler (RSP) DYNATEST 5051 Mark IV.

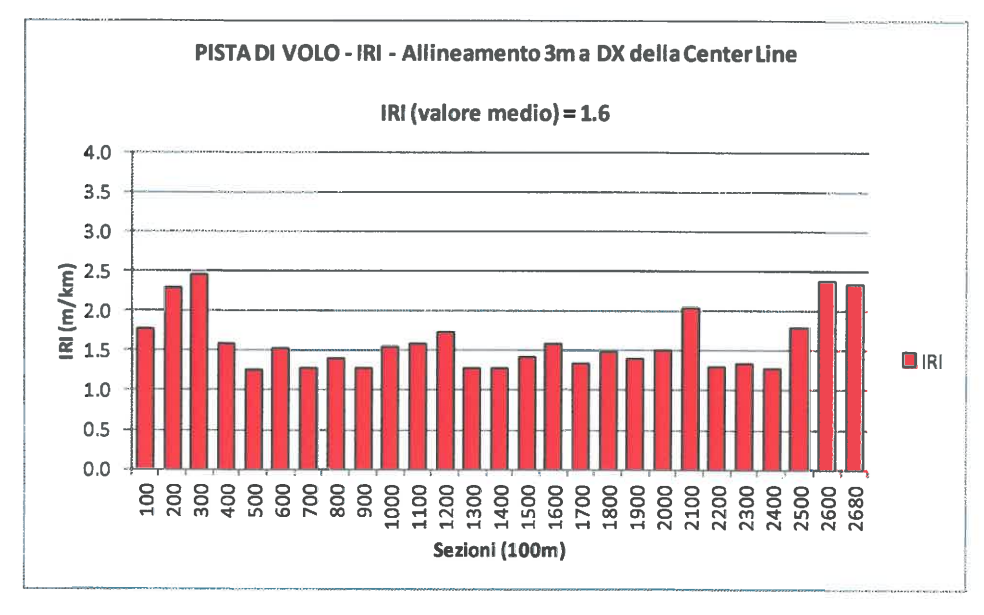


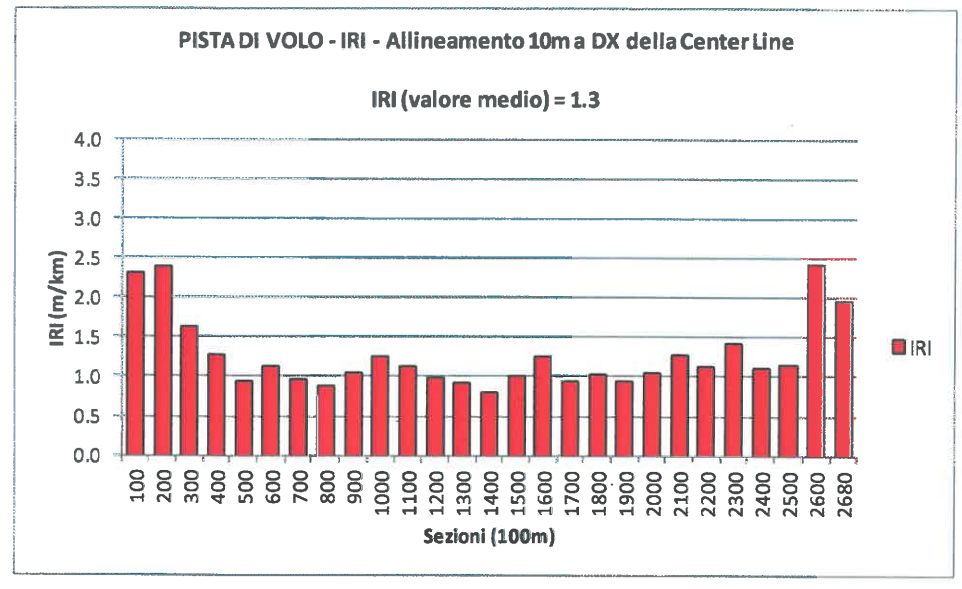
6.2.1 PISTA DI VOLO -REGOLARITÀ SUPERFICIALE (IRI)

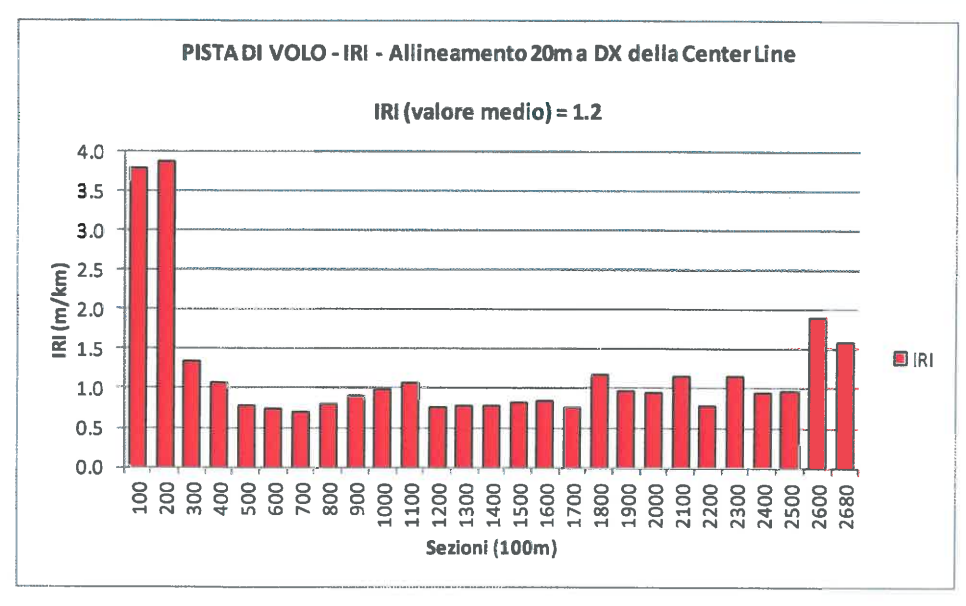
	AEROPO	RTO "FON"	TANAROSS	A" DI CATA	ANIA - PIST	A DI VOLO	08/26	
Progre	essive				IRI			
Da [m]	a [m]	All. +3m	All. +10m	All. +20m	All. CL	All3m	All10m	All20m
0 4	100	1.8	2.3	3.8	1.3	2.1	1.8	1.4
100	200	2.3	2.4	3.9	2.3	2.8	2.0	2.1
200	300	2.5	1.6	1.4	1.8	2.3	1.4	2.0
300	400	1.6	1.3	1.1	1.3	1.8	1.2	1.7
400	500	1.3	0.9	0.8	1.1	1.5	0.9	1.4
500	600	1.5	1.1	0.7	1.3	1.9	0.8	1.0
600	700	1.3	1.0	0.7	0.9	1.4	0.9	1.0
700	800	1.4	0.9	0.8	1.1	1.4	0.9	0.9
800	900	1.3	1.1	0.9	1.1	1.3	0.8	1.0
900	1000	1.6	1.3	1.0	1.2	1.4	1.0	1.2
1000	1100	1.6	1.1	1.1	1.4	1.4	1.2	1.5
1100	1200	1.7	1.0	0.8	1.2	1.2	1.4	1.6
1200	1300	1.3	0.9	0.8	1.5	1.4	0.9	1.5
1300	1400	1.3	0.8	0.8	1.0	1.3	0.8	1.0
1400	1500	1.4	1.0	0.8	1.2	1.7	1.0	0.8
1500	1600	1.6	1.3	0.8	0.9	1.6	1.8	1.0
1600	1700	1.4	1.0	0.8	1.1	1.3	1.3	1.2
1700	1800	1.5	1.0	1.2	1.2	1.3	1.1	0.9
1800	1900	1.4	0.9	1.0	1.3	1.5	1.0	0.8
1900	2000	1.5	1.1	0.9	1.4	1.8	0.9	0.8
2000	2100	2.0	1.3	1.2	1.7	2.7	1.1	1.3
2100	2200	1.3	1.1	0.8	1.3	1.7	1.5	1.1
2200	2300	1.3	1.4	1.2	1.1	1.0	1.2	1.1
2300	2400	1.3	1.1	1.0	1.1	1.2	1.0	1.0
2400	2500	1.8	1.2	1.0	1.1	1.2	0.9	1.1
2500	2600	2.4	2.4	1.9	2.4	2.3	2.5	2.2
2600	2680	2.3	2.0	1.59	1.9	1.5	1.8	2.8
Valore	medio	1.6	1.3	1.2	1.3	1.6	1.2	1.3

Tabella 12. INDAGINI DI REGOLARITÀ PISTA DI VOLO - Risultati delle elaborazioni.

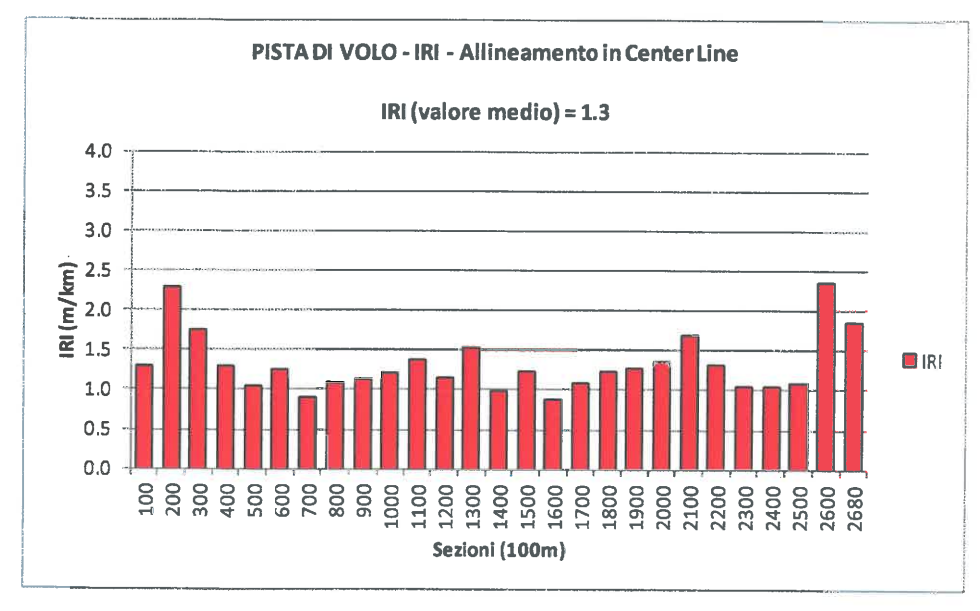


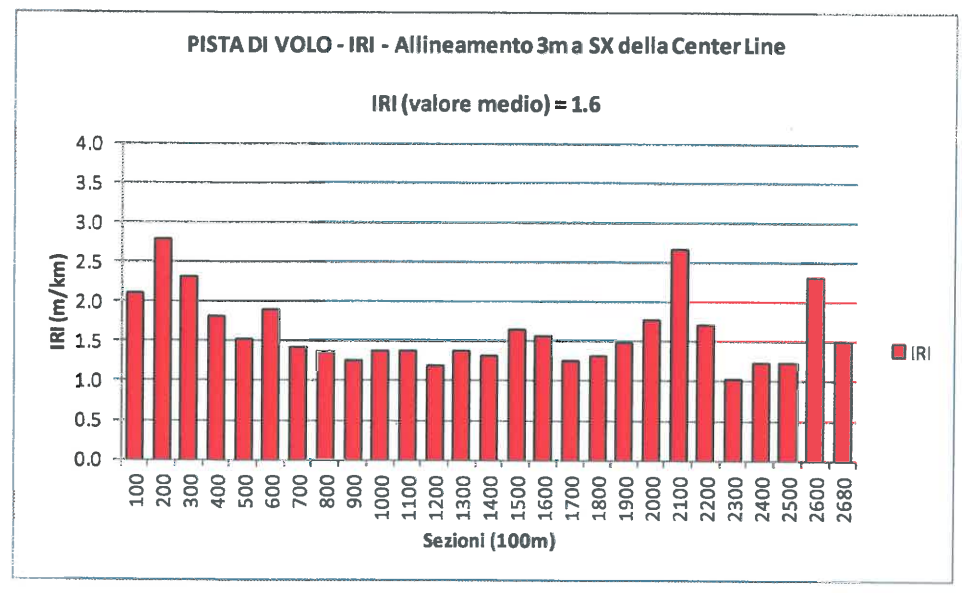


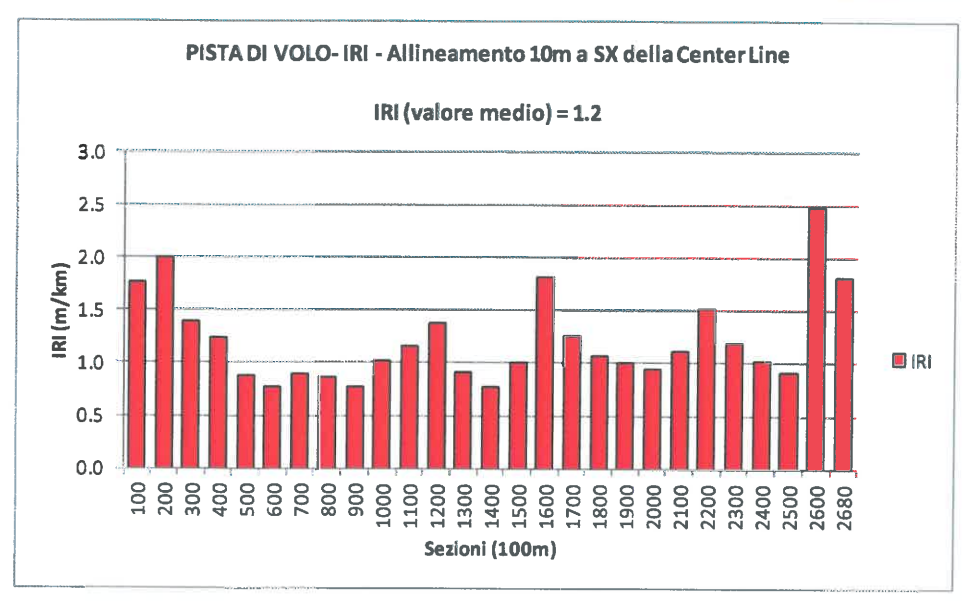




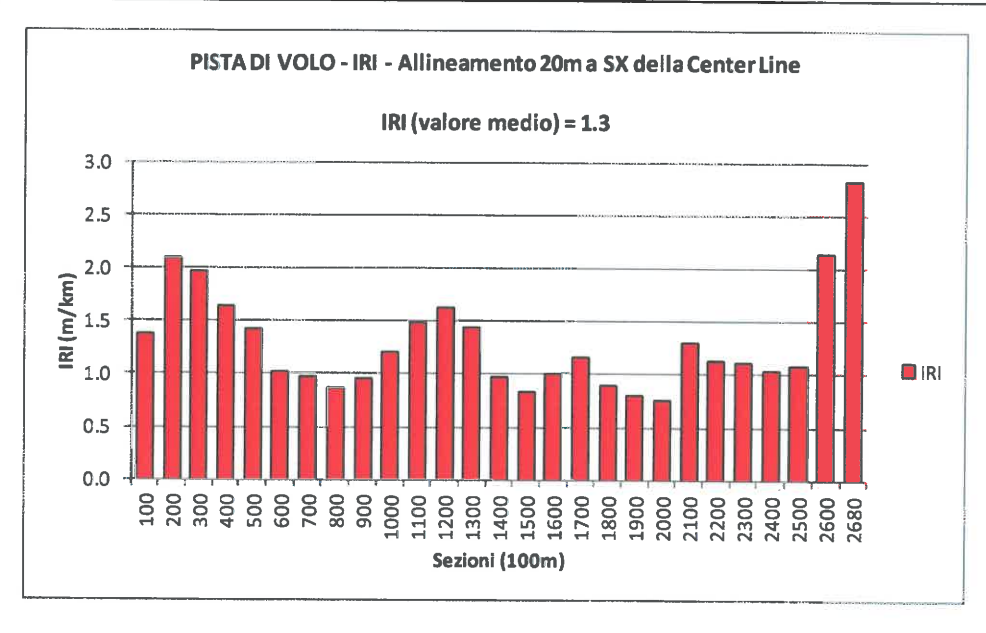










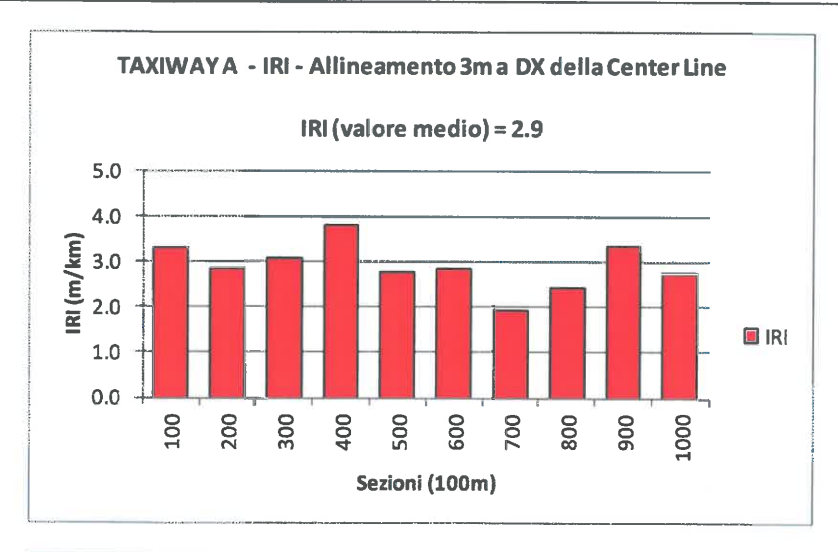


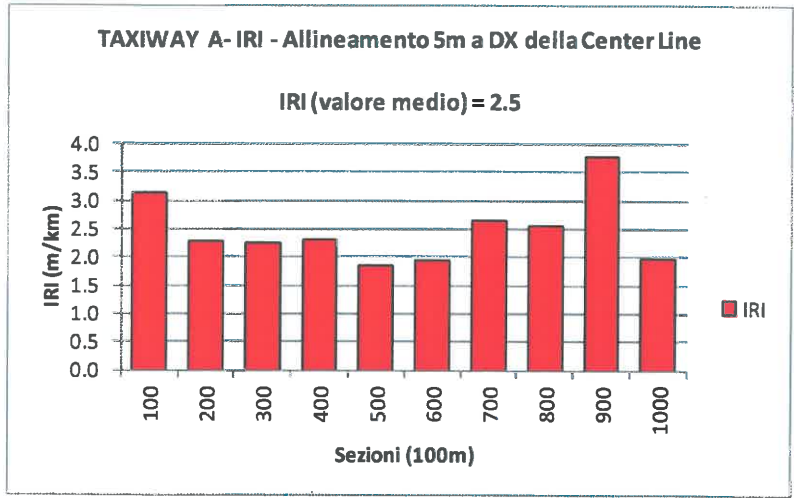
6.2.2 TAXIWAY ALPHA – REGOLARITÀ SUPERFICIALE (IRI)

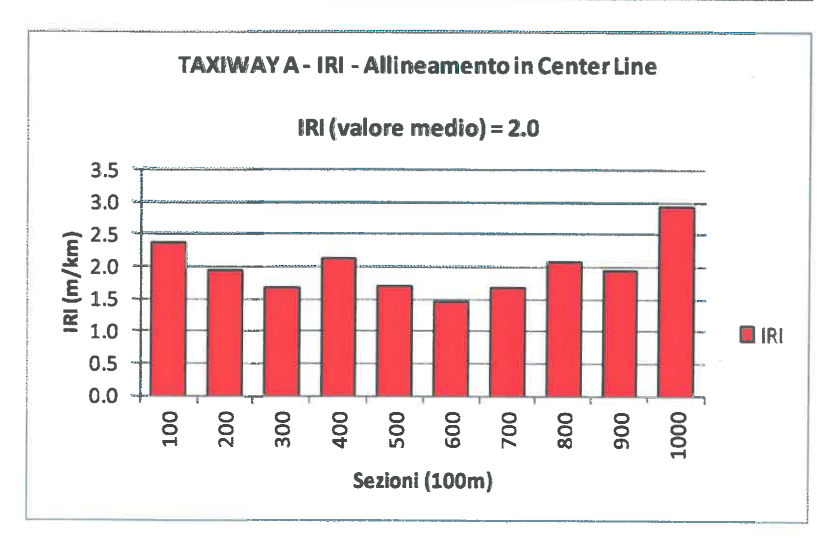
AE	ROPORTO "	FONTANAI	ROSSA" DI	CATANIA -	TAXIWAY	A
Progre	essive			IRI		
Da [m]	a [m]	All. +3m	All. +5m	All. CL	All3m	All5m
0	100	3,3	3.1	2.4	2.9	2.6
100	200	2.9	2.3	2.0	2.1	2.0
200	300	3.1	2.3	1.7	2.5	2.3
300	400	3.8	2.3	2.1	3.1	2.9
400	500	2.8	1.8	1.7	1.9	1.6
500	600	2.9	1.9	1.5	1.8	1.5
600	700	2.0	2.6	1.7	1.7	1.5
700	800	2.5	2.6	2.1	2.2	1.9
800	900	3.4	3.8	2.0	2.5	1.3
900	1000	2.7	2.0	2.9	3.4	2.5
Valore	medio	2.9	2.5	2.0	2.4	2.0

Tabella 13. INDAGINI DI REGOLARITÀ TAXIWAY A - Risultati delle elaborazioni.

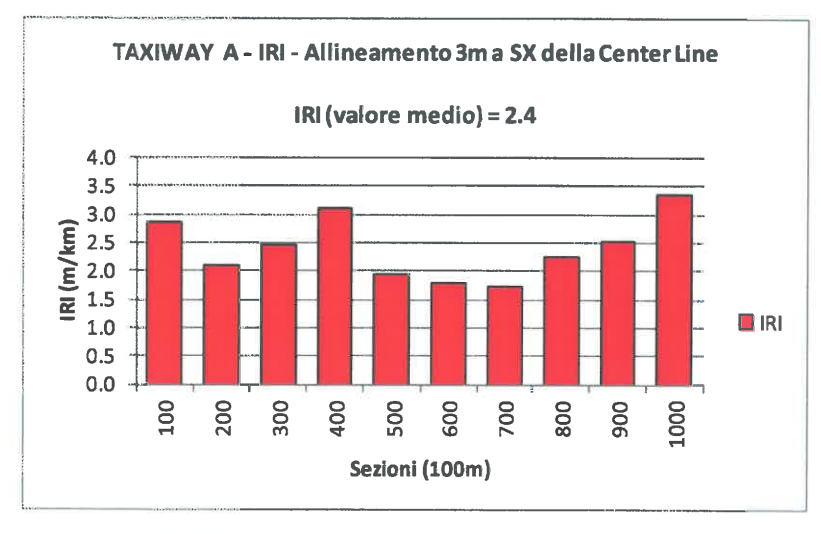


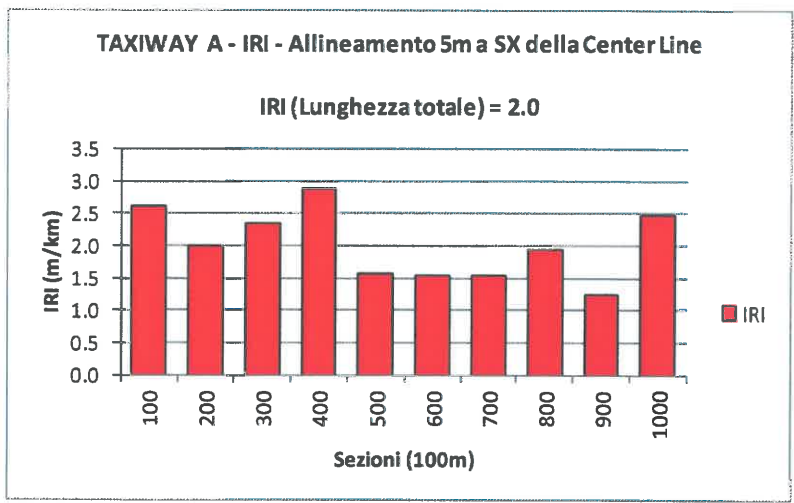












6.2.3 RACCORDI FOXTROT E GOLF – REGOLARITÀ SUPERFICIALE (IRI)

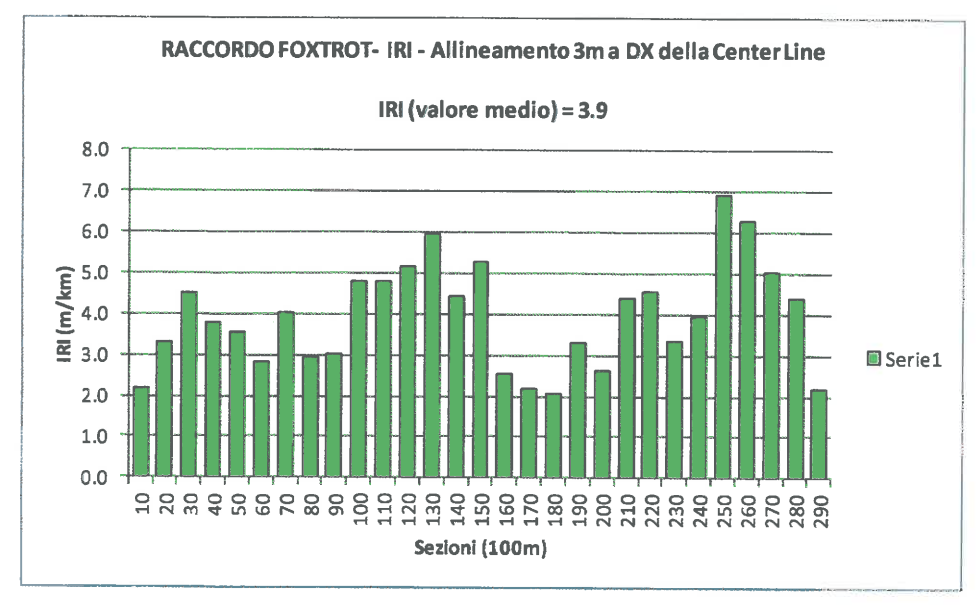
In corrispondenza dei raccordi Foxtrot e Golf l'indice di regolarità è stato calcolato su una lunghezza di 10m più rappresentativa per tronchi di dimensioni ridotte.

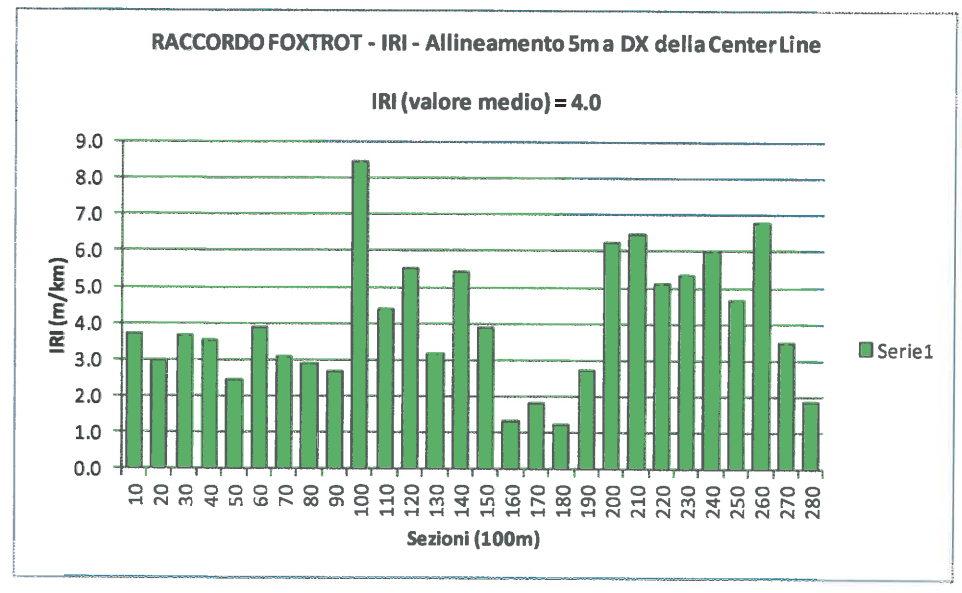


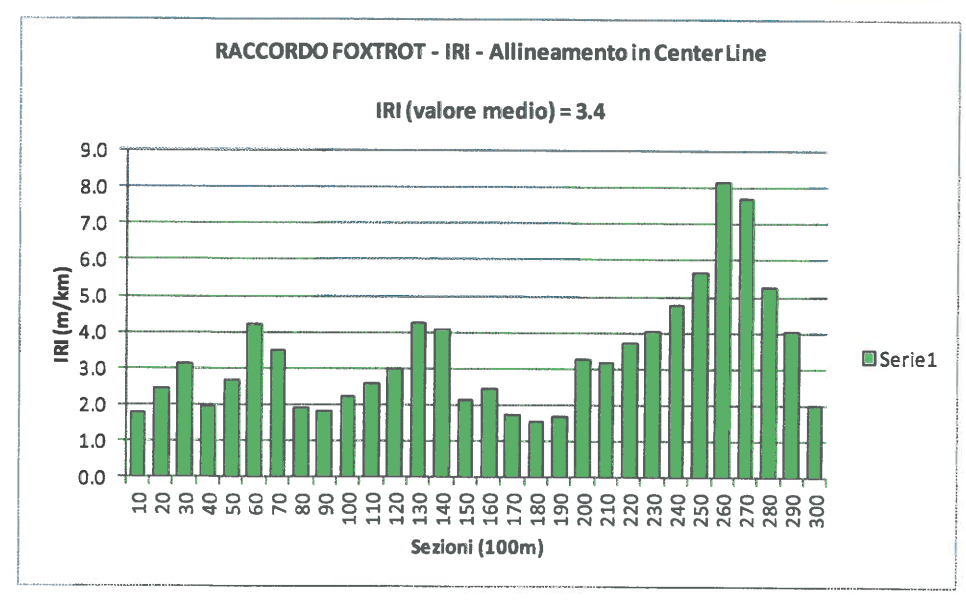
AEROPO	RTO "FON"	TANAROSS	A" DI CATA	NIA - RAC	CORDO FO	XTROT
Progre	essive			IRI		
Da [m]	a [m]	All. +3m	All. +5m	All. CL	All3m	All5m
0	10	2.2	3.7	1.8	2.6	2.3
10	20	3.3	3.0	2.5	2.4	2.9
20	30	4.5	3.7	3.1	5.8	6.1
30	40	3.8	3.5	2.0	2.5	2.3
40	50	3.6	2.4	2.7	3.5	2.7
50	60	2.8	3.9	4.2	3.6	2.8
60	70	4.0	3.1	3.5	3.7	2.8
70	80	3.0	2.9	1.9	2.9	3.0
80	90	3.0	2.7	1.8	1.9	2.9
90	100	4.8	8.4	2.2	2.6	2.0
100	110	4.8	4.4	2.6	3.1	2.8
110	120	5.17	5,53	3.01	2.45	3.14
120	130	5.95	3.17	4.26	3.48	3.4
130	140	4.43	5.45	4.07	4.7	4.47
140	150	5.26	3.89	2.14	2.93	5.36
150	160	2.54	1.32	2.47	3.28	3.38
160	170	2.18	1.81	1.74	6.15	6.69
170	180	2.08	1.24	1.55	3.09	9.62
180	190	3.31	2.71	1.71	2.46	1.83
190	200	2.64	6.24	3.26	1.98	2.06
200	210	4.37	6.49	3.2	2.93	3.33
210	220	4.56	5.1	3.74	2.5	3.65
220	230	3.36	5.34	4.03	3.22	4.85
230	240	3.94	6.01	4.78	3.96	3.91
240	250	6.9	4.65	5.67	5.15	3.64
250	260	6.27	6.8	8.13	6.89	6.14
260	270	5.04	3.51	7.68	4.73	5.24
270	280	4.4	1.86	5.24	6.59	5.47
280	290	2.18	-	4.02	3.45	3.9
290	300	-	-	2	3.46	4.78
300	310	-	-	-	2.54	2.04
310	320	-	-	-	-	1.3
Valore i	medio	3.9	4.0	3.4	3.6	3.8

Tabella 14. INDAGINI DI REGOLARITÀ RACCORDO FOXTROT - Risultati delle elaborazioni.

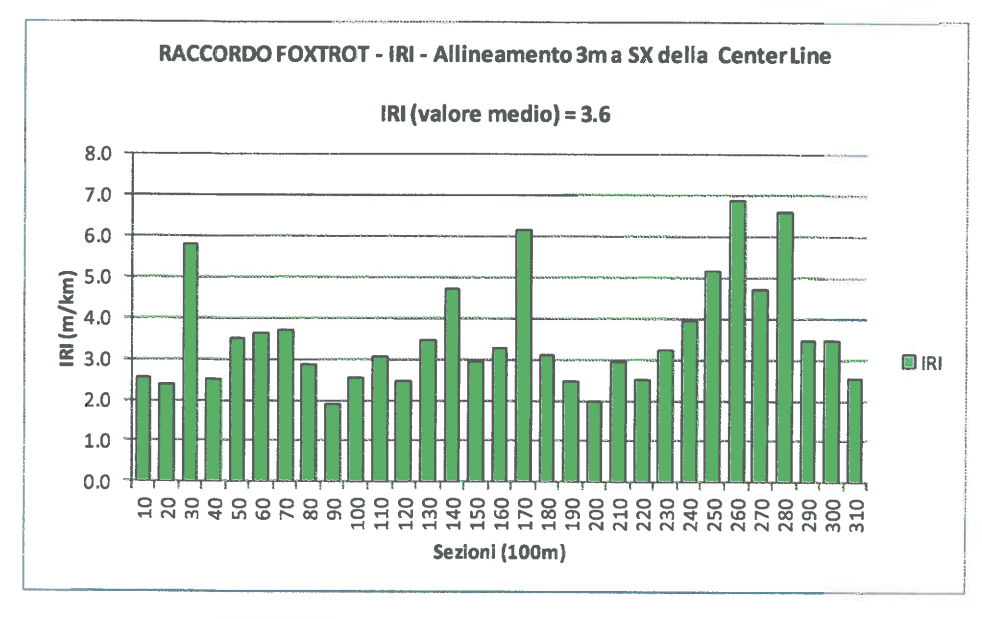


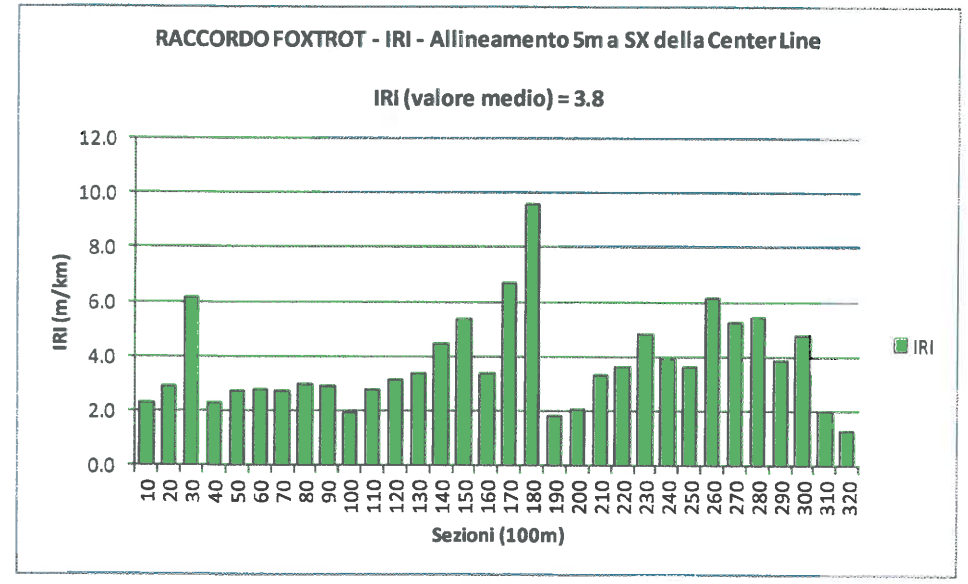










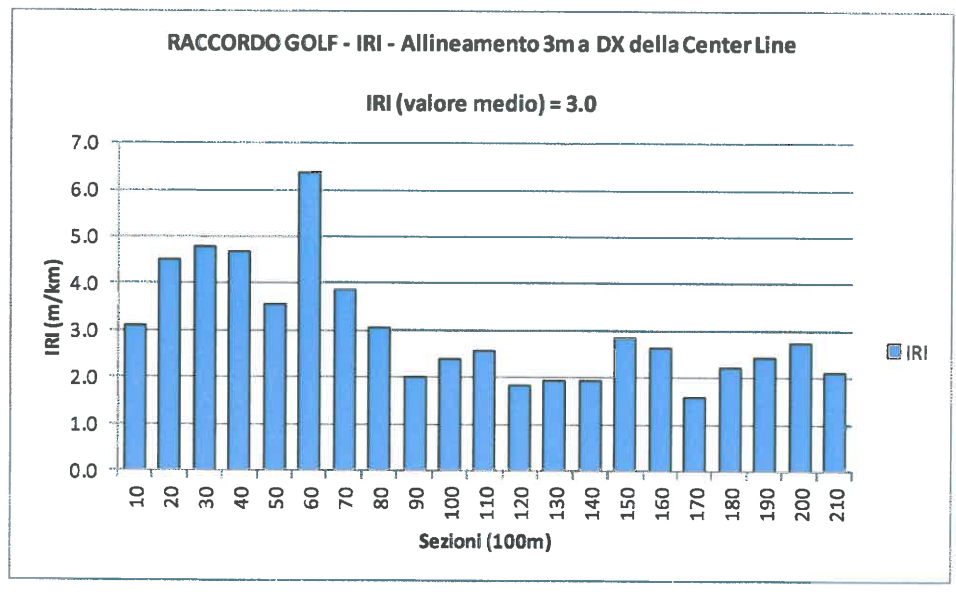


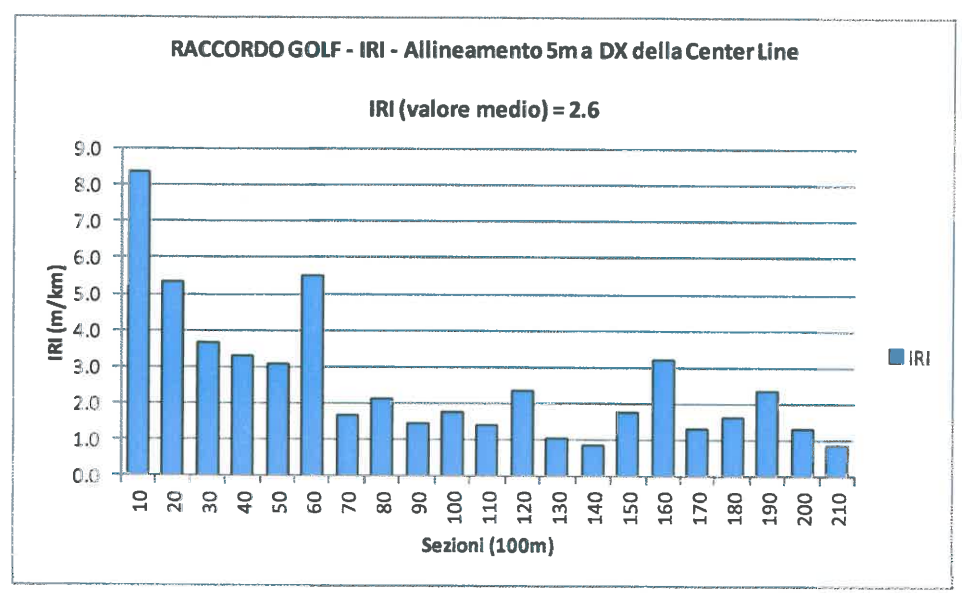


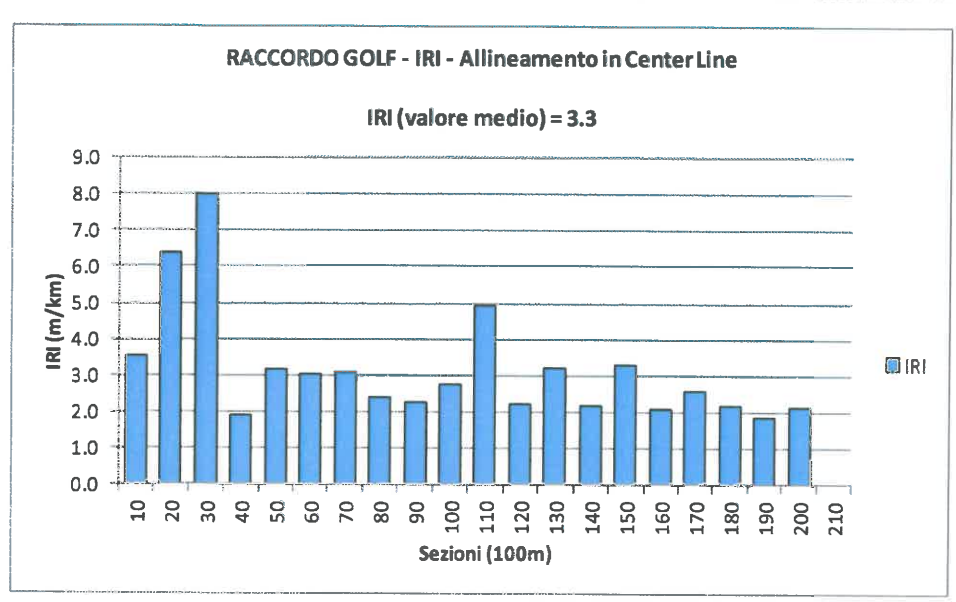
AERO	PORTO "FO	NTANARO	SSA" DI CA	TANIA - RA	ACCORDO (GOLF
Progre	essive			IRI		
Da [m]	a [m]	All. +3m	All. +5m	All. CL	All3m	All5m
0	10	3.1	8.4	3.6	7.5	4.4
10	20	4.5	5.4	6.4	4.3	4.0
20	30	4.8	3.7	8.0	3.3	4.7
30	40	4.7	3.3	1.9	3.2	2.0
40	50	3.6	3.1	3.2	2.2	1.6
50	60	6.4	5.5	3.1	3.5	3.9
60	70	3.9	1.7	3.1	5.5	6.2
70	80	3.1	2.1	2.4	3.2	2.4
80	90	2.0	1.5	2.3	4.5	2.7
90	100	2.4	1.8	2.8	3.9	3.5
100	110	2.6	1.4	4.9	4.9	2.8
110	120	1.84	2.35	2.22	2.77	1.82
120	130	1.95	1.07	3.21	3.52	1.04
130	140	1.95	0.89	2.18	1.99	1.42
140	150	2.87	1.79	3.3	1.75	1.9
150	160	2.64	3.22	2.09	2.36	2.81
160	170	1.58	1.33	2.58	2.5	2.03
170	180	2.22	1.63	2,18	1.65	2.75
180	190	2.43	2.36	1.86	1.97	3.58
190	200	2.75	1.34	2.13	0.96	-
200	210	2.11	0.87	-	-	-
Valore	medio	3.0	2.6	3.2	3.3	2.9

Tabella 15. INDAGINI DI REGOLARITÀ RACCORDO GOLF - Risultati delle elaborazioni.

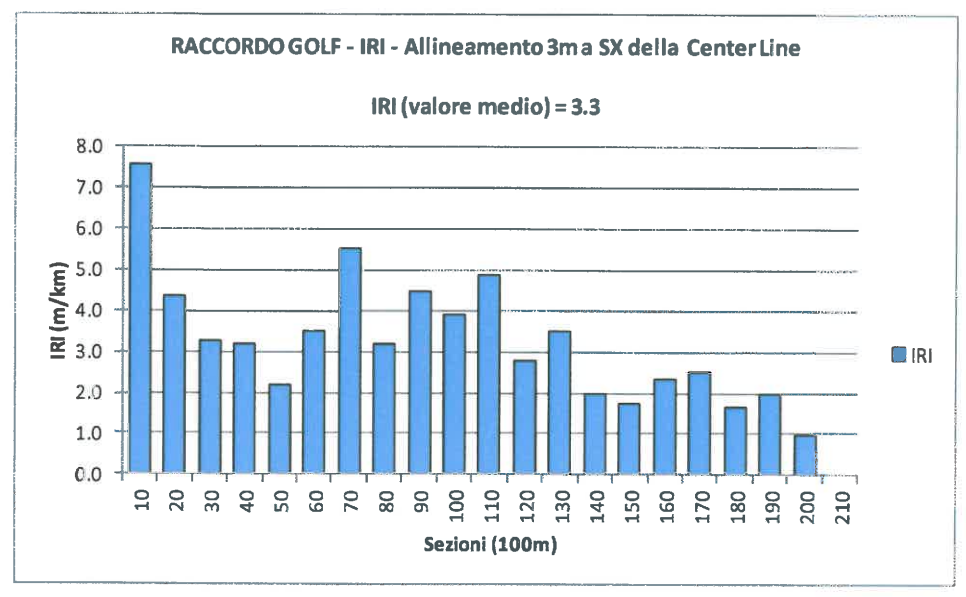


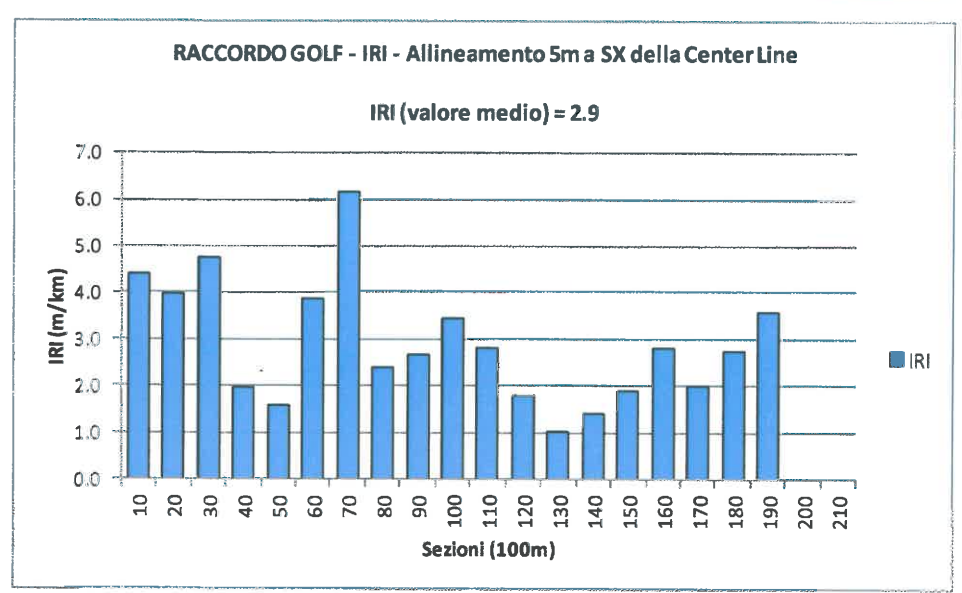














6.2.4 PISTA DI VOLO – MACROTESSITURA (MPD)

Progre	essive		PISTA DI V	OLO 08/26	- MPD (M	EAN PROF	ILE DEPTH)	
Da [m]	a [m]	All. +3m	All. +10m	All. +20m	All. CL	All3m	All10m	All20m
0	100	0.7	0.7	0.5	0.7	0.9	0.9	0.9
100	200	0.9	0.7	0.7	0.7	0.8	0.8	0.7
200	300	1.2	1.3	1.1	1.2	1.2	1.0	1.2
300	400	1.2	1.3	1.1	1.1	1.2	1.1	1.2
400	500	1.3	1.2	1.0	1.3	1.3	1.0	1.1
500	600	1.3	1.2	1.0	1.4	1.4	1.1	1.2
600	700	1.2	1.3	1.0	1.4	1.3	1.1	1.0
700	800	1.2	1.3	0.9	1.4	1.3	1.0	1.0
800	900	1.3	1.1	1.0	1.4	1.3	1.0	1.2
900	1000	1.4	1.3	0.9	1.4	1.4	1.1	1.3
1000	1100	1.4	1.4	1.1	1.3	1.3	1.1	1.3
1100	1200	1.4	1.3	1.1	1.2	1.3	1.2	1.2
1200	1300	1.3	1.2	1.1	1.2	1.2	1.1	1.2
1300	1400	1.4	1.2	1.0	1.3	1.3	0.8	1.1
1400	1500	1.4	1.3	1.0	1.2	1.3	1.0	1.1
1500	1600	1.4	1.3	0.9	1.3	1.3	1.0	1.2
1600	1700	1.4	1.3	1.0	1.3	1.2	1.1	1.3
1700	1800	1.4	1.2	1.0	1.4	1.4	1.1	1.3
1800	1900	1.4	1.2	1.0	1.4	1.3	1.1	1.2
1900	2000	1.4	1.2	0.9	1.4	1.4	1.2	1.0
2000	2100	1.3	1.0	0.8	1.4	1.3	1.1	0.9
2100	2200	1.2	1.0	0.8	1.3	1.2	1.1	1.1
2200	2300	1.2	1.0	0.9	1.2	1.0	1.2	1.0
2300	2400	1.1	1.0	0.9	1.0	0.9	1.1	0.9
2400	2500	1.0	0.9	0.8	1.0	0.9	1.0	0.9
2500	2600	0.9	0.8	0.9	0.9	1.0	0.9	0.9
2600	2680	0.8	0.8	0.8	0.7	0.7	0.8	0.7
Valore i	medio	1.23	1.13	0.92	1.20	1.18	1.03	1.06

Tabella 16. PISTA DI VOLO – MACROTESSITURA - Risultati delle elaborazioni.



6.2.5 TAXIWAY A - MACROTESSITURA (MPD)

Progre	ssive	TAXIV	WAY A - M	PD (MEAN	PROFILE D	ЕРТН)
Da [m]	a [m]	All. +3m	All. +5m	All. CL	All3m	All5m
0	100	1.1	1.0	1.1	0.9	1.1
100	200	1.1	0.9	0.9	1.0	1.1
200	300	1.1	1.0	1.0	1.1	1.1
300	400	1.1	1.0	1.0	1.2	1.1
400	500	1.2	1.0	1.0	1.3	1.1
500	600	1.1	1.1	1.0	1.3	1.2
600	700	1.1	1.0	1.1	1.3	1.2
700	800	1.2	1.1	1.1	1.2	1.1
800	900	1.1	1.1	1.0	1.2	1.1
900	1000	1.2	1.1	1.0	1.2	1.1
Valore i	medio	1.13	1.03	1.01	1.16	1.11

Tabella 17. TAXIWAY A - MACROTESSITURA - Risultati delle elaborazioni.

6.2.6 RACCORDI - MACROTESSITURA (MPD)

Progre	ssive	FOX	TROT - MP	D (MEAN F	ROFILE DE	PTH)
Da [m]	a [m]	All. +3m	All. +5m	All. CL	All3m	All5m
0	50	1.3	1.3	1.3	1.3	1.3
50	100	1.3	1.2	1.2	1.3	1.3
100	150	1.3	1.2	1.1	1.3	1.3
150	200	1.3	1.4	1.3	1.3	1.2
200	250	1.3	1.3	1.3	1.3	1.3
250	300	1.2	1.1	0.9	1.3	1.2
Valore i	medio	1.26	1.24	1.18	1.30	1.27

Tabella 18. FOXROT – MACROTESSITURA - Risultati delle elaborazioni.



Progre	ssive	G	OLF - MPD	(MEAN PROFILE DEPTH)									
Da [m]	a [m]	All. +3m	All. +5m	All. CL	All3m	All5m							
0	50	1.2	1.3	1.3	1.3	1.2							
50	100	1.1	1.2	1.3	1.3	1.1							
100	150	1.2	1.0	1.1	1.2	1.2							
150	200	1.2	1.0	1.2	1.1	1.0							
Valore	medio	1.17	1.12	1.21	1.21	1.14							

Tabella 19. GOLF - MACROTESSITURA - Risultati delle elaborazioni.

6.3 INDAGINI DI PORTANZA E CARATTERIZZAZIONE DEI CONGLOMERATI BITUMINOSI

6.3.1 Prove prestazionali di laboratorio per la determinazione delle leggi di ragguaglio e di fatica dei conglomerati bituminosi

La conoscenza delle caratteristiche reologiche dei conglomerati bituminosi presenti nelle infrastrutture aeroportuali risulta fondamentale per una corretta valutazione delle caratteristiche meccaniche alla temperatura di riferimento di 20°C (moduli di rigidezza) e della vita utile.

Le indagini deflettometriche sono state pertanto integrate con prove prestazionali di laboratorio finalizzate alla determinazione delle <u>leggi di ragguaglio</u> e di fatica.

In particolare sono state eseguite prove di laboratorio di seguito riepilogate su carotaggi eseguiti in corrispondenza dei raccordi Foxtrot e Golf e della Taxiway A.

Prove prestazionali eseguite:

- Prove di modulo a diverse temperature e frequenze in conformità alla Norma 12697-26 App.C per la determinazione delle leggi di ragguaglio;
- Prove per la determinazione della resistenza a fatica in conformità alla Norma 12697-2;

La sperimentazione è stata eseguita suddividendo ciascuna carota in modo da ricavare provini di dimensioni conformi alla Normativa per ciascuno degli strati in conglomerato bituminoso (Base, Binder, Usura).



Le leggi di ragguaglio sono state ottenute dalla media ponderata (valutata sugli spessori di ciascuno strato in relazione allo spessore totale) dei risultati ottenuti per ogni provino.

Per la determinazione delle leggi si è utilizzato il modello sigmoidale a 4 parametri di Arrhenius.

LEGGI DI RAGGUAGLIO DEI CONGLOMERATI BITUMINOSI:

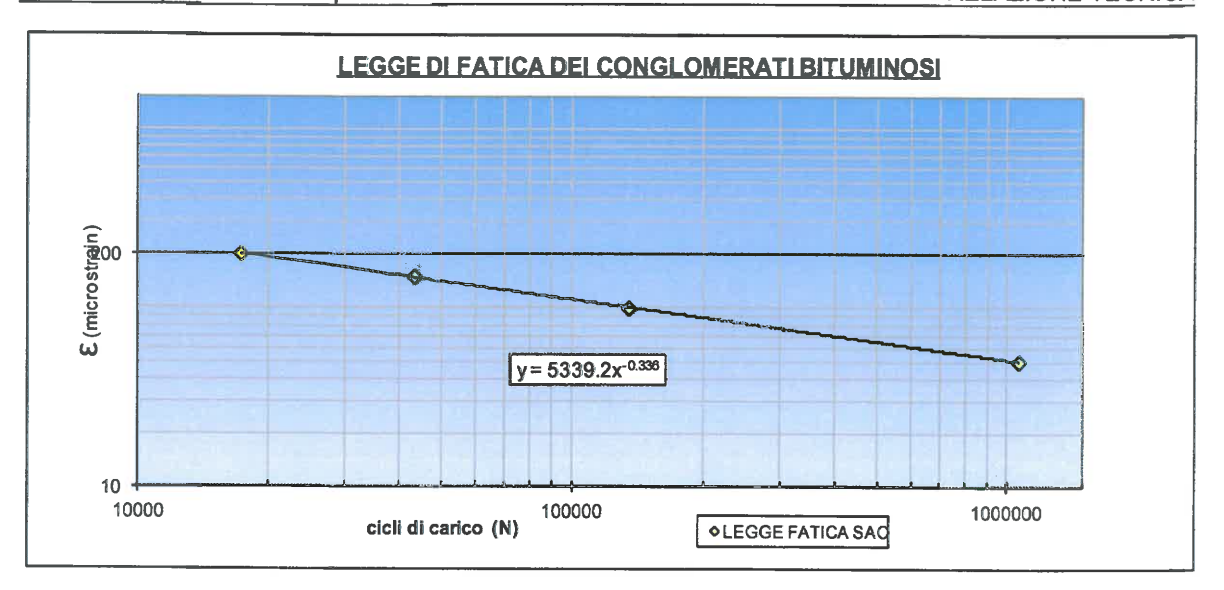
Le leggi sopra riportate sono state utilizzate per la determinazione dei moduli di rigidezza dei conglomerati bituminosi alla temperatura di riferimento di 20°C.

LEGGI DI FATICA DEI CONGLOMERATI BITUMINOSI:

Le leggi di fatica sono state determinate mediante prove di fatica su strato di base poiché quest'ultimo rappresenta lo strato che raggiunge per primo la fessurazione per fatica.

	PROV	E DI FATICA CON	NGLOMERA	TI BITUMINOSI	AEROPORTO	CATANIA	-513-7
ID	Stress	cycle	E	3	D	h	Р
N° Provino	[kPa]	[-]	[Mpa]	[microstrain]	[mm]	[mm]	[N]
C1	607	17200	6215	200	150.50	57.12	8197
C2	442	43251	6054	150	150.50	56.93	5949
C3	292	134795	5984	100	150.50	52.35	3614
C4	144	1060708	5849	50	150.50	54.15	1843





$$\varepsilon \left(\mu strain \right) = 5339.\,2N^{-0.336}$$

Dove N rappresenta il numero di cicli di carico che determina l'innesco della fessurazione per fatica.

Per quanto riguarda la pavimentazione della Pista di Volo, risalente ai lavori di riqualifica del 2012, sono state utilizzate le leggi di fatica dell'Alphalt Institute.

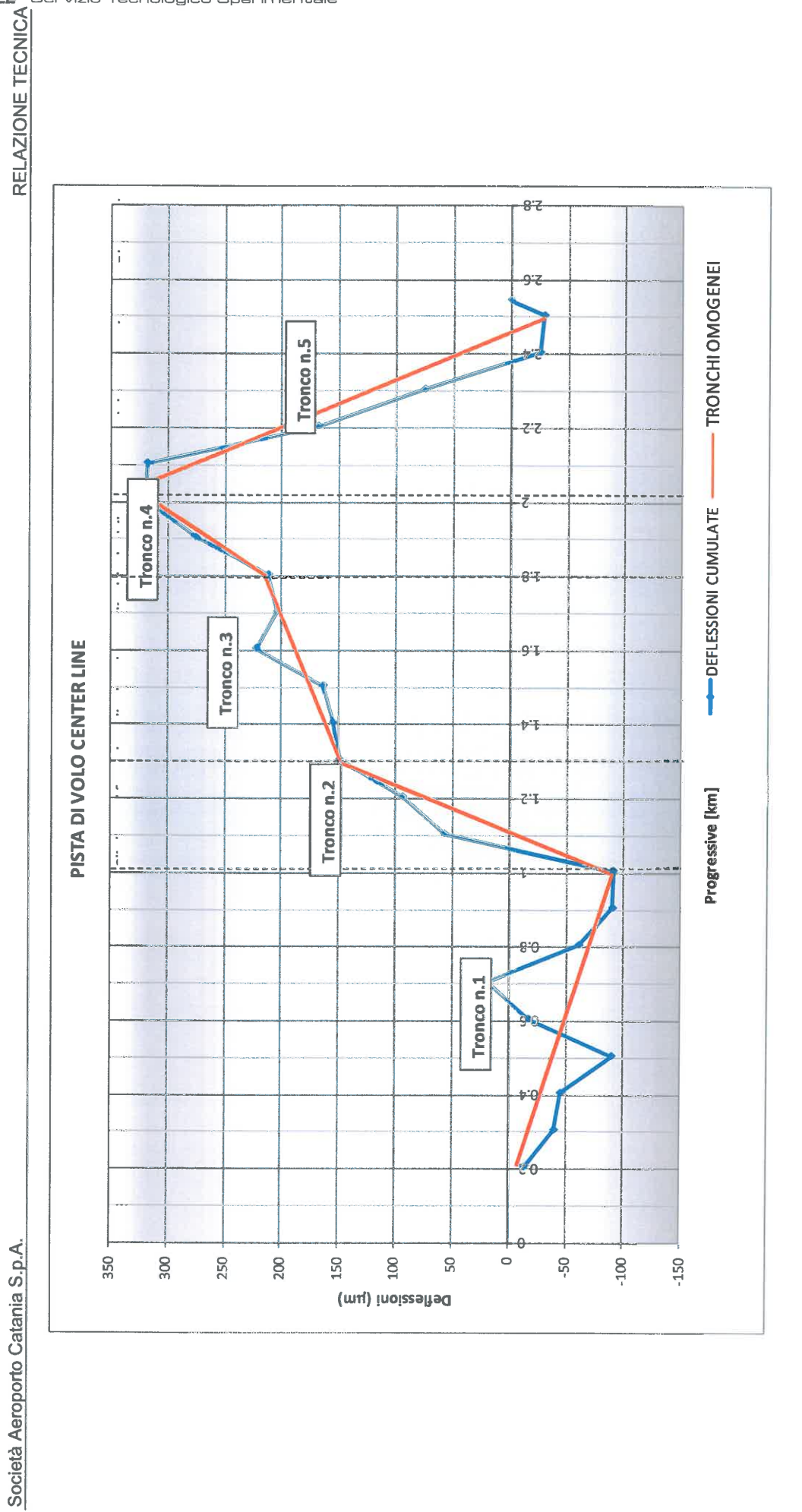
6.3.2 Risultati delle indagini deflettometriche

zio	Te	cr	olo	ogico Spe	erir	ne	ent	ale	9																					
		Idodda	INONI	PERCENTUALE	8	0	0	0	1	1	1	1	2		-	-	2		1	2	1	1	2	1	2	-	2	1	1	1
		-		ASSOLUTO	fuml	1	1	1	2	2	2	2	8	-	,	ď	m	2	2	6	1	2	7	2	3	1	3	1	1	3
				DEL	SS	-0.04	-0.01	-0.01	-0.04	-0.04	-0.04	0.05	0.04	0.01	0.00	000	-0.07	-0.01	0.08	0.07	0.00	-0.03	-0.04	0.00	0.09	-0.20	00.0	-0.35	-0.18	-0.08
	ŀ			COSTANTI EQUAZIONE DEL MODULO	3	244	287	278	298	243	282	379	380	278	215	269	236	258	336	302	300	326	259	258	521	224	444	200	165	252
				NTI EQUAZI MODULO	NZ	0.00	0.00	0.00	0.00	0.00	0.00	0.00	0.00	000	0.00	0.00	0.00	0.00	0.00	0.00	0.00	0.00	0.00	0.00	0.17	-0.20	0	0	0.10	0.00
Ì	ı			COSTA	a	2466	3232	3542	3240	2046	2782	8732	2086	2205	1588	5472	1348	3535	1714	1984	2775	2415	1657	2863	10251	31543	6484	2708	2491	983
FAITEDLINE	ENICALINE		E120°C	CONGLOMERATO BITUMINOSO ALLA TEMPERATURA DI RIFERIMENTO	[Mpa]	5315	6247	5950	5261	5235	5397	6340	5238	6780	5023	6251	4905	5327	6753 "	5778	5647	4846	4642	5558	5428		5319	2690	6547	4209
NI INEANGENITO	ALCINE MINIEN I O		Ee	SEMISPAZIO EQUIVALENTE	[Mpa]	2285	2385	2229	2515	1793	1954	2867	2380	2177	1496	1961	1859	2129	2112	1839	2296	2119	1815	1906	2185	3926	3017	3130	2187	1987
CTANIVOLO	SINEZZA	SIDEZZA	Es	SEMISPAZIONE SOTTOFONDO EQUIVALENTE	[Mpa]	253	289	279	306	247	284	363	371	276	215	269	245	260	319	291	300	329	262	258	480	281	444	256	191	262
di CATANIA DI	MODILI DI RIGIDEZZA	INCOUCH DI NIC		FONDAZIONE	[Mpa]	2466	3232	3542	3240	2046	2782	8732	2086	2205	1588	5472	1348	3535	1714	1984	2775	2415	1657	2863	-		6484	2708	2491	983
AFROPORTO "FONTAN AROSSA" di CATANIA DISTA DI VOLO ALIMEANAFAITO CRAITERINIS	TOO		E2	LASTRA IN CLS	[Mpa]			-			1	•		1		1		1					a a	6	1448	23725		1	1	
AFROPOR			E1	CONGLOMERATO BITUMINOSO	[mm]	8474	0966	9486	8389	8346	8605	10109	8351	10810	8009	9966	7820	8493	10767	9212	9004	7777	7402	8861	8654	7410	8480	9072	10438	6711
				FONDAZIONE	[mm]	350	440	360	320	300	290	320	340	330	270	260	380	320	320	350	380	310	320	350		-	190	240	330	300
		SPESSORI		LASTRA IN CLS	[mm]	•		1		-	,	,		1	'	•	-		,		,		-		240	700	-			-
		SP		CONGLOMERATO	[mm]	340	240	250	330	250	230	290	330	290	270	220	270	290	310	260	290	260	7.70	240	300	420	410	370	270	360
				PROGRESSIVE	[km]	0.204	0.304	0.404	0.504	0.604	0.704	0.804	0.904	1.004	1.104	1.204	1.304	1.404	1.504	1.604	1.704	1.804	1.904	2.004	2.104	2.204	2.304	2.404	2.504	2.544

Tabella 20. PISTA DI VOLO – Allineamento CENTER LINE - Risultati delle indagini deflettometriche.

		LONGITUDINE ALTITUDINE E ORA 00 00 00 00 00 00 00 00 00 00 00 00 00	[m] se/mm/aa h·mm	14.8 9/3/16 1.48	14.4 9/3/16 1:49	13.7 9/3/16 1:50	12.8 9/3/16 1:51	12.1	10.8	9.6	2517 9.1 9/3/16 1:56	3417 8.8 9/3/16 1:58	8.3	7.9	7.3	7.1	6.7	6.7	9.9	3583 6.3 9/3/16 2:06	6.9	6.9	6.7	6.8	6.9	7.3	7.8	-
22	COORDINATE GEOGRAFICHE	LATITUDINE	[deg] [deg]	1 29	1	37.465865 15.055645	37.4659617 15.0567933	37.46606 15.057955	37.4661467 15.059005	37.4662383 15.0601267	37.4663367 15.0612517	37.46643 15.0623417	37.4665317 15.0635217	37.4666217 15.0646067	37.4667217 15.0658033	37.4668117 15.0668567	37.4669033 15.067955		37.4670967 15.0702433	37.4671883 15.0713583	37.46728 15.07246	37.46738 15.073655	37.467475 15.0747733	37.4675667 15.0758683	37.4676617 15.076995		37.4678467 15.0792117	
1.4.1.4.1.4.1.1.1.1.1.1.1.1.1.1.1.1.1.1		DELL'ARIA	[5.]	7	7	7	7	7	7	7	7	7	7.1	7	7.1	7.1	7.1	7	7	6.9	7	6.9	6.9	7	7.1	7.1	7.1	The second secon
Thi Wolford III		TEMPERATURA SUPERFICIALE	[5.]	5.1	5.9	19.1	5.7	5.5	5.6	5.7	5.9	5.5	5.4	5.2	4.8	4.9	4.9	5	5.1	5.3	5.5	5.6	5.9	4.9	5	4.3	5.7	The same of the sa
COSSA" di CATANIA . DISTA DI VOLO . ATTINIZAZIANI	TEMPERATURA	CONGLOMERATO	[5.]	13	13	13	13	13	13	13	13	13	13	13	13	13	13	13	13	13	13	13	13	13	13	13	13	the same of the sa
OSCA!!	60	1800	[mrl]	108	104	109	88	110	96	101	66	117	142	118	98	118	128	134	702	84	97	119	90	61	73	41	89	
		1500	[mm]	126	122	128	107	133	116	118	116	137	170	140	113	137	151	160	122	101	122	142	<u>\$</u>	69	8	55	113	
ANAROPORTO MATONIA	D7	1200	[mm]	151	146	154	128	164	140	135	136	162	210	170	148	161	177	191	146	127	153	172	122	1	102	75	143	
OPORT	90	006	[mrl]	177	172	183	152	707	177	152	159	193	259	204	190	189	708	226	173	159	193	509	140	82	121	66	178	
AER	DS	009	[mrl]	212	202	\rightarrow	\rightarrow	-	\rightarrow	+	189	230	317	248	239	223	242	269	506	199	243	249	172	97	142	129	219	
	D4	450	[mm]	230	220	\rightarrow	\rightarrow	-	\rightarrow	+	-	+	\dashv	\rightarrow	\rightarrow	-	-	-+	+	+	\rightarrow	-	-	\rightarrow	156	145	241	-
	. D3	300	[hm]	7 249	240	\rightarrow	-	\rightarrow	\rightarrow	+	+	+	-	-	-	_	-	-	-	+	+	+	+	\rightarrow	173	-	\rightarrow	
	1 D2	500	[hm]	2 267	0 260	\rightarrow	\rightarrow	+	+	-	-	+	+	\rightarrow	\rightarrow	-	-	-	+	+	-	-	\rightarrow	+	-	\rightarrow	4	
	01	0	[mm]	7 322	9 310	+	-	-	+	+	+	+	+	-	-	+	+	\rightarrow	+	+	+	+	+	-	-	\dashv	\rightarrow	
		Carico	[kN]	197.57	198.56	198.13	197.21	196.93	195.73	197.07	196.22	196.44	194.88	196.44	195.66	195.52	195.66	195.09	196.08	195./3	195.38	194.95	195.94	197.14	196.86	197.5	195.59	201
		Sforzo	[kPa]	2795	2809	2803	2790	2786	5/69	2788	9//2	5//9	2757	2779	2768	2766	2768	2760	2774	+	+	2758	2772	+	+	2794	+	217
		Progressiva	[km]	0.204	0.304	0.404	0.504	0.604	0.704	\dagger	\dagger	\dagger	+	\dagger	\dagger	†	†	†	\dagger	t	\dagger	\dagger	+	+	†	+	1	C LVV

Tabella 21. PISTA DI VOLO – Allineamento CENTER LINE - Dati acquisiti durante le indagini deflettometriche.



	3 erv	vizio Te	3M ecnologic) er				
NE TECNICA		ERRORI	PERCENTUALE	[%]	1	2	2	0	2	1
RELAZIONE		节	ASSOLUTO	[mm]	2	2	3	1	3	2
				1		0		, 1	. 3	i

		zio 7	ecnologic		Sp	Per	, inc	er	TEE	T		Т	Т	Т	Π	Т	Г	Г				Т		Г	Т	Г	Т	Т	
		ERRORI	PERCENTUALE	[%]	1	2	2	0	2	1	2	2	-	2	1	2	1	1	1	1	1	1	1	1	1	1	1	1	1
		<u>—</u>	ASSOLUTO	[mm]	2	2	8	-	3	2	2	e	1	3	3	2	2	2	2	1	2	2	3	2	4	5	8	1	2
	Г		DEL	Ns	-0.04	-0.28	-0.28	-0.23	-0.26	-0.13	-0.12	-0.25	-0.12	-0.11	-0.20	-0.03	-0.19	-0.22	-0.12	-0.28	-0.20	-0.01	-0.02	-0.06	-0.10	-0.04	-0.10	-0.17	-0.01
	ı		COSTANTI EQUAZIONE DEL MODULO	2	186	103	66	118	112	159	184	95	202	191	114	255	129	110	186	86	96	312	246	243	147	167	126	173	Н
	ı		NTI EQUAZI MODULO	N2	0.08	0.03	0.00	80.0	00.0	0.00	0.00	0.00	0.00	0.00	-0.09	-0.04	90.0	80.0	00.0	0.02	60.0	0.00	0.00	0.00	0.00	0.00	0.00	-0.06	0.00
	ı		COSTA	2	1304	2975	3243	1408	3545	3109	4277	2209	-	⇤	-	1426	1518	\vdash	_	2066	4897	2825	\vdash	\vdash	-	546	354	32027	2153
VO	NO III DX	E120°C	CONGLOMERATO BITUMINOSO ALLA TEMPERATURA DI RIFERIMENTO	[Mpa]	5628	7269	5563	5255	5764	5256	5950	7945	5438		4990	5139	4329	4781		5457	6257	6493	7759	5244	3843	2554	1648	5472	3992
ALLINEARACHTO	ALLINEAMIEN	Ee	SEMISPAZIO EQUIVALENTE	[Mpa]	1892	2633	2254	1723	2201	1983	2406	2027	2376	2722	1964	1608	1476	1570	1749	1704	2002	2621	2187	1804	1338	952	723	1649	3191
O IOW IO VESIO	IDEZZA	Es	SEMISPAZIO FCNDAZIONE SOTTOFONDO EQUIVALENTE	[Mpa]	192	141	140	138	152	180	209	121	314	228	206	129	247	245	256	143	134	214	116	115	155	167	127	237	213
ANABOSSA" di CATANIA - DISTA DI VOLO ALI INFANTO 3 - DX	MODITION RIGIDEZZA		FCNDAZIONE	[Mpa]	519	2106	3243	561	3545	3109	4277	2209	2825	8268	3306	1507	066	1203	1343	1366	1238	4269	1641	1738	1048	546	354	2153	27959
AFROPORTO "FONTANABOSS		E2	LASTRA IN CLS	[Mpa]	1		,		1			a a	,			1	5		-1	*		-		-	1				
AFROPO		E1	CONGLOMERATO BITUMINOSO	[mm]	8974	11590	8870	8378	9191	8380	9487	12667	8671	10701	7956	8194	6902	7623	8780	8700	93.66	10352	12371	8361	6128	4072	2627	8725	6365
			FONDAZIONE	[mm]	350	330	360	370	490	430	420	360	390	290	280	290	280	280	300	250	300	340	320	300	290	290	350	270	280
		SPESSORI	LASTRA IN CLS	[mm]	,			٠	-	,	•		,	,	'	,	1	'	,				,	-		-	,		
		SP	CONGLOMERATO		340	340	310	280	200	230	250	240	280	290	280	250	260	240	230	300	310	330	310	290	290	260	260	240	280
	The state of the s		PROGRESSIVE	[km]	0.204	0.224	0.244	0.264	0.284	0.304	0.354	0.404	0.454	0.504	0.554	0.604	0.654	0.704	0.754	0.804	0.854	0.904	0.954	1.004	1.054	1.104	1.154	1.204	1.254



oe!	·VI.	zio '	Tecnologi	co	S	pe	rir	ne	nt	ale	3																			
		ERRORI	PERCENTUALE	[%]	-	2		0	1	1	1	1	1	1	1	-	1	1	1	1	2	1	e	1	1	1	1	-	1	0
		ER	ASSOLUTO	[mm]	4	2	2	1	2	2	3	1	2	2	2	2	3	3	2	2	2	1	8	1	1	2	1	-	2	1
			E DEL	Ns	-0.16	0.10	0.11	-0.01	0.00	-0.03	0.10	0.05	-0.01	-0.05	-0.15	-0.06	-0.05	-0.13	-0.10	0	0	0	0	0	0	0	0	0	0	0
			COSTANTI EQUAZIONE DEL MODULO	చ	113	520	524	227	229	185	318	489	270	272	197	234	279	183	178	356	323	86	89	89	107	137	159	347	86	181
			NTI EQUAZI MODULO	NZ	0.00	-0.34	0.00	0.00	0.00	0.00	0.00	0.00	0.00	0.00	0.00	0.00	0.00	0.00	0.00	0	0	0	0	0.17	0.05	60.0	0.17	0.14	0.00	0.21
			COSTA	2	854	41044	30795	2269	1161	961	625	2221	1094	1259	933	1009	1019	776	1783	22256	26207	30187	33130	4252	6229	2672	3681	2749	1004	1584
20	Au me v	E120°C	CONGLOMERATO BITUMI NOSO ALLA TEMPERATURA DI RIFERI MENTO	[Mpa]	3786	5427			4914	4684	3145	4919	4296	3025	4232	4403	3672	3963	4944		5990	5504	4427	5793	4767	4837	5755	4824	3887	4933
ALL INIT ASSESSED.	- ALLINEAMENTO	Ee	SEMISPAZIO EQUIVALENTE	[Mpa]	1295	3795	3950	1953	1709	1356	1224	2429	1723	1598	1616	1508	1580	1362	1529	3594	2904	4264	4263	2672	2775	2500	2865	2779	1592	1687
OLOVIO ATSIG	SIDEZZA	Es	FONDAZIONE SOTTOFONDO	[Mpa]	127	432	439	229	229	188	320	482	271	275	206	236	280	189	186	356	326	192	201	107	150	171	187	348	126	189
A" AL CATANIA	MODILL DI RIGIDEZZA		FONDAZIONE	[Mpa]	854	19749	30795	2269	1161	961	625	2221	1094	1259	933	1009	1019	9//	1783	22256	2336	P	1	2827	3801	2251	3033	2516	1004	1354
STO "FONTANABOSC	MODILI DI RIGIDEZZA	E2	LASTRA IN CLS	[Mpa]				-		1			4				1		-			30187	33130		1	å				
AFRODOI		E1	CONGLOMERATO BITUMINOSO	[mm]	9609	8653	8621	10473	7835	7469	5014	7843	6849	4823	6747	702.1	5855	6318	7883	8979	9551	8776	7059	9237	7600	7712	9193	7691	6197	7865
			FONDAZIONE	[mm]	360	280	320	390	280	350	340	380	350	350	290	300	320	360	300	290	230	,		240	190	260	230	200	320	230
		SPESSORI	LASTRA IN CLS	mm	,	1	,	,		•	-	,		,	ı		,	1	'	1		780	230			,	'	-	,	
		SPI	CONGLOMERATO L BITUMINOSO	[mm]	290	290	290	250	340	250	260	270	290	280	280	250	260	240	230	280	300	340	430	420	430	380	340	320	320	280
			SIVE	[km]	1.304	1.354	1.404	1.454	1.504	1.554	1.604	1.654	1.704	1.754	1.804	1.854	1.904	1.954	2.004	2.054	2.104	2.154	2.204	2.254	2.304	2.354	2.404	2.454	2.504	2.554

Tabella 22. PISTA DI VOLO – Allineamento 3m DX della CENTER LINE - Risultati delle indagini deflettometriche.

Comm.n°1532/16 – Doc.N°R0561/16 rev00 Indagini Sperimentali



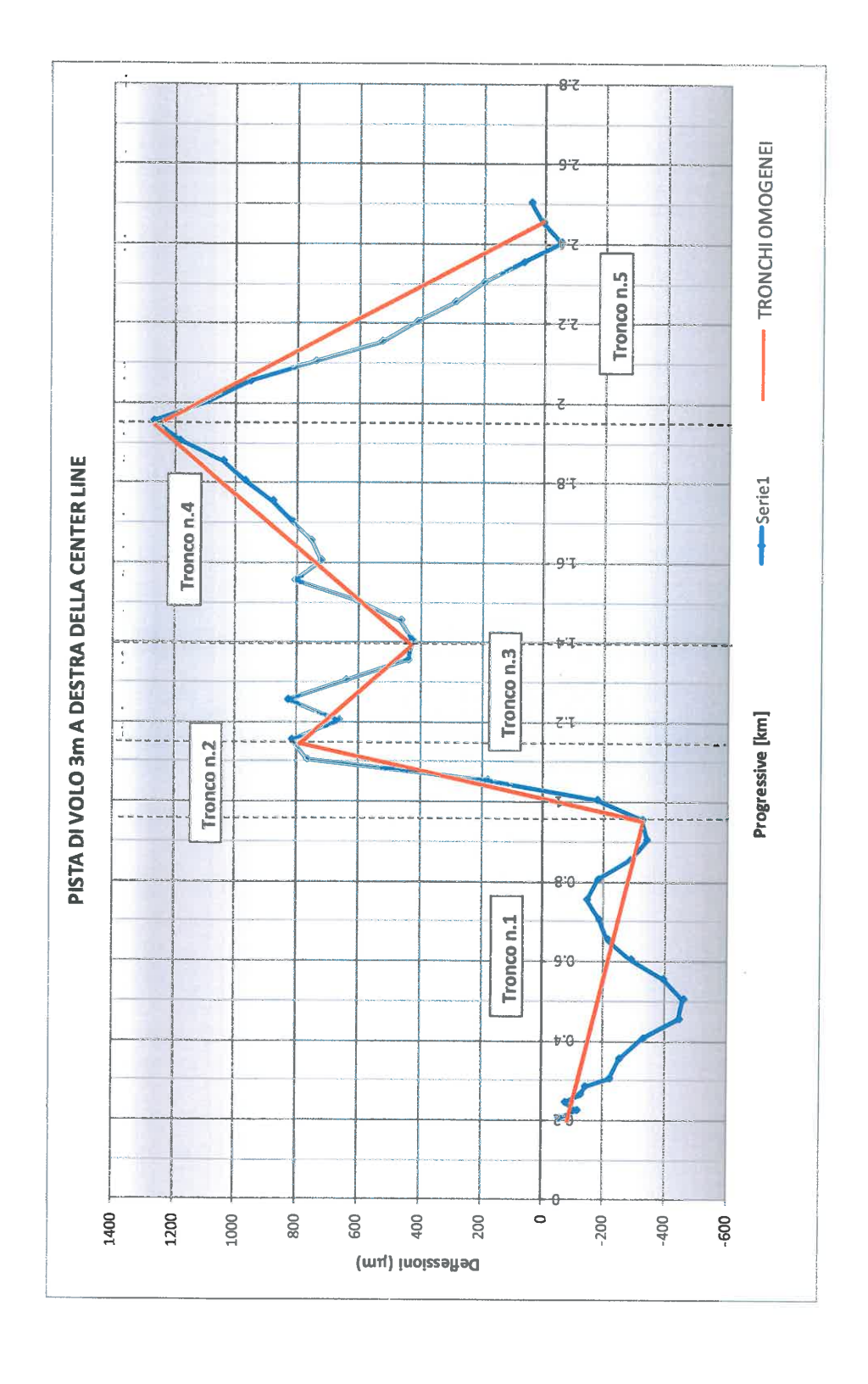
							NAME OF THE PARTY	ROPOR	TO "FO	NTANA	ROSSA	ĀĒROPORTO "FONTANAROSSA" GI CATANIĀ. PISTĀ DI VOLO - ALLINEAMENTO 3m DX	A DI VOLO - ALLI	NEAMENTO 3m	×G			
NI BY			D1	D2	D3	D4	0.5	90	07	D8	60	AGULTAGO				COORDINATE GEOGRAFICHE	ICHE	
Progressiva	a Sforzo	Carico	0	200	300	450	009	006	1200	1500	1800	CONGLOMERATO	TEMPERATURA	TEMPERATURA DELL'ARIA	LATITUDINE	LONGITUDINE ALTITUDINE	ALTITUDINE	DATA E ORA
[km]	[kPa]	[kN]	[mm]	[mm]	[mm]	[um] [um] [um]	[mm]	[mm]	[mr]	[mm]	[mm]	[].	[,c]	[,C]	[deg]	[deg]	[m]	eg/mm/aa h:mm
0.204	2767	195.59	385	329	303	274	251	214	181	153	130	13	5	7.5	37.4656483	15.0534333	14.1	9/3/16 2:30
0.224	2780	+	-	232	215	198	184	156	133	111	93	13	5.6	7	37.4656667	15.0536367	13.8	9/3/16 2:30
0.244	2765	\dashv	\rightarrow	273	254	233	213	180	151	127	105	13	5.6	6.7	37.465685	15.053845	13.5	9/3/16 2:31
0.264	2762	+	+	354	322	782	249	196	156	124	103	13	4.6	9.9	37.4657033	15.0540517	13.4	9/3/16 2:32
0.284	2776	+	-	277	253	228	509	176	146	122	102	13	5.6	6.3	37.465725	15.0543	13	9/3/16 2:33
0.304	2764	+	-+	309	285	258	235	198	166	137	117	13	5.4	6.2	37.46575	15.0545567	12.8	9/3/16 2:33
0.354	2760	\rightarrow	-	-	-	215	198	169	144	123	105	13	5.7	6.1	37.4657933	15.0550467	12.6	9/3/16 2:34
0.404	2702	+	-	\rightarrow	\rightarrow	-	-	198	161	132	113	13	5.2	9	37.4658417	15.0555983	12.3	9/3/16 2:35
0.454	2753	\rightarrow	\rightarrow	\rightarrow	-	208	189	160	133	113	95	13	5.4	9	37.46589	15.0561967	10.6	9/3/16 2:36
0.504	2750	+	\rightarrow	\rightarrow	\rightarrow	\rightarrow	184	156	132	110	93	13	5.7	5.9	37.4659383	15.0567767	10	9/3/16 2:37
0.554	2753	+	369	\rightarrow	\rightarrow	-	\rightarrow	191	155	128	107	13	5.3	5.7	37.465985	15.0573117	9.9	9/3/16 2:38
0.604	2736	+	448	-	\rightarrow	-	272	218	177	146	120	13	5.6	5.7	37.4660367	15.0579083	9.6	9/3/16 2:39
0.654	2730	+	-	416	-	-	-	\rightarrow	\dashv	\dashv	113	13	5.4	5.6	37.46608	15.058435	9.7	9/3/16 2:40
0.704	2732	+	-	392	+	\rightarrow	-	\dashv	\dashv	121	86	13	5.2	5.6	37.4661317	15.059035	9.8	9/3/16 2:41
0.754	2737	+	\rightarrow	346	\rightarrow	\rightarrow	\rightarrow	\dashv	152	123	101	13	5.3	5.6	37.4661783	15.0595967	10	9/3/16 2:42
0.804	2731	+	-	-	\rightarrow	-	\rightarrow	-	\dashv	-	106	13	5.3	5.5	37.4662233	15.0601617	10.7	9/3/16 2:42
0.854	2710	+	-	_	-	\rightarrow	-	-	+	128	107	13	5.2	5.5	37.4662733	15.06073	10.7	9/3/16 2:44
0.904	2748	+	+	-	+	\rightarrow	-	\rightarrow	\dashv	\dashv	101	13	5.3	5.5	37.4663183	15.0612283	10.6	9/3/16 2:45
0.954	2741	+	+	+	-	\rightarrow	\rightarrow	4	\dashv	133	113	13	5.2	5.5	37.4663767	15.0618817	10.2	9/3/16 2:46
1.004	2721	+	+	\rightarrow	\rightarrow	-+	\dashv	210	182	155	133	13	5.5	5.4	37.46642	15.0624333	9.2	9/3/16 2:46
1.054	2699	+	531	\rightarrow	\rightarrow	\rightarrow	\rightarrow	\dashv	\dashv	169	139	13	5	5.4	37.4664633	15.0629617	8.4	9/3/16 2:47
1.104	2681	+	+	+	-	+	+	-	+	\dashv	154	13	5.5	5.4	37.46651	15.0635217	8	9/3/16 2:48
1.154	2652	+	+	+	\rightarrow	+	-	-	\rightarrow	192	157	13	5.2	5.4	37.4665567	15.0640767	7	9/3/16 2:49
1.204	2719	+	-+	_	-	\rightarrow	-	4	\dashv	149	126	13	5.3	5.4	37.4666033	15.0646533	7.3	9/3/16 2:50
4	2764	195.38	228	166	149	139	132	120	107	95	84	13	5.5	5.4	37.46665	15.0652017	7.3	9/3/16 2:51
		4	-	_	-	4	-1	4		2	4	13	1	5.5		5.4	5.4 37.46665	5.4 37.46665 15.0652017



EST(S\ Tecnolo	10b	il (3
RELAZIONE TECNICA		DATA E ORA	gg/mm/aa h:mm	9/3/16 2:52
RELA		UDINE	m]	7

ᄓ	ecrioic	gico Sper	ime	ent	ale	3		_	_	_	_	_	_	_	_		_	_			_	_	_	_	_	_			
		E ORA	gg/mm/aa h:mm	9/3/16 2:52	9/3/16 2:53	9/3/16 2:54	9/3/16 2:55	9/3/16 2:56	9/3/16 2:56	9/3/16 2:57	9/3/16 2:58	9/3/16 2:59	9/3/16 3:00	9/3/16 3:01	9/3/16 3:02	9/3/16 3:03	9/3/16 3:04	9/3/16 3:04	9/3/16 3:05	9/3/16 3:06	9/3/16 3:07	9/3/16 3:08	9/3/16 3:09	9/3/16 3:10	9/3/16 3:11	9/3/16 3:12	9/3/16 3:12	9/3/16 3:14	9/3/16 3:15
	ICHE	ALTITUDINE	[m]	7	7	7.1	7.1	7.2	7.1	7.7	7.9	7.8	7.5	7.3	7	6.8	6.8	7.2	7.3	7.6	8.2	∞	7.8	7.6	7.4	7.6	7.9	7.9	8.2
	COORDINATE GEOGRAFICHE	LONGITUDINE ALTITUDINE	[deg]	15.0657117	15.0662583	15.0668167	15.0673917	15.0679833	15.0685283	15.0690717	15.069675	15.0702667	15.0708033	15.0713483	15.0719017	15.072445	15.0730533	15.0735667	15.0741283	15.0747783	15.0753467	15.07586	15.07645	15.077005	15.077535	15.07812	15.078655	15.079195	15.0797517
X.C		LATITUDINE	[deg]	37.466695	37.46674	37.4667867	37.4668367	37.4668833	37.4669317	37.4669817	37.46703	37.4670783	37.4671233	37.4671683	37.4672167	37.46726	37.46731	37.467355	37.4674033	37.4674567	37.467505	37.4675467	37.4675933	37.46764	37.4676817	37.4677333	37.4677783	37.4678183	37.467865
		TEMPERATURA DELL'ARIA	[0,]	5.4	5.4	5.4	5.4	5.4	5.4	5.4	5.4	5.4	5.4	5.5	5.5	5.5	5.6	5.6	5.7	5.7	5.6	5.6	5.6	5.7	5.6	5.6	5.7	5.6	5.6
AND AVOITOR AND		SUPERFICIALE	a [0,]	5.2	5.2	5.1	5.2	5	4.9	5	5.1	5.3	5.4	5.4	5.4	5.3	5.3	5.3	5.4	5.2	4.9	5.2	5.2	5.1	5	5.3	5.1	3.7	4.8
ABOSSAT GAVANIA - DISYA DI VOLO - ALLINEAMENTO 3m DV	TEMPEDATION	CONGLOMERATO	[,0]	13	13	13	13	13	13	13	13	13	13	13	13	13	13	13	13	13	13	13	13	13	13	13	13	13	13
ROSSA	60	1800	[mm]	147	87	90	129	132	142	143	75	102	90	98	66	68	95	113	85	77	89	61	8	73	99	45	39	97	96
		1500	[mrl]	171	95	66	151	159	174	172	91	127	111	108	123	109	123	142	95	68	75	29	95	89	82	63	53	125	118
AEROPORTO "FONTAN	07	1200	[mm]	217	106	107	180	192	216	208	112	159	141	141	160	138	161	179	107	105	87	74	116	107	103	84	73	160	151
ROPOR	90	006	[mrl]	284	113	115	213	230	268	257	133	197	182	188	206	179	217	227	121	117	94	8	138	127	128	110	97	208	193
AE	D5	009	[mm]	351	121	121	251	278	335	324	167	249	235	250	271	239	291	288	134	138	105	8	166	151	162	141	129	265	249
	D4	450	[mm]	388	124	125	275	308	377	373	187	280	269	289	313	279	338	327	142	156	107	91	182	166	182	159	149	301	784
	D3	300	[mm]	432	131	129	299	339	422	436	212	319	310	335	361	328	398	369	147	180	114	9	201	182	208	179	172	338	321
	D2	200	[mm]	473	144	142	321	364	459	487	236	349	352	371	400	374	445	402	160	201	122	115	219	202	231	198	195	368	354
	D1	0	[mm]	550	192	184	368	420	527	280	297	415	448	444	473	453	525	468	202	248	168	170	270	260	289	253	261	441	420
		Carico	[kN]	191.28	195.66	195.16	192.97	192.69	191.91	190.57	193.68	191.98	192.27	192.69	191.56	192.12	192.05	192.12	194.95	193.4	192.34	194.6	193.68	193.75	194.03	194.6	194.74	188.52	190.29
		Sforzo	[kPa]	2706	2768	2761	2730	2726	\rightarrow	2696	2740	2716	\dashv	2726	2710	\dashv	-	+	4	+	\dashv	2753	\dashv	-	+	2753	+	-	2692
		Progressiva	[km]	1.304	1.354	1.404	1.454	1.504	1.554	1.604	1.654	1.704	1.754	1.804	1.854	1.904	1.954	2.004	2.054	2.104	2.154	2.204	2.254	2.304	2.354	2.404	2.454	2.504	2.554

Tabella 23. PISTA DI VOLO -- Allineamento 3mDX della CENTER LINE - Dati acquisiti durante le indagini deflettometriche.



504 0.00 142 -0.09



		~,-	_	our lologic	-	7	01		01		-					_						****						
		ERRORI		PERCENTUALE	[%]	2	1	1	1	1	1		1	1	1	1	1	1	1	1	1	1	1	1	1	1	1	-
		Ü		ASSOLUTO	[mm]	3	2	1	2	1	1	2	2	2	2	2	2	2	2	3	3	c	2	2	8	6	4	4
				E DEL	Ns	-0.08	0.05	-0.03	-0.06	-0.09	90.0	0.00	-0.01	-0.01	-0.03	-0.05	-0.08	-0.08	-0.06	-0.21	-0.16	0.00	-0.01	-0.02	-0.06	0.02	-0.01	-0.09
	ŀ			COSTANTI EQUAZIONE DEL MODULO	3	165	449	261	206	185	352	256	254	274	268	213	176	190	262	130	134	248	297	233	194	252	193	142
	ı			ANTI EC	N2	0.00	0.00	0.00	0.00	0.00	00.00	0.00	0.00	0.00	00.0	00.00	00.00	00.0	00.0	0.00	00.0	0.00	0.00	0.00	0.00	0.00	00.0	0.00
				COS	2	1122	3089	2904	711	2028	1215	2392	2458	2493	1216	1322	814	1116	1020	1350	746	1131	1910	1710	1105	1215	547	504
3m CV	VC		E120°C	CONGLOMERATO BITUMINOSO ALLA TEMPERATURA DI RIFERIMENTO	[Mpa]	5380	5603	5826	4474	6882	5231	7819	5960	6811	5761	4092	4764	3895	6694	4209	4366	4689	5614	5238	4596	5483	3041	2525
OTHER AMENTO	O a la l		Ee	SEMISPAZIO FONDAZIONE SOTTOFONDO EQUIVALENTE	[Mpa]	1581	2763	2369	1511	1928	1768	2178	1954	2341	1917	1636	1327	1378	1623	1366	1379	1675	2160	1910	1568	1690	1041	951
DICTA DI VOIO	INCTA	IIDEZZA	ES	SOTTOFONDO	[Mpa]	173	435	267	212	200	346	256	255	276	271	216	180	193	262	142	145	248	264	237	200	249	193	145
A" di CATANIA -	MODILI DI BIGIDEZZA	ואוסטטבו טו אוס		FONDAZIONE	[Mpa]	1122	3089	2904	711	2028	1215	2392	2458	2493	1216	1322	814	1116	1020	1350	746	1131	1910	1710	1105	1215	547	504
AFBORDORTO "FONTANAROSSA" di CATANIA - PISTA DI VOLO - ALL'INEAMENTO 377 SX		£.	77	LASTRA IN CLS	[Mpa]	1	2					1		1	1	1			1	1		1	1		1			
AFROPO		ī	EL	CONGLOMERATO	[mm]	8578	8933	9289	7133	10972	8341	12467	9503	10860	9186	6525	7595	6211	10673	6711	6962	7477	8951	8351	7328	8742	4849	4026
				FONDAZIONE	[mm]	350	330	360	370	490	430	420	360	390	290	280	290	280	280	300	250	300	340	320	300	290	290	350
		SPESSORI		LASTRA IN CLS	[mm]	,	ì	,	•		-	-	'	-	'			'	-			'	,	,	-	,		'
		SF		CONGLOMERATO LASTRA BITUMINOSO IN CLS	[mm]	340	340	310	280	200	230	250	240	280	290	280	250	260	240	230	300	310	330	310	290	290	260	260
				PROGRESSIVE	[km]	0.204	0.224	0.244	0.264	0.284	0.304	0.354	0.404	0.454	0.504	0.554	0.604	0.654	0.704	0.754	0.804	0.854	0.904	0.954	1.004	1.054	1.104	1.154



Serv	viz	io '	Tecnologi	co	S	pe	rin	ne	nt	Sr ale				Г		Г		Т								Г			Г	_	Τ
		ERRORI	PERCENTUALE	[%]	1	2	2	1	1	1	1	1	F	0	1	1	1	1	1	1	1	1	2	2	2	0	2	0	1	1	-
		<u>m</u>	ASSOLUTO	[mm]	3	5	4	8	2	2	3	2	3	1	3	2	2	2	2	3	2	2	2	2	1	1	2	1	1		~
			E DEL	Ns	0.00	-0.19	-0.12	-0.07	-0.01	-0.13	-0.11	-0.07	-0.13	0.02	0.03	0.01	0.00	-0.10	-0.14	-0.03	-0.03	-0.07	0.00	-0.34	-0.38	-0.40	-0.14	-0.27	-0.21	-0.25	02.0-
			COSTANTI EQUAZIONE DEL MODULO	S	239	129	148	183	232	131	149	158	114	456	302	412	389	203	208	335	226	232	313	92	85	81	218	153	244	246	150
			MOI	N2	0.00		0.00	0.00	0.00	0.00	0.00	-	0.00	0.00	0.00	0.00	0.00	0.00	0.00	0.00	0.00	0.03	00.0	00.00	00.0	0.16	00.0	0.13	0.00	0.00	2
	L			a	2496	674	1083	2957	3719	2428	2427	1396	652	1658	732	1206	1441	940	1133	695	2302	14923	23649	30206	34769	2559	3426	1967	5391	4275	CEC
		E120°C	CONGLOMERATO BITUMINOSO ALLA TEMPERATURA DI	[Mpa]	4910	3111	4303	4671	5774	4918	5684	4849	4124	6468	3062	4594	4358	3210	4169	3184	4270	4087	4341	5438	6805	6039	6402	5344	6227	5986	6713
The same of the sa		Ee	SEMISPAZIO EQUIVALENTE	[Mpa]	1584	1170	1526	1773	2094	1684	1947	1444	1186	2560	1475	2080	1975	1309	1644	1434	1570	2720	3042	4188	5016	2687	2848	2580	3118	2903	2000
	IDEZZA	Es	OGNO	[Mpa]	239	138	162	193	234	149	166	165	122	453	290	411	389	205	217	333	228	247	313	184	196	122	250	186	285	278	104
	MODULI DI RIGIDEZZA		FONDAZIONE	[Mpa]	2496	674	1083	2957	3719	2428	2427	1396	652	1658	732	1206	1441	940	1133	695	2302	15493	1		1	1872	3426	1639	5391	4275	010
		E2	LASTRA IN CLS	[Mpa]	t		1			1	1			•		-		•			•	-	23649	30206	34769						
		E1	CONGLOMERATO BITUMINOSO	[mm]	7828	4961	6861	7448	9206	7841	3062	7732	6575	10313	4882	7325	6949	5118	6647	2027	8089	6517	6922	8670	10850	9628	10207	8520	8266	9544	10704
			FONDAZIONE	[mm]	270	280	360	280	320	390	280	350	340	380	350	350	290	300	320	360	300	290		,	ı	240	190	260	230	200	320
	SPESSORI	MOCC	LASTRA IN CLS	[mm]	,	,	,		-	-	•	1	-	,			-	'		,		-	230	280	230	'	1	'			
	dy		CONGLOMERATO LASTRA BITUMINOSO IN CLS	[mm]	240	280	290	290	290	250	340	250	260	270	290	280	280	250	260	240	230	280	300	340	430	420	430	380	340	320	320
	- Daniel		PROGRESSIVE	[km]	1.204	1.254	1.304	1.354	1.404	1.454	1.504	1.554	1.604	1.654	1.704	1.754	1.804	1.854	1.904	1.954	2.004	2.054	2.104	2.154	2.204	2.254	2.304	2.354	2.404	2.454	2.504

Tabella 24. PISTA DI VOLO – Allineamento 3m SX della CENTER LINE - Risultati delle indagini deflettometriche.



7	2
Z	>
C)
Ц	4
Н	_
Ц	_
4	_
2	2
77	J
⋖	ζ
īī	1
ō	
	Ī

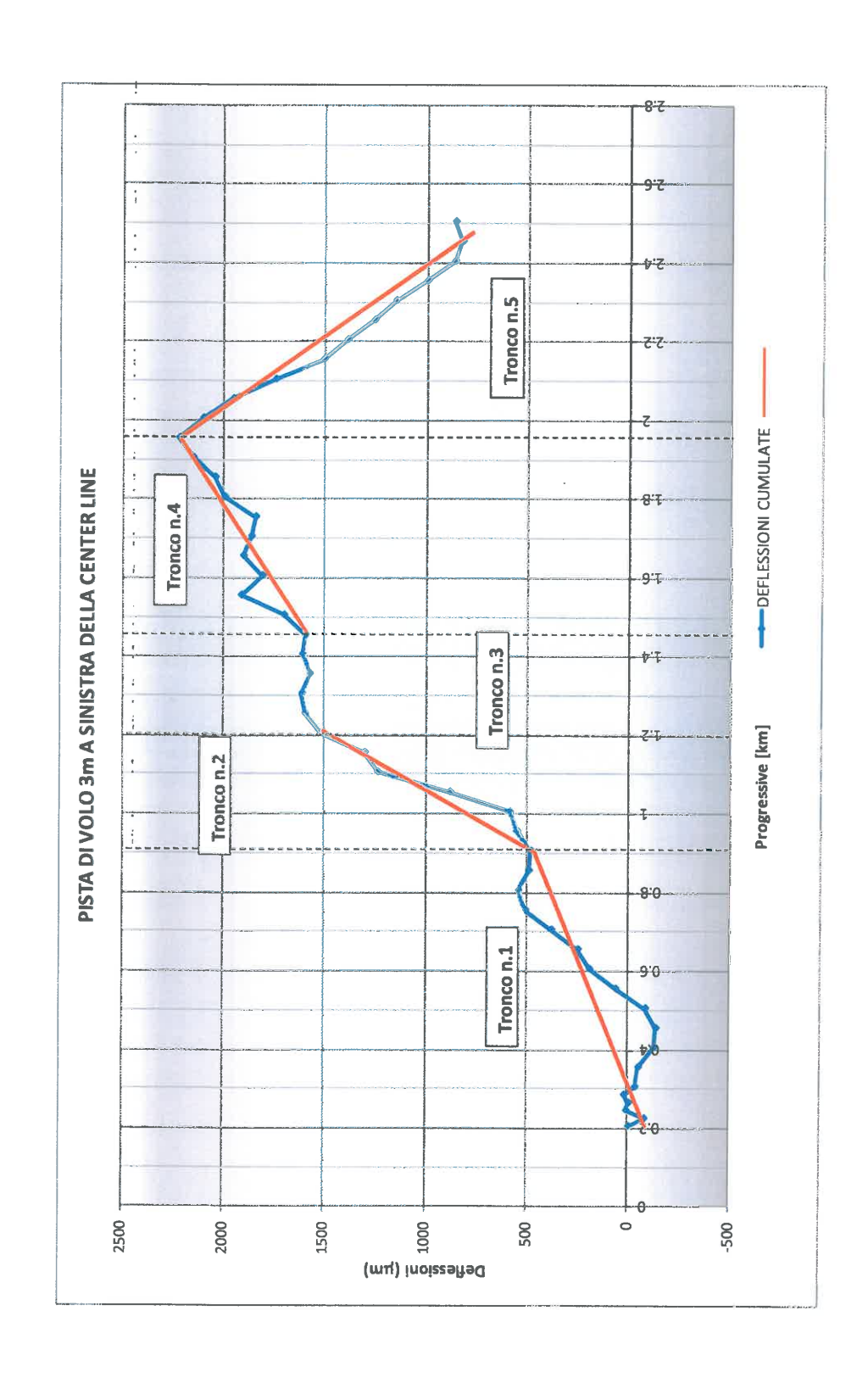
erv	/izio Te	enologico	-	-	me	nt	ale				Г	Г	_	Г	_	Т	Т	Г	Т	Т	T	Т	I	Т	Т	Т
The state of the s		DATA E ORA	mm/aa h:mm	9/3/16 3:20	9/3/16 3:21	9/3/16 3:21	9/3/16 3:22	9/3/16 3:23	9/3/16 3:24	9/3/16 3:25	9/3/16 3:26	9/3/16 3:26	9/3/16 3:27	9/3/16 3:28	9/3/16 3:29	9/3/16 3:30	9/3/16 3:31	9/3/16 3:32	9/3/16 3:32	9/3/16 3:33	9/3/16 3:34	9/3/16 3:35	9/3/16 3:36	9/3/16 3:37	9/3/16 3:38	200 0= /5/5
	TICHE	ALTITUDINE	[m]	14.9	14.6	14.7	14.8	14.6	14.6	14.2	13.8	13.4	12.9	12.6	12.1	11.6	11.3	10.8	10.2	9.7	9.3	6	8.7	4.00	8.1	7
	COORDINATE GEOGRAFICHE	LONGITUDINE ALTITUDINE	[deg]	15.0534217	15.0536583	15.0538683	15.0541367	15.05432	15.0545233	15.055115	15.055625	15.0562033	15.05677	15.0573617	15.0578867	15.0584317	15.0589667	15.0595017	15.060165	15.06072	15.0612783	15.0617967	15.0623933	15.0629117	15.0635217	47 07400
SX		LATITUDINE	[deg]	37.4657117	37.4657333	37.4657517	37.4657733	37.4657883	37.4658033	37.4658533	37.4659	37.4659483	37.4659933	37.4660433	37.4660867	37.4661333	37.4661767	37.46622	37.4662767	37.46632	37.4663667	37.4664117	37.4664617	37.4665083	37.4665617	73 ACCCOC7
NEAMENTO 3m		TEMPERATURA DELL'ARIA	[5.]	9.9	6.3	6.1	9	5.8	5.7	5.6	5.5	5.5	5.5	5.4	5.4	5.4	5.4	5.4	5.3	5.3	5.3	5.3	5.3	5.3	5.3	6.3
A DI VOLO - ALLI		SUPERFICIALE	[5,]	4.7	5	5	4.5	5	4.6	4.9	5	4.8	5.1	4.9	4.7	5	5.2	4.8	4.6	4.9	4.8	4.6	4.9	4.8	5	4.7
AEROPORTÓ "FONTANAROSSA" di CATÁNIA - PISTA DI VOLO - ALLINEAMENTO 3 m SX	TEMPERATURA	CONGLOMERATO	[,c]	13	13	13	13	13	13	13	13	13	13	13	13	13	13	13	13	13	13	13	13	13	13	13
ROSS	60	1800	[mr]	125	98	103	115	114	111	114	117	102	66	110	122	115	93	103	117	122	109	118	122	128	142	147
INTAIN	08	1500	[mr]	153	100	121	141	135	131	135	139	124	119	132	150	142	112	128	147	145	130	143	149	155	173	179
TO "FC	70	1200	[mm]	186	115	145	174	161	159	166	165	150	149	164	192	180	143	167	193	177	156	171	184	186	219	731
ROPOR	90	006	[mm]	225	136	170	221	196	193	195	195	176	188	204	248	231	188	233	250	215	184	205	228	227	277	300
AE	D5	009	[mm]	276	162	200	287	240	242	229	237	207	235	252	323	301	250	299	322	265	218	246	286	276	361	404
	D4	450	[mm]	310	175	216	326	264	274	249	264	226	263	283	371	345	297	349	364	296	238	271	321	304	419	474
	D3	300	[mm]	352	193	237	370	294	311	269	292	245	295	323	423	396	351	396	412	332	259	299	361	337	495	554
	D2	200	[mm]	388	212	256	405	321	342	286	315	264	322	359	462	436	388	439	448	361	282	323	395	366	562	619
	D1	0	[mrl]	452	261	304	471	370	406	328	366	307	372	435	529	514	440	514	511	418	330	373	453	416	229	735
		Carico	[kN]	191.84	193.61	193.4	191.13	191.56	192.69	191.84	192.05	192.97	191.49	191.13	188.45	190.22	191.77	188.59	189.16	188.02	191.42	191.28	190.71	188.8	189.3	187.74
		Sforzo	[kPa]	2714	2739	2736	2704	2710	2726	2714	2717	2730	2709	2704	2666	2691	2713	2668	2676	2660	2708	2706	2698	2671	\rightarrow	2656
		Progressiva	[km]	0.204	0.224	0.244	0.264	0.284	0.304	0.354	0.404	0.454	0.504	0.554	0.604	0.654	0.704	0.754	0.804	0.854	0.904	0.954	1.004	1.054	1	1.154



◁
-
\circ
_
$\overline{}$
_
O
_
ш
Γ
$\overline{}$
ш
=
_
_
\cap
$\overline{}$
=
N
⋖
_
_
ш
\sim
ш.

erv	izio T	ecnologico			rim	en	tal T	e	_	_	_	_	_	T	1			_	_	_				_		_	_	_	_	_	
		DATA E ORA	mm.q ee/mm/ss	9/3/16 3:39	9/3/16 3:40	9/3/16 3:41	9/3/16 3:42	9/3/16 3:43	9/3/16 3:43	9/3/16 3:44	9/3/16 3:45	9/3/16 3:46	9/3/16 3:47	9/3/16 3:48	9/3/16 3:48	9/3/16 3:49	9/3/16 3:50	9/3/16 3:51	9/3/16 3:52	9/3/16 3:53	9/3/16 3:54	9/3/16 3:55	9/3/16 3:56	9/3/16 3:57	9/3/16 3:57	9/3/16 3:58	9/3/16 3:59	9/3/16 4:00	9/3/16 4:01	9/3/16 4:02	9/3/16 4:03
	TICHE	ALTITUDINE	[m]	8	7.7	7.6	7.7	7.6	7.8	7.5	7.4	7.6	7.7	7.7	7.6	00	7.2	6.8	9.9	9.9	9.9	9.9	6.8	6.7	7	7.3	7.3	7.7	00	8.3	8.7
	COORDINATE GEOGRAFICHE	LONGITUDINE ALTITUDINE	fdegl	15.0646133	15.0651983	15.06571	15.0663083	15.0668783	15.0674033	15.0679733	15.068485	15.069095	15.0695933	15.0702083	15.0708183	15.0713417	15.0719017	15.07244	15.073	15.0736017	15.0741317	15.0747267	15.0752367	15.0758283	15.0763983	15.0769083	15.0775317	15.078055	15.07866	15.0791633	15.0797483
XX		LATITUDINE	[deg]	37.4666533	37.466705	37.4667483	37.4668	37.4668467	37.4668917	37.4669417	37.4669867	37.4670333	37.467075	37.4671267	37.46718	37.4672233	37.4672667	37.46731	37.467355	37.4674083	37.4674517	37.4675	37.467545	37.467595	37.4676417	37.4676833	37.467735	37.4677783	37.4678283	37.46787	37.4679267
NEAWIENTOR M		TEMPERATURA DELL'ARIA	اردا	5.4	5.4	5.4	5.5	5.5	5.5	5.5	5.5	5.6	5.6	5.6	5.6	5.6	5.6	5.6	5.6	5.7	5.7	5.8	5.8	5.9	5.9	9	5.9	9	6.1	6.1	6.1
A DI VOLO - ALLI		SUPERFICIALE	[],[]	5	5.1	4.9	5.1	4.8	4.9	4.9	5	5.3	5.1	4.9	4.8	4.7	4.9	5.2	5,3	5.3	5	5.3	5.5	5.1	5.2	5	5.2	5.1	5.1	4.2	5.3
AROSSA" di CATANIA - PISTA DI VOLO - ALLINEAMENTO 3m SX		CONGLOMERATO BITUMINOSO	[0,]	13	13	13	13	13	13	13	13	13	13	13	13	13	13	13	13	13	13	13	13	13	13	13	13	13	13	13	13
1,1055	60	1800	[mm]	130	129	130	131	125	136	130	144	153	73	112	77	78	97	84	8	115	91	95	2	61	79	80	29	55	47	78	88
AEROPORTÓ "FONTAN	D8	1500	[mm]	152	146	155	150	145	164	153	171	184	98	130	92	95	122	104	96	142	105	106	8	29	93	95	83	89	8	101	111
RTO IF	70	1200	[mrl]	186	177	189	182	172	197	184	212	226	10 20 20	153	114	119	159	133	125	178	121	123	87	74	116	116	104	88	82	132	143
ROPOI	90	900	[mn]	229	245	233	216	200	234	216	259	282	130	199	144	150	210	176	164	221	137	136	98	27	140	137	131	111	109	177	183
A	D2	009	[mm]	282	320	293	261	233	281	254	320	358	164	247	187	196	282	238	228	276	155	120	106	88	168	163	162	138	141	233	236
	04	450	[mm]	315	396	330	\rightarrow	-	307	727	326	407	186	784	216	226	332	279	276	308	166	157	110	91	182	177	181	154	159	258	274
	D3	300	[mm]	353	-	-	-	-	-	_	\rightarrow	464	_	333	249	-	-	_	341	345	180	167	116	86	702	193	203	169	180	280	314
	D2	200	[mm]	385	_	-	\rightarrow	\rightarrow	\rightarrow	\rightarrow	-	\rightarrow	\rightarrow	379	780	293	439	329	335	379	707	181	128	106	220	509	223	183	199	298	349
i	D1	0	[mm]	447	-	\rightarrow	\rightarrow	+	-+	-	_	-	\dashv	-	\rightarrow	361	232	-	-	+	+	235	172	143	766	251	277	230	247	347	417
		Carico	[kN]	190.14	187.32	190.99	190	191.21	190.78	191.35	189.93	189.16	191.77	188.52	191.56	191.42	188.09	190.29	189.51	190.07	192.05	191.98	193.4	192.62	191.91	191.91	191.91	192.55	192.55	191.77	185.9
		Sforzo	[kPa]	2690	-	2702	2688	2705	2699	+	-	2676	2713	2667	2710	2708	2661	+	+	+	+	2/16	+	+	+	+	\dashv	+	+	+	2630
		Progressiva	[km]	1.204	1	\dagger	\dagger	+	\dagger	\dagger	\dagger	\dagger	+	+	+		+	\dagger	\dagger	\dagger	\dagger	†	†	\dagger	t	\dagger		†	\dagger	\dagger	2.554

Tabella 25. PISTA DI VOLO – Allineamento 3mSX della CENTER LINE - Dati acquisiti durante le indagini deflettometriche.





			AEROPORTO '	'FONTANAROSS	A" di CATANIA -	PISTA DI VOLO	AEROPORTO "FONTANAROSSA" di CATANIA - PISTA DI VOLO - ALLINEAMENTO 10m DX	DX					
	CDECCOBI	Iao		OM .	MODULI DI RIGIDEZZA	ZZA							
	Jr ES.	NO.	E1	E2	Es	Ee	E120°C						ERRORI
PROGRESSIVE	CONGLOMERATO	FONDAZIONE	CONGLOMERATO BITUMINOSO	FONDAZIONE	FONDAZIONE SOTTOFONDO	SEMISPAZIO EQUIVALENTE	CONGLOMERATO BITUMINOSO ALLA TEMPERATURA DI RIFERIMENTO	COSTA	NTI EQUAZI MODULO	COSTANTI EQUAZIONE DEL MODULO	JE C	ASSOLUTO	PERCENTUALE
[km]	[mm]	[mm]	[mm]	[Mpa]	[Mpa]	[Mpa]	[Mpa]	2	N2	S	Ns	[mm]	[%]
0.204	320	340	5661	821	180	1273	3482	821	0.00	1.	-0.06	3	1
0.224	310	390	7088	1027	266	1724	4360	1027	0.00	H	-0.02	2	e
0.244	300	390	7964	860	282	1451	4899	860	0.00	H	0.03	2	-
0.264	310	370	7627	758	174	1610	4692	758	0.00	H	-0.10	1	0
0.284	180	510	10260	2069	288	2017	6311	2069	0.00	-	-0.02	1	1
0.304	210	200	7212	1454	274	1670	4436	1454	0.00		0.00	1	1
0.404	230	430	7528	1125	228	1597	4631	1125	0.00	222	-0.06	2	1
0.504	290	350	9175	1137	253	2034	5644	1137	0.00	H	-0.04	2	1
0.604	250	310	7361	2906	275	1828	4528	2906	0.00	-	00.0	2	1
0.704	250	380	6896	4293	287	2397	5929	4293	0.00	284	-0.01	1	1
0.804	330	350	9507	4805	772	2604	5848	4805	0.00	274	-0.01	2	2
0.904	330	370	7141	2639	274	2202	4393	2639	0.00		-0.02	1	1
1.004	290	360	9053	5223	245	2269	5569	5223	0.00	-	0.00		1
1.104	280	300	5933	864	170	1231	3650	864	0.00	167	-0.04	3	1
1.204	270	370	9322	2514	252	2001	5734	2514	0.00		0.00	1	1
1.304	280	350	8333	3190	225	2407	5126	3190	0.00	H	-0.19	1	1
1.404	290	320	9731	2288	230	1902	5986	2288	0.00		0.01	1	1
1.504	290	300	8404	1204	158	1605	5170	1204	0.00	\vdash	-0.08	2	1
1.604	290	290	6748	1303	247	1536	4151	1303	0.00		0.03	3	1
1.704	290	310	5672	1115	206	1501	3489	1115	0.00	202	-0.08	2	1
1.804	280	350	6489	1185	281	1768	3992	1185	0.00	278	-0.04	2	1
1.904	230	290	8315	2187	223	1822	5115	2195	0.02	218	-0.09	2	2
2.004	210	260	7997	1590	152	1478	4716	2194	-0.18	146	-0.14		1
2.104	250	220	9118	3946	319	2854	5609	13800	-0.62	316	-0.02	1	1
2.204	380	230	6304	2592	411	3028	3878	25919	0.20	┢	-0.03	2	2
2.304	410	190	7000	1135	222	2470	4306	4026	0.11		-0.19	1	-
2.404	370	220				N	NON ELABORABILE			1			
2.504	330	270	5569	816	172	1829	3426	2050	0.08	156	-0.22	2	
2.554	340	300	7004	505	159	1934	4308	1269	0.08	136	-0.25	1	0

Tabella 26. PISTA DI VOLO – Allineamento 10m DX della CENTER LINE - Risultati delle indagini deflettometriche.



		DATA	mm.d se/mm/ao	9/3/16 23:58	9/3/16 23:59	10/3/16 0:00	10/3/16 0:01	10/3/16 0:01	10/3/16 0:02	10/3/16 0:03	10/3/16 0:04	10/3/16 0:06	10/3/16 0:07	10/3/16 0:08	10/3/16 0:09	10/3/16 0:10	10/3/16 0:11	10/3/16 0:12	10/3/16 0:13	10/3/16 0:14	10/3/16 0:16	10/3/16 0:17	10/3/16 0:18	10/3/16 0:19	10/3/16 0:20	10/3/16 0:21	10/3/16 0:22	10/3/16 0:23	10/3/16 0:24	10/3/16 0:26	10/3/16 0:27
	12.1	L w	20/00	/6	6	10	10	12	10	10	10	10	10	10	101	10	18	10,	10	10,	10,	10/	10/	10/	5	10/	10/	101	9	10	Ş
	ICHE	ALTITUDIN	[m]	15.3	15.7	15.6	15.9	15.6	15.4	14.7	13.3	12.4	11.3	10.3	9.2	9.1	8.9	8.7	8.9	8.9	9.3	9.7	8.9	8.9	9.1	8.9	6	80,00	9.1	9.4	9.5
	COORDINATE GEOGRAFICHE	LONGITUDINE ALTITUDINE	fdegi	15.0534383	15.0536783	15.0538767	15.054075	15.054305	15.0545383	15.0556667	15.05677	15.057895	15.0589967	15.0601483	15.0612767	15.0623833	15.0635083	15.0645983	15.0658033	15.066885	15.06803	15.069105	15.0702217	15.0713983	15.07246	15.0736033	15.0747467	15.075845	15.076995	15.0781167	15.07925
DX		LATITUDINE	[deg]	37.4655883	37.465615	37.4656333	37,46565	37.46567	37.4656917	37.465785	37.4658833	37.46598	37.466075	37.4661717	37.466265	37.4663567	37.4664483	37.4665433	37.4666467	37.466735	37.4668283	37.4669217	37.4670167	37.4671167	37.4672067	37.4673033	37.4673983	37.4674883	37.4675867	37.4676817	37.4677717
NEAMENTO 10m		SUPERFICIALE DELL'ARIA	[]	6.6	6.8	6.9	6'9	6.9	6.9	6.9	7	7	7	6.9	6.8	6.8	6.7	6.7	9.9	9.9	6.5	6.4	6.2	6.3	6.3	6.2	6.1	6.1	6.1	6.1	6.1
ÄEROPORTO "FONTANAROSSA" di CATANIA - PISTA DI VOLO - ALLINEAMENTO 10m DX		TEMPERATURA SUPERFICIALE	[,c]	4.8	5.3	5	4	5.3	3.9	3.7	2	4.5	4.3	4.6	4.9	4.4	4.4	4.2	4.7	4.2	4.1	4.4	4.3	4.4	4	3.8	4.3	4.4	4.3	4.7	4.6
	TEMPERATURA	CONGLOMERATO BITUMINOSO	[,c]	12.7	12.7	12.7	12.7	12.7	12.7	12.7	12.7	12.7	12.7	12.7	12.7	12.7	12.7	12.7	12.7	12.7	12.7	12.7	12.7	12.7	12.7	12.7	12.7	12.7	12.7	12.7	12.7
	60	1800	[mm]	139	109	120	115	102	116	112	101	112	101	101	104	125	153	120	77	137	139	141	105	92	91	116	88	49	71	9	83
	D8	1500	[mm]		132	145	137	121	136	133	170	135	121	121	123	143	188	142	8	162	165	169	130	115	112	143	101	72	98	55	101
	D7	1200	[mrl]	208	161	179	166	144	163	164	145	164	144	143	145	168	232	171	118	191	200	201	161	143	142	177	117	82	104	8	126
	90	006	[mm]	261	199	228	206	174	200	506	176	702	172	168	174	193	292	204	149	224	240	242	702	81	179	225	133	94	128	114	160
	D5	009	[mm]	338	252	293	257	216	251	264	215	246	202	189	204	220	362	242	182	264	230	295	257	730	226	281	154	113	161	164	210
	D4	450	[mrl]	386	286	337	294	243	283	305	242	272	219	202	223	236	410	263	202	285	321	327	296	264	258	322	167	128	180	196	241
	D3	300	[mrl]	442	324	384	340	274	324	349	274	303	235	213	243	249	458	287	222	309	354	368	344	302	291	368	185	151	202	233	279
	D2	200	[mrl]	485	359	\rightarrow	-	302	360	384	8	332	251	227	566	768	201	88	242	328	383	401	387	338	322	403	203	174	228	263	312
	D1	0	[mm]	569	425	204	456	-	-	\rightarrow	\rightarrow	\rightarrow	303	-	+	319	579	360	301	378	448	467	478	408	393	484		_	293	334	395
		Carico	[kN]	194.46	196.79	196.37	197.14	196.58	195.94	195.16	195.02	194.39	195.02	194.39	193.96	194.39	191.35	193.4	194.53	193.04	193.04	192.55	192.62	193.68	192.27	192.05	194.67	195.16	194.32	194.67	193.96
		Sforzo	[kPa]	2751	2784	2778	2789	+	+	+	+	+	+	+	+	+	+	+	+	+	+	+	-	+	+	+	+	+	+	+	2744
		Progressiva	[km]	0.204	1	1	1	\dagger	\dagger	+	+	1	\dagger	†	\dagger	\dagger	\dagger	\dagger	Ť	†	\dagger	\dagger	\dagger	\dagger	+	†	\dagger	\dagger	†	†	2.504

Tabella 27. PISTA DI VOLO – Allineamento 10mDX della CENTER LINE - Dati acquisiti durante le indagini deflettometriche.



		ERRORI	COSTANTI EQUAZIONE DEL MODULO ASSOLUTO PERCENTUALE	N2 Cs Ns [um] [%]	131 -0.10 3	138 -0.14 3	179 -0.06 2	158 -0.10 2	-0.14 3	-0.15			-0.12 1	177 -0.17 0	174 -0.08 2	189 -0.06 2	168 -0.05 3	173 -0.05 2	-0.11	135 -0.21 2	1		c	0.13 187 -0.08 2 1	0.08 200 -0.10 1 1	-0.15 182 -0.14 1 0	0.00 137 -0.14 2 1		282 -0.10 3	175 -0.19 1	1	-
SX			COSTAN	22	-	T	+	731	1245	1320	2370 (3162 -	2406 (H	H	1654 (1087	1329	2320 (1208	2534 (1144 (2355	1724 (23769 -(17297 -	Н	2127 0	1838
ANAROSSA" di CATANIA - PISTA DI VOLO - ALLINEAMENTO 10m SX		E120°C	CONGLOMERATO BITUMINOSO ALLA TEMPERATURA DI RIFERIMENTO	[Mpa]	2902	4156	4625	4161	7396	5533	5045	5688	4537	4897	4058	5075	4101	3767	5552	5801	5077	7383	3463	4489	4967	5122	6985	4798	3693	4427	5934	6869
PISTA DI VOLO -	ZA	Ee	SEMISPAZIO EQUIVALENTE	[Mpa]	1149	1392	1533	1405	1648	1780	1875	2582	1549	2338	1531	1762	1356	1267	1845	1897	1695	2064	1380	1796	1762	1887	1514	3087	3183	2307	3286	2660
A" di CATANIA -	MODULI DI RIGIDEZZA	Es	DAZIONE SOTTOFONDO	[Mpa]	140	154	186	167	156	172	169	226	161	201	183	197	172	177	160	157	165	154	191	193	210	192	145	407	309	198	364	320
FONTANAROSS/	MOD	E2	FONDAZIONE	[Mpa]	104	383	809	689	1245	1320	2388	2341	761	2451	484	579	209	211	1654	1044	1259	2320	481	292	968	1829	1724	5569	13879	949	2127	921
AEROPORTO "FONT		E1	CONGLOMERATO	[mm]	4717	6757	7519	6765	12024	8994	8201	9247	7375	7961	6597	8250	9999	6124	9025	9430	8253	12003	5630	7298	8075	8326	11356	7800	6004	7197	9646	11166
	Iac		FONDAZIONE	[mm]	340	390	390	370	510	200	430	350	310	380	350	370	360	300	370	350	320	300	290	310	350	290	260	220	230	190	220	270
	CDECCOR	2010	CONGLOMERATO BITUMINOSO	[mm]	320	310	300	310	180	210	230	290	250	250	330	330	290	280	270	280	290	290	290	290	280	230	210	250	380	410	370	330
			PROGRESSIVE	[km]	0.204	0.224	0.244	0.264	0.284	0.304	0.404	0.504	0.604	0.704	0.804	0.904	1.004	1.104	1.204	1.304	1.404	1.504	1.604	1.704	1.804	1.904	2.004	2.104	2.204	2.304	2.404	2.504

Tabella 28. PISTA DI VOLO – Allineamento 10m SX della CENTER LINE - Risultati delle indagini deflettometriche.



		i kazarinen	1		Т	Г	Τ							Γ	Г	Γ						Γ				Г	Г	Π	Т	Г	Τ	
		DATA E ORA	ww/mm/aa h·mm	10/3/16 1:12	10/3/16 1:13	10/3/16 1:14	10/3/16 1:14	10/3/16 1:15	10/3/16 1:16	10/3/16 1:17	10/3/16 1:18	10/3/16 1:19	10/3/16 1:20	10/3/16 1:21	10/3/16 1:22	10/3/16 1:24	10/3/16 1:25	10/3/16 1:26	10/3/16 1:27	10/3/16 1:28	10/3/16 1:29	10/3/16 1:30	10/3/16 1:31	10/3/16 1:32	10/3/16 1:33	10/3/16 1:34	10/3/16 1:35	10/3/16 1:36	10/3/16 1:37	10/3/16 1:38	10/3/16 1:39	
	ICHE	ALTITUDINE	[m]	15	16.6	16.1	15.4	15.1	14.6	13.6	12.7	12	11.4	10.3	9.8	9.2	8.7	7.8	7.5	7.4	7.1	6.8	6.8	9.9	6.4	7.2	6.9	7	7.1	7.6	8.1	
	COORDINATE GEOGRAFICHE	LONGITUDINE ALTITUDINE	[deg]	15.053415	15.0536333	15.0538667	15.0541033	15.0543217	15.0545283	15.0556283	15.0567783	15.057905	15.0590167	15.0601433	15.0612667	15.0623533	15.0635217	15.0646083	15.0658	15.0668583	15.0679767	15.0690367	15.070235	15.0713717	15.0724517	15.07358	15.0747283	15.075815	15.076945	15.0780733	15.0792083	
SX		LATITUDINE	Idegi	37.4657733	37.4657933	37.4658167	37.4658367	37.4658533	37.4658717	37.4659633	37.4660583	37.46615	37.466245	37.4663383	37.4664383	37.4665267	37.4666217	37.4667183	37.4668267	37.46691	37.4670033	37.4670867	37.4671867	37.467285	37.4673767	37.4674717	37.4675683	37.46766	37.4677567	37.4678567	37.4679467	
NEAMENTO 10m		TEMPERATURA DELL'ARIA	ľď	6.8	6.7	6.7	9'9	9.9	9.9	6.5	6.5	6.5	6.5	6.4	6.3	6.2	5.9	5,8	5.8	5.7	5.7	5.6	5.6	5.5	5.6	5.6	5.5	5.5	5.6	5.6	5.7	
A DI VOLO - ALLII		TEMPERATURA TEMPERATURA SUPERFICIALE DELL'ARIA	[5.]	4.1	4.9	4.3	3.5	4	4.3	3.5	4.7	4.5	3.9	4.3	3.3	3.4	4.1	3.7	3.8	3.6	4	4	4	3.7	3.7	3.4	4	4.1	3.7	3.5	3.7	
ANAROSSA" dI CATANIA - PISTA DI VOLO - ALLINEAMENTO 10m SX	TEMPERATIRA	CONGLOMERATO BITUMINOSO	[b.]	12.7	12.7	12.7	12.7	12.7	12.7	12.7	12.7	12.7	12.7	12.7	12.7	12.7	12.7	12.7	12.7	12.7	12.7	12.7	12.7	12.7	12.7	12.7	12.7	12.7	12.7	12.7	12.7	
ROSSA	60	1800	[mrl]	145	125	126	124	116	104	114	93	116	98	119	117	141	133	126	85	134	127	131	113	97	95	120	82	72	8	38	74	
NTANA	D8	1500	[mr]	178	151	151	147	136	123	134	107	139	9	145	142	169	163	147	112	157	150	158	134	117	113	149	92	79	96	51	89	_
AEROPORTO "FONT	70	1200	[mrl]	221	189	184	179	165	147	160	125	171	118	179	172	203	707	174	<u>14</u>	187	178	191	160	146	139	186	105	88	117	69	110	
ROPOR	90	006	[mrl]	275	239	228	224	206	180	190	146	211	143	224	209	248	254	207	184	223	509	233	190	182	174	236	119	100	14	91	135	
AE	05	009	[mrl]	349	308	287	287	254	228	229	171	266	174	280	257	311	320	248	229	269	242	292	234	233	218	299	135	114	179	120	166	
	D4	450	[mrl]	400	353	324	332	289	258	253	186	304	194	315	286	355	368	272	258	296	261	330	262	566	248	335	146	124			184	-
I	D3	300	[mrl]	460	402	366	384	_		286	506	345	220	328	320	405	425	8	287	329	281	381	298	304	282	376	160	141	225	154	506	1
	D2	200	[mm]	511	441	400	424	-	-+	314	227	385	244	392	349	447	469	329	312	357	298	427	330	336	312	406	179	163	_	-	-	27.2
	D1	0	[hm]	616	513	468	509	_	_	\dashv	-	\dashv	\rightarrow	-	\rightarrow	\rightarrow	-	387	376	419	\rightarrow	-	-	-	-	-	\rightarrow	\rightarrow	-	-	\rightarrow	220
		Carico	[kN]	190.07	191.77	192.69	192.05	192.48	192.62	192.34	193.47	191.7	192.76	190.78	191.56	190.43	189.79	191.77	191.56	190.71	191.21	190.43	191.98	191.56	191.98	190.64	193.11	193.18	192.05	193.25	193.54	101 08
		Sforzo	[kPa]	5689	\rightarrow	+	+	\rightarrow	\dashv	\dashv	+	2712	\dashv	+	+	+	+	+	\dashv	\dashv	+	\rightarrow	+	+	+	+	+	+	+	\rightarrow	-	2716
		Progressiva	[km]	0.204	0.224	1	+	\dagger	+	+	\dagger	†	1		\dagger		+	†	1	+	+	\dagger	1	\dagger	\dagger	\dagger	1	1	†	\dagger	1	2 554

Tabella 29. PISTA DI VOLO – Allineamento 10mSX della CENTER LINE - Dati acquisiti durante le indagini deflettometriche.



-	-
-	-
-	•
4	
	۹
~	d
\overline{c}	
11	1
Ë	-
_	_
г	
11	3
ш	4
_	
-	•
TINC.	-
\sim	۹
١.	2
_	_
_	7
\sim	Л
	J
A7	Г
-	4
	п
-	J
1.1	1
ш	4
DE!	d
FY	•
_	-

er	~V	izio	Te	enalogico S	3pe	rir	nei	nte	ale									
			ERRORI	PERCENTUALE	[%]		-	1	2	1	1	1	1	1	1	2	1	C
		i	ER	ASSOLUTO	[mm]	1	1	2	2	2	2	1	2	1	2	1	2	-
				DEL	Ns	-0.04	-0.06	-0.06	0.00	-0.10	-0.03	-0.08	-0.06	-0.04	-0.06	-0.16	-0.32	-0.12
	10			AZIONE	3	173	174	152	259	121	204	247	174	203	191	211	258	217
				COSTANTI EQUAZIONE DEL MODULO	N2	0.00	0.00	0.00	0.00	0.03	0.00	0.00	-0.02	0.00	0.14	-0.31	0.00	0.14
	DX			COSTAN	8	638	1981	1692	1044	1252	2169	3808	833	1954	2036	52640	1362	658
	AEROPORTO "FUNTANAROSSA" di CATANIA - PISTA DI VOLO - ALLINEAMENTO 20m DX		E120°C	CONGLOMERATO BITUMINOSO ALLA TEMPERATURA DI	[Mpa]	2893	5635	5119	3219	5969	4714	5862	5200	5082	5990	5438	4180	4062
	PISTA DI VOLO -	ZZA	Ee	SEMISPAZIO EQUIVALENTE	[Mpa]	1209	1706	1411	1557	1697	1743	1527	1748	2360	1446	4194	2608	1771
	4" di CATANIA -	MODULI DI RIGIDEZZA	. Es	FONDAZIONE SOTTOFONDO EQUIVALENTE	[Mpa]	176	183	158	259	181	209	132	208	262	191	265	287	231
	-ON ANAROSSA	MOL	E2	FONDAZIONE	[Mpa]	638	1981	1692	1044	820	1954	1130	2169	3808	406	30844	1362	477
The second second	AEROPORIO		E1	CONGLOMERATO BITUMINOSO	[mm]	4613	8984	8162	5133	9517	7516	9346	8291	8103	9551	8671	6664	6476
		Igo		FONDAZIONE	[mm]	340	430	310	350	360	370	320	290	350	260	230	220	300
		Idusyads	66110	CONGLOMERATO BITUMINOSO	[mm]	320	230	250	330	290	270	290	290	280	210	380	370	340
				PROGRESSIVE	[km]	0.204	0.404	0.605	0.805	1.007	1.204	1.404	1.604	1.806	2.005	2.207	2.405	2.604

Tabella 30. PISTA DI VOLO – Allineamento 20m DX della CENTER LINE - Risultati delle indagini deflettometriche.



no	ole	ogico 5	Speriment	ale													
			DATA E ORA	gg/mm/aa h:mm	8/3/16 23:56	8/3/16 23:57	8/3/16 23:58	8/3/16 23:59	9/3/16 0:00	9/3/16 0:01	9/3/16 0:02	9/3/16 0:03	9/3/16 0:04	9/3/16 0:05	9/3/16 0:07	9/3/16 0:08	9/3/16 1:35
		:ICHE	ALTITUDINE	[m]	14.6	13.6	12.4	10.8	9.5	8.5	7.8	7.7	7.8	7.2	7.2	7.7	7.7
		COORDINATE GEOGRAFICHE	LONGITUDINE ALTITUDINE	[deg]	15.05345	15.0556917	15.057945	15.0601883	15.0624583	15.06467	15.066905	15.0691533	15.0714133	15.0736467	15.0759167	15.0781333	15.079645
	DX	COORDI	LATITUDINE	[deg]	37.4654983	37.4656933	37.4658833	37.4660717	37.4662617	37.4664467	37.4666367	37.4668267	37.4670167	37.467205	37.4673983	37.4675833	37.467705
000000000000000000000000000000000000000	VEAMENTO ZUM		TEMPERATURA DELL'ARIA	[5]	7.6	7.7	9.2	7.6	7.7	7.6	7.7	7.8	7.9	7.9	7.5	7.4	8.9
0.00	A DI VOLO - ALLIL		SUPERFICIALE DELL'ARIA	[5.]	5.7	5.6	5.8	5.3	9	5.7	5.7	5.5	5.3	5.9	5.8	6.4	9
The same of the sa	ARUSSA OF CATANIA - PISTA DI VOLO - ALLINEAMENTO ZUM DX	TEMPERATURA	CONGLOMERATO	[.c]	13	13	13	13	13	13	13	13	13	13	13	13	13
	20224	60	1800	[mrl]	146	134	153	114	129	128	154	128	91	118	70	36	87
		D8	1500	[mrl]	178	161	189	140	154	153	183	157	109	145	77	48	108
Tank and the second of the second	5	D7	1200	[mm]	222	195	233	174	186	183	220	192	131	182	87	29	137
1.1.1.1	SICION	90	006	[mrl]	278	235	283	216	224	221	263	232	158	229	93	94	177
	AEI	50	009	[mrl]	353	281	344	270	275	267	315	277	190	291	101	132	231
		D4	450	[mr]	398	309	377	301	302	293	346	302	208	331	105	156	265
		D3	300	[mr]	447	339	414	336	334	324	379	330	230	379	112	186	305
		D2	200	[mrl] [mrl]	486	363	444	368	361	350	408	353	249	416	124	211	338
		D1	0	[mrl]	288	422	508	462	424	413	469	412	306	494	174	279	416
			Carico	[kN]	190.92	193.25	192.41	193.11	193.25	193.25	192.27	193.4	193.89	191.84	195.94	195.38	197.78
MAN MAN			Sforzo	[kPa]	2701	2734	2722	2732	2734	2734	2720	2736	2743	2714	2772	2764	2798
			Progressiva Sforzo	[km]	0.204	0.404	0.605	0.805	1.007	1.204	1.404	1.604	1.806	2.005	2.207	2.405	2.604

Tabella 31. PISTA DI VOLO – Allineamento 20mDX della CENTER LINE - Dati acquisiti durante le indagini deflettometriche.

o_	ΙE	ecn	olo	gico Sperir	mer	nte	ale											
			EKKORI	PERCENTUALE	[%]	-	m	-	1	1	1	1	1	-	2	2	2	-
			H.	ASSOLUTO	[mm]	2	4	3	2	1	1	1	2	2	4	2	2	,
				DEL	NS	-0.14	-0.07	-0.03	-0.02	0.00	0.00	0.03	-0.06	-0.01	0.02	-0.13	-0.36	-0.06
	į			COSTANTI EQUAZIONE DEL MODULO	2	112	171	152	238	223	233	220	234	301	230	205	288	300
	1			NTI EQUAZI MODULO	N2	0.08	00.0	0.16	00.0	0.00	00.0	0.00	0.04	0.02	0.00	-0.16	0.19	000
	SX			COSTAI	2	374	2103	394	1485	1522	3171	1698	2330	2249	1506	32381	488	1770
	AEROPORTO FUNTANARUSSA di CATANIA - PISTA DI VOLO - ALLINEAMENTO 20m SX		E120°C	CONGLOMERATO BITUMINOSO ALLA TEMPERATURA DI	[Mpa]	2794	9400	4584	5134	4341	6034	4964	4635	4515	5788	6382	3505	4515
	PISTA DI VOLO	ZZA	Ee	SEMISPAZIO EQUIVALENTE	[Mpa]	1126	2227	1078	2060	1677	2101	1668	2045	2236	1469	4204	2461	2353
	A di CAIANIA -	MODULI DI RIGIDEZZA	Es	SEMISPAZIO FONDAZIONE SOTTOFONDO EQUIVALENTE	[Mpa]	123	183	155	241	223	233	215	240	302	224	247	309	310
ood an annual a	FUNIANARUSS	MOI	E2	FONDAZIONE	[Mpa]	333	2103	330	1485	1522	3171	1698	1470	2233	1506	25253	420	1770
II OTGOGGGA	AEROPORIO		E1	CONGLOMERATO	[mm]	5062	17033	8306	9302	7865	10933	8994	8398	8181	10487	11564	6351	8181
		iac		FONDAZIONE	[mm]	340	430	310	350	360	370	320	290	350	260	230	220	300
		CDECCORI	20	CONGLOMERATO	[mm]	320	230	250	330	290	270	290	290	280	210	380	370	340
				PROGRESSIVE	[km]	0.204	0.404	0.604	0.804	1.004	1.204	1.404	1.604	1.804	2.004	2.204	2.404	2.554

Tabella 32. PISTA DI VOLO – Allineamento 20m SX della CENTER LINE - Risultati delle indagini deflettometriche.

no	logico S	periment	ale													
		DATA E ORA	gg/mm/aa h:mm	9/3/16 4:13	9/3/16 4:15	9/3/16 4:16	9/3/16 4:17	9/3/16 4:19	9/3/16 4:20	9/3/16 4:21	9/3/16 4:22	9/3/16 4:24	9/3/16 4:25	9/3/16 4:26	9/3/16 4:27	0/3/16 4.20
THE PERSON	ICHE	ALTITUDINE	[m]	14.6	13.2	11.7	10.4	9.3	8.5	7.9	7.9	7.7	7.4	7	7.8	O O
	COORDINATE GEOGRAFICHE	LONGITUDINE ALTITUDINE	[deg]	15.0534033	15.0556267	15.057965	15.0601133	15.0624067	15.0646383	15.0668933	15.069155	15.0713483	15.0736517	15.07583	15.07812	15 0797267
20		LATITUDINE	[deg]	37.4658733	37.4660533	37.46625	37.46643	37.4666217	37.4668117	37.467	37.46719	37.4673717	37.4675683	37.4677517	37.4679433	37 4680833
MEABERRY SOM		TEMPERATURA DELL'ARIA	[ي]	6.3	6.2	9	9	6.1	9	6.2	6.3	6.4	6.4	6.5	6.5	6.5
A DIVOLO ALLI		SUPERFICIALE DELL'ARIA	[5]	3.4	3.5	3.7	3.8	3.6	3.9	4	4.6	4.5	4.8	5.3	5.1	4.9
AFBORDARD "ECONTAGABOREA" - CATANIA BISTA DIVONO ALLINEARENTO 20- 5X	TEMPERATIIRA	CONGLOMERATO	٦٥	11	11	11	11	11	11	11	11	11	11	11	11	11
. 76.44	60	1800	[mm]	144	119	162	117	133	127	155	97	91	128	78	30	81
1.1.7.1	D8	1500	[mm]	175	139	199	139	158	149	182	115	107	158	68	40	95
10 m - L	07	1200	[mr]	223	166	254	167	192	178	215	141	128	198	86	59	119
	D6	006	[mm]	284	192	323	198	231	509	253	171	154	246	105	98	146
	D5	009	[mm]	365	223	413	234	279	242	298	209	188	306	113	129	182
	D4	450	[mm]	414	240	468	255	307	259	325	234	208	340	116	156	204
	D3	300	[mm] [mm]	472	258	527	278	335	280	352	261	232	381	123	190	228
	D2	200	[htm]	514	276	572	299	362	297	375	291	255	411	133	220	249
	0.1	0	[mm]	809	321	650	347	423	340	426	351	319	483	172	292	304
		Carico	[kN]	183.78	191.98	188.09	191.98	190.5	191.77	190.78	192.69	191.56	190.57	194.17	192.97	192.05
		Sforzo	[kPa]	2600	2716	2661	2716	2692	2713	2699	2726	2710	2696	2747	2730	2717
		Progressiva	[km]	0.204	0.404	0.604	0.804	1.004	1.204	1.404	1.604	1.804	2.004	2.204	2.404	2.554

Tabella 33. PISTA DI VOLO – Allineamento 20mSX della CENTER LINE - Dati acquisiti durante le indagini deflettometriche.

SE S		TS	3M ecnologic) nte	
RELAZIONE TECNICA		ERRORI	PERCENTUALE	[%]	2	2	1	1		
ELAZION		ER	ASSOLUTO	[mn]	3	4	2	1		
~	۱			I/S	25	5	0	4		

LASTRA IN CLS FON	E1 CONGLOMERATO BITUMINOSO [mm]	ш	FONDAZIONE	SPESSORI LASTRA IN CLS FONDAZIONE [mm]	SPESSORI RATO LASTRA IN CLS FON
1598	48166		15050	290 15050	190 290 15050
1280	4100	7370 4100		7370	190 290 7370
1420	36334	11666 36334		11666	240 11666
2904	47791	15484 47791		15484	240 15484

ta	le		ш		1		Т	1	Т
on and		ERRORI	ASSOLUTO PERCENTUALE		[6/1	7	1	1	1
		8	ASSOLUTO	ł	frimi	1	1,	7	7
					Ne	000	200	0.03	0.00
			MODULC		٣	07.0	250	200	330
	ŀ		JE DEL N		ž.	200	200		
			COSTANTI EQUAZIONE DEL MODULO		2	62 00	0.00 002:30 0.00	202.00	037.80
	ı		ANTI EC		N2	000	200	2000	0.00
			COST		0	H	20/30	2001	7,500 0.00 1357.80 0.00
	-		0 ¥ ā			21	1 2		
AEROPORTO "FONTANAROSSA" di CATANIA - TESTATA 08 - ALLINEAMENTO 3m SX		E1zorc	CONGLOMERATO BITUMINOSO ALLA TEMPERATURA DI	RIFERIMENTO	[Mpa]	10398	8320	0350	NON ELABORABILE
TATA 08 - ALLIN		Ee	FONDAZIONE SOTTOFONDO EQUIVALENTE		[Mpa]	2593	4108	2112	1
H CATANIA - TE	MODULI DI RIGIDEZZA	Es	SOTTOFONDO		[Mpa]	275	346	330	000
ITANAROSSA"	MODULI D	E3	FONDAZIONE		[Mpa]	863	2570	1538 -	
ROPORTO "FOR		E2	LASTRA IN CLS		[Mpa]	21523	58439	27500	
AI		E1	LASTRA IN CLS FONDAZIONE BITUMINOSO		[mm]	16904	13525	10882	
			FONDAZIONE			300	290	240	240
	CDECCOBI	or Labour			[mm]	170	190	190	190
			CONGLOMERATO		[mm]	170	170	180	180
			PROGRESSIVE		(km)	0.04	0.08	0.12	0.16

			ERRORI	ASSOLUTO PERCENTUALE	10/1	Q.	1	-	7
			8	ASSOLUTO	fumi	7	7	-	0 0
				0	Ne	000	00.0	30.00	20.02
	-			MODULC	2	267	335	200	200 -0.02
		ı		NE DEL	N3	000		800	0000
		ŀ		COSTANTI EQUAZIONE DEL MODULO	2	0.00 3201 90 0.00	0.00 3221.30	0.00 1077 30 0.00	1050 10
		ľ		STANTI	CN	000	8	8	800
				Ö	0	46379	25697	25227	40014 0 00 1050 10 0 00
	AEROPORTO "FONTANAROSSA" di CATANIA - TESTATA 08 - ALLINEAMENTO 10m DX		Elarc	CONGLOMERATO BITUMINOSO ALLA TEMPERATURA DI	[Mpa]	7948	9337	8336	
	TATA 08 - ALLINE		Fe	SEMISPAZIO EQUIVALENTE	[Moal	3452	3114	3487	3350
	CATANIA - TES	MODULI DI RIGIDEZZA	Es	FONDAZIONE SOTTOFONDO EQUIVALENTE	[Mpa]	267	335	305	291
	TANAROSSA" d	MODULI	E3	FONDAZIONE	[Mpa]	3202	1236	1877	1958
	ROPORTO "FON		73	LASTRA IN CLS	[Mpa]	46379	25697	35222	40814
	AE		E1	CONGLOMERATO	[mm]	12920	15178	13552	12682
				LASTRA IN CLS FONDAZIONE	[mm]	300	290	240	240
700		CDECCODI	STESSONI	LASTRA IN CLS	[mm]	170	190	190	190
				CONGLOMERATO	[mm]	170	170	180	180
				PROGRESSIVE	[km]	0.04	0.08	0.12	0.16

SE S		T (SV Tecnologi	1	5 5	b) eri) ente	
RELAZIONE TECNICA	1 1 1 1 W.	ERRORI	PERCENTUALE	[%]	1	2	1	1		
ELAZION	ĺ	ER	ASSOLUTO	[mrl]	1	2	1	2		
2	ı			10	22	0	0	0		Г

-	-			=			7		
		ERRORI	ASSOLUTO PERCENTUALE		[%]	1	2	1	1
i		H	ASSOLUTO		fumj	1	2	1	2
			0		Ns	-0.02	0.00	0.00	0.00
			MODUL		ຽ	382	326	314	365
			NE DEL		N3	0.00	0.00	0.00	
			QUAZIC		0	3441.70	3194.10	0.00 3010.20 0.00	2353.80
			COSTANTI EQUAZIONE DEL MODULO		N2	0.00 3441.70 0.00	0.00 3194.10 0.00	00.0	0.00 2353.80 0.00
I			89		8	18705	45630	35937	19191
		E120°C	CONGLOMERATO BITUMINOSO ALLA TEMPERATURA DI	RIFERIMENTO	[Mpa]	6597	10133	10630	5854
		Ee	LASTRA IN CLS FONDAZIONE SOTTOFONDO EQUIVALENTE		[Mpa]	3388	4086	3622	3027
	MODULI DI RIGIDEZZA	Es	SOTTOFONDO		[Mpa]	389	326	314	365
	MODULI	E3	FONDAZIONE		[Mpa]	3442	3194	3010	2354
		E2	LASTRA IN CLS		[Mpa]	18705	45630	35937	19191
		E	LASTRA IN CLS FONDAZIONE BITUMINOSO		[mm]	10724	16473	17281	9517
The state of the s			FONDAZIONE		[mm]	300	290	240	240
	CDESCOBI	NO COL	LASTRA IN CLS		[mm]	170	190	190	190
			CONGLOMERATO		[mm]	170	170	180	180
			PROGRESSIVE		[km]	0.04	90:0	0.12	0.16

nta	ale							
		ERRORI	ASSOLUTO PERCENTUALE	[76]	1	1	-	-
			ASSOLUTO	lmil	1	-	,	2
			0	Ne	000	000	000	000
k	ı		MODULO	2	286	303	352	299
	ı		NE DEL 1	KN	000	000	-	
	ı		COSTANTI EQUAZIONE DEL MODULO	2	2536.10	2622.00	1772.10 0.00	0.00 1250.90 0.00
			ANTI EC	N	1			0.00
			COST	0		-	-	Т
AEROPORTO "FONTANAROSSA" di CATANIA - TESTATA 08 - ALLINEAMENTO 20m DX		E120°C	CONGLOMERATO BITUMINOSO ALLA TEMPERATURA DI	[Mpa]				5410
TATA 08 - ALLINE		Ee	SEMISPAZIO EQUIVALENTE	[Moa]	3062	3598	3076	2682
CATANIA - TES	MODULI DI RIGIDEZZA	Es	FONDAZIONE SOTTOFONDO EQUIVALENTE	[Mpa]	286	303	352	299
TANAROSSA" d	MODULI	E3	FONDAZIONE	[Mpa]	2536	2622	1772	1251
ROPORTO "FON		E2	LASTRA IN CLS	[Mpa]	32151	41448	29228	24057
AE		E1	CONGLOMERATO BITUMINOSO	[mm]	10479	13442	6089	7846
			LASTRA IN CLS FONDAZIONE	[mm]	300	290	240	240
	IdOssags	SPESSONI	LASTRA IN CLS	[mm]	170	190	190	190
			CONGLOMERATO	[mm]	170	170	180	180
	F. 7		PROGRESSIVE	[km]	0.04	0.08	0.12	0.16

1					_	_	_	_
	ERRORI	ASSOLUTO PERCENTUALE		[67]	2	7	1	
	E	ASSOLUTO		lumi	2	7	7	
Γ		Au-Liji		Ne	200	3 6	3	, 6
		IODULO		۳	305	300	7007	300
-		IE DEL N		N3	200	2 2	3	
		COSTANTI EQUAZIONE DEL MODULO		2	1986 RO	0.00 2258 10 0.00	700.10	000000
		ANTI EC		CN	1	200	2000	000
		COST		5	H	-	-	23603 0.00 2230.00 0.00
	E120°C	CONGLOMERATO BITUMINOSO ALLA TEMPERATURA DI	RIFERIMENTO	[Mna]				7986
	Ee	SEMISPAZIO FONDAZIONE SOTTOFONDO EQUIVALENTE		[Mpa]	3164	3779	1766	2936
MODULI DI RIGIDEZZA	Es	SOTTOFONDO		[MDa]	304	288		289
MODULI D	E3	FONDAZIONE		[Mpa]	1987	2258	RABILE	2239
	E2	LASTRA IN CLS		[Mpa]	31023	33705	NON ELABORABILE	23693
	El	LASTRA IN CLS FONDAZIONE BITUMINOSO		[mm]	14974	14167		12983
		FONDAZIONE		[mm]	300	290	240	240
CDECCUBI	NOCE IC	LASTRA IN CLS		[mm]	170	190	190	190
		CONGLOMERATO		[mm]	170	170	180	180
		PROGRESSIVE		(km)	0.04	80.0	0.12	0.16

Tabella 34. TESTATA PISTA 08 – Risultati delle indagini deflettometriche.



								EKOP	AEROPORTO "	FONTA	NAROS	"FONTANAROSSA" di CATANIA - TESTATA 08 - ALLINEAMENTO 3m DX	TESTATA 08 - ALL	NEAMENTORM	DX			
			D1	D2	D3	D4	DS	9Q	D7	D8	60	TEMPERATURA				COORI	COORDINATE GEOGRAFICHE	ige
Progressiva Sforzo Carlco	Sforzo		0	200	300	200 300 450 600	009	006	1200	1500	1500 1800	0	TEMPERATURA TEMPERATURA SUPERFIGALE DELL'ARIA	TEMPERATURA DELL'ARIA	DATA E ORA	LATITUDINE	LATITUDINE LONGITUDINE ALTITUDINE	ALTITUDINE
[km]	[kPa]	[kN] [[µm] [[µm] [[µm] [[µm] [[µm]	[mm]	[mm]	[mm]	[mm]	[mπ]	-	[mm]	[mrl] [mrl]	[mm]	* [D _e]	[ث]	נים	gg/mm/aa h:mm	[deg]	[deg]	[m]
0.04	2779	196.44 228		204	197	191	183	168	149	128	109	12.7	3.9	7.7	10/3/16 0:59	37.4656283	15.0530133	14.4
0.08	2760	195.09 370 301	370		268	231	207	176	153	131	113	12.7	4	7.6	10/3/16 0:59	37.4655833	15.0525067	14.4
0.12	2786	196.93 216 187 175 167 157	216	187	175	167	157	138	121	105	90	12.7	4	7.5	10/3/16 1:00	37.4655483	15.0520783	14.5
0.16	2784	2784 196.79 178 157 151 145 139 125 112	178	157	151	145	139	125		66	88	12.7	3.6	7.4	10/3/16 1:01	37.46551	15.051645	14.6

				T	_	_	
	FICHE	ALTITUDINE	[m]	15.9	15.7	16.3	16.3
	COORDINATE GEOGRAFICHE	LATITUDINE LONGITUDINE ALTITUDINE	[deg]	15.052955	15.0525167	15.0520317	15.05162
	COORE	LATITUDINE	[deg]	37.465705	37.4656683	37.4656267	37.4655933
XS		DATA E ORA	gg/mm/aa h:mm	10/3/16 0:45	10/3/16 0:46	10/3/16 0:47	10/3/16 0:47
INEAMENTO 3m		EMPERATURA TEMPERATURA SUPERFICIALE DELL'ARIA	[].	7.6	7.6	7.6	7.6
ESTATA 08 - ALL		SUPERFICIALE	[2]	4.4	4.2	4.7	4.0
"FONTANAROSSA" di CATANIA - TESTATA 08 - ALLINEAMENTO 3m SX	TEMOEDATIOA	1500 1800 BITUMINOSO	[دً]	12.7	12.7	12.7	12.7
NAROS	60	1800	[mrl]	107	90	95	82
FONTA	D8	1500	[mm] [mm]	123 107	102	108	95
DRTO "	D7	1200	[mrl]	146	116	127	111
AEROPORTO	90		[mrl]	173	\neg	144	129
	DS	006 009	[mm]	205	145 129	167	157
	D4	450	[mm]	244 224	149	193 178	178
	D3	300	[mm]	244	155	193	184
	D2	200	[mm]	257	161	204	189
	D1	0	[mm]	284	179	237	198
		Carlco	[kN] [μm] [μm] [μm] [μm] [μm]	197.71 284 257	197.43 179 161 155 149	198.06 237 204	2797 197.71 198 189 184 178 157 129
		Sforzo	[kPa]	2797	2793	2802	2797
		Progressiva Sforzo Carlco	[km]	0.04	0.08	0.12	0.16

					Name of Street	N. P.		ALROPORTO	ORTO "	FONTA	NAROS	"FONTANAROSSA" di CATANIA - TESTATA 08 - ALLINEAMENTO 10m DX	ESTATA 08 - ALLI	VISAVIENTO 10m	DX			
			D1	D2	D3	D4	D5	90	D7	D8	60	TEMBERATIRA				COORI	COORDINATE GEOGRAFICHE	FICHE
Progressiva Sforzo Carico	Sforzo	Carico	0	200	200 300	450	009	450 600 900 1200	1200	1500	1800	CONGLOMERATO 1800 BITUMINOSO		EMPERATURA TEMPERATURA SUPERFICIALE DELL'ARIA	DATA E ORA	LATITUDINE	LATITUDINE LONGITUDINE ALTITUDINE	ALTITUDINE
[km]	[kPa]	[kN]	[kN] [μm] [μm] [μm] [μm] [μm]	[mm]	[mπ]	[mr]	[mm]		[mm]	[mm]	. [mri] [mri	[].	ا درا	ľď	gg/mm/aa h:mm	[deg]	fdegl	[m]
0.04	2780	-	212	190	184	174	167	_	135	121	121 108	12.7	3.7		10/3/16 1:03	37.4655467	15.0529567	14.5
90.0	2768	195.66 234 203 197 187 171 145	234	203	197	187	171		124	105	92	12.7	3.4	7.4	10/3/16 1:04	Т	15.0524867	15.1
0.12	2808	198.49 212 183 175 166	212	183	175	166	158 145	145	126	105	68	12.7	3.5	7.3	10/3/16 1:05	37.46547	15.0520733	15.4
0.16	2769	2769 195.73 217 190 181 172 163 146	217	190	181	172	163		131	115	115 103	12.7	3.5	7.3	10/3/16 1:06	37.46544	15.051685	15.6
																The state of the s		

RELAZIONE TECNICA SELAZIONE SELAZIONE TECNICA SELAZIONE TECNICA SELAZIONE TECNICA SELAZIONE SELAZIONE

	FICHE	ALTITUDINE	[m]	13.6	14.2	14.8	15.1
	COORDINATE GEOGRAFICHE	LATITUDINE LONGITUDINE ALTITUDINE	[deg]	15.052975	15.052475	15.0520067	15.0516
	COOR	LATITUDINE	[deg]	37.4657633	37.465725	37.46568	37.4656433
NS.Y		DATA E ORA	gg/mm/aa h:mm	10/3/16 0:49	10/3/16 0:50	10/3/16 0:51	10/3/16 0:52
NEAMENTO 10n		EMPERATURA TEMPERATURA SUPERFICIALE DELL'ARIA	[ه]	7.7	7.7	7.7	7.7
ESTATA 08 - ALLI		SUPERFICIALE	[0,]	3.9	3.9	4.1	3.9
"FONTANAROSSA" di CATANIA - TESTATA 08 - ALLINEAMENTO 10m SX	TEMPERATIRA	CONGLOMERATO	[] .	12.7	12.7	12.7	12.7
NAROS	60	1500 1800	[mπ]	77	87	94	87
FONTA	D8	1500	[mri]	87	100	108	66
	D7	1200	[mri]	103	115	124	117
MERCHONIC	90	006		120	131	139	137
	D5		[mm]	140	$\overline{}$	155	159
	D3 D4	300 450 600	[mm]	166 151	150 145	164	171
	D3		[mrl]	166	157	173	186
	D2	200	[Irm]	179	162	181	202
B	01	0	(kN) [[um] [um] [um] [um] [um] [um]	217	180	203	242
		Carlco	[kN]	197.43 217 179	197.5 180 162	2793 197.43 203 181 173 164 155	2783 196.72 242 202 186 171 159 137 117
		Sforzo	[kPa]	2793	2794	2793	2783
		Progressiva Sforzo Carlco	[km]	0.04	0.08	0.12	0.16

								(4KO)N	DRTO"	FONTA	NARO	AEROPORTO "FONTANAROSSA" di CATANIA - TESTATA 08 - ALLINEAMENTO 20m DX	ESTATA 08 - ALLI	VEAVIENTO ZUM	DX XQ			
			D1	D2	D3	D4	D2 D3 D4 D5	90	D7	D8	60	TERADEDATILDA				COOR	COORDINATE GEOGRAFICHE	VFICHE
Progressiva Sforzo Carlco	Sforzo	Carico	0	200	300	450	009	006	1200	1500	1500 1800	0		SUPERFICIALE DELL'ARIA	DATA E ORA	LATITUDINE	LATITUDINE LONGITUDINE ALTITUDINE	ALTITUDINE
[km]	[kPa]	[kN] [µm] [µm] [µm] [µm] [µm] [µm]	[mm]	[mr]	[mrl]	[mrl]	[mm]	[mm]	[mrl]	[mm] [mm]	[mm]	[0,]	[°C]	اردا	gg/mm/aa h:mm	[deg]	[deg]	[m]
0.04	2768	195.66	238	205	194	183	173	155	136	119	105	12.7	3.2	7.1	10/3/16 1:08	37.4654767	15.05297	15
0.08	2788	197.07 204	204	178	169	162	156	139	125	109	96	12.7	3.1	7.2	10/3/16 1:09	37.4654383	15.0524717	15.3
0.12	2781	196.58 238	238	190	190 176 164	164	155	136	119	101	98	12.7	2.9	7.1	10/3/16 1:09	37.4654067	15.0520567	15.4
0.16	2771	2771 195.87 272 225 212 200 188	272	225	212	200	188	164	141	118	66	12.7	2.6	7	10/3/16 1:10 37 4653667 15 0516033	37.4653667	15.0516033	15.9

	-			-		AERL	ACROPORIO F		NAME OF TAXABLE	- Manual of the same	CHIMPHOSON OF CHANGE 151 AIA 08 - ALLINEAMENTO ZOIN DA	VEALWIEN I U ZUM	77			
	۵	D1 D2	2 D3	-	D4 D5	9 De	5 07	D8	60	TEMPERATIRA				COORI	COORDINATE GEOGRAFICHE	FICHE
Progressiva Sforzo Carico		0 50	300	0 450	009 0	0	900 1200		1500 1800	0	TEMPERATURA	EMPERATURA TEMPERATURA SUPERFICIALE DELL'ARIA	DATA E ORA	LATITUDINE	LATITUDINE LONGITUDINE ALTITUDINE	ALTITUDINE
볼	[kN] [μm] [μm] [μm] [μm] [μm] [μm]	nd] [m	กไ [แก	nl [u	nri] [t	mr] [t	I [µm	[m]	[mm]	[,C]	[,C]	[]Cl	eg/mm/aa h:mm	[deal	[deal	[m]
197.	197.07 232	12 20	19,	4 18	203 194 186 176	6 155	5 132	112	96	12.7	3.7	7.7	10/3/16 0:54	37.4658467	15.052965	15
196.	196.37 223	13 19	9 18.	7 17	196 187 178 170	0 153	3 1.36	115	101	12.7	3.6	7.7	10/3/16 0:55	37 4658133	15.0524783	7.
194	194.88 411 371 339 286 229 170	1 37	1 33	9 28	6 225	9 170	0 142	120	103	12.7	4	7.7	10/3/16 0:56	37.4657817	15.0520167	15.3
2788 197.	197.07 250 222 209 194 182 161	0 22	2 20	9 19	4 182	2 161	1 143	122	105	12.7	3.6	77	10/3/16 0-57	37 4657433	15 0515367	15.3

Tabella 35. TESTATA PISTA 08 – Dati acquisiti durante le indagini deflettometriche.

SES WOBILE Ser	rviz	Zio Te	3V	C	_	er		E		Sr	_
E TECNICA		ERRORI	PERCENTUALE	[%]	2	2	1	1			
RELAZIONE		ű	ASSOLUTO	[mm]	3	4	2	1			
<u>α</u>					72	5	0	4	- 1	П	Ī

		T NOW	COSTANTI EQUAZIONE DEL MODULO ASSOLUTO PERCENTUALE		N2 C3 N3 Cs Ns [um] [%]	3	0 2028 0 332 0.05 4 2	0 1420 0 335 0.00 2 1	0 2904 0 393 0.04 1 1	
100 mm - 110 mm - 110 mm		E120°C	CONGLOMERATO BITUMINOSO ALLA TEMPERATURA DI	RIFERIMENTO	[Mpa]	4047	4396	4699	4063	71
SIMIM TO - WITH		Ee	SOTTOFONDO EQUIVALENTE		[Mpa]	3253	2820	2251	2571	
U CAIMINA - IL	MODULI DI RIGIDEZZA	Es	SOTTOFONDO		[Mpa]	282	254	202	305	
AEROPORTO FONTANAROSSA DI CATANIA - TESTATA 26 - ALLINEAMENTO 3M DX	MODULI DI	E3	FONDAZIONE		[Mpa]	4298	2349	1026	807	
AEROPOR		E2	LASTRA IN CLS		[Mpa]	35393	30828	27096	23255	
		E1	CONGLOMERATO		[mm]	8868	9634	10297	8904	
			FONDAZIONE			250	250	240	240	
	CDECCORI		LASTRA IN CLS		[mm]	220	220	230	230	
	3		CONGLOMERATO LASTRA BITUMINOSO IN CLS		[mm]	130	130	120	120	
			PROGRESSIVE		[km]	0.02	0.04	90:0	90.0	

		ERRORI	ASSOLUTO PERCENTUALE		[%]	1	1	1	-
			ASSOLUTO		[mm]	1	2	2	2
		1X	C		Ns	-0.02	0.03	0.00	0.00
			MODULC		ප	270	362	330	330
			NE DEL		N3	0.00	0.00	0.00	00.00
			COSTANTI EQUAZIONE DEL MODULO		ខ	862.90 0.00	2569.80 0.00	1537.80 0.00	1537.80
			STANTI E		N2	00.0	0.00	00.0	0.00 1537.80 0.00
			8		8	21523	58439	27500	27500
ALTHUR OF THE PROPERTY OF THE		E120°C	CONGLOMERATO BITUMINOSO ALLA TEMPERATURA DI	RIFERIMENTO	[Mpa]	5950	4790	7254	4507
SIMIN SO - MELLI		Ee	SEMISPAZIO SOTTOFONDO EQUIVALENTE		[Mpa]	3681	3887	3755	3442
U CALAINIA IL	MODULI DI RIGIDEZZA	Es	SOTTOFONDO		[Mpa]	457	338	470	296
TOO WELLING	MODULI DI	E3	FONDAZIONE		[Mpa]	2002	3152	675	3237
1000 CONT. CONT. CO.		E2	LASTRA IN CLS		[Mpa]	24834	35348	41600 I	34950
9		E1	CONGLOMERATO		[mm]	13039	10498	15897	9877
			FONDAZIONE			250	250	240	240
ı	CDECCODI	COCOU	LASTRA IN CLS		[mm]	220	220	230	230
	00	5	CONGLOMERATO LASTRA BITUMINOSO IN CLS		[mm]	130	130	120	120
			PROGRESSIVE		[km]	0.02	0.04	90.0	0.08

			111				T	-	_
		ERRORI	ASSOLUTO PERCENTUALE		[76]	1	-	,	7
			ASSOLUTO		[uiii]	2		,	
					No	000		6	000
			MODULC		2	267		300	_
			VE DEL N		N3	8		8	
			COSTANTI EQUAZIONE DEL MODULO		2	0 00 3201 90		0.00 1877 30 0.00	059 10
			FANT! EC		N2	000		000	000
			rsoo		0	1	_	35222	-
JEAMENTO 10m DX		E120°C	CONGLOMERATO BITUMINOSO ALLA TEMPERATURA DI	RIFERIMENTO	[Moa]			4774	
TATA 26 - ALLIN		Ee	SEMISPAZIO EQUIVALENTE		[Moa]	3704	2487	3481	3797
HI CATANIA - TES	RIGIDEZZA	S	SOTTOFONDO EQUIVALENTE		[Mpa]	395		303	552
AEROPORTO "FONTANAROSSA" di CATANIA - TESTATA 26 - ALLINEAMENTO 10m DX	MODULI DI RIGIDEZZA	E3	FONDAZIONE		[Mpa]	3529	NON ELABORABILE	3716	2498
ROPORTC		E2	LASTRA IN CLS		[Mpa]	35431	NON EL	38932	28328
A		E1	CONGLOMERATO		[mm]	7240		10462	7623
	a moods		FONDAZIONE		[mm]	250	250	240	240
	CDECCOR	Loscon	LASTRA IN CLS		[mm]	220	220	230	230
	92	10	CONGLOMERATO LASTRA BITUMINOSO IN CLS		[mm]	130	130	120	120
			PROGRESSIVE		[km]	0.02	0.04	90.0	0.08



	Z	E1200C	CONGLOMERATO COSTANTI EQUAZIONE DEL MODULO ASSOLUTO PERCENTUALE DICEDIMENTO	[Moa] C2 N2 C3 N3 C3 Ns firm! 1%1	28614 0.00 4911.40 -0.03 347 0.02 1	37588 0.00 2389.30 -0.12 295	1	2778 20285 0.00 4408.30 -0.31 344 0.02 2 2 3	te Do Oom DX
26 - ALLINEAMENT		Ee E1		[Mpa] [M			2861		6 - ALLINEAMENTO
A" di CATANIA - TESTATA 26 - ALLINEAMENTO 10m SX	DI RIGIDEZZA	Es	SOTTOFONDO EQUIVALENTE	[Mpa] [M	334 32	305 32	38	332 26	A" di CATANIA - TESTATA 26 - ALLINEAMENTO 20m DX
AEROPORTO "FONTANAROSSA" di	MODULI DI RI	E3	FONDAZIONE	[Mpa]	4781	2278	NON ELABORABILE	3277	AEROPORTO "FONTANAROSSA" di
EROPORT		E2	LASTRA IN CLS	[Mpa]	28614	37588	NON EL	20285	EROPORTO
A		E1	CONGLOMERATO	[mm]	7690	8200		6088	A
			FONDAZIONE	[mm]	250	250	240	240	
	CDECCODI	resson	LASTRA IN CLS	[mm]	220	220	230	230	
			CONGLOMERATO LASTRA BITUMINOSO IN CLS	[mm]	130	130	120	120	
			PROGRESSIVE	[km]	0.02	0.04	90:0	80.0	

	_							_	_
		ERRORI	ASSOLUTO PERCENTUALE		[47]	1	-	,	,
		<u></u>	ASSOLUTO		[mil]	2	2		2
			0		No	000	-0.01	000	0.02
			MODULC		2	255	363	273	
			IE DEL N		N3		-0.02	0.00	
			COSTANTI EQUAZIONE DEL MODULO		2	0.00 3015.70 -0.09	0.00 2751.40 -0.02	0.00 1772.90 0.00	167.50
	-		ANTI EC		N2	000	0.00	0.00	0.00
K			COST		0	000	_	28452	
EAMENTO 20m DX		E1zorc	CONGLOMERATO BITUMINOSO ALLA TEMPERATURA DI	RIFERIMENTO	[Moa]			4206	
STATA 26 - ALLIN		Fe	SOTTOFONDO EQUIVALENTE		[Mpa]	2869	4021	2781	3006
di CATANIA - TE	MODULI DI RIGIDEZZA	Es	SOTTOFONDO		[Mpa]	248	368	273	262
AEROPORTO "FONTANAROSSA" di CATANIA - TESTATA 26 - ALLINEAMENTO 20m DX	MODULI DI	E3	FONDAZIONE		[Mpa]	3016	2751	1773	3168
ROPORT	No.	E2	LASTRA IN CLS		[Mpa]	34248	46422	28452	32242
AE		EL	CONGLOMERATO		[mm]	8405	9402	9218	11733
			FONDAZIONE		[mm]	250	250	240	240
	CDECCODI	1330vI	LASTRA IN CLS		[mm]	220	220	230	230
	92	10	CONGLOMERATO LASTRA BITUMINOSO IN CLS		[mm]	130	130	120	120
			PROGRESSIVE		[km]	0.02	0.04	90.0	0.08

		ERRORI			ASSOLUTO PERCENTUALE		[0/1	8	2	,			1
		H			ASSOLUTO		frimil	THE	2	·	7		2
			,	_			Ne		00.0	900	3	'	0.00
7	ŀ			MODOLE			2	3	304	288	207	,	289
	ı		10.14	NE DEL			N3		0.00	000			0.00
			0174110	CUNAZIO			2	3	0.00 1986.80 0.00	0.00 2258 10 0.00	200.00		2239.00
			CTABITI	COSTANTI EQUAZIONE DEL MODOLO			N2		0.00				0.00
	ŀ		Š	3			5		31023	33705			23693 0.00 2239.00 0.00 289 0.00
NEAMENTO 20m DX		E120°C	CONGLOMERATO	BITUMINOSO ALLA	TEMPERATURA DI	RIFERIMENTO	[Mna]		2166	4789			6402
STATA 08 - ALLIN		Ee	CICAGORAGO	SEMISPAZIO	EQUIVALENTE		[Mpa]		3164	3279	1766	2014	2936
di CATANIA - TES	RIGIDEZZA	ES		Odisoronio	SOLIOPONDO EQUIVALENTE		[Mpa]		3/1	293	446		308
AEROPORTO "FONTANAROSSA" di CATANIA - TESTATA 08 - ALLINEAMENTO 20m DX	MODULI DI RIGIDEZZA	83		COMPAZIONE	LONDAZIONE		[Mpa]	1.000	111/	1271	1413		2991
ROPORTO		E2		LASTRA	IN CLS		[Mpa]	2000	12800	38327	33600		30586
AE		E1			BITUMINOSO		[mm]	2474	4/40	9399	7244		14030
				FONDAZIONE			[mm]	250	730	250	240		240
	CDECECODI	ESSORI		LASTRA	IN CLS		[mm]	220	222	220	230	-	730
	20	9	-	CONGLOMERATO LASTRA	BITUMINOSO IN CLS		[mm]	130	007	130	120	400	071
			PROGRESSIVE				[km]	000	700	0.04	90.0	000	90.0

Tabella 36. TESTATA PISTA 26 - Risultati delle indagini deflettometriche.



					Т	Т	
	FICHE	ALTITUDINE	[m]	8.2	8.4	8,6	8.6
	COORDINATE GEOGRAFICHE	LATITUDINE LONGITUDINE ALTITUDINE	[deg]	15.08	15.080215	15.0804867	15.0807033
	COORE	LATITUDINE	[deg]	37	37.4679133	37.4679367	
ΣX		DATA E ORA	gg/mm/aa h:mm	10/3/16 1:58	10/3/16 1:58	10/3/16 1:59	10/3/16 2:00
INEAMENTO 3m		EMPERATURA TEMPERATURA SUPERFICIALE DELL'ARIA	l°Cl	4.8	4.8	4.8	4.8
TESTATA 26 - ALL		SUPERFICIALE	ا دا	2.9	2.8	2.7	2.7
NTANAROSSA" di CATANIA - TESTATA 26 - ALLINEAMENTO 3m DX	TEMPERATURA	CONGLOMERATO BITUMINOSO	[5]	7.9	7.9	7.9	7.9
VAROS	60	1800	[mm]	103	113	145	103
FOUNT	D8	1500	[mrl]	119	134	172	
AEROPORTO"FOR	D7	600 900 1200 1500 1800	[mrl]	135	156	201	149
AEROP	D6 D7	006	[mrl]	151	175	257 230 201	177
	DS	009	[mm]	167	196	257	204
	D3 D4	200 300 450	[mm]	174	206	268	220
	D3	300	[mm]	182	215	279	234
I	D1 D2		[mrl]	193	226	289	247
	D1	0	[µm]	224	259	323	283
		Carico	[kN] [μm] [μm] [μm] [μm] [μm] [μm] [μm] [μm	195.66 224 193 182 174 167 151	2774 196.08 259 226 215 206 196 175	2762 195.23 323 289 279 268	2764 195.38 283 247 234 220 204 177 149 124
		Sforzo	[kPa]	2768	2774	2762	2764
		Progressiva Sforzo Carico	[km]	0.02	0.04	90.0	0.08

								VEROP	DRTO "	FONTA	MARO	AEROPORTO "FONTANARÓSSA" dI CATANIA - TESTATA 26 - ALLINEAMENTO 3m SX	TESTATA 26 - ALL	INEAMENTO 3m	SX			
			D1	D2	D2 D3	D4	DS	90	D7	D8	60	TEMBERATION				COORI	COORDINATE GEOGRAFICHE	FICHE
Progressiva Sforzo	Sforzo	Carico	0	200	300	300 450 600	009	900 1200		1500 1800	1800	O		EMPERATURA TEMPERATURA SUPERFICIALE DELL'ARIA	DATA E ORA	LATITUDINE	LATITUDINE LONGITUDINE ALTITUDINE	ALTITUDINE
[km]	[kPa]	[kN] [μm] [μm] [μm] [μm] [μm]	[mm]	[mm]	[mm]	[mr]	[mm]	[mm]	[mm]	[mm] [mm]	[mm]	[0,0]	[°C]	[,C]	mm/aa h:mm	[deg]	[deg]	[m]
0.02	2755	194.74 197 167 158 150 136	197	167	158	150	136	105	91	8	72	7.9	3.4	3.9	10/3/16 1:49	37	15.0799783	80
0.04	2776	196.22	188	159 150 143 132	150	143	132	113	100	87	78	7.9	3.1	3,8	10/3/16 1:50	37.467975	15.0801867	0 0
90.0	2767	195.59	194	194 169 164 162 157	164	162	157	123	105	92	81	7.9	3	4	10/3/16 1:51	37.467995	15.0804517	9.1
80.0	2772	195.94 212 182 173 167 161 141 126 108 92	212	182	173	167	191	141	126	108	92	7.9	3.1	4.2	10/3/16 1:52	37.4680167	15.0806783	0

							A	VEROP	DRTO "	FOUR	1,7480	AEROPORTO "FONTANAROSSA" di CATANIA - TESTATA 26 - ALLINEAMENTO 10m DX	ESTATA 26 - ALLIR	VEAMENTO 10m	ρχ			
			D1	D1 D2 D3 D4 D5	D3	D4	DS	90	D6 D7	D8	60	TEAADED ATTIDA				COOR	COORDINATE GEOGRAFICHE	FICHE
Progressiva Sforzo	Sforzo	Carico	0	200 300		450	009	900	1200	1500	1800	900 1200 1500 1800 BITUMINOSO	TEMPERATURA	TEMPERATURA DELL'ARIA	DATA	LATITUDINE	LATITUDINE LONGITUDINE ALTITUDINE	ALTITUDINE
[km]	[kPa]	[kN] [µm] [µm] [µm] [µm] [µm] [µm]	[µm]	[mm]	[mm]	[mm]	[mm]	[mm]	fumj	fumi	fuml	[J.L]	L,L	الوكا	mmid cc/mm/pp	[ack]	[00]	1
0.02	2758		196	161	149	138	131	115	102	88	78	7.9	3.6	200	CO.C 31/C/OL	18 4C	degi degi	(11)
0.04	2768	195.66 293 209 173 140 128 112	293	209	173	140	128	112	66	98	1	7.9	2.3	0.4	10/2/16 2:02	37.4676083	15.08001	0.1
90.0	2790	197.21 211 183 176 168 160 145	211	183	176	168	160	145	128	112	86	7.9	2.6	4.7	10/3/16 2:03	27 4678423	15 0004202	2.0
0.08	2784	2784 196.79 193 158 145 135 126 105	193	158	145	135	126	105	93	81	73	7.9	2.5	8.4	10/3/16 2:03 37.40/8433	37.4078633	-	2.0



1000							
	FICHE	ALTITUDINE	ſmJ	8.6	8.7	6.8	9.7
	COORDINATE GEOGRAFICHE	LATITUDINE LONGITUDINE ALTITUDINE	fdegl	15.0799917	15.0802117	15,080435	15.08066
	COORI	LATITUDINE	[deg]	37	37.4680467	37.468065	37.4680817
SX		DATA	gg/mm/aa h:mm	10/3/16 1:42	10/3/16 1:43	10/3/16 1:43	10/3/16 1:44
NEAMENTO 10m		SUPERFICIALE DELL'ARIA	٦٥٦	5.6	5.6	5.6	5.5
ESTATA 26 - ALLI		SUPERFICIALE	[ث]	3.1	2.9	2.8	3.2
AEROPORTO "FONTANAROSSA" di CATANIA - TESTATA 26 - ALLINEAMENTO 10m SX	TEMBEOATIIDA	1500 1800 BITUMINOSO	[0.]	7.9	7.9	7.9	7.9
MROS	60	1800	[mr]	90	80	80	92
ONTAR	80 80	1500	[mm] [mm]	103	95	92	107
RTO "F	D7		[mm]	117	112	109	122
EROPO	9Q	600 900 1200	[mrl]	132	129	146	137
	DS	009	[µm]	150	149	173	157
	D4	450	[IIII]	159	159	193 180	166
	D3	200 300	[mm]	169	168		179
	D2		[mm]	182	181	207	195
	D1	0	[µm]	224	221	254	247
		Carico	[kN] [μm] [μm] [μm] [μm] [μm]	195.09 224	194.53 221	195.09	195.02 247 195 179 166 157 137
		Sforzo	[kPa]	2760	2752	2760	2759
		Progressiva Sforzo Carico	[km]	0.02	0.04	90.0	0.08

	FICHE	ALTITUDINE	[m]	7.9	9.1	9.1	
	COORDINATE GEOGRAFICHE	LATITUDINE LONGITUDINE ALTITUDINE	[geb]	15.0800383	15.0802817	15.080525	15 0007247
	COOR	LATITUDINE	[deg]	3	37.4677417	37.4677617	CCTTT21 TC
DX		DATA E ORA	gg/mm/aa h:mm	10/3/16 2:06	10/3/16 2:06	10/3/16 2:07	T107000 31 CCTTT21 TC 00.C 31/C/OL
NEAMENTO 20m		EMPERATURA TEMPERATURA SUPERFICIALE DELL'ARIA	[,C]	4.9	4.9	4.8	7.0
ESTATA 26 - ALLI		SUPERFICIALE	[°C]	2.5	2.2	2.4	2.4
AEROPORTO "FONTANAROSSA" di CATANIA - TESTATA 26 - ALLINEAMENTO 20m DX	TEMPEDATION	1500 1800 BITUMINOSO	[0.]	7.9	7.9	7.9	7.0
VARCOS	60	1800	[mm]	122	8	105	35 114
OVITA	08	1500	[mn] [mn]	140 122	90 80	127 105	135
RTO.	D7	1200	[mm]	159	102	151	155
EROPO	90	300 450 600 900 1200	[mm]	4 177			174
4	DS	009	[mrl]	19	13	196 173	191
	D4	450	[µm]	201	138	217 206	198
	D3	300	[mm]	209	147	217	205
	D1 D2	200	[mm]	220	155	227	214
	D1	0	[mm]	254	183	262	242
		Carico	[kN] [μm] [μm] [μm] [μm] [μm]	2768 195.66 254 220	197.57 183 155 147 138	195.66 262 227	2763 195.3 242 214 205 198 191 174 155
		Sforzo	[kPa]	2768	2795	2768	2763
		Progressiva Sforzo Carico	[km]	0.02	0.04	90.0	0.08

COORDINATE GEOGRAFICHE	DATA E ORA LATITUDINE LONGITUDINE ALTITUDINE	gg/mm/aa h:mm [des] [m]	37.46809 15.0800217	37.4681 15.0802067	37.4681183 15.0805017	37 4681383 15 0807433
AEROPORTO "FONTANAROSSA" di CATANIA"-TESTATA D8 - ALLINEAMENTO 20m DX D6 D7 D8 D9 TEMPORATION	TEMPERATURA DELL'ARIA	[°C]	4.5	4.5	4.6	4.6
ASTATATOR PARIETY	TEMPERATURA TEMPERATURA SUPERFICIALE DELL'ARIA	l°Cl	2.6	2.7	2.9	3.1
A" di CATANIÁ - T	CONGLOMERATO BITUMINOSO	[5.]	7.9	7.9	7.9	7.9
D9	1800	[mr]	96	101	103	105
D8 D8	1500	[mm] [mm]	112	115	120	122
D7	1200	[lm]	132	136	142	143
VEROP D6	006	[mrl]	155	153	170	161
05	009	[mm]	176	170	229	182
D4	300 450	[kN] [µm] [µm] [µm] [µm] [µm]	186	178	286	194
D3	300	[mm]	194	187	339	209
D2	200	[mm]	232 203	196	371	250 222 209 194 182 161 143 122
D1	0	ſμm	232	223	411	250
	Carico	[kN]	197.07	196.37	194.88 411 371 339	197.07
	Sforzo	[kPa]	2788	2778	2757	2788
	Progressiva Sforzo	[km]	0.04	0.08	0.12	0.16

Tabella 37. TESTATA PISTA 26 – Dati acquisiti durante le indagini deflettometriche.

6.4 INDAGINI DEFLETTOMETRICHE TAXIWAY E RACCORDI

Società Aeroporto Catania S.p.A.

6.4.1 TAXIWAY ALPHA

ogic	20 5	Spe	erimenta	ile																				
		ERRORI	ASSOLUTO PERCENTUALE	[%]	-	-	-	1	-	2	1	2	-		1	2	2	-	2	1	7	2	2	1
		⊞	ASSOLUTO	lmil	3	1	2	2	1	2	-	2	1	1	1	2	1	-	,		1	2	-	-
			E DEL	SN	-0.05	-0.03	-0.11	-0.11	-0.01	0.10	-0.28	0.01	-0.24	-0.13	-0.10	-0.16	-0.12	-0.11	-0.12	0 10	92.0-	0.20	0.18	-0.25
			UAZION	5	113	255	185	204	396	657	125	440	178	234	334	166	214	222	228	240	107	164	229	155
١	ı		COSTANTI EQUAZIONE DEL MODULO	N2	0.16	0.07	-0.11	-0.07	-0.85	0.01	0.02	0.05	-0.14	0.10	-0.09	0.04	0.01	000	000	800	000	000	20	0.04
		Discount	TSOO	2	1528	8231	14544	25521	62829	7122	9868	9733	6514	7244	7137	3511	6410	10160	5750	AASS	2407	9062	13217	9394
		E220°C	SCHIUMATO ALLA TEMPERATURA DI RIFERIMENTO	[Mpa]				1	6	5234	7355	7675	3402	5952	4242	2630	4727	7409	4193	3249	1755	6713	10150	7007
AEROPORTO "FONTANAROSSA" di CATANIA - TAXIMAY A - AITINEAMENTO 3m DX		E120°C	CONGLOMERATO BITUMINOSO ALLA TEMPERATURA DI RIFERIMENTO	[Mpa]	3247	9551	9085	8474	9836	8555	7332	9138	6475	8342	7507	7811	6379	6283	5647	4730	8256	14259	9369	12153
KIMAY A - ALLINI	IDEZZA	Ee	SCHIUMATO SOTTOFONDO EQUIVALENTE	[Mpa]	911	2564	3092	3217	4329	4495	4116	4492	3992	3623	4610	2736	3331	3770	3245	2963	2491	5396	5794	5323
H CATANIA - TA	MODULI DI RIGIDEZZA	Es	SOTTOFONDO	[Mpa]	113	259	206	225	399	529	189	430	247	274	377	197	245	265	269	283	154	243	308	238
TANAROSSA"		E2	SCHIUMATO	[Mpa]			20	54		7178	10086	10525	4665	8162	5818	3607	6482	10160	5750	4455	2407	9206	13920	9733
ROPORTO "FON			FONDAZIONE IN MISTO CEMENTATO	[Mpa]	1332	3676	12253	21850	7586		ı		-	-	1		8	1	ı		1.	*		
AE		E1	CONGLOMERATO BITUMINOSO	[mm]	5921	17415	16566	15452	18118	15599	13369	16663	11807	15211	13689	14242	11631	11456	10297	8625	15053	25999	17083	22159
			SCHIUMATO	[mm]	ŧ	ı	ı	1	٠	520	490	009	620	620	590	540	470	570	650	620	590	590	650	670
	CDECCODI	STESSON	FONDAZIONE IN MISTO CEMENTATO	[mm]	160	160	170	190	200	1	1	ı		1	t	,	•	٠	,	-	1	1	,	
			CONGLOMERATO	[mm]	250	280	290	230	200	240	230	160	170	180	190	200	210	220	180	220	210	220	210	220
			PROGRESSIVE	[km]	0.000	0.050	0.100	0.150	0.200	0.250	0.300	0.350	0.400	0.450	0.500	0.550	0.600	0.650	0.700	0.750	0.800	0.850	0.900	0.930

Tabella 38. TAXIWAY ALPHA – Allineamento 3m DX della CENTER LINE - Risultati delle indagini deflettometriche.

o T	ecnolog	gico Sperir	mei	nte	ale																		
		DATA E ORA	gg/mm/aa h:mm	10/3/16 2:39	10/3/16 2:42	10/3/16 2:43	10/3/16 2:44	10/3/16 2:44	10/3/16 2:45	10/3/16 2:46	10/3/16 2:47	10/3/16 2:48	10/3/16 2:48	10/3/16 2:49	10/3/16 2:50	10/3/16 2:51	10/3/16 2:52	10/3/16 2:52	10/3/16 2-53	10/3/16 2-54	10/3/16 2:55	10/3/16 2:56	10/3/16 2:56
	ICHE	ALTITUDINE	[m]	6.8	7.7	7.8	7.8	8.2	7.6	7.4	7.1	6.9	6.5	6.4	6.1	6.8	7.8	9.6	9.5	9.6	9.6	10	9.5
	COORDINATE GEOGRAFICHE	LONGITUDINE ALTITUDINE	[deg]	15.0695067	15.0700583	15.0706217	15.0712	15.0717533	15.072335	15.07289	15.0734967	15.0740117	15.0745717	15.0751233	15.0757183	15.0763117	15.0768533	15.0773517	15.0779483	15.0784333	15.079045	15.0795583	15.0799317
		LATITUDINE	[deg]	37.4686683	37.4687083	37.4687583	37.4688083	37.4688567	37.468905	37.4689533	37.4690033	37.4690467	37.4690933	37.46914	37.4691883	37.46924	37.4692883	37.4693383	37.4693917	37.46943	37.4694817	37.4695233	37.46955
FAMENTO 3m D		TEMPERATURA DELL'ARIA	[5.]	5.9	5.2	5.1	5	5	4.9	4.9	4.8	4.8	4.7	4.6	4.6	4.6	4.6	4.6	4.7	4.7	4.9	5	5.1
NIMAY A - AIIIN		SUPERFICIALE	[5,]	m	3.7	3.7	3.6	4	3.7	3.4	3.5	3.4	3.4	3.3	3,3	3.6	3.4	3.5	3.4	2.8	3.2	3.3	2.7
NAROSSA" di CATANIA - TAXIWAY A - ALLINEAMENTO 3m DX	TEMPERATURA	CONGLOMERATO	[],[]	10.9	10.9	10.9	10.9	10.9	10.9	10.9	10.9	10.9	10.9	10.9	10.9	10.9	10.9	10.9	10.9	10.9	10.9	10.9	10.9
AROSS	60	1800	[mrl]	199	101	101	94	73	29	74	65	64	69	57	88	81	81	82	80	100	63	26	09
		1500	[mrl]	246	117	116	108	82	9/	82	72	71	78	28	102	92	92	92	92	117	69	61	69
AEROPORTO "FONTA	D7	1200	[mr]	314	139	133	125	95	98	94	81	79	87	72	119	106	103	105	107	138	78	69	74
EROPO	90	006	[mm]	393	164	151	143	103	94	103	8	87	100	79	139	120	115	119	124	162	85	72	82
A	D5	009	[mm]	490	197	170	159	114	104	114	103	66	118	88	162	137	128	136	145	196	95	81	92
	D4	450	[mm]	549	214	181	173	122	110	121	108	105	130	96	179	146	134	146	158	213	66	84	97
	D3	300	[mm]	614	234	192	185	132	119	131	117	122	148	108	201	159	143	160	171	236	105	91	105
	D2	200	[µm]	999	251	202	197	143	133	143	131	139	164	123	221	175	154	178	188	254	113	9	113
	D1	0	[mm]	765	281	234	226	169	162	176	161	183	201	158	564	217	193	224	245	230	135	126	137
		Carico	[kN]	187.03	193.47	194.24	195.23	196.44	195.52	194.53	194.17	196.15	195.52	195.59	193.96	194.1	195.38	195.16	194.95	193.96	195.59	196.01	195.8
		Sforzo	[kPa]	2646	2737	2748	2762	2779	2766	2752	2747	2775	2766	2767	2744	2746	2764	2761	2758	2744	2767	2773	2770
		Progressiva	[km]	0	0.05	0.1	0.15	0.2	0.25	0.3	0.35	0.4	0.45	0.5	0.55	9.0	0.65	0.7	0.75	0.8	0.85	6.0	0.93

Tabella 39. TAXIWAY ALPHA – Allineamento 3mDX della CENTER LINE - Dati acquisiti durante le indagini deflettometriche.



0 _	lec	nol	ogico Sp	er	im	ner	nti	ale	9															
		ERRORI	ASSOLUTO PERCENTUALE	[%]	1	2		-	-	2	1	2	2	2	1	2	1	-	-	-	-	-	-	-
		E8	ASSOLUTO	[mm]	4	4		2	-	2		1	2	7	1	2	2	-	-	-	2	-	-	
	F		E DEL	Ns	-0.15	0.01	-0.17	-0.09	-0.09	-0.11	-0.11	-0.32	-0.08	-0.14	-0.11	-0.04	-0.20	-0.04	-0.37	000	-0.36	030	-0.14	0 12
			T EQUAZION MODULO	2	81	226	122	160	256	235	239	141	253	233	240	323	149	279	71	370	9	101	288	263
	ı		COSTANTI EQUAZIONE DEL MODULO	NZ	0.00	0.31	0.14	0.00			-0.05	0.00	0.02	0.00	0.03	0.00	0.00	0.00	0.00	000	0.00	000	0.06	000
			COST	a	362	961	1460	3492	37576	4376	6277	6996	3714	3541	6577	6268	7309	6266	7647	5037	006	9784	8719	9350
		E220°C	SCHIUMATO ALLA TEMPERATURA DI RIFERIMENTO	[Mpa]		-	1	1		3191	4186	7051	2732	2582	4940	4571	5330	4569	5576	3673	929	7134	6762	6818
WATER COTICE	Marino sin sa	E120°C	CONGLOMERATO BITUMINOSO ALLA TEMPERATURA DI	[Mpa]	2032	6692	7435	13986	9227	11135	9383	8298	14299	7926	14060	6118	4955	6547	7945	6010	5916	12487	11501	10949
AFPOROTO "CONTANIADOSCA" AF CATANIA TANIMAN ALLIANGABERITO SERVICES	DEZZA	Ee	SOTTOFONDO EQUIVALENTE	[Mpa]	646	1535	1561	2161	3778	3823	4115	5344	3950	3356	4435	3377	3051	3348	4151	3548	1688	4916	5550	5407
AL CATABILA T	MODULI DI RIGIDEZZA	E	SOTTOFONDO	[Mpa]	81	220	131	171	276	270	275	239	283	283	282	339	202	296	162	370	103	193	356	329
MTANABOCCA	ACCOUNTING IN	E2	SCHIUMATO	[Mpa]					1	4376	5741	6996	3747	3541	6774	6268	7309	6266	7647	5037	900	9784	9273	9350
Call OTGOGGG	O O O O O O		FONDAZIONE IN MISTO CEMENTATO	[Mpa]	362	602	1256	3492	14709				•		1	ī	•		-	¥	1			
•		£1	CONGLOMERATO	[mm]	3705	12203	13557	25502	16824	20303	17109	15130	26073	14453	25637	11155	9034	11938	14487	10958	10787	22769	20970	19965
			SCHIUMATO	[mm]	i.	-		1	-	260	470	620	029	720	640	570	290	710	840	860	770	720	720	710
		SPESSORI	FONDAZIONE IN MISTO CEMENTATO	[mm]	200	180	190	200	200	•	-	,	-	•		-		-	,	-	1	t	'	,
			CONGLOMERATO	[mm]	240	260	250	230	210	210	250	220	210	190	180	200	180	160	160	180	210	190	200	240
			PROGRESSIVE	[km]	0.003	0.050	0.100	0.150	0.200	0.250	0.310	0.350	0.400	0.456	0.500	0.550	0.600	0.657	0.700	0.750	0.800	0.850	0.900	0:6:0

Tabella 40. TAXIWAY ALPHA – Allineamento 3m SX della CENTER LINE - Risultati delle indagini deflettometriche.

io_T	ecnolo	gico Speri	me	nta	ale																		
		DATA E ORA	gg/mm/aa h:mm	7	Γ	10/3/16 3:20	10/3/16 3:21	10/3/16 3:22	10/3/16 3:22	10/3/16 3:23	10/3/16 3:24	10/3/16 3:25	10/3/16 3:25	10/3/16 3:26	10/3/16 3:27	10/3/16 3:28	10/3/16 3:29	10/3/16 3:29	10/3/16 3:31	10/3/16 3:32	10/3/16 3:32	10/3/16 3:33	10/3/16 3:34
	ICHE	ALTITUDINE	[m]	8.9	6.7	6.7	6.5	6.5	6.5	6.7	6.3	6.2	6.1	9	6.2	6.2	6.1	6.1	6.2	6.2	6.4	6.7	6.9
	COORDINATE GEOGRAFICHE	LONGITUDINE ALTITUDINE	[deg]	15.0695367	15.07008	15.0706017	15.0711117	15.07172	15.0723	15.0728933	15.07339	15.073875	15.074515	15.075055	15.0756283	15.076225	15.0768117	15.07729	15.0778533	15.07841	15.0789933	15.079525	15.0799333
And the land of th		LATITUDINE	[deg]	37.46873	37.4687767	37.4688267	37.468865	37.468915	37.4689617	37.46901	37.46905	37.46909	37.4691467	37.4691917	37.4692383	37.46929	37.4693367	37.469375	37.4694233	37.4694717	37.46952	37.4695667	37.4696017
AMENTO 3m SX		TEMPERATURA DELL'ARIA	[,C]	5.2	5.2	5.1	5.1	5	5	4.9	4.9	4.9	4.9	4.9	4.9	4.8	4.8	4.8	4.7	4.7	4.6	4.6	4.6
AXIWAY - ALLINE		SUPERFICIALE	[5]	3.2	3.6	3.4	3.3	3.3	3.1	3.2	3,4	3.1	3.1	3.3	3	3.1	3.2	3.1	3.1	2.9	2.5	2.9	2.4
NAROSSA" di CATANIA - TAXIWAY - ALLINFAMENTO 3m SX	TEMPERATURA	CONGLOMERATO	[,c]	10.9	10.9	10.9	10.9	10.9	10.9	10.9	10.9	10.9	10.9	10.9	10.9	10.9	10.9	10.9	10.9	10.9	10.9	10.9	10.9
NAROS	60	1800	[mm]	199	121	122	115	78	75	9/	56	73	72	69	8	87	85	74	92	115	71	53	61
AEROPORTO "FONTA	D8	1500	[mm]	251	150	152	140	91	85	84	62	83	83	9/	91	100	98	82	85	138	79	57	89
ORTO	D7	1200	[mm]	320	197	195	170	102	96	94	8	95	97	87	103	116	112	92	96	175	87	63	76
AEROP	9Q	006	[lmm]	434	244	242	203	117	109	10 <u>4</u>	75	109	109	95	117	131	125	100	108	217	95	71	22
	D5	009	[mm]	909	308	309	240	133	125	115	8	123	130	108	133	149	139	111	121	268	106	8	92
	D4	450	[mm]	710	340	348	261	149	135	124	88	134	143	116	143	157	148	117	130	300	110	87	97
	D3	300	[µµ]	824	377	389	280	151	146	136	95	145	161	127	158	170	157	126	141	337	117	95	103
	L D2	200	[hm]	5 911	407	3 418	3 296	3 161	158	5 148	3 105	3 156	180	\dashv	-	188	171	138	155	368	125	106	111
	D1	0	[mrl]	7 1075	1 454	8 458	6 323	188	2 190	6 176	5 136	183	5 215	+	\dashv	3 236	7 216	5 174	203	7 423	3 148	3 131	135
		Carico	[kN]	186.47	187.11	191.98	187.46	190.71	195.02	194.46	195.16	194.1	193.75	192.9	193.11	193.33	194.17	193.96	193.4	191.77	195.38	195.23	196.01
		Sforzo	[kPa]	2638	2647	2716	2652	2698	2759	2751	2761	2746	2741	2729	2732	2735	2747	2744	2736	2713	2764	2762	2773
		Progressiva	[km]	0.003	0.05	0.1	0.15	0.2	0.25	0.31	0.35	0.4	0.456	0.5	0.55	9.0	0.657	0.7	0.75	0.8	0.85	6.0	0.93

Tabella 41. TAXIWAY ALPHA - Allineamento 3mSX della CENTER LINE - Dati acquisiti durante le indagini deflettometriche.

SE ST		S 1	Vlo						
RELAZIONE TECNICA		ERRORI	PERCENTUALB	[%]	įΓ	1	2 4	ale T	100
AZIONE		ER	ASSOLUTO	[mm]		2	3	2	
REI	ı		DEL	Ns		-0.02	-0.08	0.00	

zic	16	ecno	PERCENTUALB	- F		ne F	ht 7		2	1	1	1	1	1	1	2	2	2		1	-	0	-	1
		ERRORI	ASSOLUTO PERC	1-		_		_																
	-		ASSOL	[nm]	-	2 2			L		1	7	5	9 1	7 1	3	5 2	1 2		1	7	1	3 1	1
			ONE DEL	NS		-0.02			\vdash		-0.14		-0.15	\vdash	-0.07		-0.06	\vdash	-	H	Н		-0.18	┢
	ı		1 EQUAZIO MODULO	2		250	H		┡	L.	H	263	H	H	339	Н	308	H	H	H	L	L	239	L
	ı		COSTANTI EQUAZIONE DEL MODULO	N2	ł	0.00	-	⊢	₩.	8 0.05	0.07	Н	90.0	Н	3 0.08	\vdash	0.00	1 0.01	H	-	⊢	_	0.08	1
ì	-	_		2		6025	3316	2283	24360	12248	6870	9078	3156	4051	6528	3310	9826	3771	6407	5066	906	7194	8892	4732
		Franc	SCHIUMATO ALLA TEMPERATURA DI RIFERIMENTO	[Mpa]		•				9563	4951	6694	2368	3071	5100	2430	7187	2772	4672	3694	661	5246	7043	3478
NEAMENTOCI	MEMINIEM I O CL	Elave	CONG BITUN TEMPI	[Mpa]	NON ELABORABILE	5387	4410	4626	6269	7334	7925	8487	9362	8141	9259	9348	7075	10523	9544	6624	9099	8809	6824	7887
O"FONTANABOSSA" di Catania - Taxiway - allineamento Ci	DE27A	DELL'A	SOTTOFONDO EQUIVALENTE	[Mpa]		2061	1685	1472	3358	4549	4020	5324	3362	3147	3944	3154	4090	3278	3865	3582	1811	4081	4688	4007
" di CATANIA -	MODILI DI BICIDEZZA	ES ES	SOTTOFONDO	[Mpa]		253	180	228	128	324	282	336	256	226	364	234	336	239	295	219	149	523	309	184
ONTANAROSS	· ·	E2	SCHIUMATO	[Mpa]				1		13114	- 6829	9180	3247	4212	6994	3333	9886	3801	6407	5066	906	7194	9659	4770
AFROPORTO "			FONDAZIONE IN MISTO CEMENTATO	[Mpa]		9823	8042	8435	12726	-	1	a		1			,	i			·	7		
		E	CONGLOMERATO	[mm]		9823	8042	8435	12726	13373	14450	15475	17070	14845	16883	17045	12901	19188	17403	12079	12046	16062	12443	14563
			SCHIUMATO	[mm]	,	•	•	. T	ı	550	510	009	069	630	570	580	280	580	099	069	640	590	670	640
		SPESSORI	FONDAZIONE IN MISTO CEMENTATO	[mm]	210	180	210	180	200		-				-	1			,	-	,	-	,	-
			CONGLOMERATO	[mm]	240	290	280	260	230	210	280	220	210	220	200	200	210	190	190	230	240	210	230	220
			PROGRESSIVE	[km]	0.000	0.050	0.100	0.150	0.200	0.250	0.300	0.350	0.400	0.450	0.500	0.550	0.600	0.650	0.700	0.750	0.800	0.850	0.900	0.930

Tabella 42. TAXIWAY ALPHA – Allineamento in CENTER LINE - Risultati delle indagini deflettometriche.

Se	rv	izio Te	ecnologico	Sp	er	im	en1	cale	=															
			DATA E ORA	gg/mm/aa h:mm	10/3/16 2:17	10/3/16 2:20	10/3/16 2:20	10/3/16 2:23	10/3/16 2:24	10/3/16 2:24	10/3/16 2:25	10/3/16 2:26	10/3/16 2:27	10/3/16 2:28	10/3/16 2:29	10/3/16 2:30	10/3/16 2:30	10/3/16 2:31	10/3/16 2:32	10/3/16 2:33	10/3/16 2:33	10/3/16 2:34	10/3/16 2:35	10/3/16 2:36
		ICHE	ALTITUDINE	[m]	5.9	6.4	6.4	9.9	7	9.9	6.3	9	6.1	5.7	5.8	6.1	5.9	5.8	9	6.1	6.3	6.5	6.9	7.2
		COORDINATE GEOGRAFICHE	LONGITUDINE ALTITUDINE	[deg]	15.0695017	15.070085	15.0706767	15.0711917	15.071795	15.07232	15.0728833	15.0734733	15.073995	15.07457	15.075125	15.0757017	15.0762233	15.0768567	15.0773967	15.0779567	15.0784667	15.079035	15.07958	15.0799317
		COORDI	LATITUDINE	[deg]	37.46869	37.4687517	37.4688	37.46884	37.4688883	37.4689333	37.46898	37.4690317	37.469075	37.4691267	37.4691717	37.4692183	37.46926	37.4693133	37.4693583	37.469405	37.4694517	37.4694967	37.4695433	37.4695733
	NEAMENTO CL		TEMPERATURA DELL'ARIA	[5.]	4.3	4.4	4.4	4.4	4.3	4.3	4.5	4.6	4.8	4.9	4.9	5	5.1	5.1	5.2	5.2	5.2	5.3	5.3	5.4
	TAXIWAY - ALL		SUPERFICIALE	[5]	3.9	3.8	3.7	m 00	3,7	3.8	3.3	3.4	3.6	3.4	3.4	3.1	3.2	3.2	3.6	3.5	2.5	2.7	2.6	2.8
	ITANAROSSA" di CATANIA - TAXIWAY - ALLINEAMENTO CL	TEMPERATURA		[0,]	10.9	10.9	10.9	10.9	10.9	10.9	10.9	10.9	10.9	10.9	10.9	10.9	10.9	10.9	10.9	10.9	10.9	10.9	10.9	10.9
1	ANAK	D9	1800	[mrl]	163	112	117	129	74	69	29	55	72	72	63	81	75	84	80	9/	120	77	56	65
111111111111111111111111111111111111111	LON	D8	1500	[mr]	202	135	143	158	28	75	74	61	8	82	70	93	8	97	80	87	144	98	62	74
1	AEROPORTO FOR	D7	1200	[mr]	262	165	178	193	96	84	85	29	94	96	80	108	94	110	101	100	178	96	69	84
4	AERC	90	006	[mm]	332	200	216	243	108	91	92	72	108	110	91	125	105	125	112	113	216	107	77	92
	Ī	D5	009	[µm]	385	240	264	305	125	101	109	81	130	135	109	145	117	143	127	128	265	119	98	109
		D4	450	[mm]	402	262	294	342	138	107	120	87	144	151	120	158	123	156	136	137	294	128	94	119
		D3	300	[mm]	421	287	330	382	156	117	134	97	163	173	136	175	133	172	147	150	324	136	106	132
		D2	200	[mm]	439	306	358	413	174	128	148	108	181	192	151	190	145	188	159	164	351	146	119	147
		D1	0	[mm]	489	348	423	471	217	161	181	138	217	232	185	230	179	222	189	204	395	179	156	182
			Carico	[kN]	191.13	192.55	191.35	186.12	195.66	196.65	195.38	197.28	195.87	196.01	195.94	194.81	196.58	195.38	196.15	196.22	192.12	196.15	196.37	195.8
			Sforzo	[kPa]	2704	2724	2707	2633	2768	2782	2764	2791	2771	2773	2772	2756	2781	2764	2775	2776	2718	2775	2778	2770
			Progressiva	[km]	0	0.05	0.1	0.15	0.2	0.25	0.3	0.35	0.4	0.45	0.5	0.55	9.0	0.65	0.7	0.75	8.0	0.85	6.0	0.93

Tabella 43. TAXIWAY ALPHA – Allineamento in CENTER LINE - Dati acquisiti durante le indagini deflettometriche.

SES MOBILE SET	vizio Te	3 V	10) S _I	be		ne	ent) S	îri Ie
E TECNICA	ERRORI	PERCENTUALE	[%]	1	1	1	1	1	1	1
RELAZIONE	15	ASSOLUTO	[mrl]	2	1	1	2	1	1	1
2		_	S	90	02	11	90	17	10	12

er	viz	0 1	ecnolog	ICC	5 5)De	eri	m	en	te	ile													
		ERRORI	ASSOLUTO PERCENTUALE	[%]	1	1 -	-	-	1	-	-	,	1	1	-	-	-	-	1			,	2	1 4
		8	ASSOLUTO	firm		, -	-	2	-	-	-	1	-	1	1	-	,	,	1			-	1	1
ı			DEL	ž	-0.0A	0.02	-0.11	-0.06	0.17	-0.10	-0.12	-0.09	-0.13	-0.12	-0.12	000	0.05	90.0-	-0.07			0.15	0.11	-0.13
ı	ı		JAZIONE	5	132	352	219	284	962	251	200	264	281	323	293	370	300	262	291			241	301	243
	ľ		COSTANTI EQUAZIONE DEL MODULO	N2	000	-0.11	-0.09	0.10	-0.91	0.03	000	000	0.05	0.05	-0.05	0.00	000	0.01	0.00			800	000	0.00
			COSTA	8	4282	9267	18235	32689	18393	8819	6561	8185	12139	14287	9973	3545	7322	9729	7999			9449	12600	10856
		E220°C	SCHIUMATO ALLA TEMPERATURA DI RIFERIMENTO	[Mpa]		1				6673	4784	5968				2585	5339	7198	5833	ORABILE	ORABILE	6890		
AFRODORTO "FONTANAROSSA" di CATANIA - TAXIMAN ALIMEAMMENTO ET DA	AMERICO SILI DA	E1 _{20°C}	CONGLOMERATO BITUMINOSO ALLA TEMPERATURA DI	[Mpa]	3481	9395	11005	7630	6889	7107	8968	6043	4158	7900	5884	5799	5123	6206	6816	NON ELABORABILE	NON ELABORABILE	13197	8609	10123
VIAIA'AV ALLINE	DEZZA	Ee	SCHIUMATO SOTTOFONDO EQUIVALENTE	[Mpa]	1178	2818	3706	3571	3471	4189	3305	3785	4210	5645	4832	2899	3314	3920	4007			5640	5173	5444
di CATANIA - TA	MODULI DI RIGIDEZZA	Es	SOTTOFONDO	[Mpa]	135	342	244	297	829	289	249	303	335	384	351	370	320	290	325			321	362	314
"AZANAROSSA"		E2	SCHIUMATO	[Mpa]						9151	6561	8185	13082	15084	8774	3545	7322	9871	7999			9449	12600	10856
FROPORTO "FO			FONDAZIONE IN MISTO CEMENTATO	[Mpa]	4282	7671	15689	26119	2354		10	*	¥.	i i			- 1		1					
A		E1	CONGLOMERATO	[mm]	6347	17131	20066	13912	12561	12958	10882	11018	7599	14405	10729	10573	9342	11316	12428	38337	30340	24055	15698	18459
			SCHIUMATO	[mm]	ŧ	1	-	-	ī	580	560	610	290	260	670	590	540	510	680	760	099	750	630	710
	10000000	STESSON	FONDAZIONE IN MISTO CEMENTATO	[mm]	180	170	180	190	220	,	,			1	,	'	,	,						t
			CONGLOMERATO	[mm]	250	240	280	240	200	210	240	220	230	250	170	220	230	200	190	170	200	200	200	240
			PROGRESSIVE	[km]	0.000	0.050	0.100	0.158	0.200	0.259	0.300	0.350	0.400	0.450	0.500	0.550	0.600	0.657	0.700	0.750	0.800	0.844	0.900	0.930

Tabella 44. TAXIWAY ALPHA -- Allineamento 5m DX della CENTER LINE - Risultati delle indagini deflettometriche.



o T	ecnolo	gico Speri	me	nte	ale T	_	_		_	1		_	_	_	_		1	1	1	_	_	_	_
		DATA E ORA	gg/mm/aa h:mm	10/3/16 2:59	10/3/16 3:00	10/3/16 3:01	10/3/16 3:01	10/3/16 3:02	10/3/16 3:03	10/3/16 3:04	10/3/16 3:05	10/3/16 3:05	10/3/16 3:06	10/3/16 3:07	10/3/16 3:08	10/3/16 3:09	10/3/16 3:09	10/3/16 3:10	10/3/16 3:11	10/3/16 3:12	10/3/16 3:13	10/3/16 3:13	000000000000000000000000000000000000000
	ПСНЕ	ALTITUDINE	[m]	7.7	7.2	6.9	9.9	6.5	6.3	6.2	5.9	5.5	5.2	5	5.1	5.2	5.1	5.3	5.7	6.2	6.5	6.8	
	COORDINATE GEOGRAFICHE	LONGITUDINE ALTITUDINE	[deg]	15.0695117	15.0700817	15.0706067	15.07131	15.0717933	15.07243	15.07286	15.0734433	15.0739833	15.0745167	15.0750667	15.0756867	15.0763117	15.076845	15.077355	15.0779	15.0784767	15.0789817	15.079555	11 0100041
		LATITUDINE	[deg]	37.4686567	37.4687033	37.4687467	37.468805	37.4688467	37.4688983	37.468935	37.4689833	37.4690267	37.4690717	37.4691183	37.46917	37.4692267	37.4692717	37.469315	37.4693583	37.4694083	37.4694533	37.4695017	27 4000
ARKENITO Em DY		TEMPERATURA DELL'ARIA	[5,]	5.7	5.6	5.5	5.4	5.3	5.2	5.2	5.1	5.1	5	5	4.9	4.9	4.9	4.9	4.8	4.8	4.8	4.8	
AXIMAY AITIME		SUPERFICIALE	[,c]	3.2	3.4	3.4	3.4	3.5	3.4	3.6	3.3	3.3	3.1	3.4	3.2	3.4	3	3.5	3.4	3.2	3.2	3.2	0,0
NABROSSA" A CATANIA - TAXIMAY - AITINEARGENTO ET DX	TEMPERATURA	CONGLOMERATO	[5.]	10.9	10.9	10.9	10.9	10.9	10.9	10.9	10.9	10.9	10.9	10.9	10.9	10.9	10.9	10.9	10.9	10.9	10.9	10.9	007
107.1.70	60	1800	[mm]	180	92	85	83	73	73	98	9/	59	52	58	8	81	76	75	89	106	09	61	5
ABRODO BATOM SOLVEN	D8	1500	[mm]	220	109	66	95	82	80	97	85	65	57	8	95	94	85	83	105	128	65	29	- 22
10.10	D7	1200	[mm]	270	128	112	110	93	88	112	97	72	63	69	113	106	96	93	125	158	73	75	7.7
AFROP	90	006	[mrl]	332	150	127	123	106	86	126	107	78	89	75	130	121	106	103	146	193	80	81	83
	D5	009	[mm] [mm] [mm]	406	177	142	139	120	108	143	119	68	77	83	154	137	117	116	172	236	88	90	00
	D4	450		450	191	152	149	131	116	152	127	95	8	87	166	145	124	122	186	260	94	96	95
	D3	300	[mm]	499	208	163	162	148	125	163	138	105	8	95	184	156	132	132	202	286	101	103	100
1	D2	200	[mm]	530	223	172	173	166	139	177	151	119	88	109	707	172	145	144	217	308	107	112	109
	01	0	[mm]	909	256	196	204	210	174	220	191	173	129	150	220	219	185	182	253	342	129	140	134
		Carico	[kN]	189.72	193.68	195.02	195.59	195.73	195.73	195.23	194.1	195.59	195.52	194.6	194.6	194.88	194.74	195.8	194.24	192.19	195.38	194.46	195.87
		Sforzo	[kPa]	2684	2740	2759	2767	2769	2769	2762	2746	2767	2766	2753	2753	2757	2755	2770	2748	2719	2764	2751	2771
		Progressiva	[km]	0	0.05	0.1	0.158	0.2	0.259	0.3	0.35	0.4	0.45	0.5	0.55	9.0	0.657	0.7	0.75	0.8	0.844	+	0.93

Tabella 45. TAXIWAY ALPHA - Allineamento 5m DX della CENTER LINE - Dati acquisiti durante le indagini deflettometriche.

SESTS	Mo	lide	e	Srl
Servizio lech	ologico	Sperim	ant	ale
Servizio Tecn	ERRORI	PERCENTUALE	[%]	,
ELAZIONE		ASSOLUTO	[mm]	
REI			S	23

no	loa		Sperim	er	TE:	le.	_							_	_									
		ERRORI	ASSOLUTO PERCENTUALE	[e/1	[ev]	-	2	-	-	2	2	1	-	1	1	1	1	1	1	-	-	-	-	-
		E	ASSOLUTO	fumi		-	,	,	-	2	2	1	1	-	-1	1	-	-	-	-	,	-	-	-
		T.	E DEL	No	CA.	-0.03	000	00.0	0.04	-0.19	-0.20	-0.23	-0.10	-0.09	-0.12	-0.10	-0.04	-0.14	-0.15	-0.11	-0.17	-0 17	-0.25	-0.21
			COSTANTI EQUAZIONE DEL MODULO	2	3	206	738	241	401	177	171	184	248	283	239	239	275	186	189	228	143	169	175	189
١			ANTI EQ MOD	N2		000	000	0.01	_		0.00	00:00	90.0	0.00	0.00	0.00	0.00	00.0	0.00	000	000	000	0.04	00.0
1	L		COST	3		1422	2250	6669	57806	6721	4289	6464	3227	7680	2676	3589	6753	9213	8769	5840	855	9680	7988	8764
		E220°C	SCHIUMATO ALLA TEMPERATURA DI RIFERIMENTO	[Mna]	(ada)			1	•	4901	3128	4714	2550	2600	5597	2617	4924	6718	6394	4258	623	7059	6092	6391
AMENTO 5m SX		E120°C	CONGLOMERATO BITUMINOSO ALLA TEMPERATURA DI	[Mna]	NON ELABORABILE	9654	7404	3502	6180	8312	5853	7546	3328	4123	7530	7507	4074	3700	4780	6519	5423	10352	9187	9033
AEROPORTO "FONTANAROSSA" di CATANIA - TAXIWAY - ALLINEAMENTO 5m SX	DEZZA	Ee	SEMISPAZIO EQUIVALENTE	[Mba]		1643	1760	1762	3001	3786	3103	4812	2462	3608	4104	2936	2861	3165	3783	3733	1624	4526	5020	5188
di CATANIA - TA	MODULI DI RIGIDEZZA	Es	SOTTOFONDO EQUIVALENTE	[Mpa]		208	238	241	387	241	226	266	275	326	292	269	289	232	250	276	172	236	261	282
"NTANAROSSA"	4	E2	SCHIUMATO	[Mba]		*1		-1		6721	4289	6464	3497	7680	9/9/	3589	6753	9213	8769	5840	855	0896	8355	8764
EROPORTO "FO			FONDAZIONE IN MISTO CEMENTATO	[Mpa]		1422	2250	7019	2230			8				-						ı		
A		E1	CONGLOMERATO	[mm]		17603	13500	6385	11269	15156	10672	13759	8909	7517	13731	13689	7428	6747	8716	11886	9888	18875	16752	16471
			SCHIUMATO	[mm]	-	ı		I	,	069	620	099	700	750	089	610	610	620	760	770	770	099	710	670
	SPESSORI		FONDAZIONE IN MISTO CEMENTATO	[mm]	190	160	190	190	190	,	-			-					-		,		,	-
			CONGLOMERATO BITUMINOSO	[mm]	240	240	260	240	180	160	220	250	180	160	200	190	170	160	180	200	190	220	200	270
			PROGRESSIVE	[km]	0.000	0.050	0.100	0.150	0.200	0.250	0.300	0.350	0.400	0.450	0.500	0.550	0.600	0.650	0.700	0.750	0.800	0.850	0.900	0.930

Tabella 46. TAXIWAY ALPHA – Allineamento 5m SX della CENTER LINE - Risultati delle indagini deflettometriche.

SS ST	SMob Tecnologico Sper	ile sri
RELAZIONE TECNICA	DATA E ORA	gg/mm/aa h:mm 10/3/16 3:36 10/3/16 3:37
RELA	UDINE	m] 5.9

zio I	ecnolo	aico Speri			ale				_	_	_	_	_		_	_		_		_			
		DATA E ORA	mm.yaa h.mm	10/3/16 3:36	10/3/16 3:37	10/3/16 3:38	10/3/16 3:39	10/3/16 3:40	10/3/16 3:40	10/3/16 3:41	10/3/16 3:42	10/3/16 3:43	10/3/16 3:44	10/3/16 3:44	10/3/16 3:45	10/3/16 3:46	10/3/16 3:47	10/3/16 3:47	10/3/16 3:48	10/3/16 3:49	10/3/16 3:50	10/3/16 3:51	10/3/16 3:51
	FICHE	ALTITUDINE	[m]	6.9	6.8	6.9	6.6	6.4	6.3	6.1	5.9	5.9	5.9	5.6	5.8	5.7	5.7	80	9	6.2	6.3	6.6	6.7
	COORDINATE GEOGRAFICHE	LONGITUDINE ALTITUDINE	[deg]	15.069505	15.0700867	15.0705567	15.0711433	15.071755	15.0723033	15.0728433	15.07344	15.0740033	15.0745633	15.0751167	15.0756783	15.0762283	15.0767767	15.0773517	15.07788	15.0784333	15.0789933	15.0795833	15.0799267
		LATITUDINE	[deg]	37.4687367	37.4687883	37.4688283	37.4688767	37.46893	37.468975	37.46902	37.4690683	37.4691183	37.4691683	37.4692117	37.4692583	37.469305	37.469355	37.4694017	37.4694417	37.4694883	37.4695367	37.469585	37.4696167
EAMENTO SM SX		TEMPERATURA DELL'ARIA	[°C]	5.4	5.2	5.1	5	5	4.9	4.8	4.8	4.8	4.8	4.7	4.7	4.6	4.6	4.6	4.5	4.5	4.5	4.5	4.5
AXIWAY - ALLIN		SUPERFICIALE	[5]	2.6	en:	3.3	2.9	3.3	3.1	3.3	3.3	2.9	3.2	3.3	2.9	2.9	2.8	2.9	3	2.7	2.9	3.4	2.2
ANAROSSA" di CATANIA - TAXIWAY - ALLINEAMENTO 5m SX	TEMPERATIIRA	CONGLOMERATO	[5]	10.9	10.9	10.9	10.9	10.9	10.9	10.9	10.9	10.9	10.9	10.9	10.9	10.9	10.9	10.9	10.9	10.9	10.9	10.9	10.9
NARO	60	1800	[mm]	143	118	124	121	88	75	79	9	76	20	72	84	91	98	76	75	107	77	55	09
The same of	08	1500	[mm]	174	152	153	145	102	翠	91	99	98	78	81	98	104	99	82	83	127	84	63	99
AEROPORTO "FON	D7	1200	[mm]	218	192	190	175	117	97	105	74	9	88	8	114	119	112	94	97	156	96	89	74
AEROP	90	900	[mrl]	274	244	235	211	131	108	121	80	116	97	100	132	135	125	12	108	196	103	7	82
	D5	009	[mm]	354	299	288	253	153	121	143	88	139	110	111	156	153	139	115	122	256	114	87	95
	D4	450	[mm] [mm] [mm] [mm]	413	334	317	278	162	131	155	95	155	117	120	171	162	146	120	129	293	120	94	86
	D3	300	[mm]	494	367	346	304	173	143	171	106	181	127	130	189	174	157	129	139	339	127	102	105
	D2	200	[µm]	723	390	367	333	189	158	188	118	212	141	141		191	170	142	152	376	134	115	114
	01	0	[mm]	1010	425	408	406	241	191	-	\rightarrow	292	8	176	-+	252	229	192	194	444	161	144	141
		Carico	[kN]	186.33	187.46	192.83	192.12	194.17	194.17	194.95	195.09	193.04	193.75	193.96	193.96	193.61	194.6	195.02	194.46	193.61	195.66	194.1	196.44
		Sforzo	[kPa]	2636	2652	2728	2718	2747	2747	2758	2760	2731	2741	2744	2744	2739	2753	2759	2751	2739	2768	2746	2779
		Progressiva	[km]	0	0.05	0.1	0.15	0.2	0.25	0.3	0.35	0.4	0.45	0.5	0.55	9.0	0.65	0.7	0.75	0.8	0.85	6.0	0.93

Tabella 47. TAXIWAY ALPHA – Allineamento 5m SX della CENTER LINE - Dati acquisiti durante le indagini deflettometriche.



6.4.2 RACCORDO FOXTROT

		ERRORI	ASSOLUTO PERCENTUALE	[1,m] [92]	2	2 2	7 .		1 1	
			NE DEL	No	1	+	+	┿	+-	┿
			1 EQUAZIO MODULO	2	Ľ	1	╀	╀	╄-	_
			COSTANTI EQUAZIONE DEL MODULO	CN N2	H	t	╆	╁	╈	۲
		E220°C	ALLA RA DI VTO	[Mpa]		101	-	3290 45		
AMÉNTO 315 DX		E120°C	CONGLOMERATO BITUMINOSO ALLA TEMPERATURA DI RIFERIMENTO	[Mba]	3492	4249	3530	6004	6792	7600
XTROT - ALLINE		Ee	SOTTOFONDO EQUIVALENTE	[Mpa]	1205	1460	1003	2515	3664	2001
- RACCORDO FO	MODULI DI RIGIDEZZA	Es	SOTTOFONDO	[Mpa]	150	186	138	179	259	216
AROSSA" di CATANIA	MODUL	2	SCHIUMATO	[Mpa]				4512	7845	9305
AEROPORTO "FONTANAROSSA" di CATANIA - RACCORDO FOXTROT : ALINEÁMENTO 3B-DX		E2	FONDAZIONE	[Mpa]	410	1022	353			
1		E1	CONGLOMERATO	[mm]	6368	7748	6437	10947	12385	8569
The same of the sa			SCHIUMATO		4	-	z	420	570	490
	SPESSORI		FONDAZIONE SCHIUMATO	[mm]	240	310	290		•	į
			CONGLOMERATO	[mm]	290	240	240	210	200	190
Company of the second			PROGRESSI VE	[km]	0	0.05	0.1	0.15	0.2	0.25

					AEROPORTO "FONTANAROSSA" di CATANIA - RACCORDO FOXTROT - ALLINEAMENTO 5m DX	IAROSSA" dI CATANIA	- RACCORDO FOR	KTROT - ALLINEA	MENTO 5m DX					100	
		CDECCODI				MODUL	MODULI DI RIGIDEZZA								
		or Essons		El	1	E2	Es	Ee	E120°C	E220°C					ERRORI
PROGRESSIVE	CONGLOMERATO		FONDAZIONE	CONGLOMERATO BITUMINOSO	FONDAZIONE	SCHIUMATO	SOTTOFONDO	SOTTOFONDO EQUIVALENTE	CONGLOMERATO BITUMINOSO ALLA TEMPERATURA DI	SCHIUMATO ALLA TEMPERATURA DI RIFERIMENTO	COSTAN	MODULO	COSTANTI EQUAZIONE DEL MODULO	1	ASSOLUTO PERCENTUALE
[km]	[mm]	[mm]		[mm]	[Mba]	[Mna]	[Mns]	[Mana]	[MAne]	Pater	1 50	-	-	+	
	000	000					Bella	(BAIAI)	INDA	Mpa	7	NZ	SN NS	шп	*
	320	740		9285	295		193	1692	2605		405	0.21 1	169 -0.14	4	1
0.05	240	310		15687	1465		159	1951	8603		┢	┡	╆	2	-
0.1	280	270		5666	441		148	1100	3407		╆	╄	╆	4 6	1.
0.15	210	1	200	9441		3310	157	2280	5178	2414		╀	╆		1,
0.2	190	,	590	14380		6235	241	3782	ZRRE	45.47	╁	+	+		1,
0.25	220		200	10762	*	4994	195	2675	2902	36.47	т	+	+	1 1	
					CALLED THE PROPERTY OF THE PERSON NAMED IN COLUMN TWO IS NOT THE PERSON NAMED IN COLUMN TWO IS NAMED IN COLUMN TWO IS NOT THE PERSON NAMED IN COLUMN TWO IS NAMED IN COLUMN TWO IS NAMED	The same of the sa	200	200		2000	-		250	,	

					AEROPORTO "FONTA	CONTANAROSSA" di CATANIA - BACCORDO EOTTROT - ATTNET MENTENTI	A - RACCORDO	SOVETROTT - ANTIN	EALINGOTAL						
		SPESSOBI				MODUL	MODULI DI RIGIDEZZA					ı	a dia		
		inoconio		E1	W	E2	Es	Fe	Flanc	52,000				ERR	ERRORI
PROGRESSIVE	CONGLOMERATO		FONDAZIONE SCHIUMATO	CONGLOMERATO BITUMINOSO	FONDAZIONE	SCHIUMATO	SOTTOFONDO	SOTTOFONDO EQUIVALENTE	CONGLOMERATO BITUMINOSO ALLA TEMPERATURA DI	SCHIUMATO ALLA TEMPERATURA DI RIFERIMENTO	COSTANTI EQUAZIONE DEL MODULO	MODULO MODULO	EDEL	ASSOLUTO	ASSOLUTO PERCENTUALE
[km]	[mm]	[mm]		[mm]	[Mpa]	[Mpa]	[Mba]	[Mpa]	[Mna]	[Mana]	CM	2	1	T. Carrell	Fart.
0	250	240	t	8037	437		162	1736	AANO	Bellal	t	H	SM.	la la	92
0,05	270	290		10468	4440		707	1730	000		483 0.07	128	Ģ.	2	1
***	010			T0400	7577	-	191	1681	5741		1142 0.00	182	-0.08	2	-
7.0	017	'	530	9755		286	176	1101	5350		286 0.00	171	-0.07	"	-
0.15	200		470	5935		1186	184	1255	3255	OCE	٠	₽		,	
0.2	190		540	17676		6301	205	2707	0000	4707	+	+	90.0	1	
0.25	180	,	520	15370		2569	103	1010	9000	4595	+	4	-0.17		1
						American Company of the Company of t	CCT	7334	6750	1873	2484 0.06	165	-0.20	7	1

S.p.A.	
Catania	
Aeroporto	
Società	

		Società Aeronorto Cataria S. v. A.	A a S cinc											2	FLAZION	RELAZIONE TECNICA
						AEROPORTO "FONTAN	AROSSA" di CATANIA -	- RACCORDO FO.	KTROT - ALLINE	AMENTO 5m SX						
AEROPORTO "FONTAMAROSSA" di CATANIA - RACCORDO FOXTROT - ALLINEAMENTO 5m SX			SPESSORI				MODUL	I DI RIGIDEZZA							-	
AEROPORTO "FONTANAROSSA" dI CATANIA - RACCORDO FOXTROT - ALLINEAMENTO 5m SX MODULI DI RIGIDEZZA					E1	ы	2	Es	Ee	Elzorc	E2xorc					ERRORI
AEROPORTO "FONTANAROSSA" di CATANIA - RACCORDO FOXTROT - ALLINEAMENTO 5m SX MODULI DI RIGIDEZZA E2 E300C	OGRESSIV	E CONGLOMERATO BITUMINOSO		SCHIUMATO	CONGLOMERATO BITUMINOSO	FONDAZIONE	SCHIUMATO	SOTTOFONDO	SEMISPAZIO EQUIVALENTE	CONGLOMERATO BITUMINOSO ALLA TEMPERATURA DI	SCHIUMATO ALLA TEMPERATURA DI RIFERIMENTO	COSTAN	NODULO	ONE DEL	ASSOLUT	2 PERCENTUALE
SPESSORI E.1 E.1 E.2 E.2 E.2 E.2 E.2 E.2	[km]	[mm]	[mm]		[mm]	[Mpa]	[Mba]	[Mba]	[Moal	[Mpa]	[Mns]	H	-	-	+	1/0/1
SPESSORI E.1	0	230	300		5358	541		154	1032	2938	-	۲	1	1	L	100
SPESSOR E1	0.05	160	350	'	15354	7841		289	2432	8421	4	┢	 	1	L	-
SPESSOR E1	0.1	230	350	,	5581	385		156	999	3061	1	-	느	✝	3	-
SPESSOR E1	0.15	200	310		10181	1869		194	1506	5584		\vdash	<u> </u>	t	8	2
SPESSOR E1	0.2	180		200	9916		8906	189	3530	5438	6612	8906	L	1	1	1
SPESSOR E1	0.25	210	•	490	10260		1918	136	1854	5627	1399	Н	⊢	۰		-

		ERRORI	ASSOLUTO PERCENTUALE		*	-			1	,		6	2
		w	ASSOLUTO		mm)	2		,	2	-	1	2	2
			DEL		NS	-0.19	0.47	1	-0.16	-0.06		-0.1Z	-0.20
1000	ı		COSTANTI EQUAZIONE DEL MODULO		3	147	130	272	128	276		503	107
	ŀ		MODULO	911	NZ	0.13	000	3	0.00	0.01		0.02	0.04
			COST	1	ď	376	1125	2010	2583	8012	F024	2031	960
		E230rc	SCHIUMATO ALLA TEMPERATURA DI RIFERIMENTO	Thum.	INDA						2002	2930	3768
AMENTO 3m SX		Elore	E I	[Admo]	India	4068	4453	0303	occe	3411	9000		6487
OXTROT - ALLINE		Ee	SEMISPAZIO SOTTOFONDO EQUIVALENTE	[Adma]	T DAILY	1309	1304	4500	COCT	1129	3346		2974
- RACCORDO FO	DEZZA	Es	SOTTOFONDO	fAmai	50111	159	136	1/12	Chil	177	295		231
AROSSA" di CATANIA	MODULI DI RIGIDEZZA	E2	SCHIUMATO	[Mna]	i se ivo		99			3.	8140	10.00	/qrc
AEROPORTO "FONTANAROSSA" di CATANIA - RACCORDO FOXTROT - ALLINEAMENTO 3m SX			FONDAZIONE	[Mpa]		318	1135	2583		976	8140	1040	/010
1		E1	CONGLOMERATO	[mm]	The same of the sa	7417	8119	9755		9779	8187	11000	1 67011
			SCHIUMATO			'		1			520	530	200
THE PERSON	SPECSOBI	NO COL	FONDAZIONE	[mm]	010	067	320	340	740	0440		,	
			CONGLOMERATO	[mm]	OCC	7/0	200	200	100	720	190	170	
			PROGRESSIVE	[km]	-	9	0.05	0.1	0.15	CTIO	0.2	0.25	

Tabella 48. RACCORDO FOXTROT - Risultati delle indagini deflettometriche.

	COORDINATE GEOGRAFICHE	LATITUDINE LONGITUDINE	[deg]	15.07628	15.0768433	15.0772617	15.07775	15.07809	15.0780217
	COORDINATE	LATITUDINE	[deg]	37.467825	37.4680383	37.468245	37.46853	37.468825	37.4692367
3m DX		SUPERFICIALE DELL'ARIA	[],	4.6	4.6	4.6	4.7	4.8	4.8
ALLINEAMENTO		TEMPERATURA SUPERFICIALE	[0,]	2.6	3	2.9	ю	2.9	2.4
AEROPORTO "FONTANAROSSA" di CATANIA - RACCORDO FOXTROT - ALLINEAMENTO 3m DX	TEMPERATURA	CONGLOMERATO BITUMINOSO	[],[]	10.9	10.9	10.9	10.9	10.9	10.9
- RACC	60	1800	[mm]	101	109	126	107	77	88
ATANIA	D8	900 1200 1500 1800	[mm] [mm] [mm] [mm] [mm]		133	159	124	86	102
A" di C	D5 D6 D7	1200	[mm]	317 232 170 130	217 169 133	211	187 163 143 124	97	151 133 118 102
11:055	9Q	006	[mm]	232		291	163	109	133
11,117	D5	009		317	289	406	187	123	151
101	D4	450	[mm]	377	334	477	201	132	162
30POR	D3	200 300	[mrl]	442	386	559	218	143	175
AEI	D2	200	[mm] [mm] [mm]	495	425	620	237	157	192
	D1	0	[mrl]	587	490	707	286	197	240
		Carico	[kN]	189.86	192.05	2675 189.08 702 620	193.11 286 237	193.82 197 157	193.4 240 192 175 162
		Sforzo	[kPa]	2686	2717	2675	2732	2742	2736
		Progressiva Sforzo Carico	[km]	0	0.05	0.1	0.15	0.2	0.25

	COORDINATE GEOGRAFICHE	LATITUDINE LONGITUDINE	[deg] [deg]	37		34523 37.4682567	\vdash		\vdash
Sm DX	8		[°C]	5.1	4.9	4.9	4.8	4.7	4.7
ALLINEAMENTO!		SUPERFICIALE DELL'ARIA	اردا	2.4	3.1	2.8	8	2.5	2.9
AEROPORTO "FONTANAROSSA" di CATANIA - RACCORDO FOXTROT - ALLINEAMENTO 5m DX	TEMPERATHRA	CONGLOMERATO	[]	10.9	10.9	10.9	10.9	10.9	10.9
- RACC	60	1800	[mm]	96	111	133	104	75	85
ATANIA	D8	1500	[mm]	126	134	168	123	85	97
A" di C	D7	900 1200 1500	[mm]	206 160 126	164	216 168	144	96	117
AROSS	90	006		206	201	386 287	166	107	134
NTAN	DS	009	[µm] [µm]	263	244	386	195	120 107	158
TO "FC	D4	450		297	275	447	213	128	174
ROPOR	D3	300	[mrl]	333	306	514	235	155 141	199
AEF	D2	200	[mm]	361	329	563	257	155	221
	D1	0	[mm] [mm] [mm] [mm]	418	368	646	316	191	269
		Carico	[kN]	189.93	192.83	190.78	193.47	193.96	193.18
		Sforzo	[kPa]	2687	2728	2699	2737	2744	2733
		Progressiva Sforzo Carico	[km]	0	0.05	0.1	0.15	0.2	0.25

					MEROP	DRTO "	FONT	ANARO	SSA" d	CATA	NIA - R	AEROPORTO "FONTANAROSSA" dI CATANIA - RACCORDO FOXTROT - ALLINEAMENTO CL	- ALLINEAMENT	00		
			D1	D2	D3	D4	D5	9Q	D7	D8	60	AGUTA GOOD			COORDINATE	COORDINATE GEOGRAFICHE
Na Si	Progressiva Sforzo Carico	Carico	0	200	300	450	009	006	600 900 1200 1500	1500	1800	CONGLOMERATO	SUPERFICIALE DELL'ARIA	TEMPERATURA DELL'ARIA	LATITUDINE	LONGITUDINE
	[kPa]	[kN]	[mm]	[um] [um] [um] [um]	[mm]		[mm]	[mm]	[mm] [mm] [mm] [mm]	[mm]	[mm]	[5]	[5.]	[,c]	[deg]	[deg]
7	2892	189.58 571	571	493	446	390	337	254	337 254 191 147 115	147	115	10.9	2.3	4.9	37.4678183	15.0761867
7	2714	191.84	425	380	355	318	284	228	183	147	120	10.9	2.5	4.9	37.4680083	15.076725
7	2672	188.87	639	576	529	454	390	284	509	162	127	10.9	2.6	4.8	37.4682217	15.0771767
7	2708	191.42	568	455	401	331	279	214	173	140	115	10.9	3.0	4.7	37.4685033	15.0776617
7	2755	194.74 191	191	160	147	135	127	27 113	102	91	81	10.9	3.2	4.6	37.468745	15.078075
2	2722	192.41	307	258	232	200	173	138	173 138 113 94	_	78	10.9	2.6	4.4	37.4691217	15.07807
										-		The same of the sa				

900 1200 1500 1800 BITUMINOSO SUPERFICIALE DELL'ARIA LATITUDINE LONGITUDINE [μm] [μm] [μm] ["C] ["C] ["C] [deg] Ideg] 264 192 143 113 10.9 2.4 5.1 37.4678017 15.0759567 178 151 127 107 10.9 2.8 5 37.4678017 15.0759567 272 196 148 117 10.9 2.7 5 37.46819 15.0764533 227 183 146 120 10.9 2.9 5 37.46842 15.0774183 227 183 18 10.9 2.8 5.1 37.4686917 15.07787 202 167 136 13 10.9 16 5 37.4686917 15.077065	D1 D2
[µm] [°C] [°C] [deg] 113 10.9 2.4 5.1 37.4678017 107 10.9 2.8 5 37.4679667 117 10.9 2.7 5 37.46819 120 10.9 2.9 5 37.46842 81 10.9 2.8 5.1 37.4686917 113 10.9 1.6 5 37.4686917	200 300 450 600
113 10.9 2.4 5.1 37.4678017 107 10.9 2.8 5 37.4679667 117 10.9 2.7 5 37.46819 120 10.9 2.9 5 37.46842 81 10.9 2.8 5.1 37.4686917 113 10.9 1.6 5 37.4686917	[kN] [μm] [μm] [μm] [μm] [μm] [μm] [μm]
107 10.9 2.8 5 37.4679667 117 10.9 2.7 5 37.46819 120 10.9 2.9 5 37.46842 81 10.9 2.8 5.1 37.4686917 113 10.9 1.6 5 37.4686917	580 518 437 369 264
117 10.9 2.7 5 37.46819 120 10.9 2.9 5 37.46842 81 10.9 2.8 5.1 37.4686917 113 10.9 16 5 37.468117	259 243 225 209 178
120 10.9 2.9 5 37.46842 81 10.9 2.8 5.1 37.4686917 113 10.9 16 5 37.468117	610 542 460 385 272
81 10.9 2.8 5.1 37.4686917 113 10.9 16 5 37.46617	403 368 321 283 227
113 10.9 16 5 37.0601/17	161 146 136 128 114
/T+T2011/C	336 309 274 248 202

		AER	OPOR	10 115	NITAN	AROSS	A" di C	ATANI	4 - RAC	AEROPORTO "FON TANAROSSA" di CATANIA - RACCORDO FOXTROT - ALLINEAMENTO 3 m SX	ALLINEAMENTO :	3m SX		
D1		0	D3	D4	D5	90	D7	D8	6Q	A CLITTAGE			COORDINATE	COORDINATE GEOGRAFICHE
0		200	300	450	009	006	600 900 1200 1500 1800	1500	1800	CONGLOMERATO BITUMINOSO	SUPERFICIALE DELL'ARIA	TEMPERATURA DELL'ARIA	LATITUDINE	LONGITUDINE
JII.	2	[kN] [µm] [µm] [µm] [µm]	[µm]	[mrl]	[mr	[mm]	[mm] [mm] [mm] [mm] [mm]	[mm]	[mm]	[5.]	[5.]	[,c]	[deg]	[deg]
2696 190.57 542	7	464	421	362	309	227	309 227 165 125	125	95	10.9	2.3	5.1	37.4678083	15.076035
2	44	190.43 544 460 413 356	413	356	311 238 185	238	185	142	114	10.9	2.6	5	37.4679883	15,07656
2706 191.28 4	451	394	367	332	300 246 199	246	$\overline{}$	152	120	10.9	2.6	5	37.4681933	15.0770433
	2680 189.44 625	510	446	386	335 251 188	251		145	116	10.9	3	5	37.468445	15.07749
193.18 2	215	163	145	133	125 112 102	112	102	68	80	10.9	2.7	5	37.4687	15.0779117
7	43	2745 194.03 243 196 179	179	161	150 131 112	131		97	83	10.9	2.4	·	37 4691117	15.078075

Tabella 49. RACCORDO FOXTROT - Dati acquisiti durante le indagini deflettometriche.

6.4.3 RACCORDO GOLF

SCHIUMATO BIT	SPESSOR E1 E1 E1 E1 E1 E1 E1 E1
E1 E1 CONGLOMERATO BITUMINOSO BITUMINOSO [mm] - 4848 - 4848 - 4848 - 4848	E1 E1 CONGLOMERATO BITUMINOSO BITUMINOSO [mm] - 4848 - 4848 - 4848 - 680 20986
SPESSORI FONDAZIONE SCHIUMATO Imml Imml 250 250 260 680	SPESSORI CONGLOMERATO BITUMINOSO BITUMINOSO CONGLOMERATO BITUMINOSO CONGLOMERATO BITUMINOSO CONGLOMERATO BITUMINOSO CONGLOMERATO BITUMINOSO CONGLOMERATO CONGLOM
SPESSORI FONDAZIONE Imml 250 260 .	SPESSORI CONGLOMERATO BITUMINOSO [mm] mm] [mm] mm] 280 280 240 240 250 240 250 250 250 250 250 250 250 250 250 25
	CONGLOMERATO BITUMINOSO Imml 280 280 240 240 230 230

		ERRORI	ASSOLUTO PERCENTUALE		8			1	2	2	
		E	ASSOLUTO		E E		2	,	-	1	The second secon
				1	NS		-0.16	2	-C.44	-0.35	
			COSTANTI EQUAZIONE DEL MODULO	-	3		100	1	S	144	
	1		INTI EQUAZI	014	NZ		000		00.0	0.02	
			7200 COST	3	7		284	2002	1090	5238	
		E220°C	SCHIUMATO ALLA TEMPERATURA DI RIFERIMENTO	[March	[wha]			5647	2017	3898	
		E120°C	CONGLOMERATO BITUMINOSO ALLA TEMPERATURA DI	[Mana]	NABODADII E	NOIN ECABONABILE	2292	7616	1010	7906	
		Ee	SOTTOFONDO EQUIVALENTE	[Mps]	NON	NON E	735	4737		4317	
	MODULI DI RIGIDEZZA	Es	SOTTOFONDO	[Mns]			109	212		525	200
	MODUL		SCHIUMATO	[Mpa]		The second secon	1	7696	1000	5345	22.67
AEROPORTO "FONTANAROSSA" di CATANIA - RACCORDO GOLF - ALLINEAMENTO 5m DX		E2	FONDAZIONE	[Mpa]			284				
		E1	CONGLOMERATO	[mm]			4179	13887	14416	Teleta	16010
			SCHIUMATO					650	CAO	255	660
	SPESSORI		FONDAZIONE	[mm]	230	200	730	1			,
			CONGLOMERATO	[mm]	280	220	730	230	200		200
			PROGRESSIVE	[km]	0	20.0	60.00	0.106	0.15		0.19

		ERRORI	ASSOLUTO PERCENTUALE	-	Mm 1%	4 2	4			-	,
	-			1	S	0.05	-0.01	240	CT.O.	-0.02	000
1	ı		COSTANTI EQUAZIONE DEL MODULO	8	3	302	179	105	722	476	200
ŀ	ŀ		NTI EQUAZIO MODULO	CIA	7	0.14	60'0	8	3	0.00	200
			COSTA	3	3	1360	519	2204	4.034	3031	2004
		E2anc	SCHIUMATO ALLA TEMPERATURA DI RIFERIMENTO	[Mas]	BAIAI			1746	OL/I	2210	6633
AMENTO CL		£120°C	CONC BITUN TEMP	[Mna1		1626	7041	8804	00100	8130	11218
O GOLF - ALLINE		Ee	SOTTOFONDO EQUIVALENTE	[Mna]		1124	1289	3070	3053	2027	2550
NIA - RACCORD	MODULI DI RIGIDEZZA	Es	SOTTOFONDO	[Mba]	000	987	180	241	AOE	COT	432
ONTANAROSSA" di CATANIA - RACCORDO GOLF - ALLINEAMENTO CL	MODUL		SCHIUMATO	[Mpa]			1	2394	2024	2022	7648
AEROPORTO "FON		£2	FONDAZIONE	[Mpa]	974	7/7	473	•			
A.		E1	CONGLOMERATO BITUMINOSO	[mm]	2964		12839	16054	14824		20638
			SCHIUMATO					720	630	000	980
	SPESSORI	STESSON	FONDAZIONE SCHIUMATO	[mm]	290	000	2000	,			
			CONGLOMERATO	[mm]	280	230	730	077	220	210	OTZ
			PROGRESSIVE	[km]	0	200	200	1.0	0.15	0.18	0.10

w	и	J		
-				

LE SE	5	/iz	io	S\Tecnolo	Qi T					i T
RELAZIONE TECNICA			ERRORI	ASSOLUTO PERCENTUALE	[0/1	8	,	1,	-	
LAZIONE			iii	ASSOLUTO	freeli	9		7 -	-	
W.				E DEL	Ne	2	100	-0.20	-0.28	0 20
		-		COSTANTI EQUAZIONE DEL MODULO	0	355	207	171	╄	┺
		ı		ANTI EQ MOE	CN	0 17	3	8 6	╄~	
	ì	L		COST	3	878	250	7893	13944	7448
			E220°C	SCHIUMATO ALLA TEMPERATURA DI RIFERIMENTO	[Mna]			5756	5760	10794
	MENTO 5m SX		Elzorc	BITUN TEMP	[Mpa]	4429	0410	12624	12571	9068
	GOLF - ALLINEA		Ee	SOTTOFONDO EQUIVALENTE	[Mba]	1700	1166	4682	4667	5628
	A - RACCORDO	MODULI DI RIGIDEZZA	Es	SOTTOFONDO	[Mpa]	266	66	249	237	272
	AEROPORTO "FONTANAROSSA" di CATANIA - RACCORDO GOLF - ALLINEAMENTO 5m SX	MODUL	2	SCHIUMATO	[Mpa]	2	9	7893	7899	14803
	AEROPORTO "FONTA		FONDAZIONE [Mpa] [Mpa] 124	1010		-				
	AER		E1	CONGLOMERATO	[mm]	8076	8042	23019	22921	16530
				SCHIUMATO		,	,	650	640	570
ıla S.p.A.		CDECCODI	NOSCO IC	FONDAZIONE	[mm]	230	290		1	٠
Società Aeroporto Catania S.p.A.				CONGLOMERATO	[mm]	300	250	200	170	190
Società Aer				PROGRESSIVE	[km]	0	0.05	0.1	0.15	0.17

		ERRORI	ASSOLUTO PERCENTUALE	Ne frim	3	0.00		0.19	7 7 7
			ONE DE	2	۲	+	+	╅	+
			MODULO	N2	+	┸	┸	_	3 5
			COSTANTI EQUAZIONE DEL MODULO	H	1.	٠	+	1	+
		Г	1	3	52	17,	F	2 7	2 8
		E2sur	SCHIUMATO ALLA TEMPERATURA DI RIFERIMENTO	[Mna]			CEDA	5324	3203
MENTO 3m SX	The second second	Elanc	CONGLOMERATO BITUMINOSO ALLA TEMPERATURA DI RIFERIMENTO	[Mpa]	545	4333	11.443	9784	10005
SOLF - ALLINEAN		Ee	SOTTOFONDO EQUIVALENTE	[Mpa]	1071	1304	1777	4435	2494
A - RACCORDO C	EZZA	Es	SOTTOFONDO	[Mpa]	278	135	229	276	292
FONTANAROSSA" di CATANIA - RACCORDO GOLF - ALLINEAMENTO 3m SX	MODULI DI RIGIDEZZA		SCHIUMATO	[Mpa]	4	2	7576	8032	9565
AEROPORTO "FONT		E2	FONDAZIONE	[Mpa]	5216	1744	٠		5
		E1	CONGLOMERATO BITUMINOSO	[mm]	1176	7901	20865	17840	19048
			ONDAZIONE SCHIUMATO				029	630	290
	CDECCODI		FONDAZIONE	[mm]	270	270	,	1	1
			CONGLOMERATO	[mm]	300	250	190	190	200
			SIVE	[km]	0	0.05	0.1	0.15	0.18

Tabella 50. RACCORDO CHARLIE - Risultati delle indagini deflettometriche.

TECNICA Service Servic	TS vizio Tec	Mo nologico Sp	ber	ime	ent	Sr	713
RELAZIONE TECNICA BURGE	EOGRAFICHE	LONGITUDINE	[deg]	15.0808017	15.0809433	15.08087	

					EROP	"ORTO	FONTA	NARO	35.V. cl	CALCA	IIA - RA	AEROPORTO "FONTANAROSSA" di CATANIA - RACCORDO GOLF - ALLINEAMENTO 3m DX	LINEAMENTO 3n	XQ t		
			D1	D2	D1 D2 D3	D4	05	9Q	D7 D8 109	D8	6Q a	TEMPERATURA			COORDINATE	COORDINATE GEOGRAFICHE
Progressiva Sforzo Carico	Sforzo	Carico	0	200	300	450	009	006	900 1200 1500 1800	1500	1800	CONGLOMERATO BITUMINOSO	SUPERFICIALE	SUPERFICIALE DELL'ARIA	LATITUDINE	LATITUDINE LONGITUDINE
[km]	[kPa]	[kN] [µm] [µm] [µm] [µm] [µm] [µm] [µm]	[mm]	[mm]	[mm]	[mm]	[mm]	[mm]	[mm]	[mm]	[mm]	D.J	l-Cl	[°C]	[deg]	[deg]
0	2664	188.31 794	794	650	464	273	189	189 142	118	66	87	10.9	1.9	4.5	37.46827	15.0808017
0.05	2674	189.01 823	823	069	616	520	440	329	440 329 245 185		147	10.9	2.7	4.6	37.4686917	15.0809433
0.1	2766	195.52 143 119 110	143	119	110	101	95	95 82 72	72	63	54	10.9	2.3	4.6	37.469205	15.08087
0.158	2758	194.95	160	128	116	103	96	82	0/	59	51	10.9	2	4.6	37.4695533	15.0805433
0.19	2743	193.89 121	121	94	98	79	74	99	61	54	49	10.9	2.1	4.6	37 4696383	15.08019

				A	EROP	AEROPORTO "FO	FONTA	NARO	SSA" di	CATAN	IA - RA	INTANAROSSA" di CATANIA - RACCORDO GOLF - ALLINEAMENTO 5m DX	LINEAMENTO 5m	DX		THE PERSON NAMED IN
			D1	D2	D3	D4	D5	90	D6 D7	D8	60	TEAMDEDATIONA			COORDINATE	COORDINATE GEOGRAFICHE
Progressiva Sforzo Carico	Sforzo	Carico	0	200	300	450	009	006	1200	900 1200 1500 1800		CONGLOMERATO	SUPERFICIALE DELL'ARIA	TEMPERATURA DELL'ARIA	LATITUDINE	LATITUDINE LONGITUDINE
[km]	[kPa]	[kN] [µm] [µm] [µm]	[mm]	[mm]	[mrl]	[mr]	[mm]	[mrl]	[mr]		[mm]	l'Cl	I°CI	[]CJ	[deg]	[ded]
0	2677	189.23 671 509 368 231	671	509	368	231	177	143	177 143 119 103	103	88	10.9	2	4.6	37 46877	15 0808267
0.05	2639	186.54 945	945	807	722	604		343	504 343 240 182	1	141	10.9		4.5	37 4687433	15 0809533
0.106	2753	2753 194.6 153 121 109	153	121	109	66	93	80	2	99	53	10.9	2.3	4.5	37.46921	15 0808833
0.15	2755	2755 194.74 168 129 116	168	129	116	104	95	80	69	58	51	10.9	2	4.5	37.4695433	15.080585
0.19	2752	2752 194.53 131 101 92	131	101	92	83	78	89	61	54	48	10.9	2.2	4.5	37.4696617	15 0801833
																20000

SE ST Servizio	S\ Tecnolo	10b gico Sperii			
RELAZIONE TECNICA TIBOINE	EOGRAFICHE	LONGITUDINE	[deg]	15.080765	15.0809083

URA TEMPERATURA TEMPERATURA 250 SUPERFICIALE DELL'ARIA 1.9 4.5 1.6 4.5 1.6 4.5 2.4 4.5					AERO	AEROPORTO		ITANA	ROSSA	di CAT	- AINA	"FONTANAROSSA" di CATANIA - RACCORDO GOLF - ALLINEAMENTO C	ALLINEAMENTO	r d		
CONGLOMERATOR TEMPERATURA TEMPERATURA			D1				D5	90	D7	D8	D9	TEMPERATIERA			COORDINATE	COORDINATE GEOGRAFICHE
[kN] [µm] [µm] <th< th=""><th>0</th><th>Carico</th><th>0</th><th></th><th>300</th><th>450</th><th>009</th><th>006</th><th>1200</th><th>1500</th><th>1800</th><th></th><th>TEMPERATURA</th><th>TEMPERATURA DELL'ARIA</th><th>LATITUDINE</th><th>LATITUDINE LONGITUDINE</th></th<>	0	Carico	0		300	450	009	006	1200	1500	1800		TEMPERATURA	TEMPERATURA DELL'ARIA	LATITUDINE	LATITUDINE LONGITUDINE
188.66 625 459 387 317 273 218 177 144 118 10.9 1.9 4.5 190.64 551 487 452 409 360 291 230 181 146 10.9 2.5 4.5 195.38 237 203 187 169 154 130 111 94 82 10.9 1.6 4.5 4.5 195.16 195 163 17 96 82 68 59 10.9 1.6 4.5 4.5 195.23 131 106 94 85 77 68 62 54 50 10.9 2.4 4	-		[mm]	[mm]	[mm]	[mm]	[mm]	[mm]	[mm]	[mm]	[mm]		[].	[°C]	[deg]	[deg]
190.64 551 487 452 409 360 291 230 181 146 10.9 2.5 4.5 4.5 195.38 237 203 187 169 154 130 111 94 82 10.9 1.6 4.5 195.13 147 130 117 96 82 68 59 10.9 1.6 4.5 195.23 131 106 94 85 77 68 62 54 50 10.9 2.4 44	6	_	625	459	387	317	273	218	177	144	118	10.9	1.9	4.5	37.46827	15,080765
195.38 237 203 187 169 154 130 111 94 82 10.9 1.6 4.5 195.16 199 163 147 130 117 96 82 68 59 10.9 1.6 4.5 195.23 131 106 94 85 77 68 62 54 50 10.9 2.4 44	5		551				360	291	230	181	146	10.9	2.5	4.5	37.4686933	15.0809083
195.16 199 163 147 130 117 96 82 68 59 10.9 1.6 4.5 195.23 131 106 94 85 77 68 62 54 50 10.9 2.4 44	4	195.38	237		$\overline{}$		154	130	111	94	82	10.9	1.6	4.5	37.469175	15.080845
195.23 131 106 94 85 77 68 62 54 50 10.9 2.4 4.4	7		199	163	147	130		_	82	68	59	10.9	1.6	4.5	37.4695433	15.0804967
	73					_	77	89	62	54	20	10.9	2.4	4.4	37.4696117	15 0801967

- IN THE				A	LEROPC	" OTAC	FONTA	NARO	55A" d	CATA	VIA - RA	AEROPORTO "FONTANAROSSA" di CATANIA - RACCORDO GOLF - ALLINEAMENTO 5m SX	LINEAMENTO 5m	SX	THE THE	
			D1	D2	D3	D4	05	90	D7	08	60	ACITACIONAL			COORDINATE	COORDINATE GEOGRAFICHE
Progressiva Sforzo Carico	Sforzo	Carico	0		200 300 450	450	009	006	1200 1500 1800	1500	1800	CONGLOMERATO	SUPERFICIALE DELL'ARIA	TEMPERATURA DELL'ARIA	LATITUDINE	LATITUDINE LONGITUDINE
[km]	[kPa]	[kN] [µm] [µm] [µm] [µm]	[mm]	[mm]	[mm]	[mm]	[mm]	[mm]	[mm] [mm] [mm] [mm]	[mm]	[mm]	l°Cl	[J _e J	[].[]	أراهما	[deal
0	2686	189.86 416 366 330 282	416	366	330	282	242	192	242 192 156 130 109	130	109	10.9	1.8	4.8	37 468755	15 08067
0.05	2663	188.24	601	535	501	456		324	253 195	195	152	10.9	2.2	4.8	37.4686817	15 0808467
0.1	2757	194.88 155	155	133	125	117	109	97	98	77	89	10.9	2.2	848	37 469155	15 0807783
0.15	2748	2748 194.24 155 127 115 106	155	127	115	106	98	85	74	63	55	10.9	2.1	8.4	37,4694983	15 0804467
0.17	2758	194.95 129 102 92	129	102	92	85	80	71	71 64 57	57	51	10.9	2.5	4.8	37.4695467	15.0801967
																1000000

			5	
ЭV	OBI	RELAZIONE TECNICA	Ser	

	OGRAFICHE	LONGITUDINE	[deb]	15.0806983	15.0808667	15.0808117	15 080515	15.0802017	
TANAROSSA" di CATANIA - RACCORDO GOLF - ALLINEAMENTO 3m SX	COORDINATE GEOGRAFICHE	LATITUDINE	[deg]	9	+	┝	37.4691367		
		EMPERATURA TEMPERATURA SUPERFICIALE DELL'ARIA	[°C]	4.6	4.6	4.6	4.7	4.7	
		TEMPERATURA	D ₂ J	1.9	2.6	1.9	1.9	2.3	
	TEMBERATIERA	CONGLOMERATO	[],[]	10.9	10.9	10.9	10.9	10.9	
	60		[mm]	109	157	9/	59	50	
GATAR	D8	900 1200 1500 1800	[mn] [mn] [mn] [mn] [mn] [mn] [mn] [mn]	128	194	85	99	55	
SSA" di	D7	1200	[mm]	224 187 158 128	242	96	9/	61	
INARRO	90	006	[mm]	187	297	108	85	89	
FONT	DS	009	[mm]	224	364	120	101	79	
AEROPORTO FON	D4	450	[mm]	243	404	128	110	85	
VEROP	D3	200 300	[mm]	320 278	447	137	120	95	
A	D2	200	[mr]	320	479	146	130	105	
	D1	0	[mm]	658	542	169	162	132	
		Carico	[kN]	189.3	2684 189.72	2742 193.82 169	192.9 162 130 120	2750 194.39 132 105	
		Sforzo	[kPa]	2678	2684	2742	2729	2750	
		Progressiva Sforzo Carico	[km]	0	0.05	0.1	0.15	0.18	

SMobile Srl Tecnologico Sperimentale

Tabella 51. RACCORDO GOLF - Dati acquisiti durante le indagini deflettometriche.



7 PARAMETRI ACN E PCN E VITA UTILE RESIDUA

Si riportano di seguito i parametri ACN e PCN e VITA UTILE RESIDUA riscontrati a seguito delle indagini svolte.

Tali parametri sono stati determinati in accordo alle leggi di fatica dei conglomerati bituminosi riportata al paragrafo 6.3 mentre per gli strati di fondazione e sottofondo si è fatto riferimento alle relazioni note in letteratura rispettivamente del CROW (Technology Platform for Transport, Infrastructure and Public Space) e di Kirk.

Il traffico annuale utilizzato per l'elaborazione relativo ad un periodo di 20 anni è riportato in Tabella 8.

Le tabelle sotto riportate indicano i valori di ACN e PCN e di VITA UTILE RESIDUA per ciascuna postazione di prova.



RELAZIONE TECNICA

Società Aeroporto Catania S.p.A.

7.1 PISTA DI VOLO

		_	_	_			_								_	_					_	_	_	_		_	_
3mDX DELLA		A320-200 Dual	A320-200 Dual	A320-200 Dual	A320-200 Dual	A320-200 Dual	A320-200 Dual	F/A/W/T A320-200 Dual	A320-200 Diral	A320-200 Dual	A320-200 Dual	A320-200 Dual	A320-200 Dual														
PISTA DI VOLO ALLINEAMENTO 3mDX DELLA CENTER LINE 100% DEI MOVIMENTI COMPLESSIVI		F/A/W/T	F/A/W/T	R/D/W/T	F/A/W/T	F/A/W/T	F/A/W/T	F/A/W/T	F/A/W/T	F/A/W/T	F/A/W/T	F/A/W/T	F/A/W/T	F/A/W/T	F/A/W/T	F/A/W/T	F/W/T	F/A/W/T	F/A/W/T	F/A/W/T							
		39	39	20	39	39	39	39	39	39	39	39	39	39	39	39	39	39	39	39	39	39	39	30	30	39	39
		80	120	120	120	120	75	54	120	8	86	82	76	79	29	66	120	117	120	120	116	120	120	120	120	89	89
		1.304	1.354	1.404	1.454	1.504	1.554	1.604	1.654	1.704	1.754	1.804	1.854	1.904	1.954	2.004	2.054	2.104	2.154	2.204	2.254	2.304	2.354	2.404	2.454	2.504	2.554
PISTA DI VOLO ALLINEAMENTO 3mDX DELLA CENTER LINE 100% DEI MOVIMENTI COMPLESSIVI	Critical aircraft	A320-200 Dual	A320-200 Diral	A320-200 Dual	A320-200 Dual	A320-200 Dual	A220 200 Due 1	A320 200 Dual	A320 200 Duai	A320-200 Duai	A320-200 Dual	A320-200 Dual	A320-200 Dual	A320-200 Dual	A320-200 Dual												
A DI VOLO ALLINEAMENTO 3mDX DE CENTER LINE 100% DEI MOVIMENTI COMPLESSIVI	Code	F/W/T	F/W/T	F/A/W/T	F/A/W/T	E/A/W/T	E/A/W/T	T/W/V/3	F/A/W/1	1/W/W/	r/A/w/1	F/A/W/	F/A/W/T	F/A/W/T	F/A/W/T	F/A/W/T	F/A/W/T	F/W/T	F/W/T	F/A/W/T							
CEN CEN MOVI	ACN	39	39	33	39	39	39	39	39	39	39	စ္တ	30	3 8	3 8	2	2	ล	3	93	33	33	39	39	39	39	33
VOLC	PCN	9	120	120	103	120	120	120	101	120	120	120	71	1 02	e c	3 8	3 6	1 1	?	170	91	8	86	47	32	120	120
PISTA DI	Station	0.204	0.224	0.244	0.264	0.284	0.304	0.354	0.404	0.454	0.504	0.554	0.604	0.654	707.0	0.704	0.734	0.004	0.854	0.904	0.954	1.004	1.054	1.104	1.154	1.204	1.254
VOLO ALLINEAMENTO CENTER LINE 5 DEI MOVIMENTI COMPLESSIVI	Life (years)	20	20	20	20	20	20	20	20	20	20	20	20	20	200	20 20	2 2	20 20	07	70	20	20	20	20	20	20	20
PISTA DI VOLO ALLINEAMENTO CENTER LINE 100% DEI MOVIMENTI COMPLESSIVI	Station	0.204	0.304	0.404	0.504	0.604	0.704	0.804	0.904	1.004	1.104	1.204	1.304	1.404	1 504	1.504	1,004	1.704	1.804	1.904	2.004	2.104	2.204	2.304	2.404	2.504	2.544
PISTA DI VOLO ALLINEAMENTO CENTER LINE 100% DEI MOVIMENTI COMPLESSIVI	Critical aircraft	A320-200 Dual	A320-200 Dual	A320-200 Dual	A320-200 Dual	A320-200 Dual	A320-200 Dual	A320-200 Dual	A320-200 Dual	4320-200 Duai	A320-200 Duai	A320-200 Dual	A320-200 Dual	A320-200 Dual	A320-200 Dual	A320-200 Dual	A320-200 Dual	F/A/W/T A320-200 Dual									
A DI VOLO ALLINEAMENTO CENTER I 100% DEI MOVIMENTI COMPLESSIVI	Code	F/A/W/T	F/A/W/T	F/A/W/T	F/A/W/T	F/A/W/T	E/A/W/T	E/A/W/T	-/2/2/1	T/W/W/	F/A/W/	F/A/W/T	F/A/W/T	F/A/W/T	F/A/W/T	F/A/W/T	F/A/W/T	F/A/W/T									
OLO AI	ACN	39	39	39	39	39	39	39	39	39	39	33	33	-	Ļ.,	-	4-	╄-	4	+	4	4	33	33	33	33	39
0 %00	PC	120	120	120	120	120	120	120	120	120	116	120	107	1	1	+	_	+-	+	+	173	틸	120	120	120	120	120
PISTA	Station PCN ACN	0.204	0.304	0.404	0.504	0.604	0.704	0.804	0.904	1.004	1.104	1.204	1.304	1.404	1.504	1,604	1 704	100	7.00	1.304	2.004	2.104	2.204	2.304	2.404	2.504	2.544

OIOV IO VISIO	ALLINEAMENTO 3msX DELLA	CENTER LINE 100% DEI	MOVIMENTI COMPLESSIVI	Life (years)	20	20	20	20	20	20	20	20	07	70	20	20	20	20	200	707	20	20	20	20	20	20	07	20	20	20
old	ALLINEAM	CENTER	MOVIME	Station	0.204	0.224	0.244	0.264	0.284	0.304	0.354	0 404	0.10	0.454	0.504	0.554	0.604	0.654	707.0	0.70	0.754	0.804	0.854	0.904	0.954	1 004	50:	1.054	1.104	1.154
	PISTA DI VOLO ALLINEAMENTO 3mSX DELLA	MPLESSIVI		A320-200 Dual	A320-200 Dual	A320-200 Dual	A320-200 Dual	A320-200 Dual	A320-200 Dual	A320-200 Dual	A320-200 Dual	A320-200 Dual	A320-200 Dual	A320-200 Dual	A320-200 Dual	A320-200 Dual	A320-200 Dual	A320-200 Dual	A320-200 Dual	A320-200 Dual	A320-200 Dual	A320-200 Dual	A320-200 Dual	A320-200 Dual		A320-200 Dual	A320-200 Dual	A320-200 Dual	A320-200 Dual	F/A/W/T A320-200 Dual
	ALLINEAMENT	100% DEI MOVIMENTI COMPLESSIVI		F/A/W/T	F/A/W/T	F/A/W/T	F/A/W/T	F/A/W/T	F/A/W/T	F/A/W/T	F/A/W/T	F/A/W/T	F/A/W/T	F/W/Y	F/A/W/T	F/A/W/T	F/A/W/T	F/A/W/T	F/A/W/T	F/A/W/T	F/A/W/T	F/A/W/T	F/A/W/T	F/A/W/T	F/A/W/T	F/A/W/T	F/A/W/T	F/A/W/T	F/A/W/T	F/A/W/T
	OLO AL	EI MO		33	-	-	_	2 0	_	_	39	39	39	39	39	39	39	39	39	39	_	39	39	_	_	39	39	39	33	39
	A DI V	100% C	-	11	+	_	_	100			41	120	54	102	114	69	87	52	105	120	120	120	120	118	\rightarrow	110	120	120	88	62
	PIST	•		1.204	1.254	1.304	1.354	1.404	1.504	1.554	1.604	1.654	1.704	1.754	1.804	1.854	1.904	1.954	2.004	2.054	2.104	2.154	2.204	2.254	2.304	2.354	2.404	2.454	2.504	2.554
	VOLO ALLINEAMENTO 3mSX DELLA	MDIFCCIVI			Critical aircraft	A320-200 Dual	A320-200 Dital	A320-200 Dual	A320-200 Dual	A320-200 Duai	A320-200 Dual	12.00 00C 0C5V	A320-200 Dual	A320-200 Dual	A320-200 Dual	A320-200 Dual														
;	LINEAMENT	CENTER LINE			Code	F/A/W/T	E/A/W/T	1/20/0/1	r/A/w/1	F/A/W/1	F/A/W/T	F/A/W/T	F/A/W/T	F/A/W/T	F/A/W/T	F/A/W/T	E/A/A//T	L/W/W/1	F/A/W/T	F/A/W/T	F/A/W/T									
	OLO AL	DEI MO	2		~1	33	33	33	39	39	33	33	39	39	39	ő	3 8	n a	39	39	39	39	39	39	39	30	5	39	33	39
		100%		L	S S	9	120	120	77	102	8	120	120	120	112	ĸ	2 5	à	2	8	59	62	113	120	120	07	/6	目	62	45
	PISTA DI	7	Í		Station	0.204	0.224	0.244	0.264	0.284	0.304	0.354	0.404	0.454	0.504	0.554	7000	0.00	0.654	0.704	0.754	0.804	0.854	0.904	0.954	1 004	1.00	1.054	1.104	1.154
PISTA DI VOLO	ALLINEAMENTO 3mDX DELLA	MOVIMENTI COMPLESSIVI	Life (years)	20	20	20	20	20	20	20	50	20	20	20	20	20	20	20	20	000	02	20	200	200	200	2 2	07	20	20	20
PISTA	ALLINEAMENT CENTER III	MOVIMENTI	Station	1.304	1.354	1.404	1.454	1.504	1.554	1.604	1.654	1.704	1.754	1.804	1.854	1.904	1.954	2.004	2.054	2 104	2 154	2 204	2.204	2.234	2.304	404.0	2.404	2.454	2.504	2.554
PISTA DI VOLO	ALLINEAMENTO 3mDX DELLA	MOVIMENTI COMPLESSIVI	Life (years)	20	20	20	20	20	20	20	20	20	20	30	2 6	02/2	07	20	20	20	20	20	20	20	20	30	07	12	20	20
PISTA	ALLINEAMEN	MOVIMENT	Station	0.204	0.224	0.244	0.264	0.284	0.304	0.354	0.404	0.454	0.504	0.554	1000	100.0	0.054	0.704	0.754	0.804	0.854	0.904	0.954	1.004	1.054	1 104	1.10	1.154	1.204	1.254

pag. 109



_					_	_	_		_	_	_	_		_	_	_	_	_	_	_		_												
PISTA DI VOLO ALLINEAMENTO	10ms X DELLA CENTER LINE	100% DEI MOVIMENTI	COMPLESSIVI	Life (years)	20	20	20	20	20	20	20	20	20	20	20	202	02	07	6	20	20	20	20	20	20	20	20	20	20	20	20	20	20	20
PISTA DI VOL	10ms X DEL	100% DE	COM	Station	0.204	0.224	0.244	0.264	0.284	0.304	0.404	0.504	0.604	0.704	0.804	0 904	1000	1.004	1.104	1.204	1.304	1.404	1.504	1.604	1.704	1.804	1.904	2.004	2.104	2.204	2.304	2.404	2.504	2.554
	PISTA DI VOLO ALLINEAMENTO 10mSX DELLA		MPLESSIVI		Critical aircraft	A320-200 Dual	F/A/W/T A320-200 Dual	F/A/W/T A320-200 Dual																										
	INEAMENTO	CENTER LINE	100% DEI MOVIMENTI COMPLESSIVI		Code	F/A/W/T	F/A/W/T	F/A/W/T	F/A/W/T	-	. 1	-+	-	F/A/W/T /	F/A/W/T	F/A/W/T	F/A/W/T	F/A/W/T	F/A/W/T	F/A/W/T	F/A/W/T	F/A/W/T	F/A/W/T	F/A/W/T		_		-	+	-	+-	-	-	F/A/W/T
	O ALI	핑	ΩW		ACN	39	39	39	33	33	జ	33	93	33	33	33	39	39	39	33	39	95	36	39	39	33	39	39	39	39	33	33	39	33
	1001		3% DE		PCN	42	65	51	8	8	8	120	120	45	120	52	61	48	30	91	99	75	111	40	47	62	82	99	120	120	8	120	83	49
	PISTA [100		Station	0.204	0.224	0.244	0.264	0.284	0.304	0.404	0.504	0.604	0.704	0.804	0.904	1.004	1.104	1.204	1.304	1.404	1.504	1.604	1.704	1.804	1.904	2.004	2.104	2.204	2.304	2.404	2.504	2.554
PISTA DI VOLO ALLINEAMENTO	10mDX DELLA CENTER LINE	100% DEI MOVIMENTI	COMPLESSIVI	Life (years)	20	20	20	20	20	20	20	20	20	20	20	20	20	2 22	07	707	20	20	20	20	20	20	20	20	20	20	20	•	20	20
PISTA DI	10mDX	100%		Station	0.204	0.224	0.244	0.264	0.284	0.304	0.404	0.504	0.604	0.704	0.804	0.904	1 004	1 104	101.1	1.204	1.304	1.404	1.504	1.604	1.704	1.804	1.904	2.004	2.104	2.204	2.304	2.404	2.504	2.554
	PISTA DI VOLO ALLINEAMENTO 10mDX DELLA		MPLESSIVI		Critical aircraft	A320-200 Dual	A320-200 Dual	A320-200 Dual	A320-200 Dual	A320-200 Dual	A320-200 Dual	A320-200 Dual	A320-200 Dual	A320-200 Dual	A320-200 Dual	A320-200 Dual	A320-200 Dual	A320-200 Dual	A320-200 Dual	•	A320-200 Dual	A320-200 Dual												
	INEAMENT	CENTER LINE	100% DEI MOVIMENTI COMPLESSIVI		Code		F/A/W/T	F/A/W/T	39 F/A/W/T	F/A/W/T				F/A/W/T	F/A/W/T	F/A/W/T	F/A/W/T	F/A/W/T	F/A/W/T	F/A/W/T	F/A/W/T	F/A/W/T	F/A/W/T	F/A/W/T	F/A/W/T	F/A/W/T	F/A/W/T		F/A/W/T	F/A/W/T	F/A/W/T	'	F/A/W/T	F/A/W/T
	LO ALI		M M		ACN	_	_	-				ㅗ	٠.	_	4	4	4	93	33	33		_	_	33	39	39	33	39	39	39	39	•	39	39
	0 7	ò	0% 0%		N S	8	¹²	8	23	170	170	114		22	178	22	22	120	72	120	120	120	92	116	93	100	66	62	120	111	92	·	8	23
	PISTA (01		Station	0.204	0.224	0.244	0.264	0.284	0.304	0.404	0.504	0.604	0.704	0.804	0.904	1.004	1.104	1.204	1.304	1.404	1.504	1.604	1.704	1.804	1.904	2.004	2.104	2.204	2.304	2.404	2.504	2.554
PISTA DI VOLO	ALLI NEAMENTO 3ms X DELLA	CENTER LINE 100% DEI	MOVIMENTI COMPLESSIVI	Life (years)	20	20	20	20	20	20	20	20	20	20	200	02/02	707	20	20	20	20	20	200	200	22	200	07	20	20	20	20	20	20	20
PIS	ALLINEAN	CENTE	MOVIME	Station	1.204	1.254	1.304	1.354	1.404	1.454	1.504	1.554	1.604	1 654	1 704	1 1	T./54	1.804	1.854	1.904	1.954	2.004	2.054	2 104	2 454	2004	2.204	7.254	2.304	2.354	2.404	2.454	2.504	2.554

	1 1 1										_		_		_
	Life 20	20	20		Life	20	20	20	20		Life	20	20	1	20
PISTA DI VOLO TESTATA 08 - ALLINEAMENTO 3mSX 100% DEI MOVIMENTI COMPLESSIVI	Critical aircraft A320-200 Dual	A320-200 Dual A320-200 Dual	1	PISTA DI VOLO TESTATA 08 - ALLINEAMENTO 10mSX 100% DEI MOVIMENTI COMPLESSIVI	Critical aircraft	A320-200 Dual	A320-200 Dual	A320-200 Dual	A320-200 Dual	PISTA DI VOLO TESTATA 08 - ALLINEAMENTO 20mSX 100% DEI MOVIMENTI COMPLESSIVI	Critical aircraft	A320-200 Dual	A320-200 Dual	1	A320-200 Dual
I VOLO TESTATA 08 - ALLINEAMENT	Code R/A/W/T	R/A/W/T	1	I VOLO TESTATA 08 - ALLINEAMENTC 100% DEI MOVIMENTI COMPLESSIVI	Code	R/A/W/T	R/A/W/T	R/A/W/T	R/A/W/T	I VOLO TESTATA 08 - ALLINEAMENTC 100% DEI MOVIMENTI COMPLESSIVI	Code	R/A/W/T	R/A/W/T	9	R/A/W/T
/OLO TESTAT. 3% DEI MOVI	ACN 50	50		OLO TESTATA 3% DEI MOVI	ACN	20	50	50	50	OLO TESTATA)% DEI MOVI	ACN	50	50	a	50
PISTA DI V	PCN 68	120		PISTA DI VO	PCN	99	116	93	57	PISTA DI VO	PCN	67	78		59
	Station 0.04	0.08	0.16		Station	0.04	0.08	0.12	0.16		Station	0.04	0.08	0.12	0.16
	Life 20	20	20		Life	20	20	20	20		Life	20	20	20	20
PISTA DI VOLO TESTATA 08 - ALLINEAMENTO 3mDX 100% DEI MOVIMENTI COMPLESSIVI	Critical aircraft A320-200 Dual	- A320-200 Dual	A320-200 Dual	PISTA DI VOLO TESTATA 08 - ALLINEAMENTO 10mDX 100% DEI MOVIMENTI COMPLESSIVI	Critical aircraft	A320-200 Dual	A320-200 Dual	A320-200 Dual	A320-200 Dual	PISTA DI VOLO TESTATA 08 - ALLINEAMENTO 20mDX 100% DEI MOVIMENTI COMPLESSIVI	Critical aircraft	A320-200 Dual	A320-200 Dual	A320-200 Dual	A320-200 Dual
il VOLO TESTATA 08 - ALLINEAMENTO 100% DEI MOVIMENTI COMPLESSIVI	Code R/B/W/T	R/A/W/T	R/A/W/T	I VOLO TESTATA 08 - ALLINEAMENTC 100% DEI MOVIMENTI COMPLESSIVI	Code	R/A/W/T	R/A/W/T	R/A/W/T	R/A/W/T	VOLO TESTATA 08 - ALLINEAMENTC 100% DEI MOVIMENTI COMPLESSIVI	Code	R/A/W/T	R/A/W/T	R/A/W/T	R/A/W/T
OLO TESTAT/)% DEI MOVI	ACN 50	50	50	DLO TESTATA 1% DEI MOVI	ACN	20	50	20	20	OLO TESTATA % DEI MOVI	ACN	50	50	20	50
PISTA DI V	PCN 120	120	120	PISTA DI V(PCN	66	58	82	63	PISTA DI VC	PCN	65	89	09	50
	Station 0.04	0.12	0.16		Station	0.04	0.08	0.12	0.16		Station	0.04	0.08	0.12	0.16

							_						_		_	_	_
	Life	20	20	20	20		Life	20	20	,	20		Life	20	20	1	20
PISTA DI VOLO TESTATA 26 - ALLINEAMENTO 3mSX 100% DEI MOVIMENTI COMPLESSIVI	Critical aircraft	A320-200 Dual	A320-200 Dual	A320-200 Dual	A320-200 Dual	PISTA DI VOLO TESTATA 26 - ALLINEAMENTO 10mSX 100% DEI MOVIMENTI COMPLESSIVI	Critical aircraft	A320-200 Dual	A320-200 Dual	1	A320-200 Dual	PISTA DI VOLO TESTATA 26 - ALLINEAMENTO 20mSX 100% DEI MOVIMENTI COMPLESSIVI	Critical aircraft	A320-200 Dual	A320-200 Dual	1	A320-200 Dual
100% DEI MOVIMENTI COMPLESSIVI	Code	R/A/W/T	R/A/W/T	R/A/W/T	R/A/W/T	I VOLO TESTATA 26 - ALLINEAMENTC 100% DEI MOVIMENTI COMPLESSIVI	Code	R/A/W/T	R/A/W/T	Ŷ	R/A/W/T	I VOLO TESTATA 26 - ALLINEAMENTC 100% DEI MOVIMENTI COMPLESSIVI	Code	R/A/W/T	R/A/W/T	1	R/A/W/T
OLO TESTAT,	ACN	20	50	20	50	OLO TESTATA % DEI MOVI	ACN	50	50	-	50	OLO TESTATA % DEI MOVI	ACN	50	50	-	50
PISTA DI V	PCN	69	92	78	87	PISTA DI VC	PCN	69	57	1	62	PISTA DI VC	PCN	29	78	1	59
	Station	0.02	0.04	90.0	0.08		Station	0.02	0.04	90.0	0.08		Station	0.04	0.08	0.12	0.16
	Life	20	20	10	5		Life	20	i	20	20		Life	20	20	20	20
NEAMENTO 3mDX MPLESSIVI	Critical aircraft	A320-200 Dual	A320-200 Dual	A320-200 Dual	A320-200 Dual	PISTA DI VOLO TESTATA 26 - ALLINEAMENTO 10mDX 100% DEI MOVIMENTI COMPLESSIVI	Critical aircraft	A320-200 Dual	•	A320-200 Dual	A320-200 Dual	PISTA DI VOLO TESTATA 26 - ALLINEAMENTO 20mDX 100% DEI MOVIMENTI COMPLESSIVI	Critical aircraft	A320-200 Dual	A320-200 Dual	A320-200 Dual	A320-200 Dual
		R/A/W/T	R/A/W/T	R/B/W/T	R/A/W/T	VOLO TESTATA 26 - ALLINEAMENTC 100% DEI MOVIMENTI COMPLESSIVI	Code	R/A/W/T	,	R/A/W/T	R/A/W/T	VOLO TESTATA 26 - ALLINEAMENTC 100% DEI MOVIMENTI COMPLESSIVI	Code	R/B/W/T	R/A/W/T	R/A/W/T	R/B/W/T
PISTA DI VOLO TESTATA 26 - ALLI 100% DEI MOVIMENTI CO	ACN	20	50	50	20	OLO TESTATA % DEI MOVI	ACN	50	1	50	50	» DEI MOVI	ACN	50	50	50	20
PISTA DI V	PCN	85	63	48	45	PISTA DI VC	PCN	90	-	94	87	PISTA DI VC	PCN	74	105	57	78
	Station	0.02	0.04	90.0	0.08		Station	0.02	0.04	90.0	0.08		Station	0.02	0.04	90.0	0.08

Tabella 52. Parametri ACN e PCN E VITA UTILE RESIDUA relativi alla Pista di Volo.

pag. 112



7.2 TAXIWAY ALPHA

					TAXIWAY A	AY A -						TAXIWAY A	'AY A -
TA	XIWA	Y A - ,	TAXIWAY A - ALLINEAMENTO	NTO 3mDX	ALLINEAME	ALLINEAMENTO 3mDX	TA.	XIWA	Y A - ,	ALLINEAME	TAXIWAY A - ALLINEAMENTO 3mSX	ALLINEAME	ALLINEAMENTO 3mSX
100	% DE	OW H	100% DEI MOVIMENTI COMPL	OMPLESSIVI	100% DEI MOVIMENT	10VI MENTI	100	% DE	MO	/IMENTI C	100% DEI MOVIMENTI COMPLESSIVI	100% DEI MOVIMENT	10VIMENT!
					COMPLESSIVI	ESSIVI						COMPLESSIVI	ESSIVI
Station	PCN	PCN ACN	Code	Critical aircraft	Station	Life	Station	PCN	ACN	Code	Critical aircraft	Station	Life
0	15	33	F/A/W/T	A320-200 Dual	0	2	0.003	6	39	F/A/W/T	A320-200 Dual	0.003	0
0.05	40	39	F/A/W/T	A320-200 Dual	0.05	20	0.05	42	39	F/A/W/T	A320-200 Dual	0.05	20
0.1	120	39	F/A/W/T	A320-200 Dual	0.1	20	0.1	40	39	F/A/W/T	A320-200 Dual	0.1	20
0.15	37	33	F/A/W/T	A320-200 Dual	0.15	19	0.15	38	39	F/A/W/T	A320-200 Dual	0.15	19
0.2	88	33	F/A/W/T	A320-200 Dual	0.2	20	0.2	120	39	F/A/W/T	A320-200 Dual	0.2	20
0.25	120	39	_	F/A/W/T A320-200 Dual	0.25	20	0.25	44	39	F/A/W/T	A320-200 Dual	0.25	20
0.3	120	39	F/A/W/T	F/A/W/T A320-200 Dual	0.3	20	0.31	59	39	F/A/W/T	A320-200 Dual	0.31	20
0.35	120	33	F/A/W/T A32	A320-200 Dual	0.35	20	0.35	107	39	F/A/W/T	A320-200 Dual	0.35	20
0.4	120	39	F/A/W/T A32	A320-200 Dual	0.4	20	0.4	45	39	F/A/W/T	A320-200 Dual	0.4	20
0.45	120	39	F/A/W/T	A320-200 Dual	0.45	20	0.456	32	39	F/A/W/T	A320-200 Dual	0.456	12
0.5	120	39	F/A/W/T	A320-200 Dual	0.5	20	0.5	89	39	F/A/W/T	A320-200 Dual	0.5	20
0.55	98	39	F/A/W/T	A320-200 Dual	0.55	20	0.55	51	39	F/A/W/T	A320-200 Dual	0.55	20
9.0	120	39	F/A/W/T	A320-200 Dual	9.0	20	9.0	54	39	F/A/W/T	A320-200 Dual	0.6	20
0.65	120	39	F/A/W/T	A320-200 Dual	0.65	20	0.657	45	39	F/A/W/T	A320-200 Dual	0.657	20
0.7	104	33	F/A/W/T	A320-200 Dual	0.7	20	0.7	22	39	F/A/W/T	A320-200 Dual	0.7	20
0.75	82	39	F/A/W/T	A320-200 Dual	0.75	20	0.75	37	39	F/A/W/T	A320-200 Dual	0.75	18
0.8	52	39	F/A/W/T	A320-200 Dual	0.8	20	8.0	13	39	F/A/W/T	A320-200 Dual	0.8	1
0.85	120	39	F/A/W/T	A320-200 Dual	0.85	20	0.85	89	39	F/A/W/T	A320-200 Dual	0.85	20
0.9	120	39	F/A/W/T	A320-200 Dual	6.0	20	6.0	95	39	F/A/W/T	A320-200 Dual	0.9	20
0.93	120	39	_	F/A/W/T A320-200 Dual	0.93	20	0.93	103	39	F/A/W/T	F/A/W/T A320-200 Dual	0.93	20

pag. 113



				_																				
AY A -	ALLINEAMENTO 5mDX	10VI MENTI	ESSIVI	Life	20	20	20	20	12	20	20	20	20	20	20	14	20	20	20	12	4	20	20	20
TAXIWAY A	ALLINEAME	100% DEI MOVIMENTI	COMPLESSIVI	Station	0	0.05	0.1	0.158	0.2	0.259	0.3	0.35	0.4	0.45	0.5	0.55	9.0	0.657	0.7	0.75	0.8	0.844	0.9	0.93
	NTO 5mDX	MPLESSIVI		Critical aircraft	A320-200 Dual	A320-200 Dual	A320-200 Dual	A320-200 Dual	A320-200 Dual	A320-200 Dual	A320-200 Dual	A320-200 Dual	A320-200 Dual	A320-200 Dual	A320-200 Dual	A320-200 Dual	A320-200 Dual	A320-200 Dual	A320-200 Dual	A320-200 Dual	A320-200 Dual	A320-200 Dual	A320-200 Dual	F/A/W/T A320-200 Dual
	TAXIWAY A - ALLINEAMENTO 5mDX	50% DEI MOVIMENTI COMPLESSIVI		Code	F/A/W/T	F/A/W/T	F/A/W/T	F/A/W/T	F/A/W/T	F/A/W/T	F/W/T	F/A/W/T												
	Y A - /	MOV		ACN	39	39	39	39	39	39	39	39	39	39	39	39	39	39	39	39	39	39	39	39
	XIWA	% DEI		PCN	54	83	120	120	31	98	62	70	120	120	91	34	63	113	64	32	21	92	106	112
	T.	20		Station	0	0.05	0.1	0.158	0.2	0.259	0.3	0.35	0.4	0.45	0.5	0.55	9.0	0.657	0.7	0.75	0.8	0.844	0.9	0.93
AYA-	ENTO C.L.	OVIMENTI	ESSIVI	Life	3	20	13	20	1	20	20	20	14	20	20	13	20	17	20	20	2	20	20	20
TAXIWAY A	ALLINEAMENTO C.L.	100% DEI MOVIMENT	COMPLESSIVI	Station	0	0.05	0.1	0.15	0.2	0.25	0.3	0.35	0.4	0.45	0.5	0.55	9.0	0.65	0.7	0.75	0.8	0.85	6.0	0.93
	IN CENTER LINE	MPLESSIVI		Critical aircraft	A320-200 Dual	A320-200 Dual	A320-200 Dual	F/A/W/T A320-200 Dual	A320-200 Dual															
	TAXIWAY A - ALLINEAMENTO IN CE	50% DEI MOVIMENTI COMPLE		Code	F/A/W/T	F/A/W/T	F/A/W/T	F/A/W/T	F/A/W/T	F/A/W/T	F/A/W/T	F/A/W/T	F/A/W/T	F/A/W/T	F/A/W/T	F/A/W/T	F/A/W/T	F/A/W/T	F/A/W/T	F/A/W/T	F/A/W/T	F/A/W/T	F/A/W/T	F/A/W/T
	ALLIN	Δ		ACN	39	33	33	33	33	33	39	39	39	39	33	33	33	33	33	39	33	33	39	33
:	4Y A -	% DE		S	18	110	33	42	12	120	77	96	34	41	29	33	84	36	57	20	16	67	107	47
	TAXIW,	20		Station PCN	0	0.05	0.1	0.15	0.2	0.25	0.3	0.35	0.4	0.45	0.5	0.55	9.0	0.65	0.7	0.75	0.8	0.85	0.9	0.93

TAXIWAY A - ALLINEAMENTO 5mSX 100% DEI MOVIMENTI COMPLESSIVI Station Life	18	20 20	9	20	20	20												
TAXIW NEAME DEI N COMPL	П	\top				2	00	20	20	12	20	20	20	20	1	20	20	20
ALLII 100% Stat	0.05	0.15	0.2	0.25	0.3	0.35	0.4	0.45	0.5	0.55	9.0	0.65	0.7	0.75	0.8	0.85	6.0	0.93
NTO 5mSX MPLESSIVI Critical aircraft	A320-200 Dual																	
TAXIWAY A - ALLINEAMENTO 5mSX 50% DEI MOVIMENTI COMPLESSIVI on PCN ACN Code Critical ai	F/A/W/T																	
Y A - , MOV ACN	39	39	39	39	39	39	39	39	39	39	39	39	39	39	39	39	39	39
XIWA % DEI PCN	37	112	24	20	39	70	27	56	65	32	48	71	99	48	10	95	85	105
TA 509 Station	0.05	0.15	0.2	0.25	0.3	0.35	0.4	0.45	0.5	0.55	9.0	0.65	0.7	0.75	0.8	0.85	6.0	0.93

Tabella 53. Parametri ACN e PCN e VITA UTILE RESIDUA relativi alla Taxiway Alpha.

Società Aeroporto Catania S.p.A. 7.3 RACCORDI

		_	_			,								
	Life	12	2	17	70	70		life	1	20	-	11	20	7
ENTO SmDX LESSIVI	Critical aircraft	A320-200 Dual	F/A/W/T A320-200 Dual	A320-200 Dual	A320-200 Dual	F/A/W/T A320-200 Dual	ENTO 5mSX ESSIVI	Critical aircraft	A320-200 Dual	F/A/W/T A320-200 Dual				
RACCORDO FOXTROT - ALLINEAMENTO SMDX 50% DEI MOVIMENTI COMPLESSIVI	Code	F/A/W/T	F/W/T	F/A/W/T	F/A/W/T	F/A/W/T	RACCORDO FOXTROT - ALLINEAMENTO 5mSX 50% DEI MOVIMENTI COMPLESSIVI	Code	J-	F/A/W/T	F/A/W/T	F/A/W/T	F/A/W/T	F/A/W/T
DO FOXTRO'	ACN 39	39	39	39	39	39	DO FOXTROT % DEI MOVIN	ACN	39	39	39	39	39	39
RACCOR 500	PCN	32	17	36	77	09	RACCOR 509	PCN	14	120	12	31	120	76
	Station	0.05	0.1	0.15	0.2	0.25		Station	0	0.05	0.1	0.15	0.2	0.25
	Life	80	1	20	20	20		Life	1	20	0	1	20	11
FROT - ALLINEAMENTO 3mDX OVIMENTI COMPLESSIVI	Critical aircraft A320-200 Dual	A320-200 Dual	A320-200 Dual	A320-200 Dual	A320-200 Dual	A320-200 Dual	RACCORDO FOXTROT - ALLINEAMENTO IN CENTER LINE 50% DEI MOVIMENTI COMPLESSIVI	Critical aircraft	A320-200 Dual					
TROT - ALLINEAMENTO 3 OVIMENTI COMPLESSIVI	Code F/A/W/T	F/A/W/T	F/A/W/T	F/A/W/T	F/A/W/T	F/A/W/T	- ALLINEAMENTO IN CEI DVIMENTI COMPLESSIVI	Code	F/A/W/T	F/A/W/T	F/A/W/T	F/A/W/T	F/A/W/T	F/A/W/T
RACCORDO FOXTROT 50% DEI MOVIN	ACN 39	39	39	39	39	39	D FOXTROT - ALL 50% DEI MOVIN	ACN	39	39	39	39	39	39
RACCOR 509	PCN 11	27	12	20	104	93	RACCORDO F	PCN	13	39	80	13	78	31
	Station 0	0.05	0.1	0.15	0.2	0.25	<u>.</u>	Station	0	0.05	0.1	0.15	0.2	0.25

RACCORDO FOXTROT - ALLINEAMENTO 3mSX Station PCN ACN Code Critical aircraft Life 0 12 39 F/A/W/T A320-200 Dual 3 0.05 19 39 F/A/W/T A320-200 Dual 20 0.15 17 39 F/A/W/T A320-200 Dual 20 0.2 119 39 F/A/W/T A320-200 Dual 20 0.25 59 39 F/A/W/T A320-200 Dual 20								
PCN ACN Code		Life	1	8	20	2	20	20
FACCORDO FOXTROT- 50% DEI MOVIME 12 39 19 39 49 39 119 39 59 59 39	IENTO 3mSX LESSIVI	Critical aircraft	A320-200 Dual					
	T - ALLINEAN MENTI COMPI		F/A/W/T	F/A/W/T	F/A/W/T	F/A/W/T	F/A/W/T	F/A/W/T
	NDO FOXTRO	ACN	39	39	39	39	39	39
Station 0 0.05 0.11 0.15 0.2 0.2	RACCOF 50	PCN	12	19	49	17	119	59
		Station	0	0.05	0.1	0.15	0.2	0.25

Tabella 54. Parametri ACN e PCN e VITA UTILE RESIDUA relativi al raccordo Foxtrot.

	T	Τ	Γ		Γ	Γ							Γ	Τ
×	life	,	0	20	20	20	×		Life	1	6	20	20	5
RACCORDO GOLF - ALLINEAMENTO 5mDX 50% DEI MOVIMENTI COMPLESSIVI	Critical aircraft	ı	A320-200 Dual	A320-200 Dual	A320-200 Dual	A320-200 Dual	RACCORDO GOLF - ALLINEAMENTO 5mSX 50% DEI MOVIMENTI COMPLESSIVI		Critical aircraft	F/A/W/T A320-200 Dual	F/A/W/T A320-200 Dual	F/A/W/T A320-200 Dual	A320-200 Dual	E/A/W/T A320_200 D1
O GOLF - ALI EI MOVIMEN	Code	ī	F/W/T	F/A/W/T	F/W/T	F/W/T	O GOLF - ALI		Code	F/A/W/T	F/A/W/T	F/A/W/T	F/A/W/T	E/A/W/T
CORD 50% D	ACN		39	39	39	39	CORD		ACN	39	39	39	39	39
RAC	PCN		00	97	29	120	RAC		PCN	13	29	102	103	120
	Station PCN ACN		0.05	0.106	0.15	0.19			Station PCN ACN	0	0.05	0.1	0.15	0.17
×	Life		0	20	20	20	R LINE		Life	0	2	20	20	20
RACCORDO GOLF - ALLINEAMENTO 3mDX 50% DEI MOVIMENTI COMPLESSIVI	Critical aircraft		A320-200 Dual	A320-200 Dual	F/A/W/T A320-200 Dual	F/A/W/T A320-200 Dual	RACCORDO GOLF - ALLINEAMENTO IN CENTER LINE 50% DEI MOVIMENTI COMPLESSIVI		Critical aircraft	F/A/W/T A320-200 Dual	A320-200 Dual	A320-200 Dual	A320-200 Dual	F/A/W/T A320-200 Dual
O GOLF - ALI EI MOVIMEN	Code	ı	F/A/W/T	F/A/W/T	F/A/W/T	F/A/W/T	LF - ALLINEA		Code	F/A/W/T	F/A/W/T	F/A/W/T	F/A/W/T	F/A/W/T
CORD	ACN	'	39	39	39	33	00 GO		ACN	33	39	39	39	39
RAC	PCN	ι	∞	97	8	120	CORE		2	œ	17	39	46	102
	Station PCN ACN	0	0.05	0.1	0.158	0.19	RAC	:	Station PCN ACN	0	0.05	0.1	0.15	0.18

×	Life	20	20	20	20	20
RACCORDO GOLF - ALLINEAMENTO 3mSX 50% DEI MOVIMENTI COMPLESSIVI	Critical aircraft	A320-200 Dual	A320-200 Dual	A320-200 Dual	A320-200 Dual	F/A/W/T A320-200 Dual
O GOLF - ALI EI MOVIMEN	Code	F/A/W/T	F/A/W/T	F/A/W/T	F/A/W/T	F/A/W/T
CORD	ACN	39	39	39	39	39
RAC 5	PCN	93	41	91	104	120 39
	Station PCN ACN	0	0.05	0.1	0.15	0.18

Tabella 55. Parametri ACN e PCN relativi al raccordo Golf.



8 CONCLUSION

Le risultanze delle elaborazioni evidenziano alcune non conformità dei valori PCN per la Taxiway A e per i raccordi F e G.

Si specifica che i valori di PCN così come la Vita Utile Residua determinati derivano da uno studio sperimentale effettuato sul conglomerato bituminoso prelevato mediante carotaggi per la determinazione delle leggi di fatica.

Per quanto riguarda gli strati di fondazione e sottofondo non avendo a disposizione dati specifici del materiale sono state utilizzate le leggi di letteratura specificate al Capitolo 7.

In merito ai dati di regolarità si evidenziano valori superiori al limite di 2m/km, ritenuto un limite accettabile per garantire un livello di confort sufficiente, nei raccordi Golf e Foxtrot e nella Taxiway A.



9 ALLEGATI

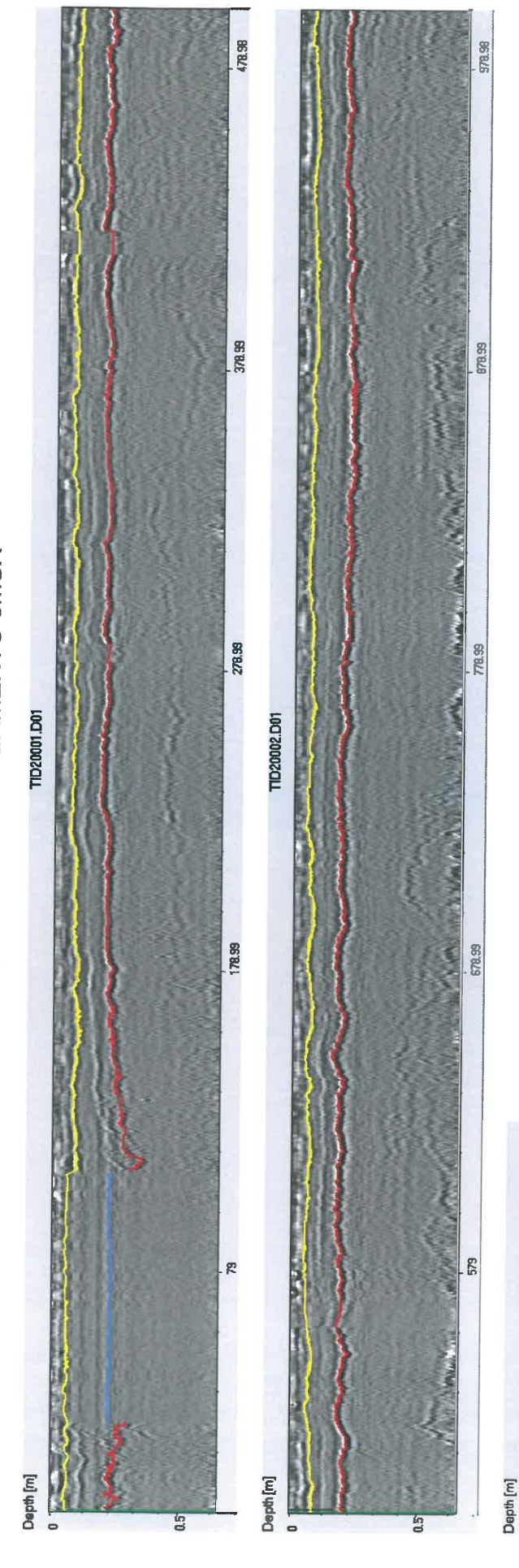
1 - INDAGINI STRATIGRAFICHE

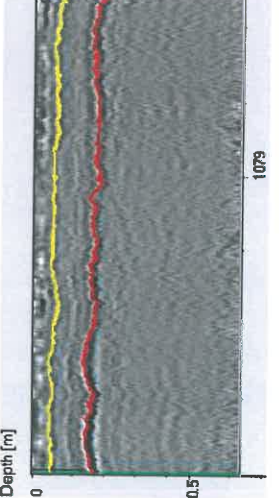


ALLEGATO 1 - RADARGRAMMI RILEVATI IN FASE DI INDAGINE

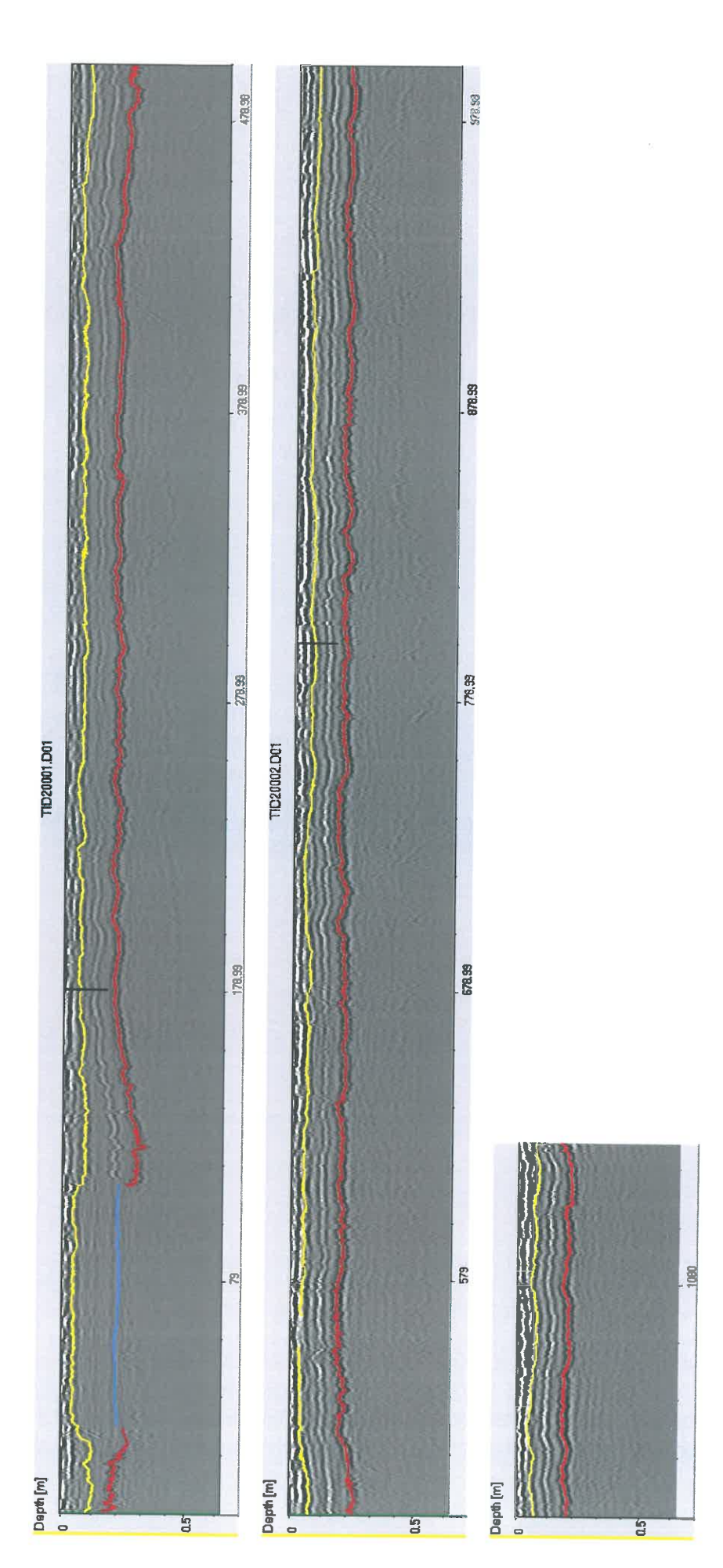
Società Aeroporto Catania S.p.A.

RADARGRAMMA ANTENNA 2000MHz TAXIWAY ALPHA – ALLINEAMENTO 3mSX

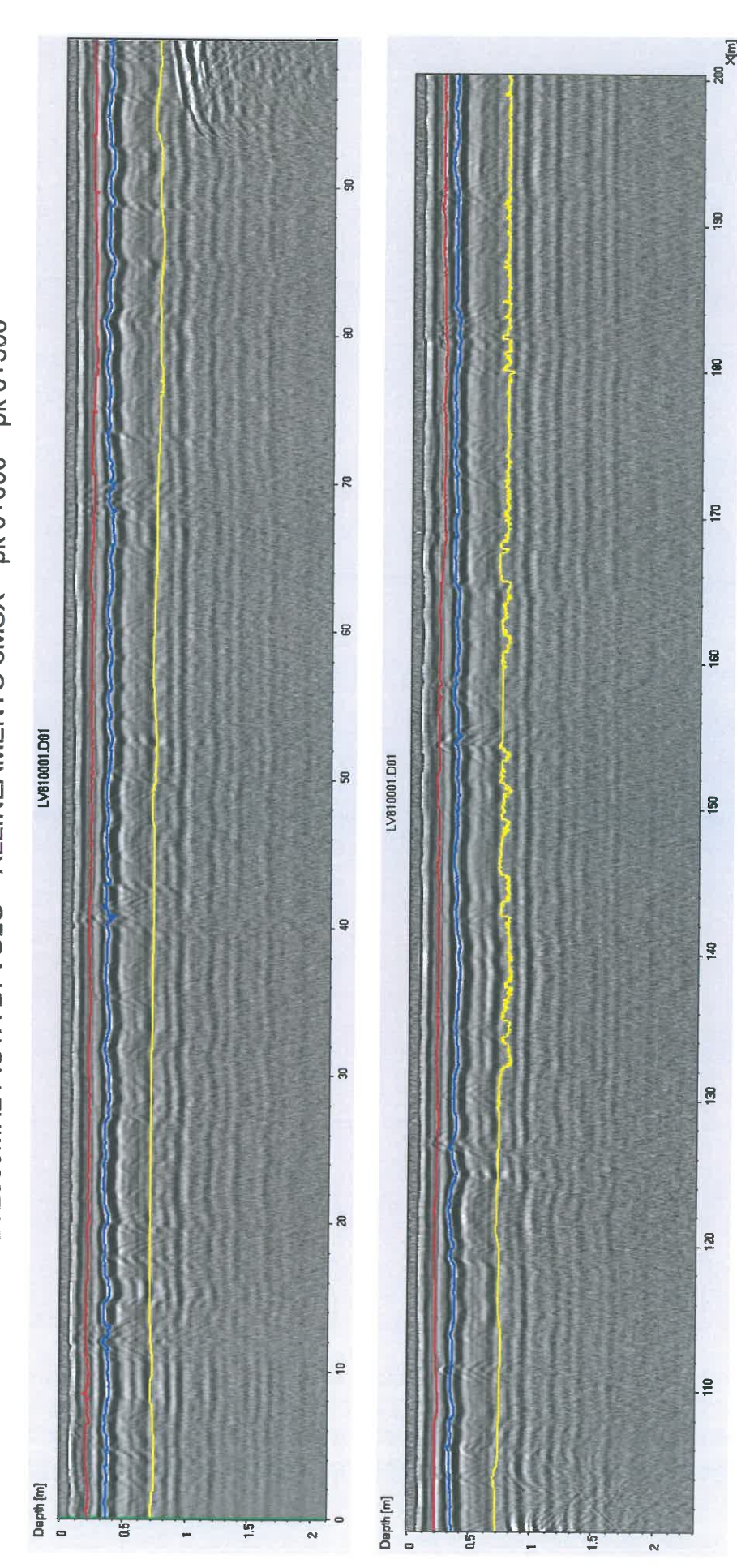


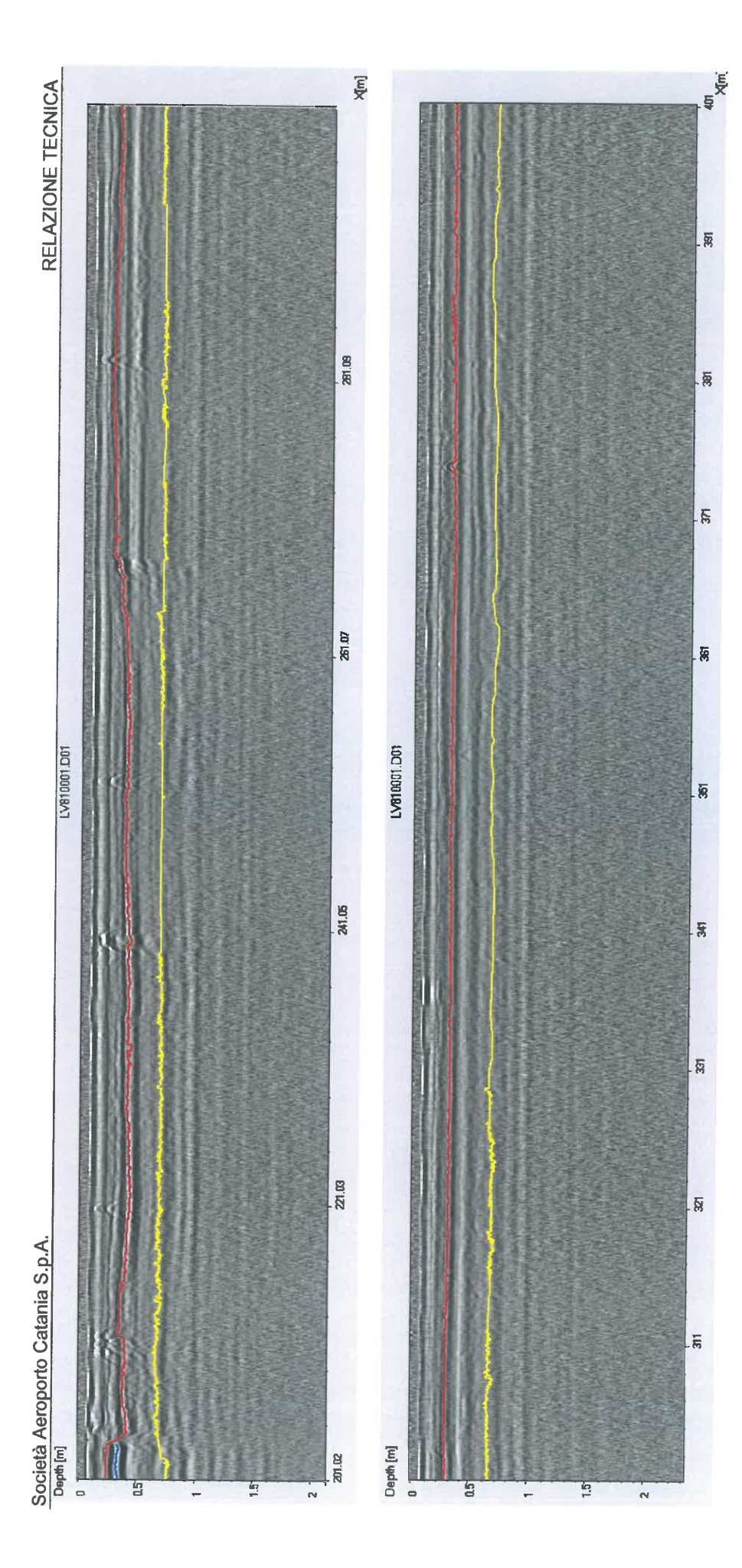


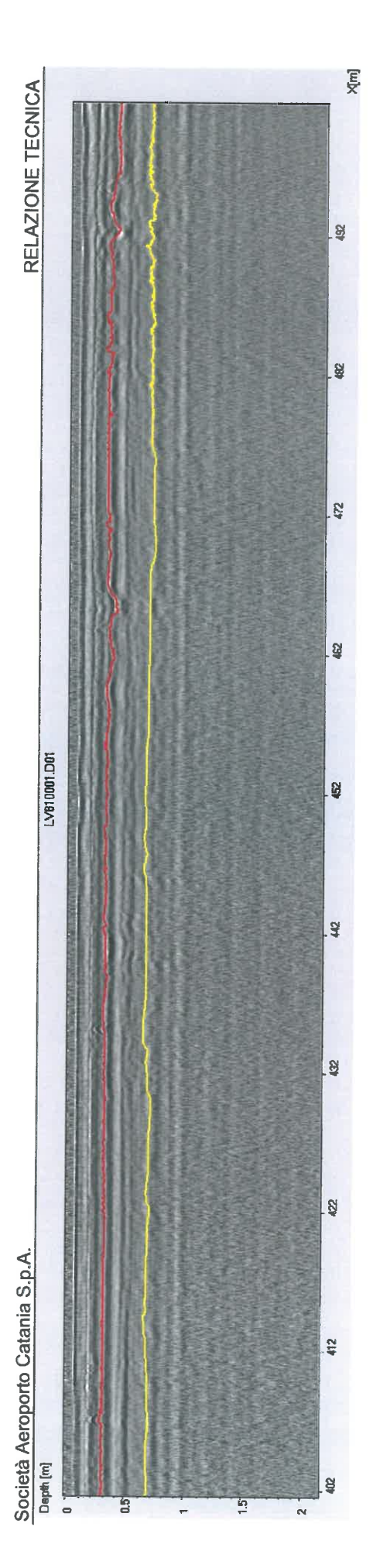
RADARGRAMMA ANTENNA 2000MHz TAXIWAY ALPHA - ALLINEAMENTO 5mDX



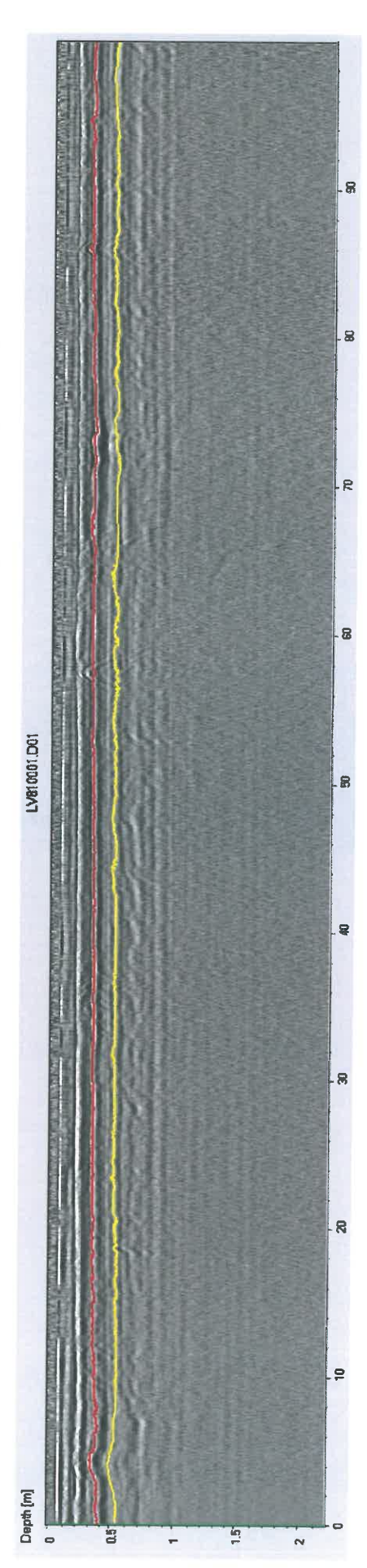
Società Aeroporto Catania S.p.A. RADARGRAMMA ANTENNA 2000MHz PISTA DI VOLO – ALLINEAMENTO 3MSX – pk 0+000 – pk 0+500

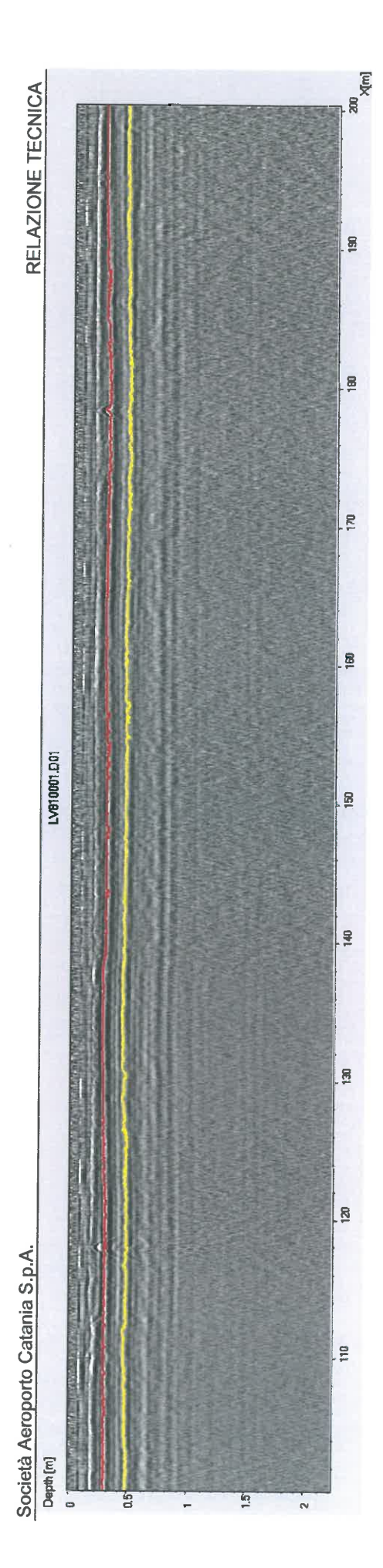


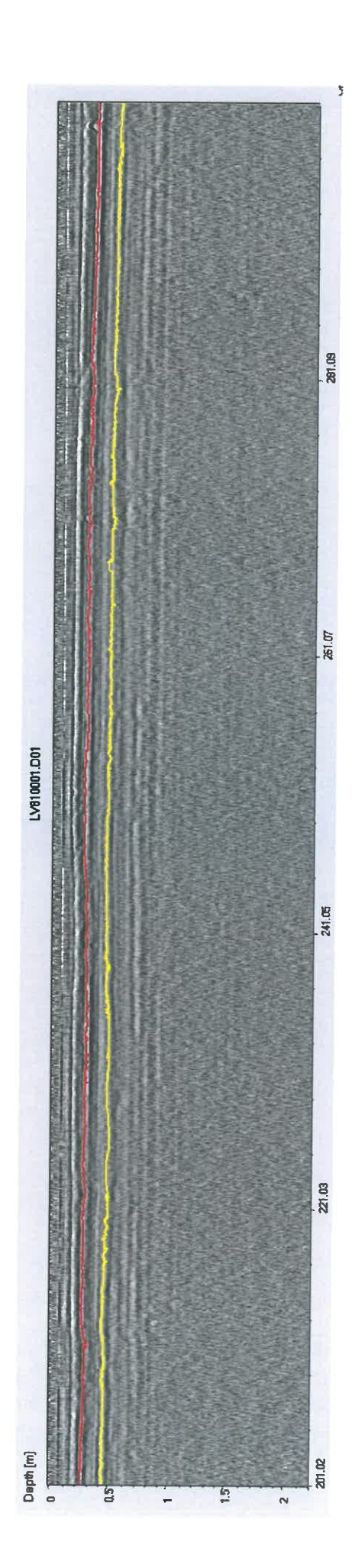


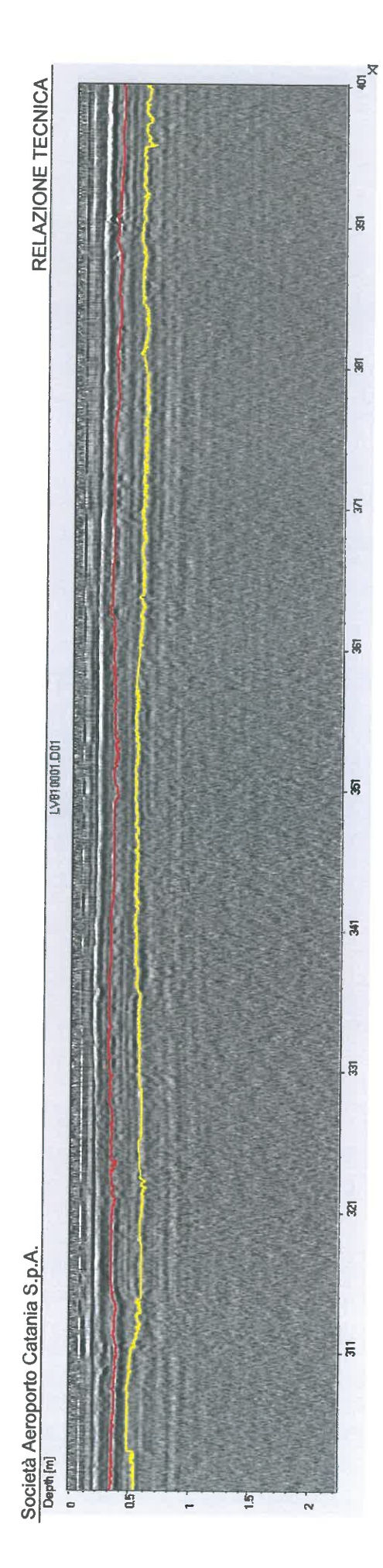


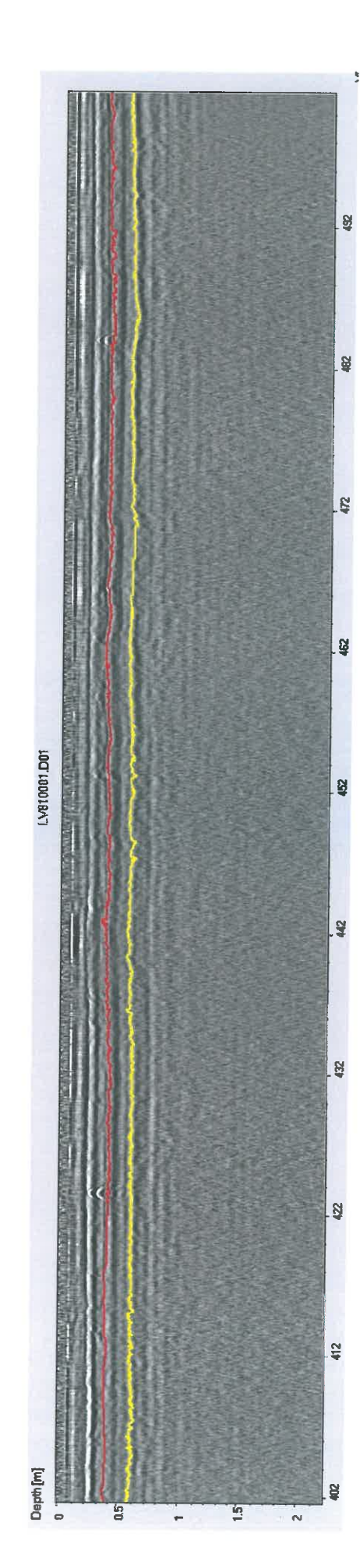






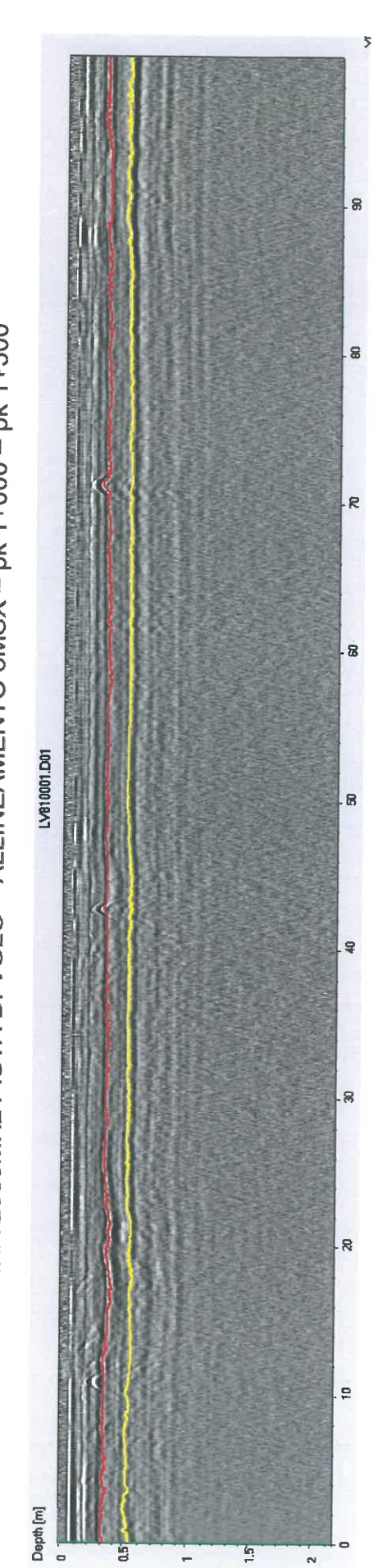


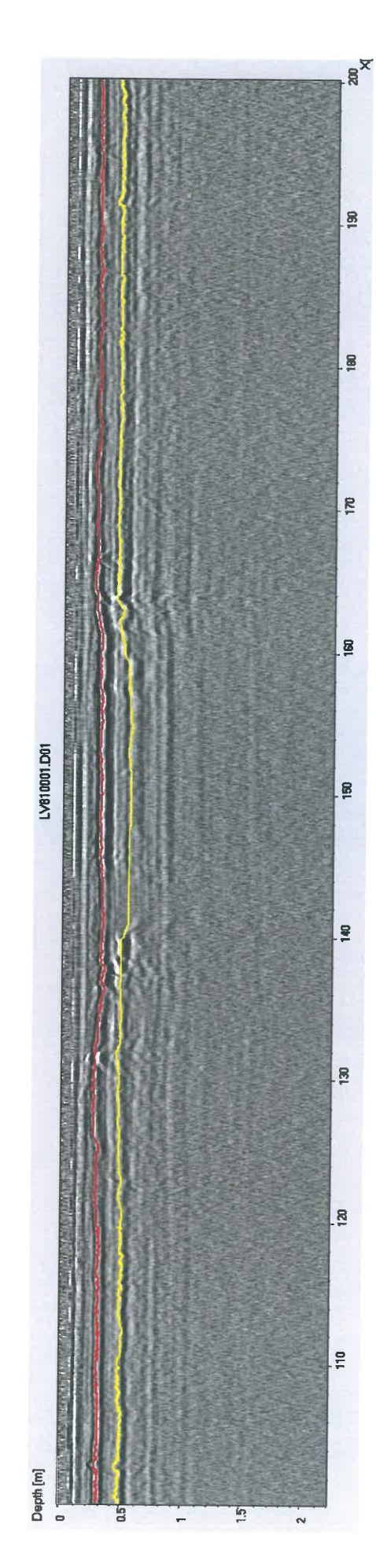


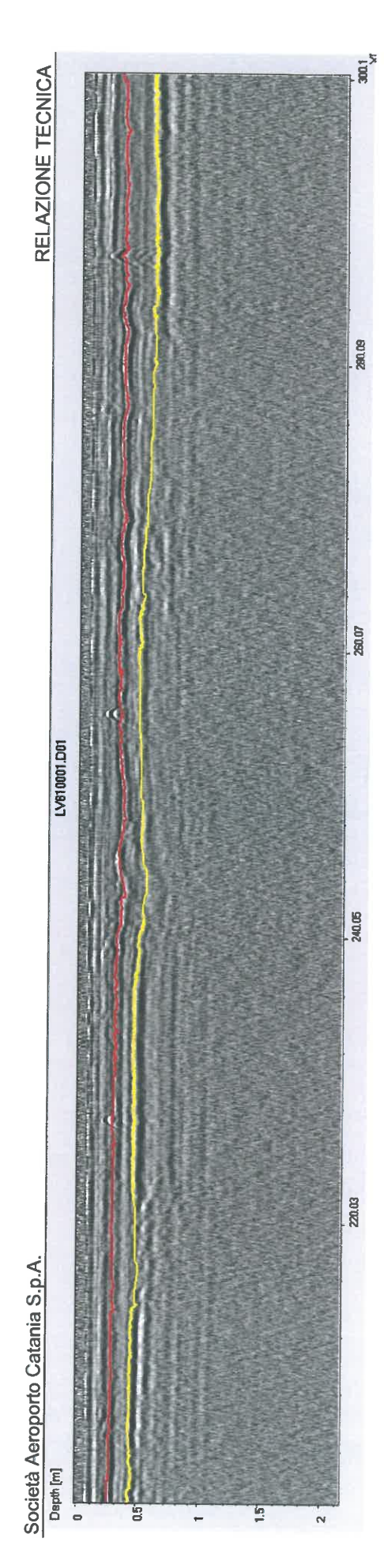


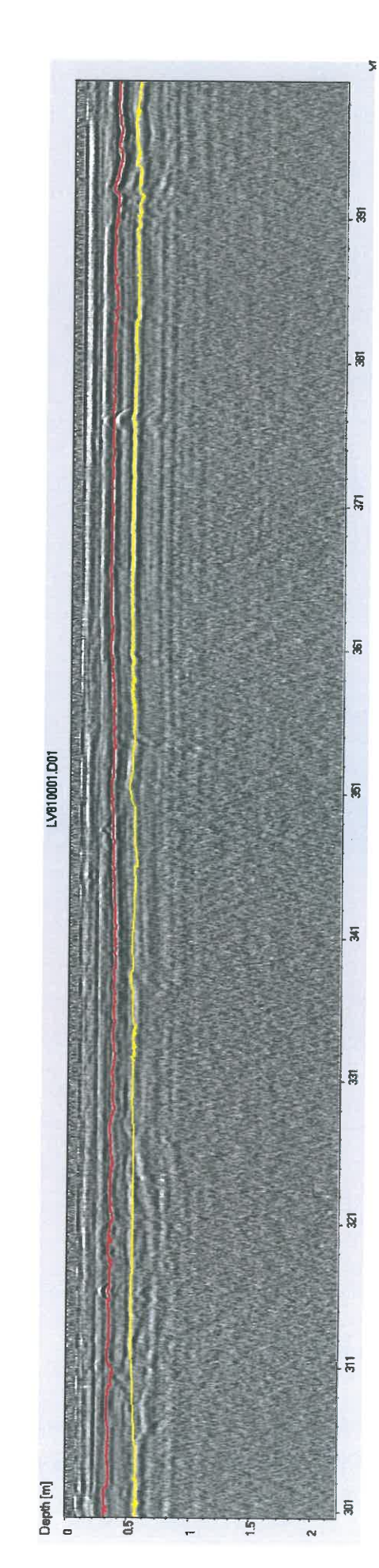
RELAZIONE TECNICA

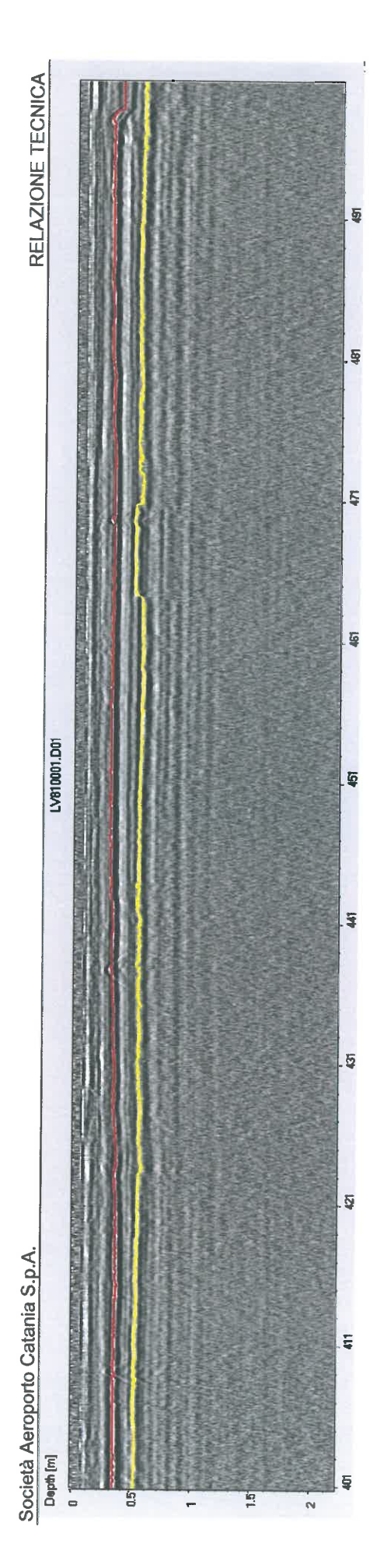
Società Aeroporto Catania S.p.A. RADARGRAMMA ANTENNA 2000MHz PISTA DI VOLO – ALLINEAMENTO 3MSX – pk 1+000 – pk 1+500



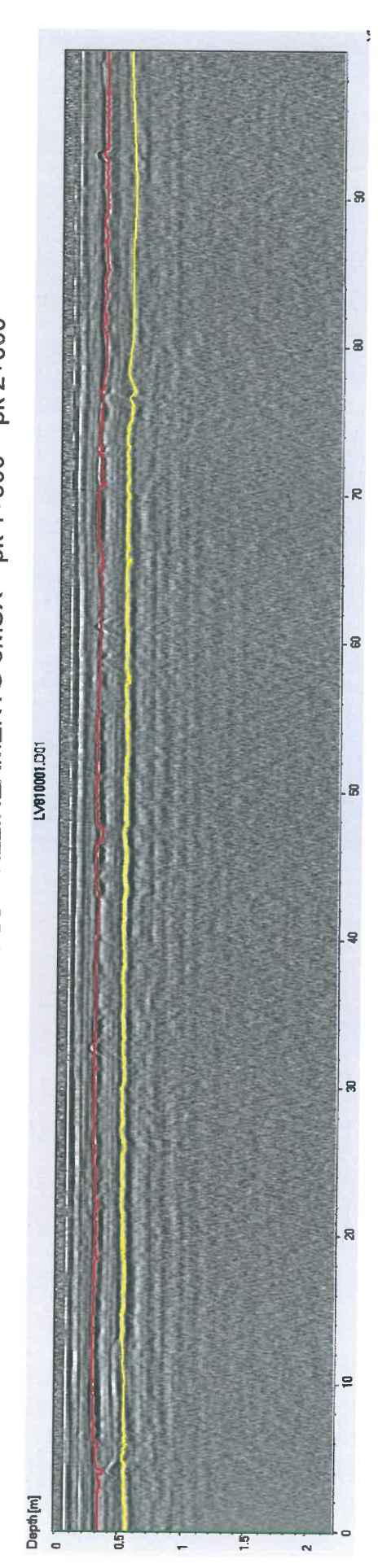


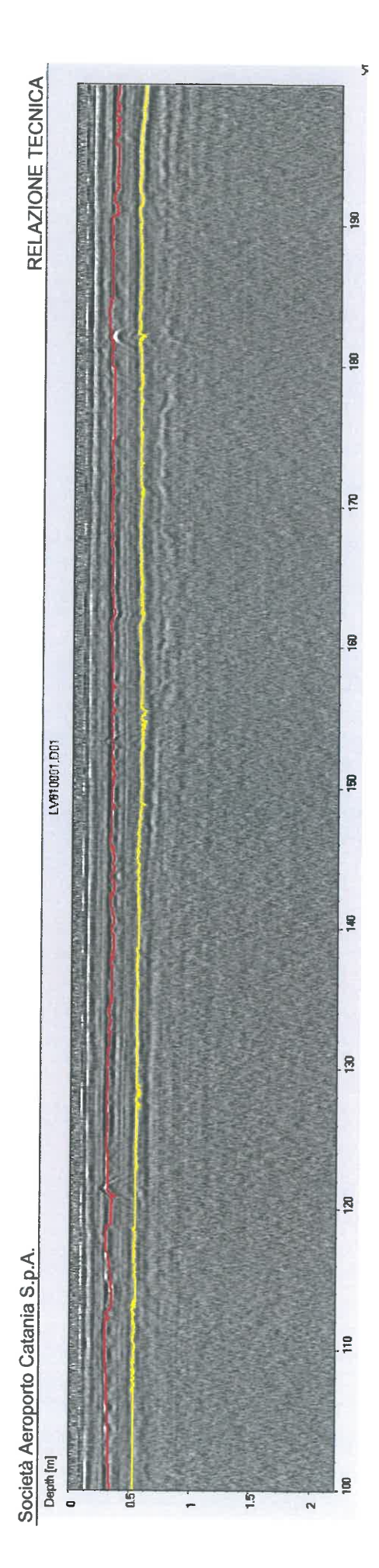


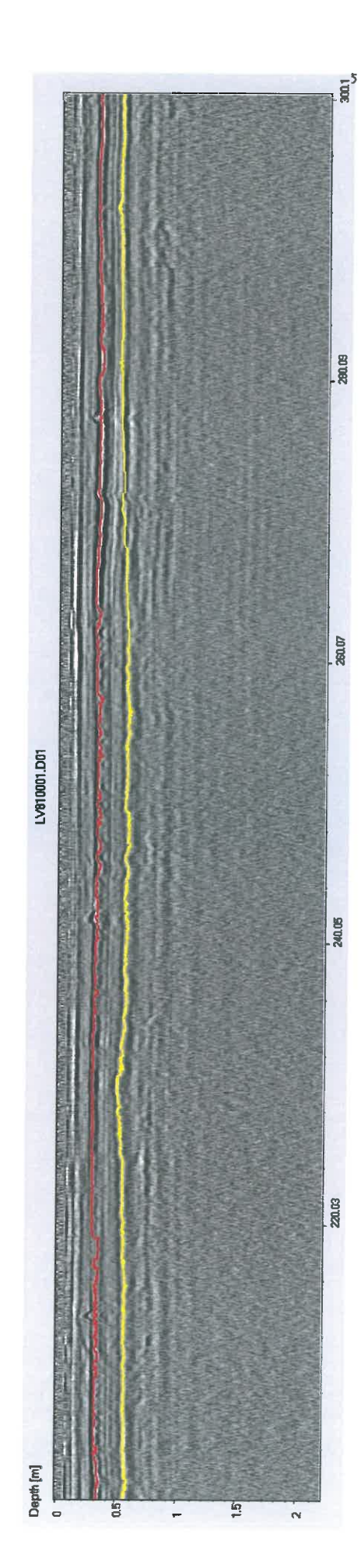


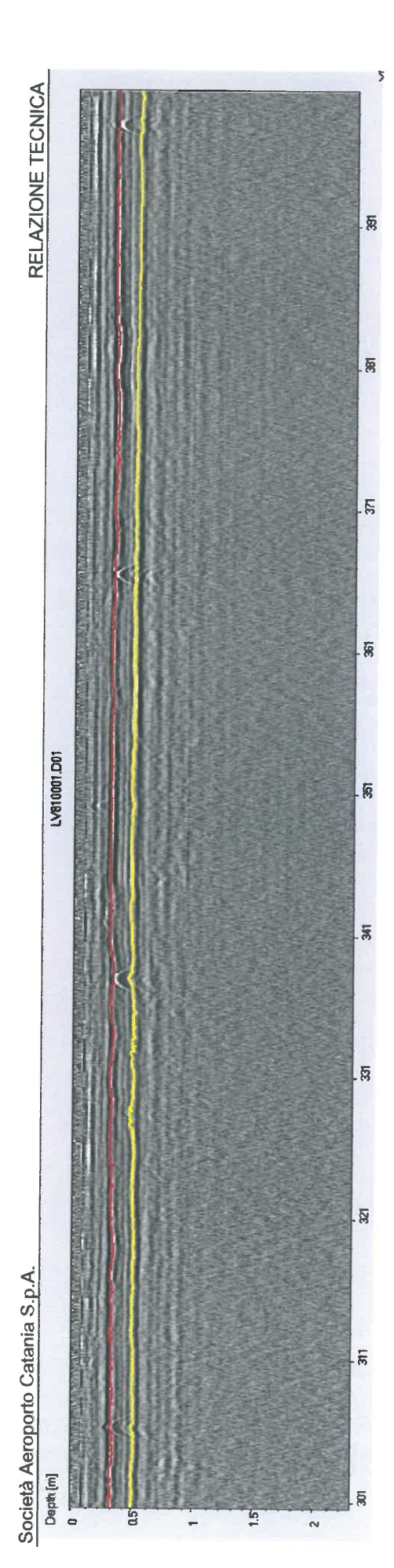


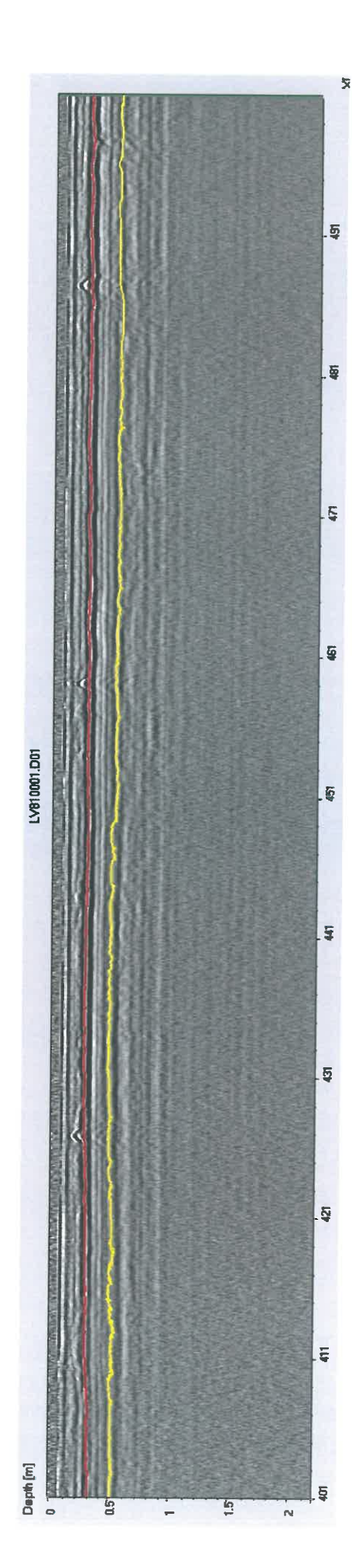




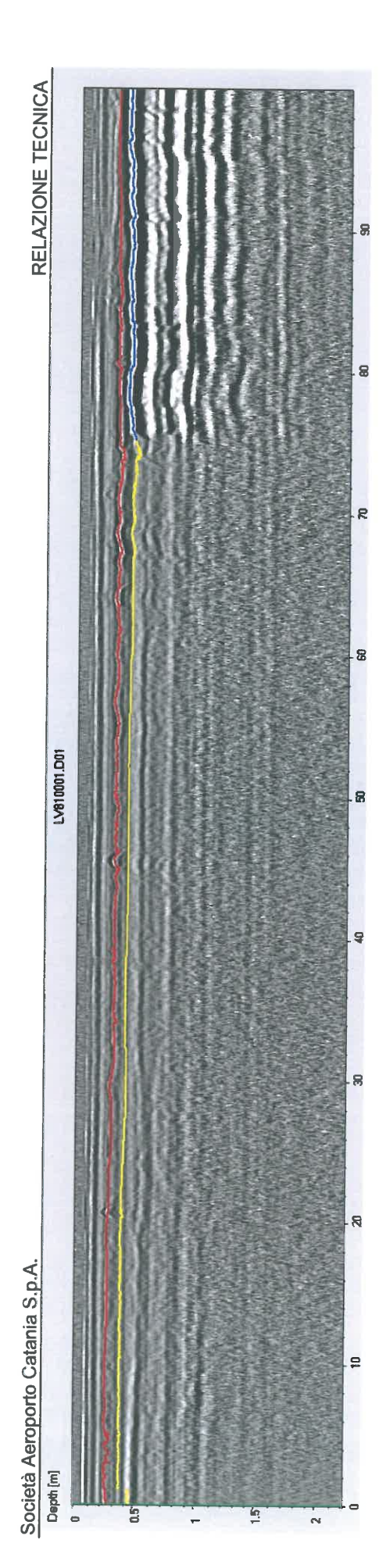


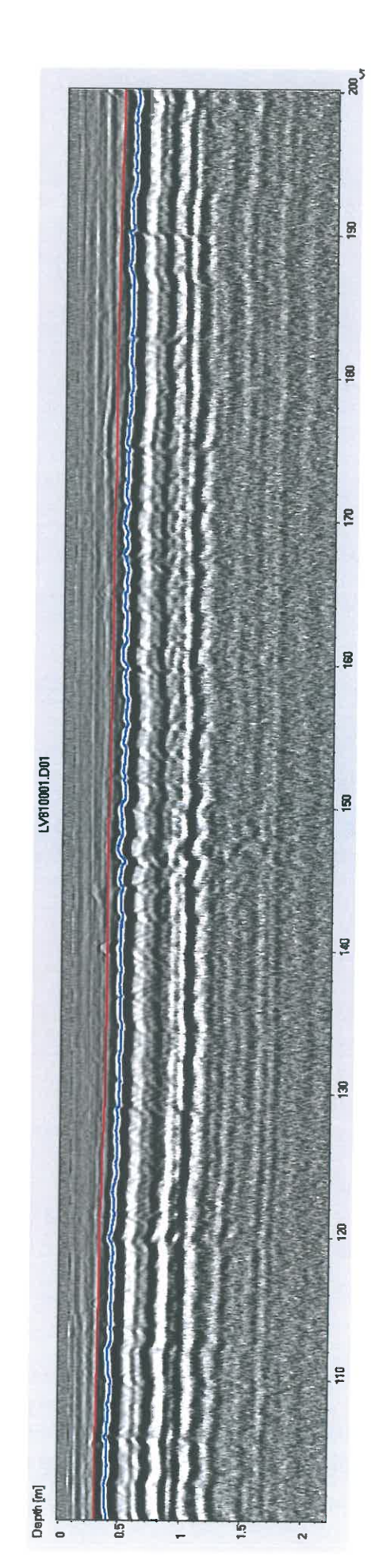


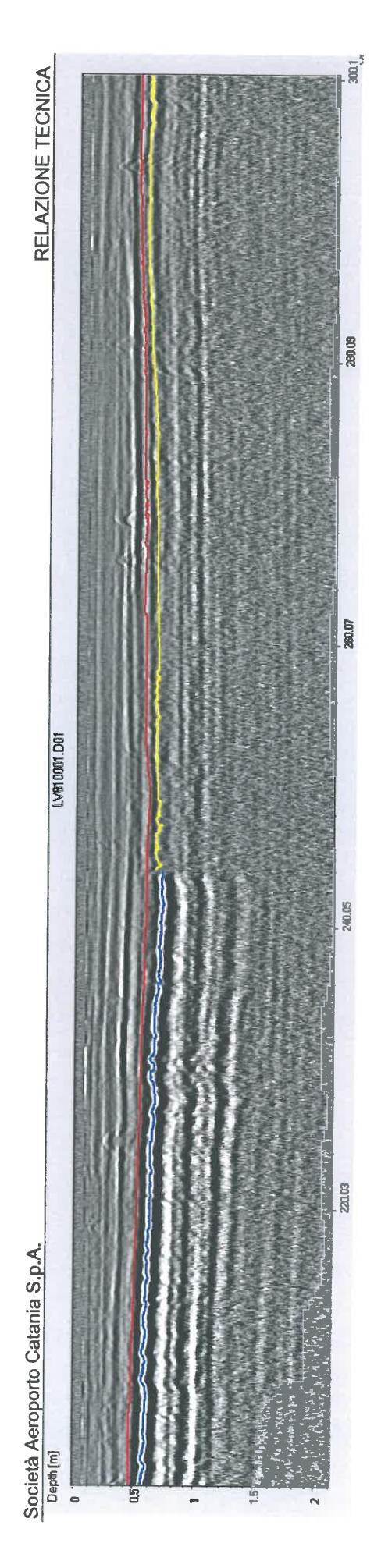


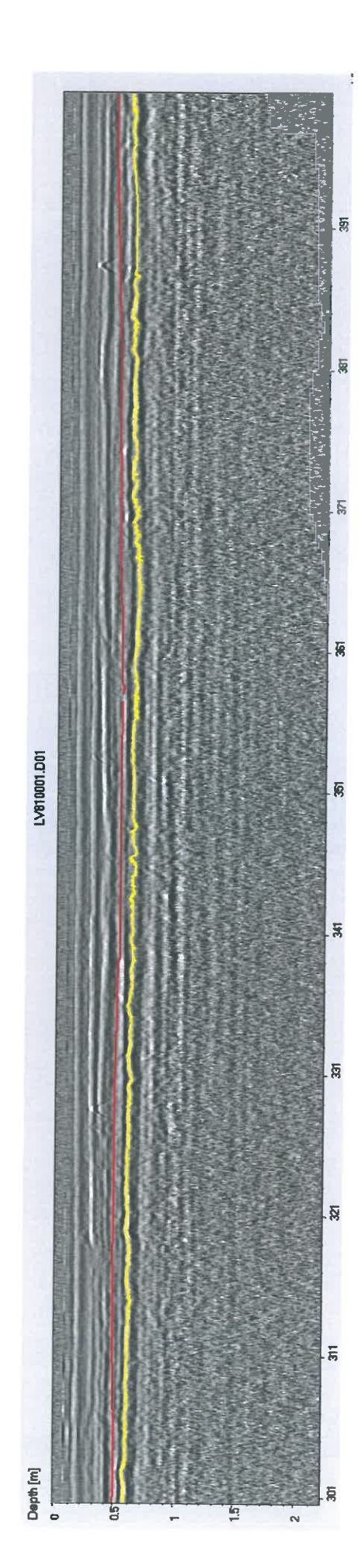


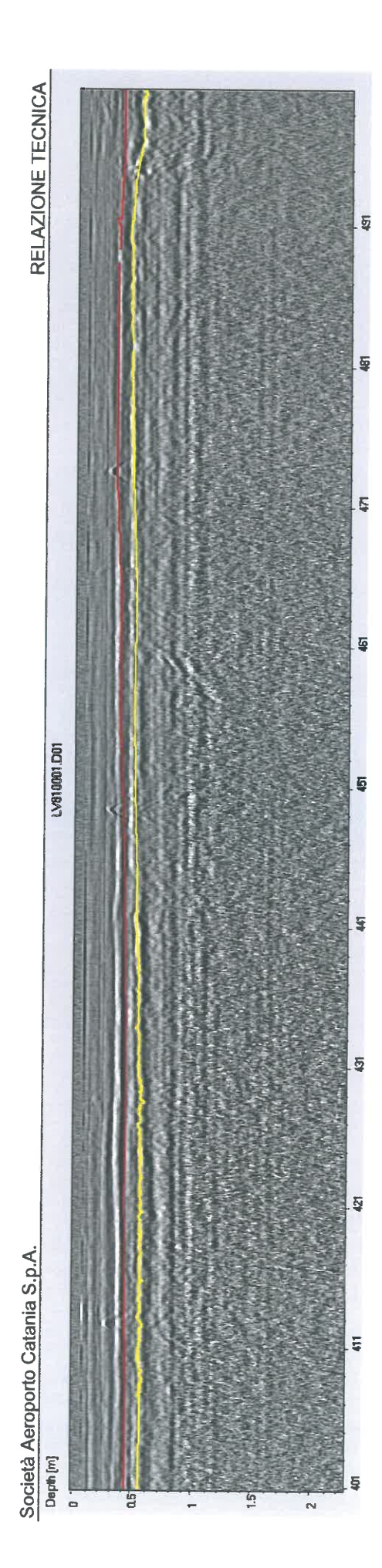
RADARGRAMMA ANTENNA 2000MHz PISTA DI VOLO – ALLINEAMENTO 3MSX – pk 2+000 – pk 2+500



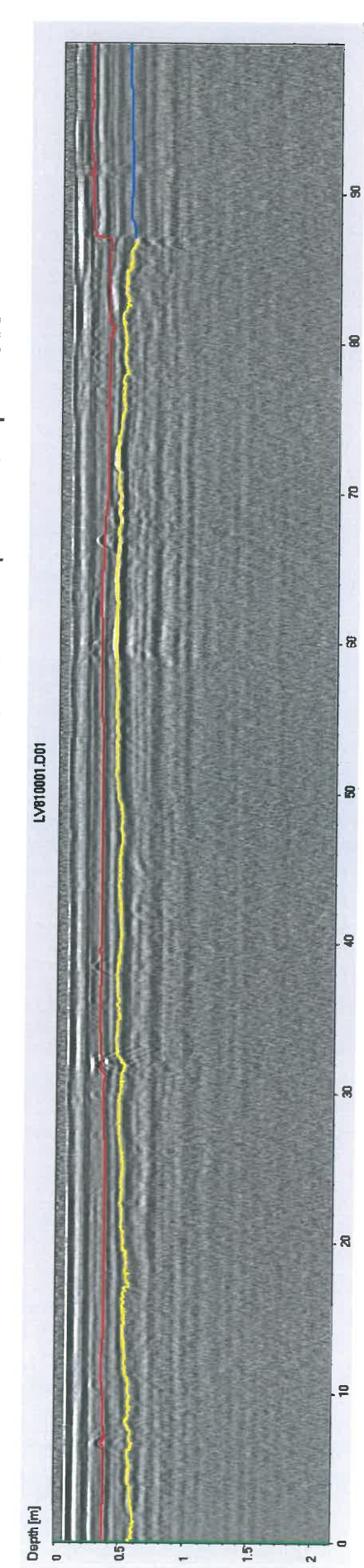


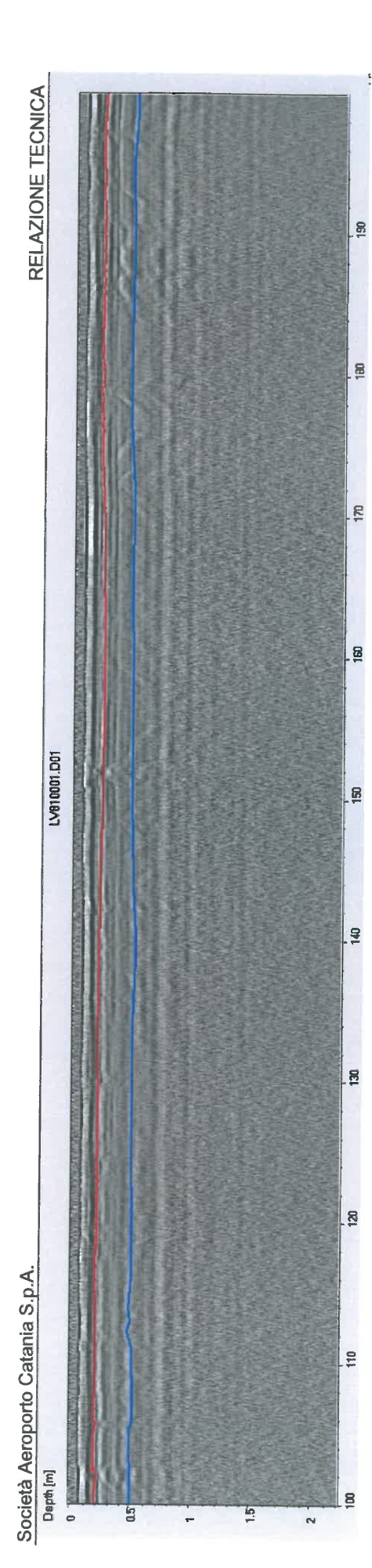




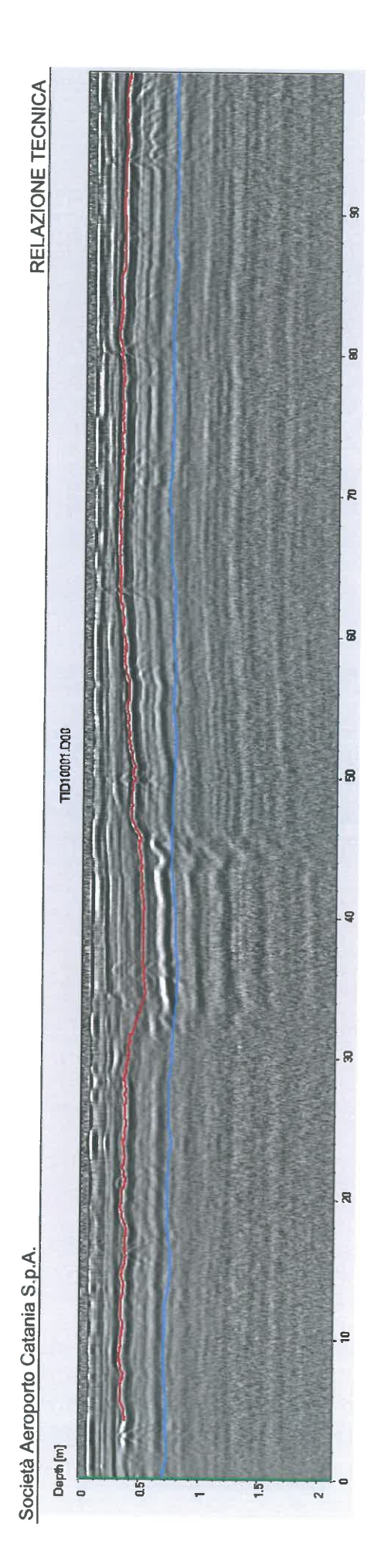


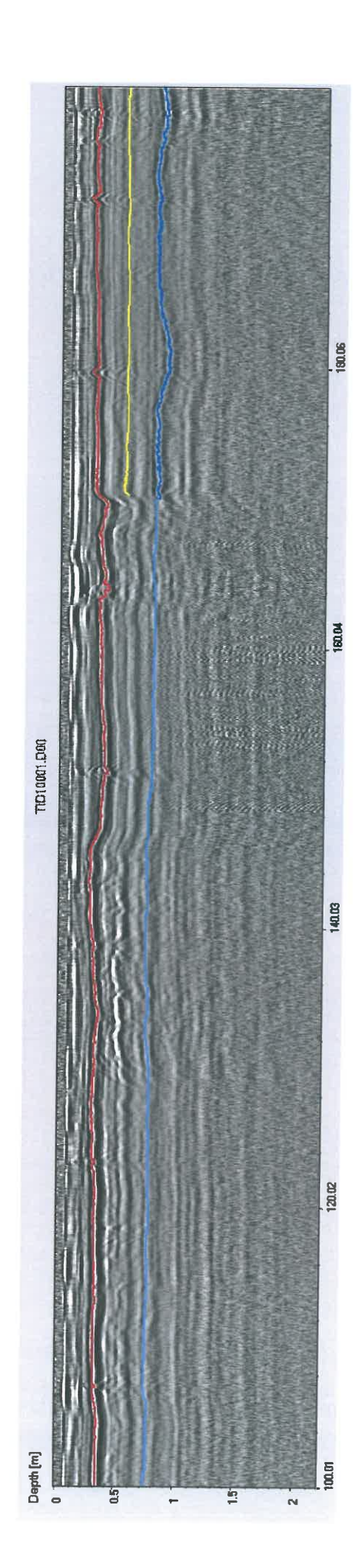


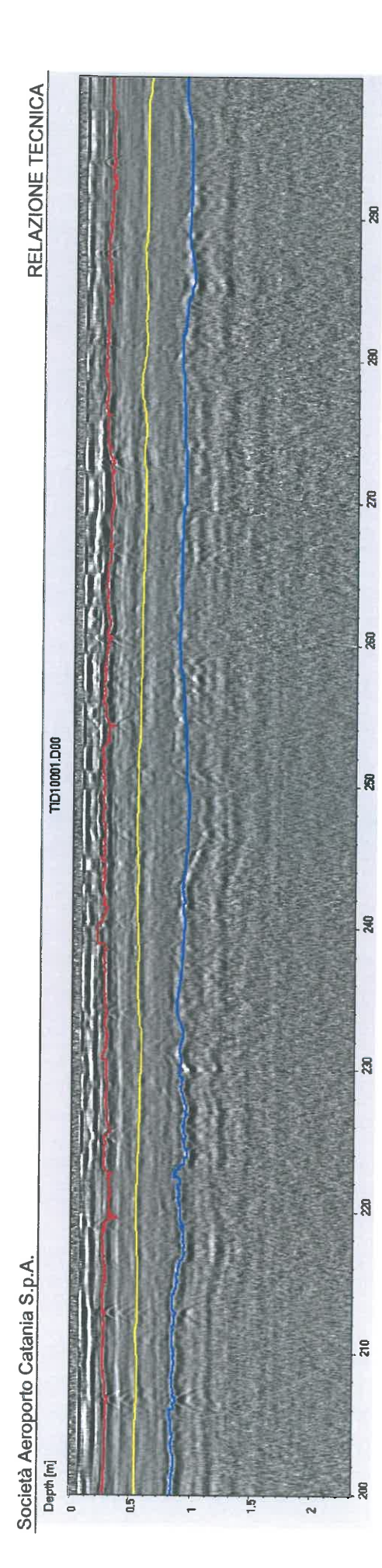




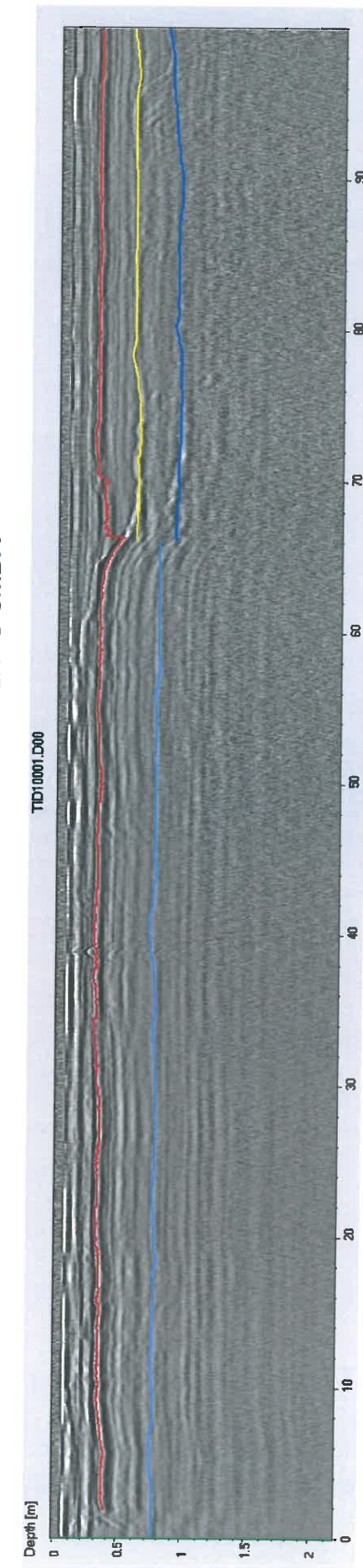
RADARGRAMMA ANTENNA 2000MHz RACCORDO FOXTROT – ALLINEAMENTO 3MSX

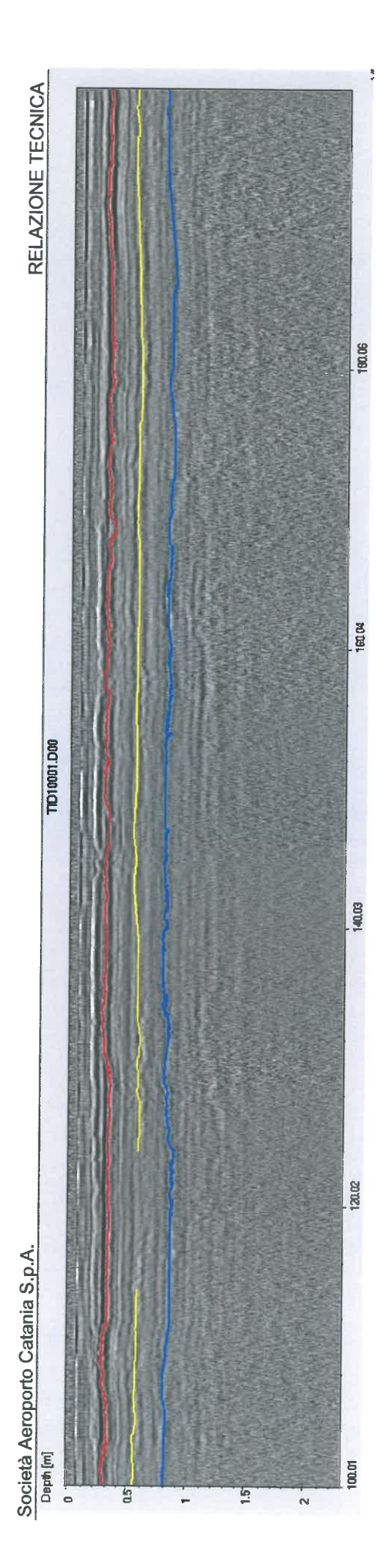






RADARGRAMMA ANTENNA 2000MHz RACCORDO GOLF - ALLINEAMENTO 3MDX





RADARGRAMMA ANTENNA 2000MHz RACCORDO GOLF -- ALLINEAMENTO 3MSX

